

Surélévation du LET de Valoris

Rapport de modélisation de la dispersion atmosphérique
Émission finale



Rapport de modélisation de la dispersion atmosphérique

Projet : 36594TT

Rév. 02

2021-01-28

PRÉSENTÉ À

Valoris

107, chemin Maine Central
Bury (Québec)
J0B 1J0

PRÉSENTÉ PAR

Tetra Tech QI inc.

1205, rue Ampère, bureau 310
Boucherville (Québec)
J4B 7M6

Préparé par :



Guillaume Nachin, ing., M.Eng.
Chargé de projet

28 janvier 2021

SUIVI DES RÉVISIONS

| RÉVISION | DATE | DESCRIPTION | PRÉPARÉ PAR |
|----------|------------------|-------------|-------------|
| 02 | 28 JANVIER 2021 | FINAL | GN |
| 01 | 15 DÉCEMBRE 2020 | FINAL | GN |
| 00 | 14 DÉCEMBRE 2020 | FINAL | GN |

TABLE DES MATIÈRES

| | |
|---|-----------|
| 1.0 INTRODUCTION | 1 |
| 1.1 Contexte de l'étude | 1 |
| 1.2 Documents de référence..... | 1 |
| 1.3 Localisation du projet | 2 |
| 2.0 GÉNÉRATION DU BIOGAZ AU LET DE VALORIS | 4 |
| 2.1 Composition du biogaz..... | 4 |
| 2.2 Composés suivis | 4 |
| 2.3 Génération du biogaz..... | 6 |
| 2.3.1 Taux d'enfouissement de matières résiduelles | 6 |
| 2.3.2 Calculs de génération du biogaz par le LET et le LES..... | 7 |
| 2.3.3 Bilan des taux de génération du biogaz | 8 |
| 2.4 Captage du biogaz | 9 |
| 2.4.1 Destruction du biogaz..... | 10 |
| 2.5 Émissions atmosphériques de biogaz | 10 |
| 2.5.1 Ancien LES et LET | 10 |
| 2.5.2 Torchère | 11 |
| 3.0 MODÉLISATION DE LA DISPERSION ATMOSPHÉRIQUE | 11 |
| 3.1 Contaminants modélisés..... | 11 |
| 3.2 Sources d'émission | 11 |
| 3.2.1 Exclusions..... | 12 |
| 3.3 Taux d'émission des contaminants | 12 |
| 3.3.1 Composés soufrés et COV | 12 |
| 3.3.2 Odeurs | 13 |
| 3.4 Paramètres des sources d'émission | 14 |
| 3.4.1 Sources d'émissions surfaciques – Zones d'enfouissement..... | 14 |
| 3.4.2 Émission diffuses par les bassins d'accumulation et de traitement du lixiviat | 15 |
| 3.4.3 Plateforme de compostage..... | 16 |
| 3.4.4 Bilan des émissions d'odeurs | 18 |
| 3.5 Description du modèle retenu | 18 |
| 3.6 Données météorologiques | 18 |
| 3.7 Récepteurs | 19 |

| | |
|---|-----------|
| 3.7.1 Grille de récepteurs | 19 |
| 3.7.2 Récepteurs sensibles | 19 |
| 3.8 Bâtiments | 22 |
| 4.0 RÉSULTATS DE LA MODÉLISATION | 22 |
| 4.1 Composés soufrés et COV | 23 |
| 4.2 Odeurs..... | 23 |
| 5.0 CONCLUSION..... | 24 |
| ANNEXE A COMPOSITION DU BIOGAZ POUR L'ÉVALUATION DES IMPACTS DES LET | 25 |
| ANNEXE B CONTAMINANTS SUIVIS ET NORMES ET CRITÈRES APPLICABLES | 26 |
| ANNEXE C PLAN DE LA SURÉLÉVATION DU LET | 27 |
| ANNEXE D CALCULS DES TAUX D'ÉMISSION DES CONTAMINANTS..... | 28 |
| ANNEXE E RÉSULTATS – TABLEAUX DES CONCENTRATIONS MAXIMALES..... | 29 |
| ANNEXE F RÉSULTATS – CARTES D'ISOLIGNES DE CONCENTRATION..... | 30 |

Liste des tableaux

| | |
|---|----|
| Tableau 1 Concentrations des contaminants dans le biogaz | 5 |
| Tableau 2 Tonnages de matières résiduelles enfouies | 6 |
| Tableau 3 Paramètre k de LandGEM | 7 |
| Tableau 4 Paramètre L_0 de LandGEM..... | 8 |
| Tableau 5 Volumes de biogaz générés | 9 |
| Tableau 6 Efficacité du système de soutirage du biogaz | 9 |
| Tableau 7 Émissions non contrôlées de biogaz | 10 |
| Tableau 8 Paramètres de la torchère | 10 |
| Tableau 9 Compilation des résultats de caractérisation des odeurs par Odotech | 13 |
| Tableau 10 Taux d'émission d'odeurs attribuables aux activités de compostage | 14 |
| Tableau 11 Paramètres de l'ancien LES et du LET actuel | 15 |
| Tableau 12 Paramètres des bassins non aérés..... | 16 |
| Tableau 13 Paramètres des bassins aérés..... | 16 |
| Tableau 14 Calcul du taux d'émission d'odeurs de la plateforme de compostage | 17 |
| Tableau 15 Émissions associées aux différentes sources d'odeurs en conditions estivales | 18 |
| Tableau 16 Récepteurs sensibles | 20 |

Liste des figures

| | |
|--|----|
| Figure 1 Plan de localisation du site et des sources d'émission..... | 2 |
| Figure 2 Topographie de la région d'étude | 3 |
| Figure 3 Rose des vents | 19 |
| Figure 4 Grille des récepteurs et récepteurs sensibles | 21 |
| Figure 5 Bâtiment modélisé..... | 22 |

1.0 INTRODUCTION

1.1 CONTEXTE DE L'ÉTUDE

Le lieu d'enfouissement de Valoris situé au 107, chemin du Maine Central, à Bury est composé de deux secteurs distincts existants, soit :

- L'ancien lieu d'enfouissement sanitaire (LES). L'ancien LES était en opération de 1981 à 2009. Il est muni de sols de recouvrement sur sa pleine grandeur. Aucun système de captage du biogaz n'est présent sur l'ancien LES;
- Le lieu d'enfouissement technique (LET) actuel. Le LET actuel est en opération depuis 2010 et reçoit environ 50 000 tonnes de matières résiduelles par an.

Dans sa configuration actuelle, le LET est sur le point d'atteindre sa pleine capacité. Tetra Tech a été mandatée par Valoris pour la préparation d'études techniques en vue de la construction d'une cellule en surélévation sur le LET existant, de façon à pouvoir continuer d'opérer le LET pendant une période additionnelle d'un maximum de deux (2) ans. Lorsque la cellule en surélévation sur le LET aura été remplie, alors les opérations d'enfouissement pourront se poursuivre dans l'agrandissement du LET, qui sera fait sur un nouveau secteur au nord-est du LES et du LET actuel. La cellule surélevée sur le LET permettra d'enfouir les matières résiduelles reçues en 2021 et 2022, alors que le futur agrandissement du LET recevra les matières à compter de 2023.

Outre les zones d'enfouissement, le site de Valoris comprend également une plateforme de compostage (opérée par EnGlobe) qui reçoit environ 40 000 t/an de résidus à composter, ainsi qu'un centre de tri recevant environ 21 500 t/an. Il y a de la machinerie qui est en fonctionnement durant les heures d'opération du site, sur le LET et l'aire de compostage. Des camions routiers qui apportent les matières résiduelles enfouies sont admis au site.

Les objectifs de cette étude de dispersion atmosphérique des contaminants incluent :

- L'évaluation de la production de biogaz par l'ancien lieu d'enfouissement sanitaire (LES) et par le lieu d'enfouissement technique (LET), dans sa configuration actuelle
- L'évaluation de la production de biogaz par l'ancien lieu d'enfouissement sanitaire (LES) et par le lieu d'enfouissement technique (LET) avec la cellule en surélévation;
- L'évaluation des volumes de biogaz captés et émis à l'atmosphère par le LES et par le LET (configuration actuelle et avec la surélévation);
- L'évaluation des odeurs émises à l'atmosphère par le LES, le LET, la plateforme de compostage et les bassins de lixiviat (configuration actuelle et avec la surélévation);
- La modélisation de la concentration dans l'air ambiant des contaminants émis à l'atmosphère, soit du H₂S, des composés organiques volatils (COV) et des odeurs (configuration actuelle et avec la surélévation).

1.2 DOCUMENTS DE RÉFÉRENCE

Les documents de référence suivants ont été utilisés pour la réalisation de la présente étude :

- Gouvernement du Québec. À jour au 14 juin 2020. Q-2, r.4.1 Règlement sur l'assainissement de l'atmosphère;
- Gouvernement du Québec. 2018. Normes et critères québécois de qualité de l'atmosphère version 6;
- Note du MELCC intitulée « Composition du biogaz à prendre en compte pour l'évaluation des impacts des LET »;

1.3 LOCALISATION DU PROJET

Le lieu d'enfouissement technique de Valoris est localisé sur le territoire de la municipalité de Bury. Les coordonnées du site sont : 45° 29' 15" N 71° 34' 27" O.

La Figure 1 illustre une vue en plan du site, incluant l'emplacement de l'existant et le projeté du LET, du LES, du Centre intégré de gestion de la biomasse (CIGB), des bassins d'accumulation du lixiviat et de la torchère. Quant à elle, la Figure 2 présente la topographie de la région d'étude.

Figure 1 Plan de localisation du site et des sources d'émission

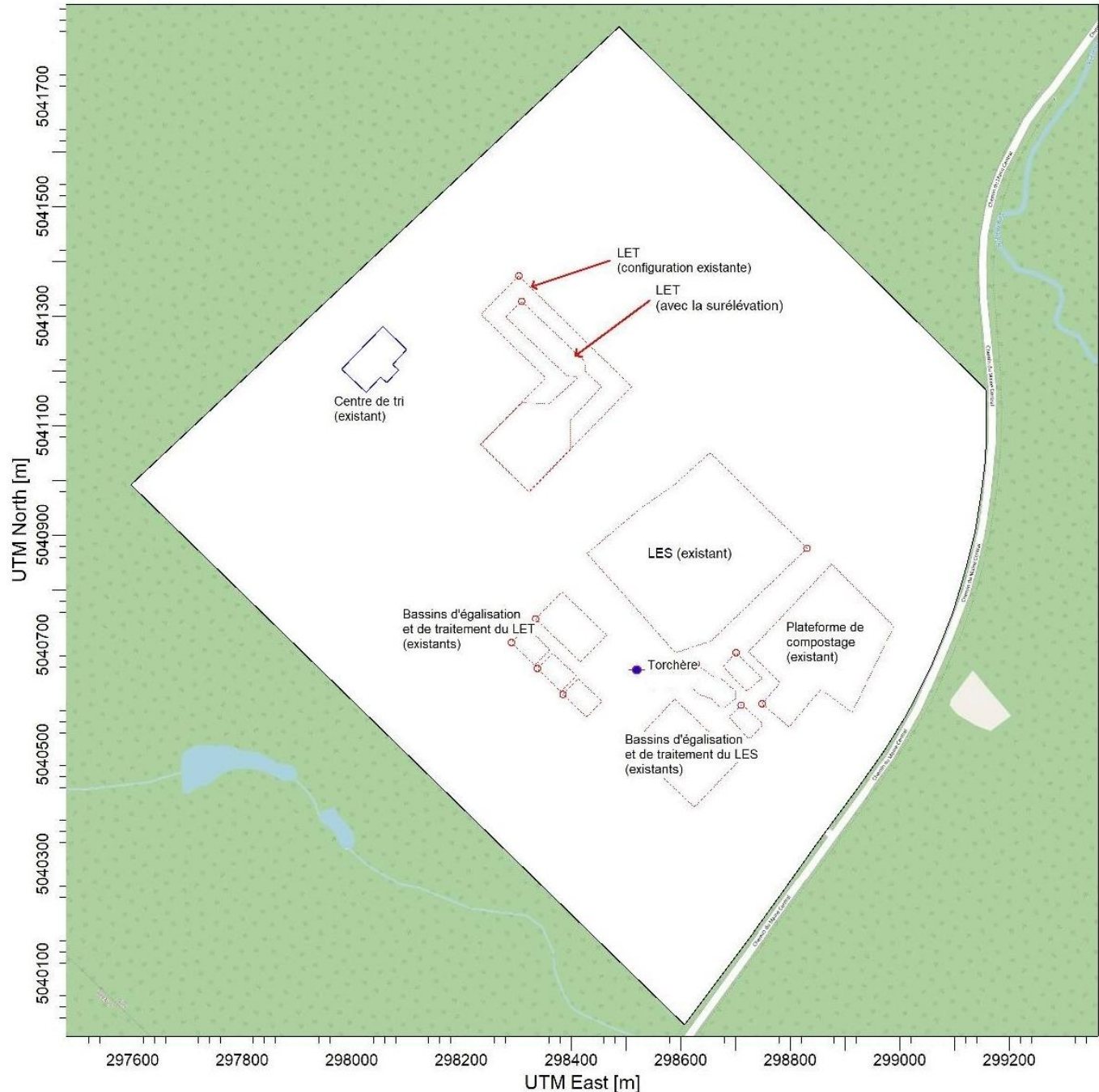
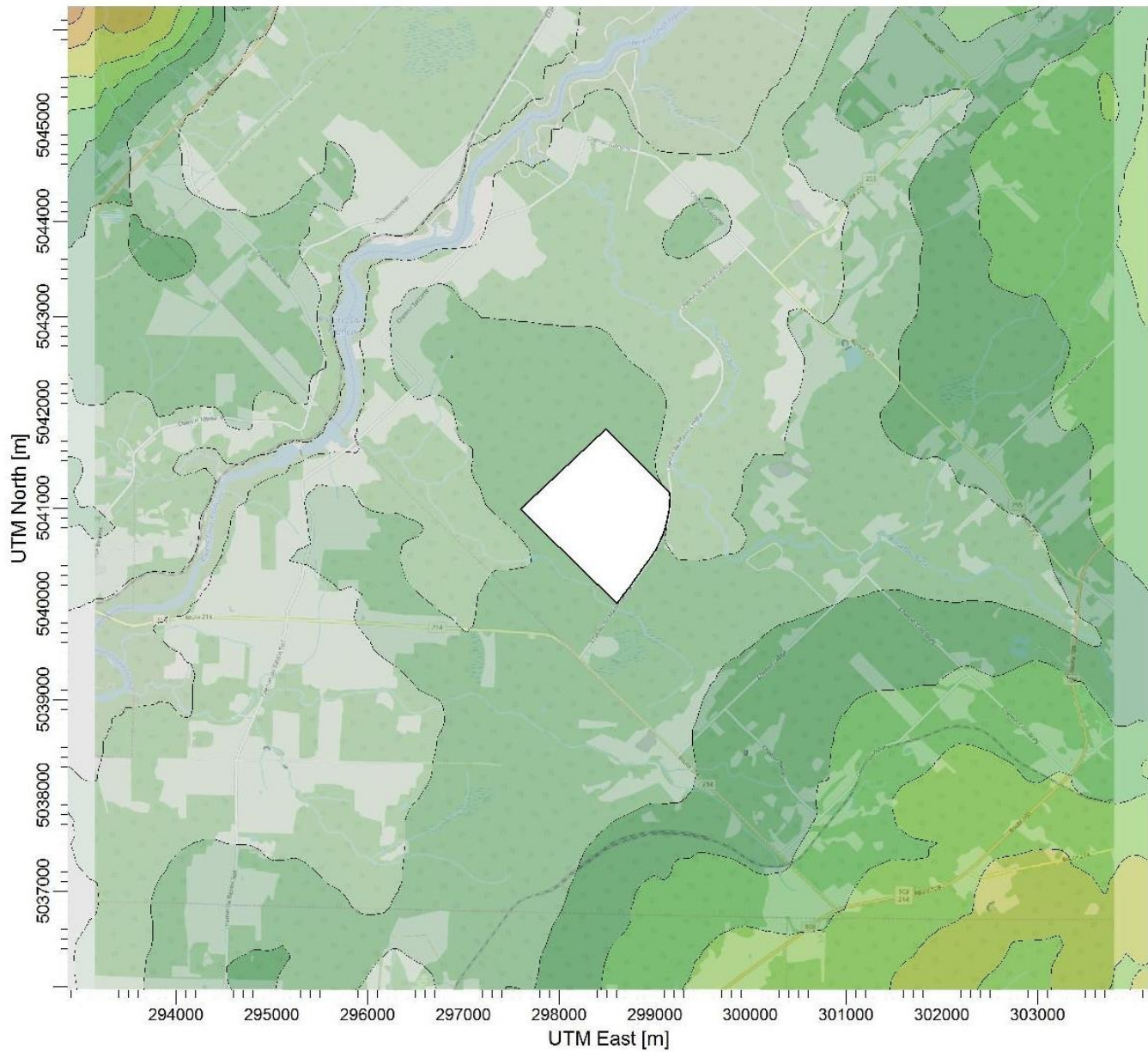


Figure 2 Topographie de la région d'étude



| Terrain Contours | | meters | |
|----------------------------------|-----|----------|--------------------|
| 180 | 209 | 238 | 266 |
| COMMENTS: | | SOURCES: | COMPANY NAME: |
| Topographie de la région d'étude | | 17 | Tetra Tech QI inc. |
| RECEPTORS: | | MODELER: | Guillaume Nachin |
| 1685 | | SCALE: | 1:60 000 |
| | | 0 | 2 km |

2.0 GÉNÉRATION DU BIOGAZ AU LET DE VALORIS

2.1 COMPOSITION DU BIOGAZ

Le biogaz provient de la biodégradation anaérobique des matières organiques enfouies dans les lieux d'enfouissement de matières résiduelles. Les composantes principales du biogaz sont le méthane CH₄ et le dioxyde de carbone CO₂. D'autres espèces chimiques sont présentes dans le biogaz à des concentrations diverses, telles que le diazote N₂, le dioxygène O₂ et de nombreux composés organiques volatils (COV) et composés soufrés.

Les émissions de biogaz soulèvent trois types de problématiques : des risques d'inflammabilité et d'explosion associés au méthane; la toxicité de plusieurs COV; et les odeurs désagréables provenant généralement des composés de soufre réduits totaux (SRT). La catégorie des SRT regroupe le sulfure d'hydrogène H₂S, le méthanethiol CH₃SH, l'éthanethiol C₂H₆S et le sulfure de diméthyle (CH₃)₂S.

2.2 COMPOSÉS SUIVIS

Dans le contexte de la présente étude de dispersion, les contaminants suivis sont les SRT et les COV pour lesquels il existe une norme ou un critère de concentration maximale dans l'air ambiant en vertu du *Règlement sur l'assainissement de l'atmosphère* et du document *Normes et critères québécois de qualité de l'atmosphère*. Le Ministère demande également de modéliser la dispersion des odeurs associées aux zones d'enfouissement (ancien LES, LET), des bassins de lixiviat du LES et du LET et de la plateforme de compostage.

La composition typique du biogaz considérée ici est celle proposée dans une note diffusée par le Ministère intitulée *Composition du biogaz à prendre en compte pour l'évaluation des impacts des LET* et présentée à l'Annexe A.

Sulfure d'hydrogène (H₂S)

La concentration en H₂S dans le biogaz a été établie à partir de la concentration réellement observée au site. En raison de l'utilisation de résidus fins de centre de tri riches en soufre pour le recouvrement journalier, la concentration en H₂S dans le biogaz est plus élevée que la valeur typique préconisée par le MELCC. Selon une caractérisation effectuée en 2020¹, le taux de H₂S dans le biogaz est de 1 714 ppm soit 2 387 mg/m³.

Par ailleurs, le taux de H₂S dans le biogaz va diminuer en 2021 et 2022, pour les raisons suivantes :

- Aucun résidu fin de centre de tri ne sera utilisé pour le recouvrement journalier dans la cellule en surélévation. Le biogaz généré par les tonnages enfouis en 2021 et 2022 sera donc plus pauvre en H₂S;
- La biodégradation du soufre en H₂S dans un lieu d'enfouissement suit une cinétique très rapide. Il est possible d'utiliser le modèle LandGEM pour décrire la biodégradation anaérobique du soufre présent dans les fines, avec un facteur k (coefficients de vitesse, an⁻¹) et S₀ (potentiel de génération de H₂S des matières enfouies, m³/t). Les paramètres retenus proviennent de Anderson et al (2010)² : **k = 0.702 an⁻¹** et **S₀ = 5 360 pi³/ton** ou **167 m³/t**

Tetra Tech a élaboré un modèle présentant la variation des taux de génération de H₂S par les fines enfouies. La valeur mesurée sur le terrain a été utilisée pour arrimer le calcul des taux d'émission pour l'année 2020. Il ressort de

¹ Consulair. Août 2020. *Rapport de caractérisation – Caractérisation de biogaz (3 essais)*. Réf #20-6272

² ANDERSON, Russel et al (2010): "Modeling of hydrogen sulfide generation from landfills utilizing processed construction and demolition materials", Final report prepared for the Environmental Research and Education Foundation, Alexandria, VA, February 2010, 63 pages.

ce modèle que la concentration maximale en H₂S dans le biogaz soutiré correspond au scénario du LET existant (2020) à 2 387 mg/m³, et que cette concentration baisse à 1 875 mg/m³ en 2021 et 929 mg/m³ en 2022.

À titre de résumé, le Tableau 1 présente la concentration en contaminants dans le biogaz. Le tableau de l'Annexe B précise les normes et critères applicables.

Tableau 1 Concentrations des contaminants dans le biogaz

| CAS | Nom | Biogaz ppmv | Biogaz mg/m ³ |
|-----------|--|---|--------------------------|
| 71-55-6 | 1,1,1-Trichloroethane (methyl chloroform) | 0,243 | 1,325 |
| 79-34-5 | 1,1,2,2-Tetrachloroethane | 1,11 | 7,614 |
| 75-34-3 | 1,1-Dichloroethane (ethylidene dichloride) | 2,08 | 8,413 |
| 75-35-4 | 1,1-Dichloroethène (vinylidène chloride) | 0,16 | 0,634 |
| 107-06-2 | 1-2 Dichloroethane (ethylene dichloride) | 0,159 | 0,643 |
| 78-87-5 | 1,2-Dichloropropane (propylene dichloride) | 0,18 | 0,831 |
| 67-63-0 | 2-Propanol | 1,8 | 4,422 |
| 67-64-1 | Acétone | 7,01 | 16,638 |
| 107-13-1 | Acrylonitrile | 6,33 | 13,726 |
| 71-43-2 | Benzène | 2,4 | 7,661 |
| 75-27-4 | Bromodichloromethane | 3,13 | 20,956 |
| 75-15-0 | Carbon disulfide | 0,147 | 0,457 |
| 56-23-5 | Carbon tetrachloride | 0,00798 | 0,050 |
| 463-58-1 | Carbonyl sulfide | 0,122 | 0,299 |
| 108-90-7 | Chlorobenzene | 0,484 | 2,226 |
| 75-00-3 | Chloroethane (ethyl chloride) | 3,95 | 10,415 |
| 67-66-3 | Chloroforme | 0,0708 | 0,345 |
| 74-87-3 | Chlorométhane | 1,21 | 2,497 |
| 106-46-7 | p-Dichlorobenzene | 0,94 | 5,647 |
| 75-43-4 | Dichlorofluoromethane | 2,62 | 11,020 |
| 75-09-2 | Dichloromethane (methylene chloride) | 14,3 | 49,638 |
| 75-18-3 | Dimethyl sulfide | 5,66 | 14,371 |
| 64-17-5 | Ethanol | 0,23 | 0,433 |
| 75-08-1 | Ethyl mercaptan | 0,198 | 0,503 |
| 100-41-4 | Ethylbenzene | 4,86 | 21,084 |
| 106-93-4 | Ethylene dibromide | 0,0048 | 0,037 |
| 110-54-3 | Hexane | 6,57 | 23,139 |
| 7783-06-4 | Hydrogen sulfide | 2020 : 2 387 mg /m³ 2021 : 1 875 mg/m³ 2022 : 929 mg/m³ | |
| 7439-97-6 | Mercury (total) | 0,000122 | 0,001 |
| 78-93-3 | Methyl ethyl ketone | 7,09 | 20,893 |

| CAS | Nom | Biogaz ppmv | Biogaz mg/m ³ |
|-----------|---------------------------------------|-------------|--------------------------|
| 108-10-1 | Methyl isobutyl ketone | 1,87 | 7,654 |
| 74-93-1 | Methyl mercaptan | 1,37 | 2,694 |
| 109-66-0 | Pentane | 4,46 | 13,150 |
| 127-18-4 | Perchloroethylene (tetrachloroethene) | 2,03 | 13,757 |
| 156-60-5 | t-1,2-dichloroethene | 2,84 | 11,251 |
| 108-88-3 | Toluène | 39,3 | 111,080 |
| 79-01-6 | Trichloroethylene (Trichloroethene) | 0,828 | 4,446 |
| 75-01-4 | Vinyl chloride | 1,42 | 3,627 |
| 1330-20-7 | Xylenes | 9,23 | 40,043 |

2.3 GÉNÉRATION DU BIOGAZ

Deux composantes sur le site sont responsables de la production de biogaz susceptible d'être émis à l'atmosphère : il s'agit de l'ancien LES et du LET. Les sous-sections suivantes présentent les hypothèses et les calculs de génération et d'émission du biogaz par les différentes zones d'enfouissement.

2.3.1 Taux d'enfouissement de matières résiduelles

Le Tableau 2 présente les tonnages enfouis dans l'ancien LES, en opération entre 1981 et 2009, et le LET depuis 2010. Les tonnages enfouis représentent des données réelles jusqu'à 2019. Le tonnage anticipé pour l'année 2020 complète est de 51 000 tonnes. Pour la période 2020 à 2022, la capacité annuelle d'enfouissement modélisée est de 50 000 tonnes par année.

Tableau 2 Tonnages de matières résiduelles enfouies

| Année | Enfouissement | | |
|-------------|---------------|------|-----------------------------------|
| | LES | LET | LET Cellule en surélévation |
| | t/an | t/an | t/an |
| 1981 à 1994 | 8 000 | | |
| 1995 | 7 682 | | |
| 1996 | 9 051 | | |
| 1997 | 9 057 | | |
| 1998 | 10 303 | | |
| 1999 | 10 121 | | |
| 2000 | 10 091 | | |
| 2001 | 10 414 | | |
| 2002 | 11 963 | | |
| 2003 | 11 788 | | |
| 2004 | 12 665 | | |
| 2005 | 13 484 | | |

| Année | Enfouissement | | |
|-------|---------------|-----------------|-----------------------------------|
| | LES | LET | LET Cellule en surélévation |
| | t/an | t/an | t/an |
| 2006 | 14 634 | | |
| 2007 | 13 512 | | |
| 2008 | 16 773 | | |
| 2009 | 29 266 | | |
| 2010 | | 27 277 | |
| 2011 | | 34 318 | |
| 2012 | | 34 714 | |
| 2013 | | 71 366 | |
| 2014 | | 77 611 | |
| 2015 | | 80 215 | |
| 2016 | | 71 918 | |
| 2017 | | 70 694 | |
| 2018 | | 54 906 | |
| 2019 | | 52 578 | |
| 2020 | | 51 000 (Estimé) | |
| 2021 | | | 61 200 (Estimé) |
| 2022 | | | 61 200 (Estimé) |

2.3.2 Calculs de génération du biogaz par le LET et le LES

Le modèle LandGEM a été utilisé pour calculer les quantités annuelles de biogaz générées par les matières résiduelles enfouies dans l'ancien LES et le LET. Par ailleurs, les quantités de biogaz qui seront soutirées du LET ont également été calculées jusqu'à la fin de vie du site.

Les paramètres L_0 (potentiel méthanogène des déchets, $m^3\text{-CH}_4/t$) et k (coefficient de vitesse, an^{-1}) doivent être déterminés pour exécuter LandGEM. Le paramètre k provenant d'Environnement Canada est inscrit au Tableau 3.

Tableau 3 Paramètre k de LandGEM

| Paramètre | 1941-1975 | 1976-1989 | 1990-2007 | 2008+ |
|-------------------|-----------|-----------|-----------|-------|
| k (an^{-1}) | 0.053 | 0.057 | 0.059 | 0.056 |

Environment Canada. National Inventory Report 1990-2016: Greenhouse Gas Source and Sinks in Canada (Part 2)

En ce qui concerne le paramètre L_0 , une valeur personnalisée est utilisée pour la présente étude. Pour ce faire, Tetra Tech s'appuie sur les travaux de modélisation de la dispersion atmosphérique réalisés en 2018 dans le cadre de

l'étude d'impacts sur l'environnement du projet d'agrandissement du LET de Sainte-Sophie³. La firme responsable de l'étude avait utilisé les équations 3.2 et 3.3 des *Lignes directrices 2006*⁴ du GIEC, ainsi que les bilans de caractérisation des matières résiduelles québécoises de Recyc-Québec^{5 6} afin d'établir le potentiel méthanogène de chaque type de matières résiduelles typiquement enfoui dans un LET au Québec. Rappelons que cette méthodologie avait été acceptée par le MELCC dans le cadre de cette étude d'impacts. Sur la base de ces informations, un paramètre L_0 spécifique au LET de Valoris est déterminé en tenant compte de la proportion de chaque type de collecte reçue pour enfouissement au site – municipale, ICI, CRD ou autre. Le Tableau 4 suivant présente les paramètres L_0 considérés pour chaque type de collecte et le L_0 moyen résultant des calculs.

Tableau 4 Paramètre L_0 de LandGEM

| Matières | Potentiel méthanogène L_0 LET de Sainte-Sophie (2018) | Proportion à l'enfouissement au LET de Valoris |
|---------------------|--|---|
| | $m^3\text{-CH}_4/t$ | <i>Fraction</i> |
| Déchets municipaux | 105,71 | 88 % |
| Déchets ICI | 101,47 | 1,7 % |
| Déchets CRD | 79,47 | 10 % |
| Carcasses d'animaux | 95,35 | 0,2 % |
| Boues | 31,78 | 0,1 % |
| Total | 102,81 | 100 % |

Une copie de la feuille de calculs préparée par Tetra Tech est présentée à l'Annexe D.

2.3.3 Bilan des taux de génération du biogaz

Les résultats des calculs de génération du biogaz par le LES et le LET sont colligés à l'Annexe D. À titre d'information, les quantités de biogaz capté pour valorisation ou destruction et les quantités de biogaz non capté (émissions diffuses) sont calculées à l'aide des paramètres présentés au Tableau 3 et au Tableau 4 et des taux de captage présentés au Tableau 6.

Les scénarios suivants ont été établis :

- Existant : conditions d'opération (tonnages, superficies) actuelles du LET, soit à l'année 2020;
- Surélévation – An 1 : première année d'exploitation de la cellule en surélévation, soit 2021;
- Surélévation – An 2 : seconde année d'exploitation de la cellule en surélévation, soit 2022.

Les volumes de biogaz générés par les LES et le LET pour ces trois (3) scénarios sont présentés au Tableau 5.

³ WSP. Décembre 2018. *Projet d'agrandissement du lieu d'enfouissement technique de Sainte-Sophie Zone 6 – Étude d'impact sur l'environnement déposée par WM Québec Inc. au ministère de l'Environnement et de la Lutte contre les changements climatiques – Dossier 3211-23-88. Étude de dispersion atmosphérique.*

<http://www.ree.environnement.gouv.qc.ca/dossiers/3211-23-088/3211-23-088-9.pdf>

⁴ GIEC. 2006. *Lignes directrices 2006 du GIEC pour les inventaires nationaux de gaz à effet de serre – Volume 5 Déchets.* https://www.ipcc-nrgip.iges.or.jp/public/2006gl/french/pdf/5_Volume5/V5_3_Ch3_SWDS.pdf

⁵ Recyc-Québec. 2013. *Bilan 2010-2011 de la gestion des matières résiduelles au Québec*

⁶ EEQ et Recyc-Québec. 2015. *Rapport synthèse – Caractérisation des matières résiduelles du secteur résidentiel 2012-2013*

Tableau 5 Volumes de biogaz générés

| Volume de biogaz généré | LET existant 2020 | Surélévation – An 1 2021 | Surélévation – An 2 2022 |
|-------------------------------|--------------------------|-----------------------------|-----------------------------|
| LES | 950 995 m ³ | 896 509 m ³ | 845 145 m ³ |
| LET (existant) | 5 212 038 m ³ | 5 489 673 m ³ | 5 190 701 m ³ |
| LET (cellule en surélévation) | | | 687 261 m ³ |

2.4 CAPTAGE DU BIOGAZ

Le LET est muni d'un réseau de puits de captage du biogaz, reliés à un réseau de conduites collectrices maintenu en pression négative par des surpresseurs. Plusieurs tranchées horizontales sont également en place dans certains secteurs du LET. Ce système permet de soutirer le biogaz du LET et de l'acheminer à des équipements de destruction.

La cellule en surélévation du LET sera également munie de puits de captage verticaux du biogaz, dès que les zones ayant atteint leur niveau final seront recouvertes d'un revêtement final imperméable.

Afin de contrôler les émissions diffuses de biogaz à la surface de la cellule en surélévation, il est prévu que le revêtement final soit construit rapidement dès que les zones d'enfouissement auront atteint leur niveau final. Une zone de travail active de 20 000 m² au maximum sera laissée accessible pour les opérations d'enfouissement pour l'ensemble de la surface du LET.

Le biogaz collecté sur le site de Valoris est brûlé dans une torchère à flamme invisible, qui fonctionne en permanence. Les calculs considèrent que la torchère a une capacité suffisante pour détruire toutes les quantités de biogaz qui seront collectées dans le LET.

Afin d'établir les émissions diffuses de biogaz, des hypothèses ont été posées quant à l'efficacité des systèmes de collecte du biogaz. Le Tableau 6 présente ces hypothèses. Il doit être noté que, dans le cas de la cellule en surélévation, le taux de captage moyen annuel a été établi en considérant le plan d'exploitation prévu (progression des superficies en exploitation et fermées).

Tableau 6 Efficacité du système de soutirage du biogaz

| Taux de soutirage | | Commentaire |
|---------------------------------------|----------|---|
| Taux de captage (LES) | 0 % v/v | Pas de soutirage dans l'ancien LES |
| Taux de captage (LET) en exploitation | 0 % v/v | Pas de soutirage sur les zones d'enfouissement actives (32 682 m ² sur le LET en 2020, 20 000 m ² sur la cellule en surélévation) |
| Taux de captage (LET) fermé | 95 % v/v | Recouvrement final avec géomembrane, puits verticaux et conduites collectrices de soutirage |

Par ailleurs, Tetra Tech considère que 10 % du biogaz généré par le LES sont biodégradés par les bactéries présentes dans les sols de revêtement final (sans géomembrane). À titre d'information, cette approche est préconisée par le *Règlement sur le système de plafonnement et d'échange de droits d'émissions (RSPEDE)*⁷ à l'Équation 3 du Protocole II.

⁷ <http://legisquebec.gouv.qc.ca/fr>ShowDoc/cr/Q-2,%20r.%2046.1>

Sur la base de ces informations, il a été possible de déterminer un taux d'émissions diffuses de biogaz à la surface du LES et du LET. Les taux d'émissions non contrôlées de biogaz par le LES et le LET sont résumés au Tableau 7.

Tableau 7 Émissions non contrôlées de biogaz

| Émissions diffuses (non contrôlées) de biogaz | LET existant 2020 | Surélévation – An 1 2021 | Surélévation – An 2 2022 |
|---|--------------------------|-----------------------------|-----------------------------|
| LES | 855 895 m ³ | 806 858 m ³ | 760 631 m ³ |
| LET (incluant la cellule en surélévation) | 2 111 063 m ³ | 1 467 208 m ³ | 1 570 985 m ³ |

Les calculs discutés dans cette section peuvent être consultés à l'Annexe D.

2.4.1 Destruction du biogaz

Dans le cadre de l'étude de dispersion, Tetra Tech considère que tout le biogaz soutiré du LET est détruit à la torchère à flamme invisible. Le volume annuel qui devra être détruit à la torchère est de 3,1 Mm³ de biogaz en 2020 (Scénario : existant), 4,0 Mm³ en 2021 (Surélévation du LET – An 1) et 4,3 Mm³ en 2022 (Surélévation du LET – An 2).

Le taux de destruction des contaminants considéré pour les équipements est tiré du RSPEDE. Il est de 99,5 % pour la torchère à flamme invisible.

En considérant la composition du biogaz telle que présentée au Tableau 1, Tetra Tech a calculé les taux d'émission massique des contaminants à la cheminée de la (ou des) torchère. La méthode suivie est celle d'un bilan de masse appliquée à l'équipement de destruction. Le détail peut être consulté sur la feuille de calculs présentée à l'Annexe D. Le Tableau 8 présente les paramètres de la source ponctuelle au sens du modèle.

Tableau 8 Paramètres de la torchère

| Paramètre | Torchère |
|-----------------------|-----------------------|
| Type de source | Torchère « Flare » |
| Élévation | 247 m |
| Hauteur de rejet | 12 m |
| Température de sortie | 1 033 °K |
| Diamètre | 1,5 m |
| Vitesse de sortie | 5,0 m/s |
| Débit | 8,8 m ³ /s |

2.5 ÉMISSIONS ATMOSPHÉRIQUES DE BIOGAZ

2.5.1 Ancien LES et LET

Tel que décrit dans les sections précédentes, le réseau de captage du LET permet de collecter la majeure partie du biogaz généré par la masse de déchets enfouis. Toutefois, une fraction demeure non captée et diffuse dans l'air ambiant à la surface des zones de dépôt. Il est considéré que la fraction non captée du biogaz est émise directement à l'atmosphère. Tel qu'indiqué à la section 2.4 précédente, les émissions fugitives de biogaz ont été évaluées pour les trois (3) scénarios étudiés et sont résumés au Tableau 7. Les émissions diffuses de biogaz et les taux d'émission des contaminants ont été calculés pour les trois (3) scénarios étudiés et sont documentés à l'Annexe D.

2.5.2 Torchère

Les émissions à la cheminée de la torchère correspondent à la fraction non détruite des composés présents dans le biogaz brûlé. Le RSPEDA, Protocole 2, Partie II, Tableau 1. « Efficacité de destruction par défaut des dispositifs de destruction » indique que :

- L'efficacité de destruction pour une torchère à flamme invisible est de 99,5 %.

Ainsi, il est considéré que 0,5 % des composés qui sont envoyés vers la torchère sont émis intacts à la cheminée.

3.0 MODÉLISATION DE LA DISPERSION ATMOSPHÉRIQUE

Tel que présenté dans les sections précédentes, l'objectif de la présente étude de dispersion des contaminants est d'évaluer la concentration dans l'air ambiant de plusieurs composés soufrés et composés organiques volatils et les odeurs au voisinage du site. Trois (3) scénarios sont retenus, à savoir :

- Existant (2020) : conditions d'opération (tonnages, superficies ouvertes et fermées) actuelles du LET;
- Surélévation – An 1 (2021) : première année d'exploitation de la cellule en surélévation;
- Surélévation – An 2 (2022) : seconde année d'exploitation de la cellule en surélévation.

3.1 CONTAMINANTS MODÉLISÉS

Bien que la circulation de camions de transport sur les chemins d'accès soit responsable de l'émission de plusieurs contaminants à l'atmosphère, soient des poussières (particules totales et particules fines) et des composés présents à l'échappement des camions (particules, CO, NOx), cette source est exclue de la présente étude.

Par ailleurs, les émissions diffuses de biogaz à la surface des zones d'enfouissement sont associées à l'émission de plusieurs composés organiques volatils (COV). Afin de modéliser ce phénomène, nous avons considéré la composition du biogaz proposée dans une note diffusée par le Ministère, intitulée *Composition du biogaz à prendre en compte pour l'évaluation des impacts des LET*, et présentée à l'Annexe A.

Des émissions diffuses de H₂S sont également considérées à la surface des deux bassins d'accumulation du lixiviat.

Les odeurs générées par les zones d'enfouissement, la plateforme de compostage, et les bassins de lixiviat ont également été considérés dans la présente étude.

En résumé, les contaminants modélisés sont les suivants :

- Soufres réduits totaux (SRT) incluant le H₂S, le diméthylsulfure (DMS), l'éthanethiol et le méthanethiol associés aux émissions diffuses des zones d'enfouissement de matières résiduelles, aux émissions ponctuelles à l'échappement de la torchère ainsi qu'aux émissions diffuses à la surface des bassins d'accumulation du lixiviat;
- Plusieurs composés organiques volatils (COV) associés aux émissions diffuses des zones d'enfouissement de matières résiduelles et aux émissions ponctuelles à l'échappement de la torchère, tels que listés au Tableau 1 à la section 2.2;
- Odeurs émises par le LES, le LET, la plateforme de compostage et les bassins de lixiviat.

3.2 SOURCES D'ÉMISSION

Les calculs des taux d'émission des sources ponctuelles, surfaciques et linéaires volumiques sont présentés dans une feuille de calcul présentée à l'Annexe D.

Les sources d'émission identifiées sont les suivantes :

-
- Cellules d'enfouissement : émission diffuse des contaminants présents dans le biogaz, odeurs (sources surfaciques);
 - Bassins d'accumulation : émission diffuse de H₂S, odeurs (sources surfaciques);
 - Bassins non aérés : émission d'odeurs (sources surfaciques)
 - Bassins aérés de traitement : émission d'odeurs (sources surfaciques);
 - Plateforme de compostage : odeurs (source surfacique)
 - Torchère : sortie des gaz de combustion (source ponctuelle);

3.2.1 Exclusions

Certaines sources d'émissions ont été exclues de la présente étude, lorsque celles-ci semblent être négligeables face à d'autres composantes du projet. Les sources exclues sont les suivantes :

- Émissions de poussières (particules totales, particules fines) et émissions à l'échappement (CO, NO_x, particules fines) associées à la circulation des camions de transport sur les routes et chemins d'accès;
- Émissions à l'échappement de la machinerie en opération au site (NO_x, CO, particules totales). Il est attendu que les contaminants NO_x et CO ne représentent pas un enjeu majeur dans ce projet et que la machinerie soit une source négligeable pour ces contaminants;
- Érosion éolienne des zones de dépôt (particules). Le LES est végétalisé sur la majeure partie de sa superficie, à l'exception d'une section qui sert à l'entreposage de matériaux. Le recouvrement final du LET sera entièrement végétalisé, ce qui neutralise l'érosion éolienne.

3.3 TAUX D'ÉMISSION DES CONTAMINANTS

3.3.1 Composés soufrés et COV

Les taux d'émission des contaminants sont déterminés à partir des calculs de génération et d'émission de biogaz. Le détail des calculs est présenté à l'Annexe D.

Il doit être précisé que le modèle a été paramétré en fonction d'un contaminant unitaire, dont la concentration théorique dans le biogaz a été fixée de façon arbitraire à 10 mg/m³. Les concentrations maximales dans l'air ambiant pour l'ensemble des contaminants d'intérêt (à l'exception du H₂S) ont été déterminées à partir des résultats obtenus pour le contaminant unitaire. Cette approche est valide même si plusieurs sources de contamination sont présentes sur le site. En effet, la proportion entre les contaminants émis à l'atmosphère est toujours la même quelle que soit la source (à l'exception du H₂S), et proportionnelle aux concentrations du biogaz collecté dans le LET et le LES.

Tel que discuté à la section 2.2 il est attendu que la concentration en H₂S dans le biogaz du LET diminue au fil des années. Les taux d'émission de H₂S ont été établis pour chaque scénario en considérant la concentration en H₂S attendue dans le biogaz du LET entre les années 2020 à 2022.

3.3.2 Odeurs

Les taux d'émission d'odeurs retenus par Tetra Tech sont basés sur des études de caractérisation réalisées par la firme Odotech sur deux (2) LET québécois, soient les sites de Lachute⁸ (exploité par la Régie intermunicipale Argenteuil—Deux-Montagnes) et Lachenaie⁹ (exploité par BFI Usine de Triage Lachenaie Ltée).

Sur la base des deux études réalisées par Odotech auprès des LET mentionnés, Tetra Tech a déterminé des taux d'émission d'odeurs applicables au site de Valoris. Le Tableau 9 synthétise les résultats des caractérisations des odeurs réalisées par Odotech et présente également le paramètre retenu par Tetra Tech dans le cadre de la présente étude de dispersion.

Tableau 9 Compilation des résultats de caractérisation des odeurs par Odotech

| Source | Taux d'émission d'odeurs mesuré par Odotech | | Taux d'émission d'odeurs retenu par Tetra Tech |
|---|--|---|---|
| | Lachute | Lachenaie | |
| | u.o./m ² .s | u.o./m ² .s | u.o./m ² .s |
| Front d'enfouissement | 7 juin 2000 : 8,66 28 juin : 5,46 [Valeur recommandée par Odotech, Annexe B « Analyses olfactométriques] | 3,35 (taux de variabilité saisonnière) x 0,76 = 2,55 | 5,46 |
| Zone avec recouvrement final et captage du biogaz | 8 juin 2000 : 0,14 28 juin : 0,19 | 0,01 – 0,03 | 0,1 |
| Zone avec recouvrement journalier | | 6,4 (taux de variabilité saisonnière) x 0,045 = 0,288 | 0,288 |
| Bassin non aéré | | 1,43 x 0,36 = 0,515 (Printemps, été, automne) 1 x 0,36 = 0,36 (Hiver) | 0,515 (Printemps, été, automne) 0,36 (Hiver) |
| Bassin aéré | | 1 x 0,1 | 0,1 |

La plateforme de compostage est également responsable de l'émission d'odeurs. Des taux d'émission d'odeurs sont préconisés par le MELCC dans les *Lignes directrices pour l'encadrement des activités de compostage* (2018)¹⁰ et sont repris au Tableau 10 suivant.

⁸ Odotech. Octobre 2001. *Caractérisation des émissions atmosphériques et évaluation de l'impact-odeur du lieu d'enfouissement sanitaire (L.E.S.) de la régie intermunicipale Argenteuil Deux-Montagnes – Rapport final.*

<http://voute.bape.gouv.qc.ca/dl/?id=00000087460>

⁹ Odotech. Septembre 2007. *Étude de la dispersion atmosphérique des odeurs, des SRT, des COV_T et du CH₄ du projet d'exploitation des cellules d'enfouissement sanitaire du secteur NORD de la compagnie BFI Usine de Triage Lachenaie Ltée. Rapport n° : 1066_20213_2.* https://archives.bape.gouv.qc.ca/sections/mandats/LET-Lachenaie/documents/PR8.3/PR8.3_1-3.pdf

¹⁰ <http://www.environnement.gouv.qc.ca/matières/valorisation/lignesdirectrices/compostage.pdf>

Tableau 10 Taux d'émission d'odeurs attribuables aux activités de compostage

| Type de pile | Période de maturation | Étape | Taux d'émission |
|--------------|-----------------------|----------|-----------------------|
| | | | u.o./m ² s |
| A | 1 à 5 semaines | Retourné | 15,61 |
| | | Au repos | 3,87 |
| B | 6 à 12 semaines | Retourné | 4,83 |
| | | Au repos | 1,05 |

3.4 PARAMÈTRES DES SOURCES D'ÉMISSION

3.4.1 Sources d'émissions surfaciques – Zones d'enfouissement

En considérant la composition du biogaz telle que présentée au Tableau 1 de la section 2.2, Tetra Tech a calculé les taux d'émission massique de ces contaminants. La méthode suivie est celle d'un bilan de masse appliquée au LES et au LET. Aussi, sur la base des taux d'émission obtenus de la littérature et présentés à la section 3.3.2, les taux d'émission des différentes sources d'odeurs du site de Valoris ont été déterminés. Il doit être noté que l'ancien LES n'a pas été considéré comme une source d'odeurs. En effet, la production d'odeurs a pratiquement cessé dans l'ancien LES compte tenu de l'âge important des déchets enfouis, ce qui est corroboré par les observations des opérateurs du site. Dans ce cas, il apparaît irréaliste de considérer que l'ancien LES émette autant d'odeurs que les zones récemment fermées du LET en opération. Le taux d'émission d'odeurs du LES a donc été considéré nul (0 u.o./m².s).

Le détail des calculs des taux d'émission d'odeurs peut être consulté sur les feuilles de calculs présentées à l'Annexe D.

Dans le contexte d'une étude de dispersion, le Ministère préconise que les émissions diffuses d'une zone d'enfouissement soient associées à une source surfacique correspondant au chapeau de ladite zone d'enfouissement. L'élévation de la source surfacique doit correspondre à l'élévation réelle du chapeau de la zone d'enfouissement. Cette approche a été suivie dans le cadre de la présente étude.

Il doit être noté que la cellule en surélévation change quelque peu la forme du chapeau du LET. La source d'émission associée au LET dans AERMOD a été altérée en conséquence pour les deux (2) scénarios correspondants. Le plan de l'Annexe C montre le chapeau du LET, pour le scénario existant d'une part, et pour les scénarios de la cellule en surélévation d'autre part. L'élévation retenue pour le chapeau de la cellule en surélévation est l'élévation moyenne observée à sa surface.

Le Tableau 11 présente les paramètres de l'ancien LES et du LET au sens du modèle.

Tableau 11 Paramètres de l'ancien LES et du LET actuel

| Paramètre | LES | LET existant | LET avec cellule en surélévation |
|--------------------------------------|--|--|--|
| Type de source | Surfacique polygonale | Surfacique polygonale | Surfacique polygonale |
| Superficie | 76 344 m ² | 49 452 m ² | 27 167 m ² |
| Élévation | 263 m | 280 m | 283 m |
| Hauteur de rejet | 0 m | 0 m | 0 m |
| Émissions diffuses de biogaz | 2020 : 855 895 m ³ /an | 2020 : 2 111 063 m ³ /an | |
| | 2021 : 806 858 m ³ /an | | 2021 : 1 467 208 m ³ /an |
| | 2022 : 760 631 m ³ /an | | 2022 : 1 570 985 m ³ /an |
| Taux d'émission surfacique du biogaz | 2020 : 3,55 x 10 ⁻⁷ m ³ /m ² .s | 2020 : 1,35 x 10 ⁻⁶ m ³ /m ² .s | |
| | 2021 : 3,35 x 10 ⁻⁷ m ³ /m ² .s | | 2021 : 1,71 x 10 ⁻⁶ m ³ /m ² .s |
| | 2022 : 3,16 x 10 ⁻⁷ m ³ /m ² .s | | 2022 : 1,83 x 10 ⁻⁶ m ³ /m ² .s |
| Taux d'émission d'odeurs | 0 | 2020 : 0,264 u.o./m ² .s (jour) 0,170 u.o./m ² .s (nuit) | 2021 et 2022 : 0,314 u.o./m ² .s (jour) 0,143 u.o./m ² .s (nuit) |

Les taux d'émission d'odeurs du LET ont été calculés comme suit :

- Existant : en 2020 le LET est muni de recouvrement final sur 63 % de sa superficie. On considère également une zone de travail active (mise en place des déchets) de 900 m², qui émet davantage d'odeurs durant les heures d'opération du site (7h à 17h). Les taux d'émission d'odeurs moyens calculés pour l'état existant du LET sont les suivants :
 - Durant les heures d'opération : 0,264 u.o./m².s
 - En dehors des heures d'opération : 0,170 u.o./m².s
- Cellule en surélévation : le séquençage de la cellule en surélévation prévoit un maximum de 20 000 m² de superficie en opération, sans recouvrement final. Durant les deux (2) années de l'opération de la cellule en surélévation, le LET est muni d'un recouvrement final sur 77 % de sa superficie. On considère également une zone de travail active de 900 m². Les taux d'émission moyens calculés pour le LET avec la cellule en surélévation sont :
 - Durant les heures d'opération : 0,314 u.o./m².s
 - En dehors des heures d'opération : 0,143 u.o./m².s

3.4.2 Émission diffuses par les bassins d'accumulation et de traitement du lixiviat

Les eaux de lixiviation générées par le LES et le LET actuel sont dirigées vers des filières de traitement. Les eaux du LES sont dirigées vers un bassin d'accumulation, avant traitement dans des bassins aérés et un bassin de

décantation. Les eaux du LET sont dirigées vers un bassin d'accumulation, avant traitement dans trois étangs aérés et un filtre à tourbe. Les bassins d'accumulation sont susceptibles d'émettre certaines quantités de H₂S, en raison des conditions anaérobies qui peuvent s'y développer. Le reste de la filière de traitement, en aval des bassins d'accumulation, est en condition aérobie et n'émet donc pas de H₂S.

Tetra Tech a connaissance d'une étude de caractérisation des émissions de H₂S à la surface de bassins d'égalisation dans un lieu d'enfouissement du Québec (*demande de CA de la Régie de la Mauricie, septembre 2016*). Sur la base de cette étude, un taux d'émission de H₂S de $3,47 \times 10^{-9}$ g/m²s est appliqué à la surface des bassins d'accumulation du site de Valoris.

Par ailleurs les bassins sont considérés comme des sources d'odeurs. Un taux d'émission d'odeurs de 0,36 u.o./m².s (hiver) et 0,51 u.o./m².s (printemps, été, automne) a été appliqué aux bassins non aérés. Un taux d'émission d'odeurs de 0,1 u.o./m².s a été appliqué aux bassins aérés, sans variabilité saisonnière (voir Tableau 9). Le Tableau 12 et le Tableau 13 présentent les paramètres des sources surfaciques associées aux bassins.

Tableau 12 Paramètres des bassins non aérés

| Paramètre | Bassin d'accumulation du LES | Bassin d'accumulation du LET | Bassin des boues du LET | Bassin de décantation du LES |
|--|---|---|-----------------------------|------------------------------|
| Type de source | Surfacique | Surfacique | Surfacique | Surfacique |
| Superficie | 19 050 m ² | 7 807 m ² | 2 400 m ² | 2 285 m ² |
| Élévation | 244 m | 248 m | 248 m | 245 m |
| Hauteur de rejet | 0 m | 0 m | 0 m | 0 m |
| Taux d'émission surfacique de H ₂ S | $3,47 \times 10^{-9}$ g/m ² .s | $3,47 \times 10^{-9}$ g/m ² .s | 0 g/m ² .s | 0 g/m ² .s |
| Taux d'émission des odeurs (Hiver) | 0,36 u.o./m ² .s | 0,36 u.o./m ² .s | 0,36 u.o./m ² .s | 0,36 u.o./m ² .s |
| Taux d'émission des odeurs (Printemps, été, automne) | 0,51 u.o./m ² .s | 0,51 u.o./m ² .s | 0,51 u.o./m ² .s | 0,51 u.o./m ² .s |

Tableau 13 Paramètres des bassins aérés

| Paramètre | Bassin d'oxydation #1 du LET | Bassin d'oxydation #2 du LET | Bassin de traitement #1 du LES | Bassin de traitement #2 du LES |
|----------------------------|------------------------------|------------------------------|--------------------------------|--------------------------------|
| Type de source | Surfacique | Surfacique | Surfacique | Surfacique |
| Superficie | 2 400 m ² | 2 400 m ² | 3 745 m ² | 1 888 m ² |
| Élévation | 248 m | 248 m | 245 m | 245 m |
| Hauteur de rejet | 0 m | 0 m | 0 m | 0 m |
| Taux d'émission des odeurs | 0,1 u.o./m ² .s | 0,1 u.o./m ² .s | 0,1 u.o./m ² .s | 0,1 u.o./m ² .s |

3.4.3 Plateforme de compostage

Les conditions d'opération de la plateforme de compostage ont un impact sur les taux d'émission d'odeurs, qui sont influencés entre autres par la quantité de matières organiques en traitement ainsi que la fréquence de retournement des piles. La plateforme de compostage accueille typiquement jusqu'à 8 piles de compost en traitement simultanément. Chaque pile a une emprise au sol de 110' par 200', soit 22 000 pieds carrés ou 2 044 m². Le retournement d'une pile en traitement est fait à intervalles de 1 à 2 mois, à concurrence de 5 à 6 retournements par

lot. Le retournement d'une pile à l'aide de machinerie dure environ une semaine, soit 5 jours de travail, et est fait sur une (1) pile à la fois.

La réception des matières organiques pour traitement est répartie de façon uniforme durant l'année, les piles présentes sur le site sont donc à des niveaux de maturation différents. Dans ses *Lignes directrices pour l'encadrement des activités de compostage*, le MDELCC propose des taux d'émission d'odeurs pour des piles de type A (période de maturation entre 1 et 5 semaines) et de type B (période de maturation entre 6 et 12 semaines). Un taux d'émission nul (0 u.o./m²/s) est appliqué aux piles en maturation depuis plus de 12 semaines.

Il doit être souligné que selon l'expérience de l'opérateur du site, seuls les deux (2) premiers retournements occasionnent des odeurs perceptibles, soit lorsque le compost est en maturation depuis 2 à 4 mois. Au-delà de cette durée de maturation, il n'y a pas d'émission d'odeurs significative par les piles en traitement. Les différents taux d'émission d'odeurs retenus selon la durée de maturation sont représentatifs de la réalité observée sur le site.

Aux fins des calculs, Tetra Tech considère que deux (2) piles sont de type A, et deux (2) piles sont de type B. Selon cette hypothèse, la moitié des matières présentes (4 piles sur 8 au total) sont âgées de 12 semaines ou moins. Les autres lots (4 piles sur 8 au total) sont âgés de plus de 12 semaines. Afin d'être conservateur, Tetra Tech modélise le cas de figure où une pile de type A est en cours de retournement, puisque les émissions d'odeurs sont les plus importantes à ce moment.

Les taux d'émission d'odeurs sont appliqués aux piles de la façon suivante :

- Retournement d'une partie d'une pile de type A : 15,61 u.o./m².s x 409 m²
- Piles de type A au repos : 3,87 u.o./m².s x (1 635 m² + 2 044 m²)
- Piles de type B au repos : 1,05 u.o./m².s x 2 044 m² x 2
- Piles plus matures que 12 semaines : aucune émission (0 u.o./m².s)

Puisque les travaux de retournement sont faits le jour uniquement, des taux d'émission distincts ont été établis pour le jour et la nuit. Dans le modèle de dispersion, les émissions des 8 piles ont été associées à la superficie totale de la plateforme soit 42 000 m² pour simplifier la modélisation sans impacts sur les résultats

- Taux d'émission de jour : 24 910 u.o./s soit 0,590 u.o./m².s à la grandeur de la plateforme
- Taux d'émission de nuit : 20 111 u.o./s soit 0,477 u.o./m².s

Le Tableau 14 présente en détails les calculs des taux d'émission.

Tableau 14 Calcul du taux d'émission d'odeurs de la plateforme de compostage

| Pile # | Superficie | | Période de maturation | Retournement | Taux d'émission d'odeurs | |
|-------------------------|---------------|-------|-----------------------------|--------------|--------------------------|--------------|
| | | | | | Jour | Nuit |
| 1 (Retournée) | 4 400 | 409 | 1 à 5 sem. Piles type A | Oui | 15.61 | 3.87 |
| 1 (Au repos) | 17 600 | 1 635 | | Non | 3.87 | 3.87 |
| 2 | 22 000 | 2 044 | | Non | 3.87 | 3.87 |
| 3 | 22 000 | 2 044 | 6 à 12 sem. Piles type B | Non | 1.05 | 1.05 |
| 4 | 22 000 | 2 044 | | Non | 1.05 | 1.05 |
| 5 | 22 000 | 2 044 | Plus de 12 semaines | Non | 0 | 0 |
| 6 | 22 000 | 2 044 | | Non | 0 | 0 |
| 7 | 22 000 | 2 044 | | Non | 0 | 0 |
| 8 | 22 000 | 2 044 | | Non | 0 | 0 |
| Total plateforme | 42 200 | - | | - | 0.590 | 0.477 |

3.4.4 Bilan des émissions d'odeurs

À titre de résumé, le Tableau 15 suivant présente la contribution respective de chaque source d'odeurs, en termes d'émission d'odeurs dans l'atmosphère, pour les deux années modélisées et en conditions estivales. Il ressort de ce tableau que le LET représente une source non négligeable d'odeurs, toutefois la majeure partie des émissions d'odeurs provient des activités de la plateforme de compostage présente sur le site.

Tableau 15 Émissions associées aux différentes sources d'odeurs en conditions estivales

| Source | Émissions d'odeurs en conditions estivales | | | | | | | |
|-----------------------------------|--|-------------|-------------|-------------|--------------------------------------|------|--------|------|
| | LET existant (2020) | | | | LET avec surélévation (2021—2022) | | | |
| | Jour 7h—17h | Nuit 17h—7h | Jour 7h—17h | Nuit 17h—7h | | | | |
| | u.o./s | - | u.o./s | - | u.o./s | - | u.o./s | - |
| LES | 0 | 0% | 0 | 0% | 0 | 0% | 0 | 0% |
| LET | 13 074 | 26% | 8 420 | 18% | 8 540 | 18% | 3 885 | 9% |
| Bassin d'accumulation du LES | 5 560 | 11% | 5 560 | 12% | 5 560 | 12% | 5 560 | 13% |
| Bassin d'accumulation du LET | 4 019 | 8% | 4 019 | 9% | 4 019 | 9% | 4 019 | 10% |
| Bassin de décantation du LES | 1 176 | 2% | 1 176 | 3% | 1 176 | 3% | 1 176 | 3% |
| Bassin des boues du LET | 1 236 | 2% | 1 236 | 3% | 1 236 | 3% | 1 236 | 3% |
| Bassins d'oxydation du LET (x2) | 480 | 1% | 480 | 1% | 480 | 1% | 480 | 1% |
| Bassins de traitement du LES (x2) | 563 | 1% | 563 | 1% | 563 | 1% | 563 | 1% |
| Plateforme de compostage | 24 911 | 49% | 24 911 | 54% | 24 911 | 54% | 24 911 | 60% |
| Total | 51 019 | 100% | 46 365 | 100% | 46 485 | 100% | 41 830 | 100% |

3.5 DESCRIPTION DU MODÈLE RETENU

Le modèle AERMOD, version 19191, a été retenu. Ce modèle est approuvé par le Ministère. Le module BPIP est utilisé pour tenir compte de l'influence d'un bâtiment de dimensions significatives sur le site du projet.

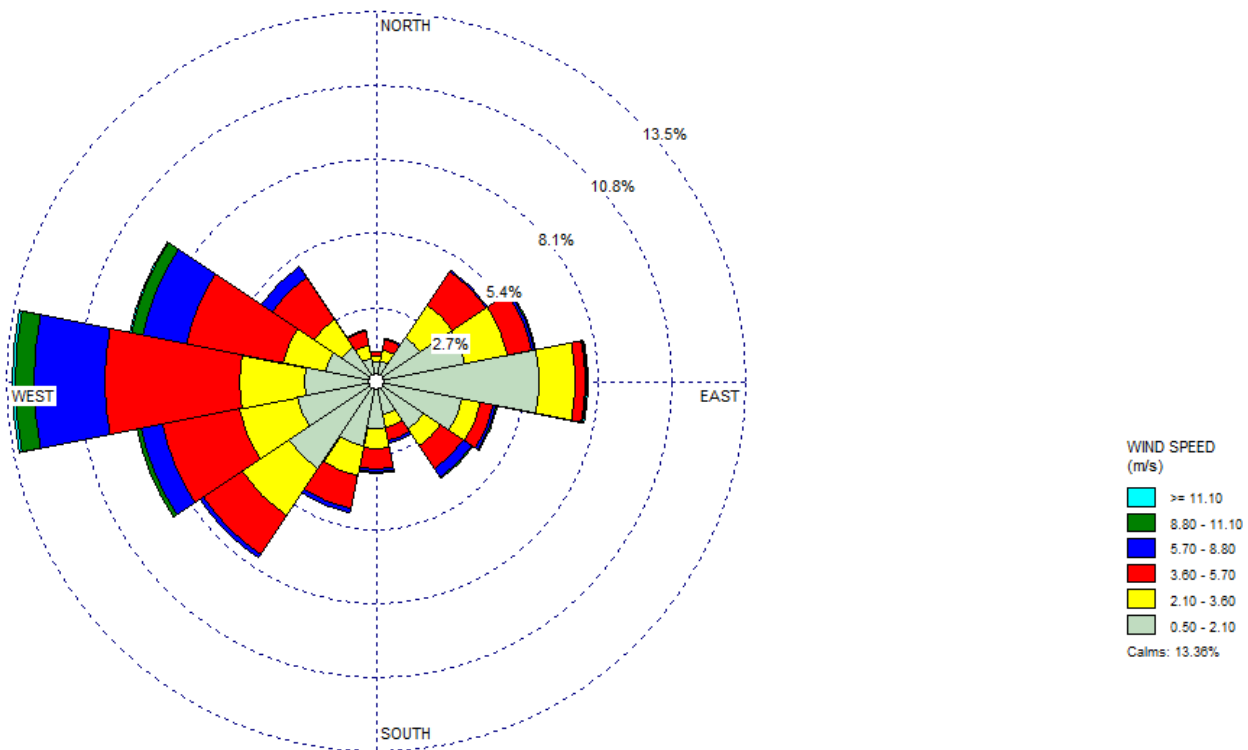
3.6 DONNÉES MÉTÉOROLOGIQUES

Le Ministère met à disposition des données météorologiques¹¹ sous un format prétraité prêt à être intégré au modèle AERMOD (fichiers *.pfl et *.sfc), disponibles pour plusieurs stations au Québec. Le Ministère préconise que ces données météorologiques soient utilisées pour les études de dispersion lorsqu'elles sont jugées représentatives du lieu de modélisation. Toutefois dans le cas présent, ces jeux de données ne sont pas représentatifs des conditions du site.

Les données météorologiques utilisées dans le modèle proviennent de la station météo de Sherbrooke, pour la période 2004—2008. Cette station a été retenue puisqu'elle est située à proximité et présente des caractéristiques adaptées au site.

La Figure 3 présente la rose des vents extraite des données météorologiques.

¹¹ <http://www.environnement.gouv.qc.ca/air/criteres/index.htm>

Figure 3 Rose des vents

3.7 RÉCEPTEURS

3.7.1 Grille de récepteurs

Le domaine de modélisation mesure 10 km par 10 km centré sur le LET de Valoris.

Une grille de récepteurs a été appliquée au domaine de modélisation, avec le maillage suivant : 20 m entre 0 et 300 m du centre de la grille; 100 m entre 300 m et 500 m; 200 m entre 500 m et 1 km; 500 m entre 1 km et la limite du domaine de modélisation.

Des récepteurs cartésiens ont été placés le long de la limite de la propriété, à 50 mètres d'intervalle.

La Figure 4 illustre la localisation des récepteurs autour du site.

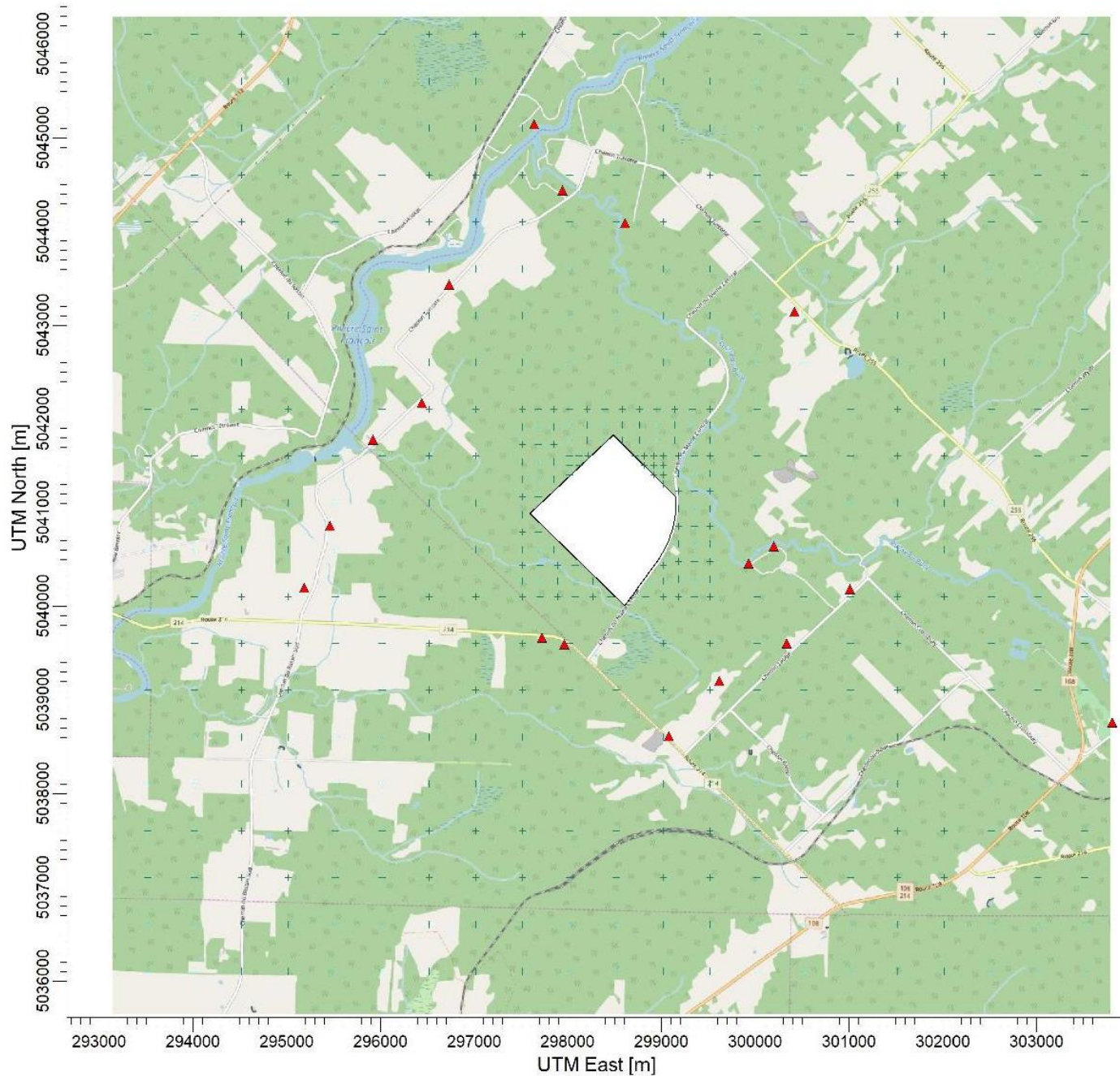
3.7.2 Récepteurs sensibles

Les récepteurs sensibles identifiés au voisinage du site des résidences, ainsi que l'école primaire de Bury. Leurs coordonnées sont indiquées au Tableau 16. La Figure 4 illustre la localisation des récepteurs sensibles autour du site.

Tableau 16 Récepteurs sensibles

| Récepteur sensible | | Coordonnées | | |
|--------------------|-------------|-------------|-----------|---------------|
| ID | Description | X (m) | Y (m) | Élevation (m) |
| Res1 | Résidence | 297 963 | 5 039 596 | 246 |
| Res2 | Résidence | 297 726 | 5 039 663 | 246 |
| Res3 | Résidence | 295 464 | 5 040 862 | 244 |
| Res4 | Résidence | 295 189 | 5 040 198 | 232 |
| Res5 | Résidence | 295 921 | 5 041 779 | 212 |
| Res6 | Résidence | 296 442 | 5 042 171 | 236 |
| Res7 | Résidence | 296 734 | 5 043 435 | 236 |
| Res8 | Résidence | 297 942 | 5 044 441 | 210 |
| Res9 | Résidence | 299 079 | 5 038 612 | 260 |
| Res10 | Résidence | 299 620 | 5 039 203 | 265 |
| Res11 | Résidence | 300 335 | 5 039 605 | 274 |
| Res12 | Résidence | 301 012 | 5 040 182 | 260 |
| Res13 | Résidence | 299 928 | 5 040 458 | 239 |
| Res14 | Résidence | 300 200 | 5 040 643 | 240 |
| Res15 | Résidence | 300 421 | 5 043 148 | 235 |
| Res16 | Résidence | 298 614 | 5 044 090 | 212 |
| Res17 | Résidence | 297 643 | 5 045 149 | 208 |
| Ecole | École | 303 808 | 5 038 761 | 294 |

Figure 4 Grille des récepteurs et récepteurs sensibles



3.8 BÂTIMENTS

Un bâtiment est modélisé dans AERMOD. Il s'agit du centre de tri. La Figure 5 présente l'implantation du bâtiment. Sa hauteur est estimée à 10 mètres par rapport au sol. Le module BPIP est utilisé pour tenir compte de l'effet de sillage de ce bâtiment sur la dispersion des contaminants.

Figure 5 Bâtiment modélisé



4.0 RÉSULTATS DE LA MODÉLISATION

Les résultats de la modélisation de la dispersion atmosphérique permettent d'évaluer les concentrations maximales des contaminants suivis dans l'air ambiant pour les périodes de 4 minutes, 1h, 24h ainsi que les concentrations moyennes annuelles. Il faut rappeler que les taux d'émission considérés sont ceux calculés pour trois scénarios, soient les années 2020 à 2022 couvrant la dernière année d'opération du LET existant ainsi que les deux (2) années d'opération de la cellule en surélévation.

Les résultats de la dispersion du sulfure d'hydrogène (H_2S), des odeurs et des paramètres pour lesquels la concentration maximale dépasse 75 % de la valeur limite sont disponibles sous forme de cartes d'isolignes de concentration présentées à l'Annexe F. Les cinquante (50) concentrations les plus élevées sur 4 minutes, 1h, 24h et 1 an et les concentrations maximales observées aux récepteurs sensibles sont colligées dans les tableaux de l'Annexe E.

Enfin, Tetra Tech précise que le sulfure d'hydrogène, le diméthylsulfure (DMS), l'éthanethiol et le méthanethiol sont considérés comme additifs pour la période de 1 an. La somme des concentrations annuelles modélisées pour ces quatre (4) contaminants doit être comparée au critère applicable de $2 \mu\text{g}/\text{m}^3$. L'élément « Soufres réduits totaux (SRT)

additifs » présent dans les tableaux de l'Annexe E correspond à la sommation des concentrations annuelles modélisées pour ces quatre (4) contaminants.

4.1 COMPOSÉS SOUFRÉS ET COV

L'ensemble des concentrations maximales sur 4 minutes, 1h, 24h et 1 an respecte les normes du RAA et les critères de qualité de l'air du MELCC, à l'exception du paramètre du sulfure d'hydrogène (H_2S).

Les résultats montrent des dépassements importants de la norme sur 4 minutes pour le H_2S .

- Les concentrations ambiantes les plus élevées sont atteintes avec le scénario du LET existant (2020) : **355 µg/m³** vs. norme 6 µg/m³;
- Lors de l'opération de la surélévation du LET, les concentrations ambiantes obtenues sont inférieures à celles de l'an 2020, mais supérieures à la norme :
 - 2021 (Surélévation An 1) : **227 µg/m³** vs. norme 6 µg/m³;
 - 2022 (Surélévation An 2) : **121 µg/m³** vs. norme 6 µg/m³.

Les récepteurs sensibles sont impactés par les dépassements de norme pour le H_2S sur 4 minutes. Sur un total de 18 récepteurs sensibles identifiés, la concentration maximale moyenne sur 4 minute dépasse la norme :

- 2020 : À 18 récepteurs sensibles (la totalité), avec un maximum de **62 µg/m³** à la résidence RÉS_14
- 2021 : À 18 récepteurs sensibles (la totalité), avec un maximum de **38 µg/m³** à la résidence RÉS_3
- 2022 : À 17 récepteurs sensibles, avec un maximum de **20 µg/m³** à la résidence RÉS_6

Les résultats détaillés montrant les concentrations maximales en H_2S observées pour chaque scénario modélisé, incluant les récepteurs sensibles, sont disponibles sous forme de tableaux à l'Annexe E. Les résultats pour ce paramètre sont également illustrés aux cartes de l'Annexe F.

4.2 ODEURS

Les critères d'odeurs sont évalués pour le 99,5^e centile et le 98^e centile des concentrations maximales dans l'air ambiant, sur une base de 4 minutes. Les résultats de la modélisation montrent des dépassements des critères de qualité de l'air applicable aux odeurs, dans un périmètre de quelques centaines de mètres au-delà de la limite de propriété. Également, deux (2) récepteurs sensibles voisins du site sont impactés par les dépassements des critères d'odeurs.

Les résultats obtenus sont similaires pour les années 2020 à 2022. La distribution et les maximums observés varient peu d'un scénario à l'autre. Le scénario du LET existant (2020) montre des résultats légèrement plus élevés que pour les autres scénarios (cellule en surélévation, 2021 et 2022) mais la différence est négligeable (moins de 1 %).

Pour tous les scénarios modélisés :

- Le critère de 5 u.o./m³ au 99,5^e centile est dépassé sur une distance maximale de 450 mètres à l'ouest, et 950 mètres à l'est du site;
- Le critère de 1 u.o./m³ au 98^e centile est dépassé sur une distance maximale de 900 mètres à l'ouest, et 900 mètres à l'est du site;
- Les critères d'odeurs sont dépassés à l'endroit de deux (2) récepteurs sensibles, soient les résidences RÉS_13 et RÉS_14
 - Le 99,5^e centile sur 4 minutes atteint **8,1 u.o./m³ au récepteur RÉS_13 et 7,3 u.o./m³ au récepteur RÉS_14** (vs. critère 5 u.o./m³)
 - Le 98^e centile sur 4 minutes atteint **1,3 u.o./m³ au récepteur RÉS_13 et 1,4 u.o./m³ au récepteur RÉS_14** (vs. critère 1 u.o./m³)

Bien que le LET représente une source non négligeable d'odeurs, les émissions d'odeurs semblent dominées par la plateforme de compostage qui contribue à elle seule à plus de la moitié des odeurs émises à l'atmosphère. La problématique des dépassements des critères d'odeurs, notamment à l'endroit des résidences RÉS_13 et RÉS_14 situées sur le Chemin Éloi au sud-est du site, ne saurait être attribuée exclusivement au LET, mais semble plutôt associée aux opérations de compostage.

5.0 CONCLUSION

La modélisation de la dispersion atmosphérique a permis d'évaluer la qualité de l'air ambiant au voisinage du site de Valoris, dans le contexte de l'opération d'une cellule en surélévation construite sur le LET existant. Trois (3) scénarios ont été élaborés pour simuler les conditions des années 2020, 2021 (An 1 de la cellule en surélévation) et 2022 (An 2 de la cellule en surélévation).

Les résultats montrent des dépassements de norme pour le paramètre du H₂S sur 4 minutes et ce, pour les trois (3) scénarios modélisés. Des dépassements de norme sont également observables à l'endroit des récepteurs sensibles.

Le scénario du LET existant (2020) est le plus défavorable et présente aux concentrations les plus élevées. Ceci est principalement dû à l'enfouissement de résidus fins de centre de tri, riches en soufre qui est dégradé en H₂S en conditions anaérobies.

Lors de l'opération de la cellule en surélévation (2021 et 2022), les résultats obtenus sont inférieurs à ceux de 2020, mais supérieurs à la norme. Le séquençage de la cellule en surélévation limite la superficie ouverte à 20 000 m², ce qui réduit les émissions de biogaz par rapport à la situation existante.

Par ailleurs, la dispersion atmosphérique des odeurs a également été modélisée. Les résultats montrent des dépassements des critères d'odeurs, les seuils de 5 u.o./m³ au 99,5^e centile et de 1 u.o. au 98^e centile sur 4 minutes étant dépassés sur une distance pouvant atteindre 900 mètres à 950 mètres de part et d'autre du site. Également, les deux résidences RÉS_13 et RÉS_14 situées sur le Chemin Éloi au sud-est du site sont impactées par les dépassements des critères d'odeurs. Les résultats obtenus pour les trois (3) scénarios modélisés sont semblables et aucune différence significative n'est observable.

Les émissions d'odeurs associées aux opérations du site de Valoris semblent dominées par la contribution de la plateforme de compostage, qui représente la moitié des émissions d'odeurs totales du site. Bien que non négligeables, les émissions d'odeurs du LET sont relativement faibles par rapport aux autres sources. Également, le projet de cellule en surélévation sur le LET n'aggrave pas la situation en termes d'odeurs dans l'air ambiant.

Valoris prévoit de mettre en place des mesures de contrôle des émissions diffuses de biogaz et d'odeurs, parmi lesquelles :

- un captage efficace des biogaz produits par les matières résiduelles en place, à l'aide d'un réseau de captage comprenant des puits verticaux et des drains perforés horizontaux;
- la mise en place d'un recouvrement final imperméable sur l'ensemble des zones ayant atteint leur niveau final, de façon à laisser ouverte une zone de travail active de 20 000 m².

L'analyse démontre que les concentrations de contaminants dans l'air ambiant générées par le projet de surélévation proposé par Valoris seront inférieures à celles générées par le LET actuel. Le projet respecte donc les préconisations du *Règlement sur l'assainissement de l'atmosphère*, en particulier les articles 196 et 197.

ANNEXE A COMPOSITION DU BIOGAZ POUR L'ÉVALUATION DES IMPACTS DES LET

Composition du biogaz à prendre en compte pour l'évaluation des impacts des LET

* Le respect des normes et des critères dont la période est de 24 heures et moins doit être vérifié en utilisant le taux d'émission annuel maximal de biogaz.

* Le respect des normes et des critères dont la période est de 1 an doit être vérifié en utilisant la moyenne des 25 taux d'émissions de biogaz annuels maximaux.

* Les seuils de référence sont disponibles dans le document Normes et critères québécois de qualité de l'atmosphère sur le site Internet du MDDELCC.

* La proportion d'hydrogen sulfide doit être adaptée pour tenir compte de la présence de résidus de construction, rénovation et démolition contenant du gypse, le cas échéant.

* La modélisation sera réalisée sur la base d'un contaminant fictif ayant une concentration de 1 mg/m³ dans le biogaz. Les concentrations des contaminants seront établies en fonction de la proportion réelle.

| CAS | Nom | Biogaz ppmv | Biogaz mg/m ³ |
|-----------|--|----------------|-----------------------------|
| 71-55-6 | 1,1,1-Trichloroethane (methyl chloroform) | 0.243 | 1.325 |
| 79-34-5 | 1,1,2,2-Tetrachloroethane | 1.11 | 7.614 |
| 75-34-3 | 1,1-Dichloroethane (ethyldene dichloride) | 2.08 | 8.413 |
| 75-35-4 | 1,1-Dichloroethène (vinylidène chloride) | 0.16 | 0.634 |
| 107-06-2 | 1-2 Dichloroethane (ethylene dichloride) | 0.159 | 0.643 |
| 78-87-5 | 1,2-Dichloropropane (propylene dichloride) | 0.18 | 0.831 |
| 67-63-0 | 2-Propanol | 1.8 | 4.422 |
| 67-64-1 | Acétone | 7.01 | 16.638 |
| 107-13-1 | Acrylonitrile | 6.33 | 13.726 |
| 71-43-2 | Benzène | 2.4 | 7.661 |
| 75-27-4 | Bromodichloromethane | 3.13 | 20.956 |
| 75-15-0 | Carbon disulfide | 0.147 | 0.457 |
| 56-23-5 | Carbon tetrachloride | 0.00798 | 0.050 |
| 463-58-1 | Carbonyl sulfide | 0.122 | 0.299 |
| 108-90-7 | Chlorobenzene | 0.484 | 2.226 |
| 75-00-3 | Chloroethane (ethyl chloride) | 3.95 | 10.415 |
| 67-66-3 | Chloroforme | 0.0708 | 0.345 |
| 74-87-3 | Chlorométhane | 1.21 | 2.497 |
| 106-46-7 | p-Dichlorobenzene | 0.94 | 5.647 |
| 75-43-4 | Dichlorofluoromethane | 2.62 | 11.020 |
| 75-09-2 | Dichloromethane (methylene chloride) | 14.3 | 49.638 |
| 75-18-3 | Dimethyl sulfide | 5.66 | 14.371 |
| 64-17-5 | Ethanol | 0.23 | 0.433 |
| 75-08-1 | Ethyl mercaptan | 0.198 | 0.503 |
| 100-41-4 | Ethylbenzene | 4.86 | 21.084 |
| 106-93-4 | Ethylene dibromide | 0.0048 | 0.037 |
| 110-54-3 | Hexane | 6.57 | 23.139 |
| 7783-06-4 | Hydrogen sulfide | 32 | 44.567 |
| 7439-97-6 | Mercury (total) | 0.000122 | 0.001 |
| 78-93-3 | Methyl ethyl ketone | 7.09 | 20.893 |
| 108-10-1 | Methyl isobutyl ketone | 1.87 | 7.654 |
| 74-93-1 | Methyl mercaptan | 1.37 | 2.694 |
| 109-66-0 | Pentane | 4.46 | 13.150 |
| 127-18-4 | Perchloroethylene (tretrachloroethene) | 2.03 | 13.757 |
| 156-60-5 | t-1,2-dichloroethene | 2.84 | 11.251 |
| 108-88-3 | Toluène | 39.3 | 111.080 |
| 79-01-6 | Trichloroethylene (Trichloroethene) | 0.828 | 4.446 |
| 75-01-4 | Vinyl chloride | 1.42 | 3.627 |
| 1330-20-7 | Xylenes | 9.23 | 40.043 |

ANNEXE B CONTAMINANTS SUIVIS ET NORMES ET CRITÈRES APPLICABLES

Contaminants modélisés et normes et critères applicables

| Contaminant | CAS | Valeur limite ($\mu\text{g}/\text{m}^3$) | | | | | | Concentration initiale ($\mu\text{g}/\text{m}^3$) | | | | | |
|--|-----------|--|--------|-------|-----|------|-------|---|--------|-----|-----|------|-------|
| | | 4 min | 15 min | 1 h | 8 h | 24 h | 1 an | 4 min | 15 min | 1 h | 8 h | 24 h | 1 an |
| Odeurs 99.5e centile | | 5 | | | | | | 0 | | | | | |
| Odeurs 98e centile | | 1 | | | | | | 0 | | | | | |
| Soufres réduits totaux (SRT) additifs | | | | | | | 2 | | | | | | 0 |
| Hydrogen sulfide | 7783-06-4 | 6 | | | | | 2 | 0 | | | | | 0 |
| Dimethyl sulfide | 75-13-3 | 8 | | | | | | 0 | | | | | |
| Ethyl mercaptan | 75-08-1 | 0.1 | | | | | | 0 | | | | | |
| Methyl mercaptan | 74-93-1 | 0.7 | | | | | | 0 | | | | | |
| 1,1,1-Trichloroethane (methyl chloroform) | 71-55-6 | | | 7200 | | | | | | 0 | | | |
| 1,1,2,2-Tetrachloroethane | 79-34-5 | | | | | | 0.05 | | | | | | 0.03 |
| 1,1-Dichloroethane (ethylidene dichloride) | 75-34-3 | | | 4050 | | | 1.2 | | | 0 | | | 0 |
| 1,1-Dichloroéthène (vinylidène chloride) | 75-35-4 | | | | | | 0.5 | | | | | | 0.04 |
| 1-2 Dichloroethane (ethylene dichloride) | 107-06-2 | | | | | | 0.11 | | | | | | 0.07 |
| 1,2-Dichloropropane (propylene dichloride) | 78-87-5 | | | | | | 4 | | | | | | 0 |
| 2-Propanol | 67-63-0 | 7800 | | | | | | 0 | | | | | |
| Acétone | 67-64-1 | 8600 | | | | | 380 | 170 | | | | | 4 |
| Acrylonitrile | 107-13-1 | | | | | | 12 | | | | | | 0 |
| Benzène | 71-43-2 | | | | 10 | | | | | | | | 3 |
| Bromodichloromethane | 75-27-4 | | | | | 0.08 | | | | | | | 0.03 |
| Carbon disulfide | 75-15-0 | 25 | | | | | | 0 | | | | | |
| Carbon tetrachloride | 56-23-5 | | | | | 1 | | | | | | | 0.7 |
| Carbonyl sulfide | 463-58-1 | 135 | | | | | 2.6 | 0 | | | | | 0 |
| Chlorobenzene | 108-90-7 | | | | | 8.5 | | | | | | | 0.3 |
| Chloroethane (ethyl chloride) | 75-00-3 | 10900 | | | | | 500 | 0 | | | | | 0 |
| Chloroforme | 67-66-3 | | | | | | 0.24 | | | | | | 0.2 |
| Chlorométhane | 74-87-3 | | | | | | 4.5 | | | | | | 1.1 |
| p-Dichlorobenzene | 106-46-7 | 730 | | | | | 160 | 0 | | | | | 0 |
| Dichlorofluoromethane | 75-43-4 | | | | | | 100 | | | | | | 0 |
| Dichlorométhane (methylene chloride) | 75-09-2 | | | 14000 | | | 3.6 | | | 6 | | | 1 |
| Ethanol | 64-17-5 | 340 | | | | | | 0 | | | | | |
| Ethylbenzene | 100-41-4 | 740 | | | | | 200 | 140 | | | | | 3 |
| Ethylene dibromide | 106-93-4 | | | | | | 0.022 | | | | | | 0.02 |
| Hexane | 110-54-3 | 5300 | | | | | 140 | 140 | | | | | 3 |
| Mercury (total) | 7439-97-6 | | | | | | 0.005 | | | | | | 0.002 |
| Methyl ethyl ketone | 78-93-3 | 740 | | | | | | 1.5 | | | | | |
| Methyl isobutyl ketone | 108-10-1 | 400 | | | | | | 0 | | | | | |
| Pentane | 109-66-0 | 4120 | | | | | 240 | 190 | | | | | 9 |
| Perchloroethylene (tetrachloroethene) | 127-18-4 | | | | | | 2 | | | | | | 1 |
| t-1,2-dichloroethene | 156-60-5 | 336 | | | | | 2 | 0 | | | | | 0 |
| Toluène | 108-88-3 | 600 | | | | | | 260 | | | | | |
| Trichloroethylene (Trichloroethene) | 79-01-6 | | | | | | 0.4 | | | | | | 0.3 |
| Vinyl chloride | 75-01-4 | | | | | | 0.05 | | | | | | 0.03 |
| Xylenes | 1330-20-7 | 350 | | | | | 20 | 150 | | | | | 8 |

ANNEXE C PLAN DE LA SURÉLÉVATION DU LET

LÉGENDE

| |
|--|
| ZONE TAMPON |
| LIGNE DE PROPRIÉTÉ |
| LIGNE DE LOT |
| LIGNE ANCIEN LOT |
| COURBE DE NIVEAU TERRAIN EXISTANT |
| 251,0 250,0 |
| COURBE DE NIVEAU NAPPE PHRÉATIQUE (MAI 2018) |
| 256,0 255,0 254,0 |
| SENS D'ÉCOULEMENT EAUX SOUTERRAINES |
| FO-XX-XX FORAGE (PIEZOMÈTRE) |
| TE-XX-XX TRANCHÉE D'EXPLORATION |
| HAUT DE TALUS |
| BAS DE TALUS |
| FOSSE |
| CHEMIN |
| ZONE AVEC RECOUVREMENT FINAL |
| ZONE DU DÉCRET DE SOUSTRACTION SURÉLEVATION |

| |
|--------------------------------|
| / / |
| / / |
| 0 D.L. |
| 2020/11/26 |
| ÉMIS POUR APPROBATION AU MELCC |

A D.L.

2020/11/11

ÉMIS POUR COMMENTAIRES

REV. TECH.

DATE D'ÉMISSION

DESCRIPTION REVISIONS ET EMISSIONS

SCEAUX



TETRA TECH

CLIENT

AU-DELÀ DES MATIÈRES RÉSIDUELLES

PROJET DÉCRET DE SOUSTRACTION SURÉLEVATION DU LET DE VALORIS

TITRE PLAN D'ENSEMBLE ÉTAT DES LIEUX EXISTANTS EMPLACEMENT DE LA SURÉLEVATION

date conçue dessiné approuvé

NOV. 2020 D. LESSARD D. LESSARD D. GRENIER

échelle projet consultant projet client

1:1500 36594TT

dessin numéro 36594TT-C-DC01

révision 0

4 774 402

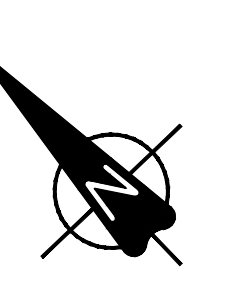
4 774 392

4 772 851

4 774 393

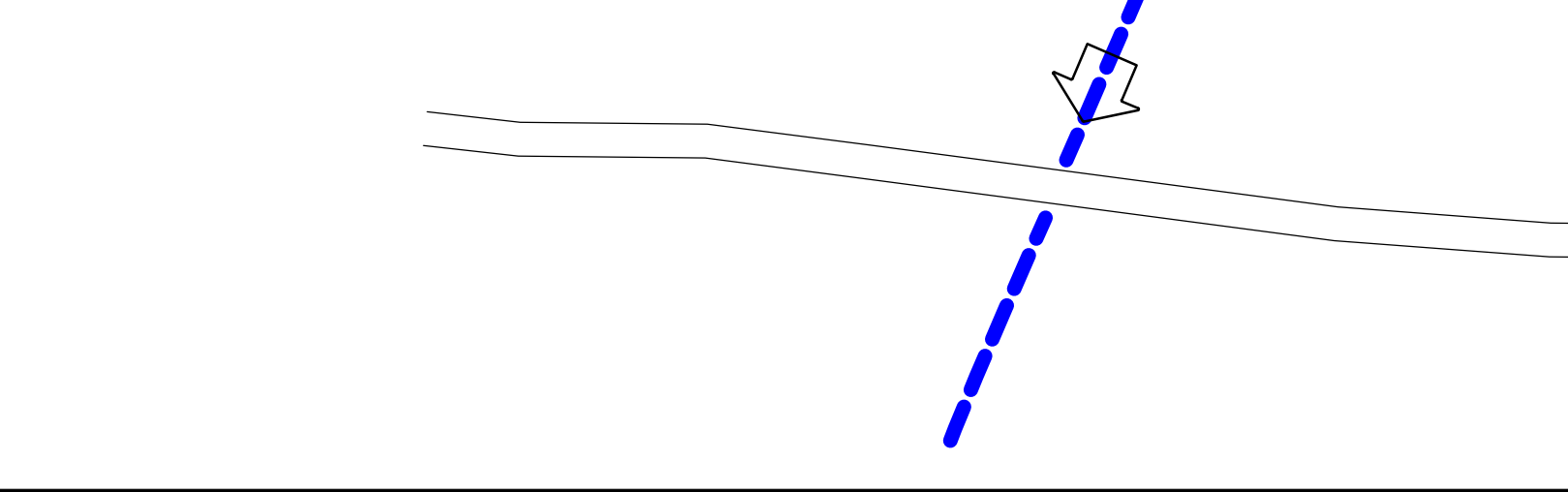
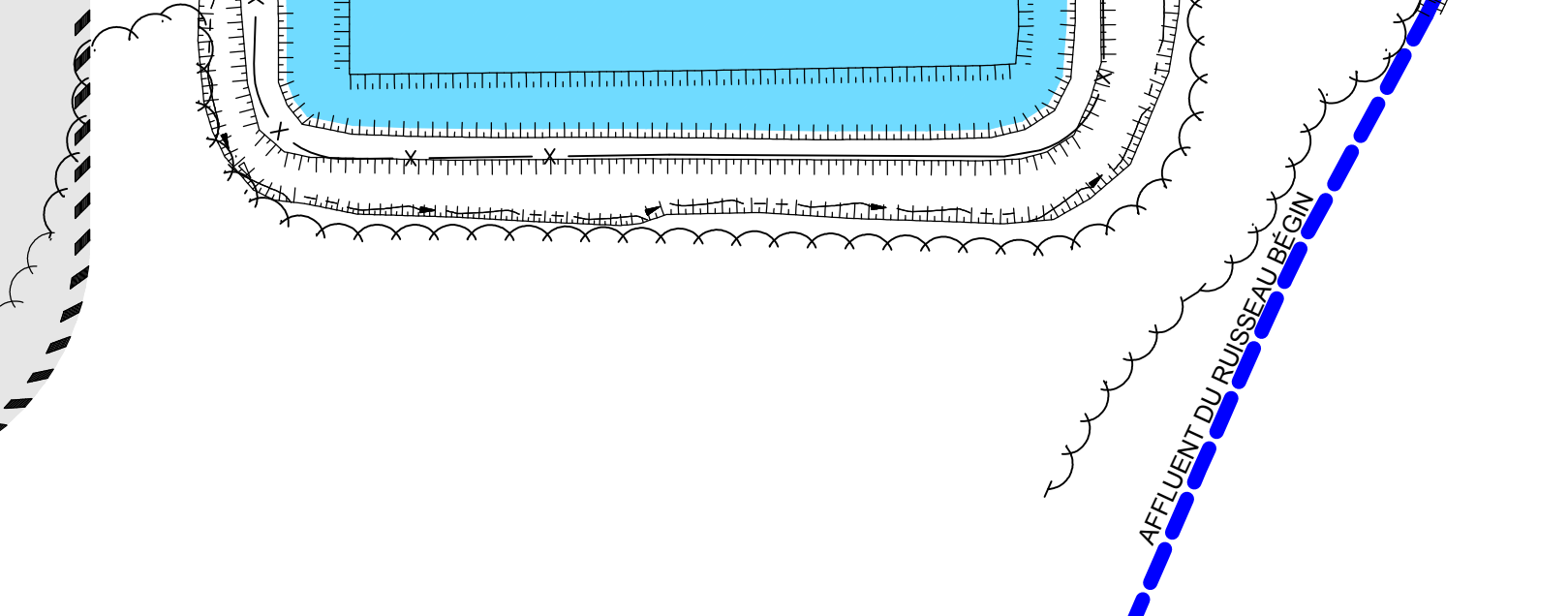
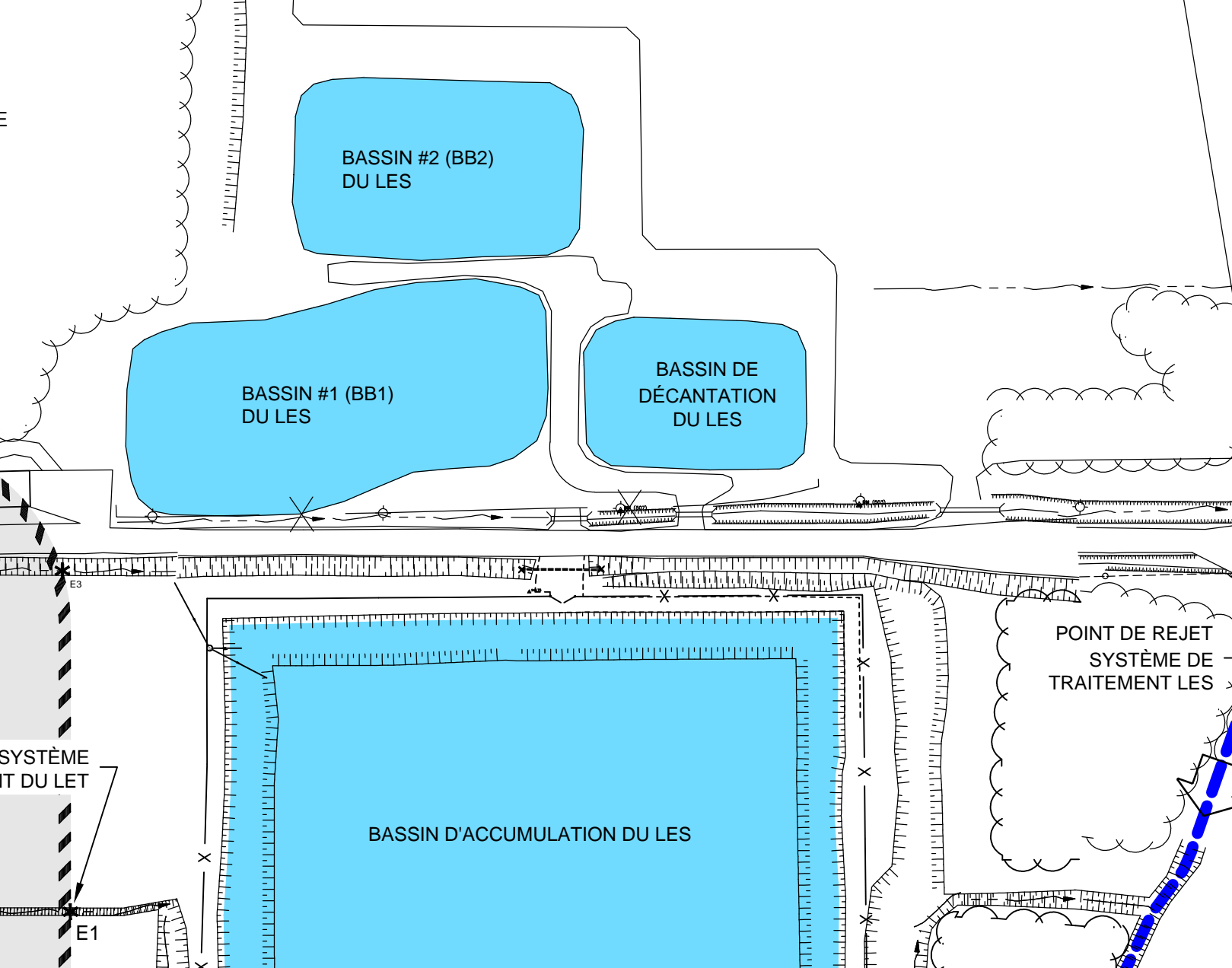
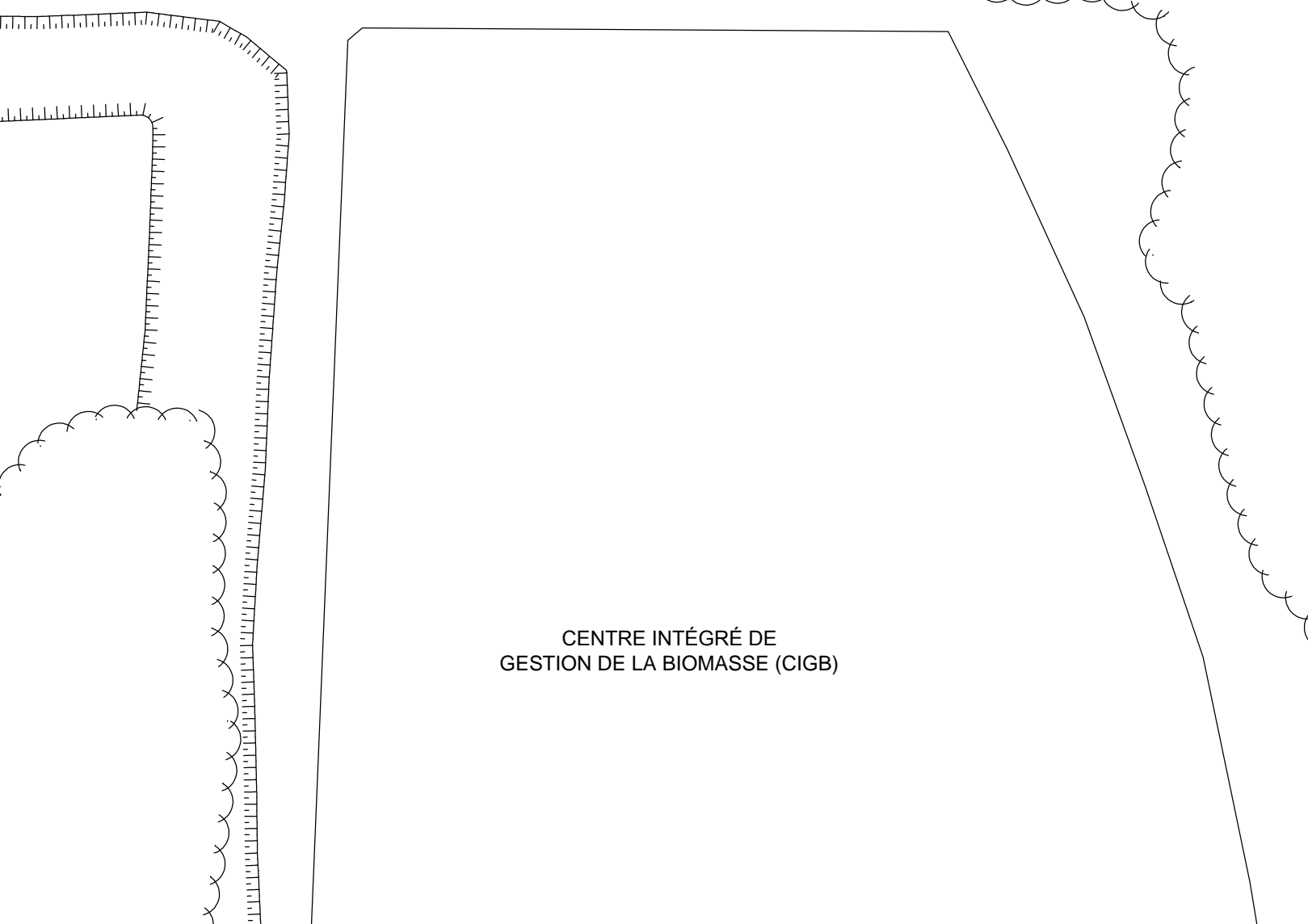
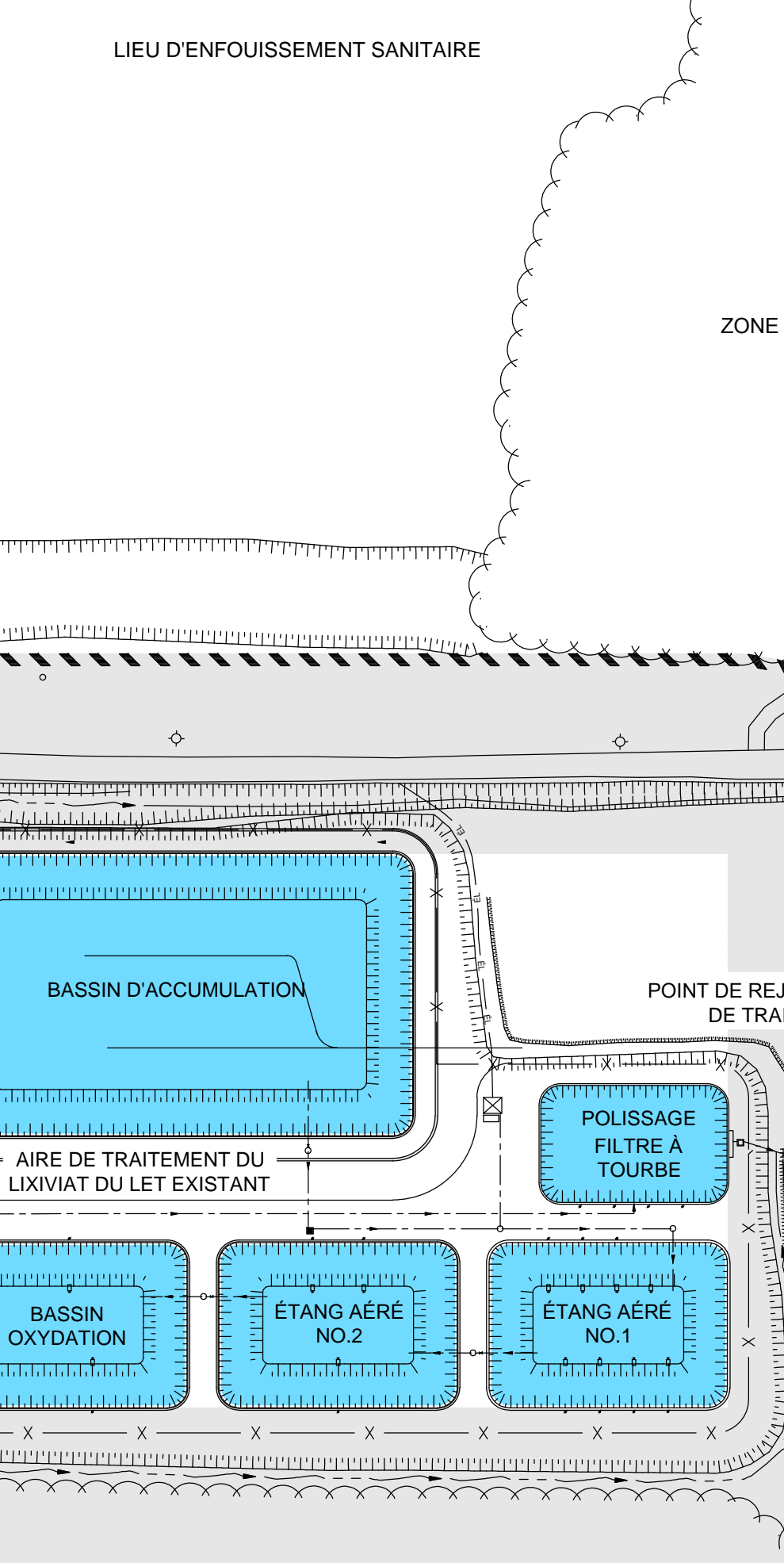
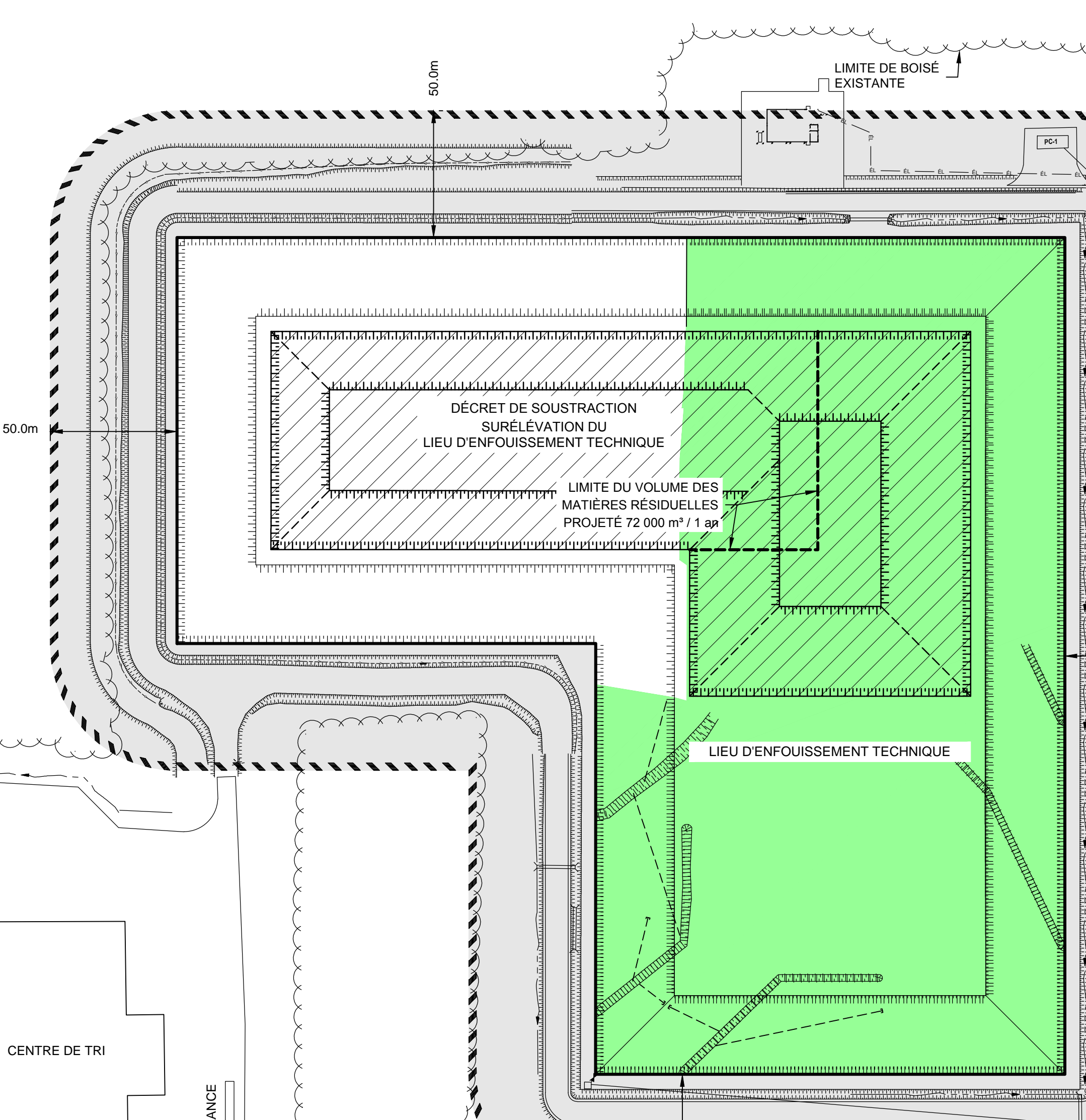
4 772 848

4 772 850



CHEMIN DU MAINE CENTRAL

POISSY-SUR-BIÈvre



ANNEXE D CALCULS DES TAUX D'ÉMISSION DES CONTAMINANTS

36594TT

28-janv-21

Préparé par Guillaume Nachin, ing. M.Ing

Cellule en surélévation du LET de Valoris

Taux d'émission des contaminants

| Source ponctuelle Cheminées | | |
|--------------------------------|--|--|
|--------------------------------|--|--|

| | Débits de biogaz | | |
|--|--------------------|--------------------|--------------------|
| | Existant | Surélévation an 1 | Surélévation an 2 |
| | m ³ /an | m ³ /an | m ³ /an |
| Biogaz généré | 5 212 038 | 5 489 673 | 5 190 701 |
| Biogaz diffusé | 2 111 063 | 1 467 208 | 1 570 985 |
| Biogaz collecté | 3 100 975 | 4 022 464 | 4 306 976 |
| Destruction torchère | 3 100 975 | 4 022 464 | 4 306 976 |
| Destruction torchère [m ³ /h] | 354 | 459 | 492 |
| Taux de destruction torchère | 99.5% | 99.5% | 99.5% |

Taux d'émission à la torchère

| Contaminant | Concentration contaminant (entrée torchère) | | Concentration contaminant (sortie torchère) | | Taux d'émission torchère | | |
|--|---|-------------------|---|-------------------|--------------------------|-------------------|-------------------|
| | ppmv | mg/m ³ | ppmv | mg/m ³ | Existant | Surélévation an 1 | Surélévation an 2 |
| <i>Unitaire</i> | - | 10.0 | - | 0.050 | 4.92E-06 | 6.38E-06 | 6.83E-06 |
| 1,1,1-Trichloroethane (methyl chloroform) | 0.243 | 1.325 | 1.22E-03 | 6.63E-03 | 6.51E-07 | 8.45E-07 | 9.05E-07 |
| 1,1,2,2-Tetrachloroethane | 1.11 | 7.614 | 5.55E-03 | 3.81E-02 | 3.74E-06 | 4.86E-06 | 5.20E-06 |
| 1,1-Dichloroethane (ethylidene dichloride) | 2.08 | 8.413 | 1.04E-02 | 4.21E-02 | 4.14E-06 | 5.37E-06 | 5.74E-06 |
| 1,1-Dichloroéthène (vinylidène chloride) | 0.16 | 0.634 | 8.00E-04 | 3.17E-03 | 3.12E-07 | 4.04E-07 | 4.33E-07 |
| 1-2 Dichloroethane (ethylene dichloride) | 0.159 | 0.643 | 7.95E-04 | 3.22E-03 | 3.16E-07 | 4.10E-07 | 4.39E-07 |
| 1,2-Dichloropropane (propylene dichloride) | 0.18 | 0.831 | 9.00E-04 | 4.16E-03 | 4.09E-07 | 5.30E-07 | 5.67E-07 |
| 2-Propanol | 1.8 | 4.422 | 9.00E-03 | 2.21E-02 | 2.17E-06 | 2.82E-06 | 3.02E-06 |
| Acétone | 7.01 | 16.638 | 3.51E-02 | 8.32E-02 | 8.18E-06 | 1.06E-05 | 1.14E-05 |
| Acrylonitrile | 6.33 | 13.726 | 3.17E-02 | 6.86E-02 | 6.75E-06 | 8.75E-06 | 9.37E-06 |
| Benzène | 2.4 | 7.661 | 1.20E-02 | 3.83E-02 | 3.77E-06 | 4.89E-06 | 5.23E-06 |
| Bromodichlorométhane | 3.13 | 20.956 | 1.57E-02 | 1.05E-01 | 1.03E-05 | 1.34E-05 | 1.43E-05 |
| Carbon disulfide | 0.147 | 0.457 | 7.35E-04 | 2.29E-03 | 2.25E-07 | 2.91E-07 | 3.12E-07 |
| Carbon tetrachloride | 0.00798 | 0.05 | 3.99E-05 | 2.50E-04 | 2.46E-08 | 3.19E-08 | 3.41E-08 |
| Carbonyl sulfide | 0.122 | 0.299 | 6.10E-04 | 1.50E-03 | 1.47E-07 | 1.91E-07 | 2.04E-07 |
| Chlorobenzene | 0.484 | 2.226 | 2.42E-03 | 1.11E-02 | 1.09E-06 | 1.42E-06 | 1.52E-06 |
| Chloroéthane (ethyl chloroïde) | 3.95 | 10.415 | 1.98E-02 | 5.21E-02 | 5.12E-06 | 6.64E-06 | 7.11E-06 |
| Chloroforme | 0.0708 | 0.345 | 3.54E-04 | 1.73E-03 | 1.70E-07 | 2.20E-07 | 2.36E-07 |
| Chlorométhane | 1.21 | 2.497 | 6.05E-03 | 1.25E-02 | 1.23E-06 | 1.59E-06 | 1.71E-06 |
| p-Dichlorobenzene | 0.94 | 5.647 | 4.70E-03 | 2.82E-02 | 2.78E-06 | 3.60E-06 | 3.86E-06 |
| Dichlorofluorométhane | 2.62 | 11.02 | 1.31E-02 | 5.51E-02 | 5.42E-06 | 7.03E-06 | 7.53E-06 |
| Dichlorométhane (methylene chloride) | 14.3 | 49.638 | 7.15E-02 | 2.48E-01 | 2.44E-05 | 3.17E-05 | 3.39E-05 |
| Dimethyl sulfide | 5.66 | 14.371 | 2.83E-02 | 7.19E-02 | 7.07E-06 | 9.17E-06 | 9.81E-06 |
| Ethanol | 0.23 | 0.433 | 1.15E-03 | 2.17E-03 | 2.13E-07 | 2.76E-07 | 2.96E-07 |
| Ethyl mercaptan | 0.198 | 0.503 | 9.90E-04 | 2.52E-03 | 2.47E-07 | 3.21E-07 | 3.43E-07 |
| Ethylbenzene | 4.86 | 21.084 | 2.43E-02 | 1.05E-01 | 1.04E-05 | 1.34E-05 | 1.44E-05 |
| Ethylène dibromide | 0.0048 | 0.037 | 2.40E-05 | 1.85E-04 | 1.82E-08 | 2.36E-08 | 2.53E-08 |
| Hexane | 6.57 | 23.139 | 3.29E-02 | 1.16E-01 | 1.14E-05 | 1.48E-05 | 1.58E-05 |
| Hydrogen sulfide (LET) | 1713.8 | 2387.3 | 8.57E+00 | 1.19E+01 | 1.17E-03 | 1.52E-03 | 1.63E-03 |
| Mercury (total) | 0.00012 | 0.001 | 6.00E-07 | 5.00E-06 | 4.92E-10 | 6.38E-10 | 6.83E-10 |
| Methyl ethyl ketone | 7.09 | 20.893 | 3.55E-02 | 1.04E-01 | 1.03E-05 | 1.33E-05 | 1.43E-05 |
| Methyl isobutyl ketone | 1.87 | 7.654 | 9.35E-03 | 3.83E-02 | 3.76E-06 | 4.88E-06 | 5.23E-06 |
| Methyl mercaptan | 1.37 | 2.694 | 6.85E-03 | 1.35E-02 | 1.32E-06 | 1.72E-06 | 1.84E-06 |
| Pentane | 4.46 | 13.15 | 2.23E-02 | 6.58E-02 | 6.47E-06 | 8.39E-06 | 8.98E-06 |
| Perchloroéthylène (tetrachloroéthène) | 2.03 | 13.757 | 1.02E-02 | 6.88E-02 | 6.76E-06 | 8.77E-06 | 9.39E-06 |
| t-1,2-dichloroéthène | 2.84 | 11.251 | 1.42E-02 | 5.63E-02 | 5.53E-06 | 7.18E-06 | 7.68E-06 |
| Toluène | 39.3 | 111.08 | 1.97E-01 | 5.55E-01 | 5.46E-05 | 7.08E-05 | 7.59E-05 |
| Trichloroéthylène (Trichloroéthène) | 0.828 | 4.446 | 4.14E-03 | 2.22E-02 | 2.19E-06 | 2.84E-06 | 3.04E-06 |
| Vinyl chloride | 1.42 | 3.627 | 7.10E-03 | 1.81E-02 | 1.78E-06 | 2.31E-06 | 2.48E-06 |
| Xylenes | 9.23 | 40.043 | 4.62E-02 | 2.00E-01 | 1.97E-05 | 2.55E-05 | 2.73E-05 |

| Paramètres de la torchère | | |
|---------------------------|--------|--------------------------|
| Paramètre | Valeur | Unité |
| Débit | Q | 354.0 m ³ /h |
| | | 0.0983 m ³ /s |
| Diamètre | d | 0.3 m |
| | v | 1.4 m/s |
| Température | T | 1033.0 °K |
| | h | 5.0 m |
| Coordonnées | X | 298519.37 m E |
| | Y | 5040654.85 m N |
| Zone | 19 | T |

Sources surfaciques
Cellules d'enfouissement

| | Caractéristiques du LET | | |
|--|-------------------------|-------------------|-------------------|
| | Existant | Surélévation an 1 | Surélévation an 2 |
| Génération de biogaz [m ³ /an] | 5 212 038 | 5 489 673 | 5 190 701 |
| Captage du biogaz [m ³ /an] | 3 100 975 | 4 022 464 | 4 306 976 |
| Biogaz diffusé [m ³ /an] | 2 111 063 | 1 467 208 | 1 570 985 |
| Efficacité du captage [%v] | 59% | 73% | 83% |
| Superficie m ² (Source/Chapeau) | 49 452 | 27 168 | 27 168 |
| Coordonnées X (m E) | 298 305 | 298 310 | 298 310 |
| Coordonnées Y (m N) | 5 041 374 | 5 041 327 | 5 041 327 |
| Longueur source (m) | 285 | 230 | 230 |
| Largeur source (m) | 270 | 215 | 215 |
| Hauteur émission H (m) | 280 | 283 | 283 |

| Contaminant | Concentration contaminant dans biogaz | | Émissions contaminant LET | | | Taux d'émission LET | | |
|--|---------------------------------------|-------------------|---------------------------|-------------------|-------------------|---------------------|--------------------|--------------------|
| | ppmv | mg/m ³ | Existant | Surélévation an 1 | Surélévation an 2 | Existant | Surélévation an 1 | Surélévation an 2 |
| | | | g/an | g/an | g/an | g/s.m ² | g/s.m ² | g/s.m ² |
| Superficie (m ²) | | | | | | | | |
| Unitaire | - | 10.0 | 21 111 | 14 672 | 15 710 | 1.35E-08 | 1.71E-08 | 1.83E-08 |
| 1,1,1-Trichloroethane (methyl chloroform) | 0.243 | 1.325 | 2 797 | 1 944 | 2 082 | 1.79E-09 | 2.27E-09 | 2.43E-09 |
| 1,1,2,2-Tetrachloroethane | 1.11 | 7.614 | 16 074 | 11 171 | 11 961 | 1.03E-08 | 1.30E-08 | 1.40E-08 |
| 1,1-Dichloroethane (ethylidene dichloride) | 2.08 | 8.413 | 17 760 | 12 344 | 13 217 | 1.14E-08 | 1.44E-08 | 1.54E-08 |
| 1,1-Dichloroéthène (vinylidène chloride) | 0.16 | 0.634 | 1 338 | 930 | 996 | 8.58E-10 | 1.09E-09 | 1.16E-09 |
| 1,2-Dichloroethane (ethylene dichloride) | 0.159 | 0.643 | 1 357 | 943 | 1 010 | 8.70E-10 | 1.10E-09 | 1.18E-09 |
| 1,2-Dichloropropane (propylene dichloride) | 0.18 | 0.831 | 1 754 | 1 219 | 1 305 | 1.12E-09 | 1.42E-09 | 1.52E-09 |
| 2-Propanol | 1.8 | 4.422 | 9 335 | 6 488 | 6 947 | 5.99E-09 | 7.57E-09 | 8.11E-09 |
| Acétone | 7.01 | 16.638 | 35 124 | 24 411 | 26 138 | 2.25E-08 | 2.85E-08 | 3.05E-08 |
| Acrylonitrile | 6.33 | 13.726 | 28 976 | 20 139 | 21 563 | 1.86E-08 | 2.35E-08 | 2.52E-08 |
| Benzène | 2.4 | 7.661 | 16 173 | 11 240 | 12 035 | 1.04E-08 | 1.31E-08 | 1.40E-08 |
| Bromodichlorométhane | 3.13 | 20.956 | 44 239 | 30 747 | 32 922 | 2.84E-08 | 3.59E-08 | 3.84E-08 |
| Carbon disulfide | 0.147 | 0.457 | 965 | 671 | 718 | 6.19E-10 | 7.83E-10 | 8.38E-10 |
| Carbon tetrachloride | 0.00798 | 0.05 | 106 | 73 | 79 | 6.77E-11 | 8.56E-11 | 9.17E-11 |
| Carbonyl sulfide | 0.122 | 0.299 | 631 | 439 | 470 | 4.05E-10 | 5.12E-10 | 5.48E-10 |
| Chlorobenzene | 0.484 | 2.226 | 4 699 | 3 266 | 3 497 | 3.01E-09 | 3.81E-09 | 4.08E-09 |
| Chloroéthane (ethyl chloride) | 3.95 | 10.415 | 21 987 | 15 281 | 16 362 | 1.41E-08 | 1.78E-08 | 1.91E-08 |
| Chloroforme | 0.0708 | 0.345 | 728 | 506 | 542 | 4.67E-10 | 5.91E-10 | 6.33E-10 |
| Chlorométhane | 1.21 | 2.497 | 5 271 | 3 664 | 3 923 | 3.38E-09 | 4.28E-09 | 4.58E-09 |
| p-Dichlorobenzene | 0.94 | 5.647 | 11 921 | 8 285 | 8 871 | 7.64E-09 | 9.67E-09 | 1.04E-08 |
| Dichlorofluorométhane | 2.62 | 11.02 | 23 264 | 16 169 | 17 312 | 1.49E-08 | 1.89E-08 | 2.02E-08 |
| Dichlorométhane (methylene chloride) | 14.3 | 49.638 | 104 789 | 72 829 | 77 981 | 6.72E-08 | 8.50E-08 | 9.10E-08 |
| Dimethyl sulfide | 5.66 | 14.371 | 30 338 | 21 085 | 22 577 | 1.95E-08 | 2.46E-08 | 2.64E-08 |
| Ethanol | 0.23 | 0.433 | 914 | 635 | 680 | 5.86E-10 | 7.42E-10 | 7.94E-10 |
| Ethyl mercaptan | 0.198 | 0.503 | 1 062 | 738 | 790 | 6.81E-10 | 8.61E-10 | 9.22E-10 |
| Ethylbenzene | 4.86 | 21.084 | 44 510 | 30 935 | 33 123 | 2.85E-08 | 3.61E-08 | 3.87E-08 |
| Ethylene dibromide | 0.0048 | 0.037 | 78 | 54 | 58 | 5.01E-11 | 6.34E-11 | 6.78E-11 |
| Hexane | 6.57 | 23.139 | 48 848 | 33 950 | 36 351 | 3.13E-08 | 3.96E-08 | 4.24E-08 |
| Hydrogen sulfide (LET) | 1713.8 | 2387.3 | 5 039 741 | 2 750 603 | 1 459 598 | 3.23E-06 | 3.21E-06 | 1.70E-06 |
| Mercury (total) | 0.00012 | 0.001 | 2 | 1 | 2 | 1.35E-12 | 1.71E-12 | 1.83E-12 |
| Methyl ethyl ketone | 7.09 | 20.893 | 44 106 | 30 654 | 32 823 | 2.83E-08 | 3.58E-08 | 3.83E-08 |
| Methyl isobutyl ketone | 1.87 | 7.654 | 16 158 | 11 230 | 12 024 | 1.04E-08 | 1.31E-08 | 1.40E-08 |
| Methyl mercaptan | 1.37 | 2.694 | 5 687 | 3 953 | 4 232 | 3.65E-09 | 4.61E-09 | 4.94E-09 |
| Pentane | 4.46 | 13.15 | 27 760 | 19 294 | 20 658 | 1.78E-08 | 2.25E-08 | 2.41E-08 |
| Perchloroéthylène (tetrachloroéthène) | 2.03 | 13.757 | 29 042 | 20 184 | 21 612 | 1.86E-08 | 2.36E-08 | 2.52E-08 |
| t-1,2-dichloroéthane | 2.84 | 11.251 | 23 752 | 16 508 | 17 675 | 1.52E-08 | 1.93E-08 | 2.06E-08 |
| Tolène | 39.3 | 111.08 | 234 497 | 162 978 | 174 505 | 1.50E-07 | 1.90E-07 | 2.04E-07 |
| Trichloroéthylène (Trichloroéthène) | 0.828 | 4.446 | 9 386 | 6 523 | 6 985 | 6.02E-09 | 7.61E-09 | 8.15E-09 |
| Vinyl chloride | 1.42 | 3.627 | 7 657 | 5 322 | 5 698 | 4.91E-09 | 6.21E-09 | 6.65E-09 |
| Xylenes | 9.23 | 40.043 | 84 533 | 58 751 | 62 907 | 5.42E-08 | 6.86E-08 | 7.34E-08 |

Note : Les taux d'émission de H2S pour les scénarios [Existant] [Surélévation An 1] et [Surélévation An 2] sont déterminés en considérant une concentration en H2S de 2387 mg/m³, 1875 mg/m³ et 929 mg/m³ respectivement

Sources surfaciques
Bassins d'accumulation

| | Bassin LES | Bassin LET |
|---|------------|------------|
| Superficie (m ²) | 19 050 | 7 807 |
| Coordonnées X (m E) | 298 508 | 298 336 |
| Coordonnées Y (m N) | 5 040 516 | 5 040 748 |
| Longueur source (m) | 162 | 114 |
| Largeur source (m) | 117 | 69 |
| Elévation (m) | 244 | 248 |
| Taux d'émission GES (g/s.m ²) | 3.47E-09 | 3.47E-09 |

Selon étude sur autre LET

36594TT

28-janv-21

Préparé par Guillaume Nachin, ing. M.Ing

Cellule en surélévation du LET de Valoris
Taux d'émission des contaminants

| | Sources surfaciques Cellules d'enfouissement | | |
|---|---|-------------------|-------------------|
| | Existant | Surélévation an 1 | Surélévation an 2 |
| Génération de biogaz m ³ /an | 950 995 | 896 509 | 845 145 |
| Captage de biogaz m ³ /an | 0 | 0 | 0 |
| Biogaz diffusé m ³ /an | 855 895 | 806 858 | 760 631 |
| Biogaz oxydé m ³ /an | 95 099 | 89 651 | 84 515 |
| Efficacité du captage % v | 0% | 0% | 0% |
| Superficie m ² (chapeau) | 76 344 | 76 344 | 76 344 |
| Coordonnées X (m E) | 298 830 | 298 830 | 298 830 |
| Coordonnées Y (m N) | 5 040 877 | 5 040 877 | 5 040 877 |
| Longueur source (m) | 295 | 295 | 295 |
| Largeur source (m) | 260 | 260 | 260 |
| Hauteur émission H (m) | 263 | 263 | 263 |

| Contaminant | Concentration contaminant dans biogaz | | | Emissions contaminant LES | | | Taux d'émission LES | | |
|--|---------------------------------------|-------------------|--------|---------------------------|---------------------|--------------------|---------------------|---------------------|--------------------|
| | ppmv | mg/m ³ | g/an | Existant | Surélévation an 1 | Surélévation an 2 | Existant | Surélévation an 1 | Surélévation an 2 |
| | | | | g/s.m ² | g/m ² .s | g/s.m ² | g/s.m ² | g/m ² .s | g/s.m ² |
| Superficie (m ²) | | | | | | | 76 344 | 76 344 | 76 344 |
| Unitaire | | 10.0 | 8 559 | 8 069 | 7 606 | 7 606 | 3.55E-09 | 3.35E-09 | 3.16E-09 |
| 1,1,1-Trichloroethane (methyl chloroform) | 0.243 | 1.325 | 1 134 | 1 069 | 1 008 | 1 008 | 4.71E-10 | 4.44E-10 | 4.19E-10 |
| 1,1,2,2-Tetrachloroethane | 1.11 | 7.614 | 6 517 | 6 143 | 5 791 | 5 791 | 2.71E-09 | 2.55E-09 | 2.41E-09 |
| 1,1-Dichloroethane (ethylidène dichloride) | 2.08 | 8.413 | 7 201 | 6 788 | 6 399 | 6 399 | 2.99E-09 | 2.82E-09 | 2.66E-09 |
| 1,1-Dichloroéthène (vinylidène chloride) | 0.16 | 0.634 | 543 | 512 | 482 | 482 | 2.25E-10 | 2.12E-10 | 2.00E-10 |
| 1-2 Dichloroethane (ethylene dichloride) | 0.159 | 0.643 | 550 | 519 | 489 | 489 | 2.29E-10 | 2.15E-10 | 2.03E-10 |
| 1,2-Dichloropropane (propylene dichloride) | 0.18 | 0.831 | 711 | 670 | 632 | 632 | 2.95E-10 | 2.78E-10 | 2.63E-10 |
| 2-Propanol | 1.8 | 4.422 | 3 785 | 3 568 | 3 364 | 3 364 | 1.57E-09 | 1.48E-09 | 1.40E-09 |
| Acétone | 7.01 | 16.638 | 14 240 | 13 425 | 12 655 | 12 655 | 5.91E-09 | 5.58E-09 | 5.26E-09 |
| Acrylonitrile | 6.33 | 13.726 | 11 748 | 11 075 | 10 440 | 10 440 | 4.88E-09 | 4.60E-09 | 4.34E-09 |
| Benzène | 2.4 | 7.661 | 6 557 | 6 181 | 5 827 | 5 827 | 2.72E-09 | 2.57E-09 | 2.42E-09 |
| Bromodichlorométhane | 3.13 | 20.956 | 17 936 | 16 909 | 15 940 | 15 940 | 7.45E-09 | 7.02E-09 | 6.62E-09 |
| Carbon disulfide | 0.147 | 0.457 | 391 | 369 | 348 | 348 | 1.62E-10 | 1.53E-10 | 1.44E-10 |
| Carbon tetrachloride | 0.00798 | 0.05 | 43 | 40 | 38 | 38 | 1.78E-11 | 1.68E-11 | 1.58E-11 |
| Carbonyl sulfide | 0.122 | 0.299 | 256 | 241 | 227 | 227 | 1.06E-10 | 1.00E-10 | 9.45E-11 |
| Chlorobenzene | 0.484 | 2.226 | 1 905 | 1 796 | 1 693 | 1 693 | 7.91E-10 | 7.46E-10 | 7.03E-10 |
| Chloroethane (ethyl chloride) | 3.95 | 10.415 | 8 914 | 8 403 | 7 922 | 7 922 | 3.70E-09 | 3.49E-09 | 3.29E-09 |
| Chloroforme | 0.0708 | 0.345 | 295 | 278 | 262 | 262 | 1.23E-10 | 1.16E-10 | 1.09E-10 |
| Chlorométhane | 1.21 | 2.497 | 2 137 | 2 015 | 1 899 | 1 899 | 8.88E-10 | 8.37E-10 | 7.89E-10 |
| p-Dichlorobenzene | 0.94 | 5.647 | 4 833 | 4 556 | 4 295 | 4 295 | 2.01E-09 | 1.89E-09 | 1.78E-09 |
| Dichlorofluorométhane | 2.62 | 11.02 | 9 432 | 8 892 | 8 382 | 8 382 | 3.92E-09 | 3.69E-09 | 3.48E-09 |
| Dichlorométhane (methylene chloride) | 14.3 | 49.638 | 42 485 | 40 051 | 37 756 | 37 756 | 1.76E-08 | 1.66E-08 | 1.57E-08 |
| Dimethyl sulfide | 5.66 | 14.371 | 12 300 | 11 595 | 10 931 | 10 931 | 5.11E-09 | 4.82E-09 | 4.54E-09 |
| Ethanol | 0.23 | 0.433 | 371 | 349 | 329 | 329 | 1.54E-10 | 1.45E-10 | 1.37E-10 |
| Ethyl mercaptan | 0.198 | 0.503 | 431 | 406 | 383 | 383 | 1.79E-10 | 1.69E-10 | 1.59E-10 |
| Ethylbenzene | 4.86 | 21.084 | 18 046 | 17 012 | 16 037 | 16 037 | 7.50E-09 | 7.07E-09 | 6.66E-09 |
| Ethylene dibromide | 0.0048 | 0.037 | 32 | 30 | 28 | 28 | 1.32E-11 | 1.24E-11 | 1.17E-11 |
| Hexane | 6.57 | 23.139 | 19 805 | 18 670 | 17 600 | 17 600 | 8.23E-09 | 7.75E-09 | 7.31E-09 |
| Hydrogen sulfide | 19.9 | 29.9 | 25 591 | 24 125 | 22 743 | 22 743 | 1.06E-08 | 1.00E-08 | 9.45E-09 |
| Mercury (total) | 0.00012 | 0.001 | 1 | 1 | 1 | 1 | 3.55E-13 | 3.35E-13 | 3.16E-13 |
| Methyl ethyl ketone | 7.09 | 20.893 | 17 882 | 16 858 | 15 892 | 15 892 | 7.43E-09 | 7.00E-09 | 6.60E-09 |
| Methyl isobutyl ketone | 1.87 | 7.654 | 6 551 | 6 176 | 5 822 | 5 822 | 2.72E-09 | 2.57E-09 | 2.42E-09 |
| Methyl mercaptan | 1.37 | 2.694 | 2 306 | 2 174 | 2 049 | 2 049 | 9.58E-10 | 9.03E-10 | 8.51E-10 |
| Pentane | 4.46 | 13.15 | 11 255 | 10 610 | 10 002 | 10 002 | 4.67E-09 | 4.41E-09 | 4.15E-09 |
| Perchloroethylene (tetrachloroethene) | 2.03 | 13.757 | 11 775 | 11 100 | 10 464 | 10 464 | 4.89E-09 | 4.61E-09 | 4.35E-09 |
| t-1,2-dichloroethene | 2.84 | 11.251 | 9 630 | 9 078 | 8 558 | 8 558 | 4.00E-09 | 3.77E-09 | 3.55E-09 |
| Toluène | 39.3 | 111.08 | 95 073 | 89 626 | 84 491 | 84 491 | 3.95E-08 | 3.72E-08 | 3.51E-08 |
| Trichloroethylene (Trichloroethene) | 0.828 | 4.446 | 3 805 | 3 587 | 3 382 | 3 382 | 1.58E-09 | 1.49E-09 | 1.40E-09 |
| Vinyl chloride | 1.42 | 3.627 | 3 104 | 2 926 | 2 759 | 2 759 | 1.29E-09 | 1.22E-09 | 1.15E-09 |
| Xylenes | 9.23 | 40.043 | 34 273 | 32 309 | 30 458 | 30 458 | 1.42E-08 | 1.34E-08 | 1.27E-08 |

36594TT

28-janv-21

Préparé par Guillaume Nachin, ing. M.Ing

Cellule en surélévation du LET de Valoris
Taux d'émission des contaminants

| |
|--|
| Sources surfaciques <i>Bassins d'accumulation</i> |
|--|

| | Bassin LES | Bassin LET |
|---|------------|------------|
| Superficie (m ²) | 19 050 | 7 807 |
| Coordonnées X (m E) | 298 508 | 298 336 |
| Coordonnées Y (m N) | 5 040 516 | 5 040 748 |
| Longueur source (m) | 162 | 114 |
| Largeur source (m) | 117 | 69 |
| Élévation (m) | 244 | 248 |
| Taux d'émission H ₂ S (g/s.m ²) | 3.47E-09 | 3.47E-09 |

Selon étude sur autre LET

36594TT

28-janv-21

Préparé par Guillaume Nachin, ing. M.Ing

Cellule en surélévation du LET de Valoris

Taux d'émission des odeurs

Taux d'émission d'odeurs - Zones d'enfouissement et bassins de lixiviat

| Source | | Superficie chapeau | Recouvrement imperméable | Recouvrement périodique | Aire de travail | Émissions ÉTÉ | Émissions HIVER | Commentaire |
|---|--------------|--------------------|--------------------------|-------------------------|-----------------|------------------------|------------------------|--|
| | | m ² | % de la superficie | % de la superficie | m ² | u.o./m ² .s | u.o./m ² .s | |
| Taux d'émission des odeurs (u.o./m ² .s) | ÉTÉ | | 0.1 | 0.288 | 5.46 | | | F.variabilité saisonnière = 6.4 Recouvrement périodique |
| | HIVER | | 0.1 | 0.045 | 5.46 | | | |
| LES | | 76 344 | 100% | | | 0.0 | 0.0 | Par hypothèse, le LES sera une source négligeable |
| LET (existant) | Jour | 49 452 | 63% | 37% | 900 | 0.264 | 0.178 | Par hypothèse, aire de travail sur le LET = 900 m ² |
| | Soir et nuit | 49 452 | 63% | 37% | 0 | 0.170 | 0.079 | |
| LET (surélévation an 1) | Jour | 27 168 | 77% | 23% | 900 | 0.314 | 0.267 | |
| | Soir et nuit | 27 168 | 77% | 23% | 0 | 0.143 | 0.087 | |
| LET (surélévation an 2) | Jour | 27 168 | 77% | 23% | 900 | 0.314 | 0.267 | |
| | Soir et nuit | 27 168 | 77% | 23% | 0 | 0.143 | 0.087 | |
| Bassin d'égalisation LES | | 10 800 | | | | 0.515 | 0.360 | Étude Odotech Lachenaie |
| Bassin d'égalisation LET | | 7 806 | | | | 0.515 | 0.360 | Étude Odotech Lachenaie |
| Bassins aérés de traitement LES (No.1&2) | | 5 633 | | | | 0.1 | 0.1 | Étude Odotech Lachenaie |
| Bassin de décantation LES | | 2 285 | | | | 0.515 | 0.360 | Étude Odotech Lachenaie |
| Bassins aérés de traitement LET (2x) | | 4 800 | | | | 0.1 | 0.1 | Étude Odotech Lachenaie |
| Bassin de boues du LET | | 2 400 | | | | 0.515 | 0.360 | Étude Odotech Lachenaie |

Taux d'émission d'odeurs - Plateforme de compostage

| Pile # | Superficie | | Période de maturation | Retournement | Taux d'émission d'odeurs | |
|------------------|-----------------|----------------|-----------------------|------------------------|--------------------------|-------|
| | ft ² | m ² | | | Jour | Nuit |
| | | | Oui/Non | u.o./m ² .s | u.o./m ² .s | |
| 1 (Retournée) | 4 400 | 409 | 1 à 5 sem. | Oui | 15.61 | 3.87 |
| 1 (Au repos) | 17 600 | 1 635 | Piles type A | Non | 3.87 | 3.87 |
| 2 | 22 000 | 2 044 | | Non | 3.87 | 3.87 |
| 3 | 22 000 | 2 044 | 6 à 12 sem. | Non | 1.05 | 1.05 |
| 4 | 22 000 | 2 044 | Piles type B | Non | 1.05 | 1.05 |
| 5 | 22 000 | 2 044 | | Non | 0 | 0 |
| 6 | 22 000 | 2 044 | Plus de 12 semaines | Non | 0 | 0 |
| 7 | 22 000 | 2 044 | | Non | 0 | 0 |
| 8 | 22 000 | 2 044 | | Non | 0 | 0 |
| Total plateforme | 42 200 | - | | - | 0.590 | 0.477 |

36594TT

28-janv-21

Préparé par Guillaume Nachin, ing. M.Ing

Cellule en surélévation du LET de Valoris
Taux de H₂S dans le biogaz

| Année | Quantité de fines de CRD enfouie <i>t/an</i> | Taux de génération de H ₂ S <i>% du maximum</i> | Concentration H ₂ S estimée <i>mg/m³</i> |
|-------|---|---|---|
| 2014 | 0 | 0% | 0.0 |
| 2015 | 5 619 | 0% | 0.0 |
| 2016 | 6 223 | 50% | 1 943.0 |
| 2017 | 6 774 | 80% | 3 114.8 |
| 2018 | 3 500 | 100% | 3 886.1 |
| 2019 | 2 409 | 81% | 3 136.2 |
| 2020 | 2 000 | 61% | 2 387.3 |
| 2021 | | 48% | 1 874.7 |
| 2022 | | 24% | 929.1 |
| 2023 | | 12% | 460.5 |

Estimation pour 2020

Mesure terrain 2020 (ConsulAir) 2 387.3 mg/m³

36594TT

28-janv-21

Préparé par Guillaume Nachin, ing. M.Ing

Cellule en surélévation du LET de Valoris

Bilan des volumes de biogaz

| Données du modèle | | |
|---|--------|----------------|
| Paramètre | Valeur | Unité |
| Taux de méthane | 50% | v/v |
| Taux de captage (LET) fermé | 95% | v/v |
| Superficie de la zone de travail active | 20 000 | m ² |
| Facteur d'oxydation du CH ₄ par les sols | 10% | v/v |

| Paramètres <i>k</i> et <i>L₀</i> de LandGEM | | | | |
|---|-----------|-----------|-----------|-------|
| Paramètre | 1941-1975 | 1976-1989 | 1990-2007 | 2008+ |
| <i>k</i> (an. ₋₁) | 0.053 | 0.057 | 0.059 | 0.056 |
| <i>L₀</i> (kg·CH ₄ /t) | 154.7 | 82.8 | 81.6 | 68.6 |
| <i>L₀</i> (m ³ ·CH ₄ /t) | 231.9 | 124.2 | 122.3 | 102.8 |

Environment Canada. National Inventory Report 1990-2016:
Greenhouse Gas Source and Sinks in Canada (Part 2)

Recalculé par
Tetra Tech

Bilan des volumes de biogaz générés par le LET

| Année | Enfouissement | Taux de captage | Biogaz généré | | | Biogaz collecté | Biogaz diffusé | Taux de H ₂ S moyen |
|-------|---------------|-----------------|--------------------|------------------------|--------------------|--------------------|--------------------|--------------------------------|
| | | | LET existant | Surélévation cellule 6 | Total | | | |
| | t/an | - | m ³ /an | m ³ /an | m ³ /an | m ³ /an | m ³ /an | mg/m ³ |
| 2010 | 27 277 | | | | | | | |
| 2011 | 34 318 | | | | | | | |
| 2012 | 34 714 | | | | | | | |
| 2013 | 71 366 | | | | | | | |
| 2014 | 77 611 | | | | | | | |
| 2015 | 80 215 | | | | | | | |
| 2016 | 71 918 | | | | | | | |
| 2017 | 70 694 | | | | | | | |
| 2018 | 54 906 | | | | | | | |
| 2019 | 52 578 | | | | | | | |
| 2020 | 51 000 | 59% | 5 212 038 | 0 | 5 212 038 | 3 100 975 | 2 111 063 | 2387.3 |
| 2021 | 61 200 | 73% | 5 489 673 | 0 | 5 489 673 | 4 022 464 | 1 467 208 | 1874.7 |
| 2022 | 61 200 | 73% | 5 190 701 | 687 261 | 5 877 961 | 4 306 976 | 1 570 985 | 929.1 |
| 2023 | | 95% | 4 908 011 | 1 337 092 | 6 245 103 | 5 932 848 | 312 255 | 460.5 |

Note : Estimation selon tonnages partiels 2020

Estimation selon volumes attendus dans la surélévation de la cellule 6

36594TT

28-janv-21

Préparé par Guillaume Nachin, ing.jr. M.Ing

Cellule en surélévation du LET de Valoris

Taux de captage du biogaz

Taux de captage du biogaz

| Paramètre | Unité | Existant (2020) | Surélévation an 1 | Surélévation an 2 |
|---|----------------|--------------------|----------------------|----------------------|
| Superficie totale du LET | m ² | 87 450 | 87 450 | 87 450 |
| Superficie ouverte | m ² | 32 682 | 20 000 | 20 000 |
| Superficie fermée | m ² | 54 768 | 67 450 | 67 450 |
| Taux de captage des biogaz pour les superficies avec recouvrement final et puits de captage | - | 95% | 95% | 95% |
| Taux de captage effectif à la grandeur du LET | - | 59% | 73% | 73% |

**ANNEXE E RÉSULTATS – TABLEAUX DES CONCENTRATIONS
MAXIMALES**

Concentrations maximales observées et comparaison aux valeurs limites applicables
Scénario : Existant (2020)

| Contaminant | CAS | Conc.biogaz (mg/m ³) | Résultats (µg/m ³) | | | | | Résultats - Pourcentage de la valeur limite | | | | |
|---|-----------|-------------------------------------|--------------------------------|--------|--------|-------|--------|---|--------|-----|------|------|
| | | | 4 min | 15 min | 1 h | 24 h | 1 an | 4 min | 15 min | 1 h | 24 h | 1 an |
| Odeurs 99.5e centile | | - | 53.492 | | 28.022 | | | 1070% | - | - | - | - |
| Odeurs 98e centile | | - | 29.494 | | 15.45 | | | 2949% | - | - | - | - |
| <i>Unitaire</i> | | 10.00 | 1.7413 | 1.2513 | 0.9122 | 0.098 | 0.009 | - | - | - | - | - |
| Soufres réduits totaux (SRT) additifs | | 2405 | | | | | 2.0504 | - | - | - | - | 103% |
| Hydrogen sulfide | 7783-06-4 | 2387 | 355.63 | | 186.3 | | 1.648 | 5927% | - | - | - | 82% |
| Dimethyl sulfide | 75-13-3 | 14.37 | 2.5025 | | | | | 31% | - | - | - | - |
| Ethyl mercaptan | 75-08-1 | 0.50 | 0.0876 | | | | | 88% | - | - | - | - |
| Methyl mercaptan | 74-93-1 | 2.69 | 0.4691 | | | | | 67% | - | - | - | - |
| 1,1,1-Trichloroethane (methyl chloroform) | 71-55-6 | 1.33 | | | 0.1209 | | | - | - | 0% | - | - |
| 1,1,2,2-Tetrachloroethane | 79-34-5 | 7.61 | | | | | 0.0065 | - | - | - | - | 73% |
| 1,1-Dichloroethane (ethylidene dichloride) | 75-34-3 | 8.41 | | | 0.7674 | | 0.0072 | - | - | 0% | - | 1% |
| 1,1-Dichloroethène (vinylidène chloride) | 75-35-4 | 0.63 | | | | | 0.001 | - | - | - | - | 8% |
| 1-2 Dichloroethane (ethylene dichloride) | 107-06-2 | 0.64 | | | | | 0.0005 | - | - | - | - | 64% |
| 1,2-Dichloropropane (propylene dichloride) | 78-87-5 | 0.83 | | | | | 0.0007 | - | - | - | - | 0% |
| 2-Propanol | 67-63-0 | 4.42 | 0.77 | | | | | 0% | - | - | - | - |
| Acétone | 67-64-1 | 16.64 | 2.8972 | | | | 0.0142 | 2% | - | - | - | 1% |
| Acrylonitrile | 107-13-1 | 13.73 | | | | | 0.0117 | - | - | - | - | 0% |
| Benzène | 71-43-2 | 7.66 | | | 0.0752 | | | - | - | - | 31% | - |
| Bromodichloromethane | 75-27-4 | 20.96 | | | | | 0.0179 | - | - | - | - | 60% |
| Carbon disulfide | 75-15-0 | 0.46 | 0.0796 | | | | | 0% | - | - | - | - |
| Carbon tetrachloride | 56-23-5 | 0.05 | | | | | 4E-05 | - | - | - | - | 70% |
| Carbonyl sulfide | 463-58-1 | 0.30 | 0.0521 | | | | 0.0003 | 0% | - | - | - | 0% |
| Chlorobenzene | 108-90-7 | 2.23 | | | | | 0.0019 | - | - | - | - | 4% |
| Chloroethane (ethyl chloride) | 75-00-3 | 10.42 | 1.8136 | | | | 0.0089 | 0% | - | - | - | 0% |
| Chloroforme | 67-66-3 | 0.35 | | | | | 0.0003 | - | - | - | - | 83% |
| Chlorométhane | 74-87-3 | 2.50 | | | | | 0.0021 | - | - | - | - | 24% |
| p-Dichlorobenzene | 106-46-7 | 5.65 | 0.9833 | | | | 0.0048 | 0% | - | - | - | 0% |
| Dichlorofluoromethane | 75-43-4 | 11.02 | | | | | 0.0094 | - | - | - | - | 0% |
| Dichloromethane (methylene chloride) | 75-09-2 | 49.64 | | | 4.528 | | 0.0423 | - | - | 0% | - | 29% |
| Ethanol | 64-17-5 | 0.43 | 0.0754 | | | | | 0% | - | - | - | - |
| Ethylbenzene | 100-41-4 | 21.08 | 3.6715 | | | | 0.018 | 19% | - | - | - | 2% |
| Ethylene dibromide | 106-93-4 | 0.04 | | | | | 3E-05 | - | - | - | - | 91% |
| Hexane | 110-54-3 | 23.14 | 4.0293 | | | | 0.0197 | 3% | - | - | - | 2% |
| Mercury (total) | 7439-97-6 | 0.00 | | | | | 9E-07 | - | - | - | - | 40% |
| Methyl ethyl ketone | 78-93-3 | 20.89 | 3.6382 | | | | | 1% | - | - | - | - |
| Methyl isobutyl ketone | 108-10-1 | 7.65 | 1.3328 | | | | | 0% | - | - | - | - |
| Pentane | 109-66-0 | 13.15 | 2.2899 | | | | 0.0112 | 5% | - | - | - | 4% |
| Perchloroethylene (tetrachloroethene) | 127-18-4 | 13.76 | | | | | 0.0117 | - | - | - | - | 51% |
| t-1,2-dichloroethene | 156-60-5 | 11.25 | 1.9592 | | | | 0.0096 | 1% | - | - | - | 0% |
| Toluène | 108-88-3 | 111.08 | 19.343 | | | | | 47% | - | - | - | - |
| Trichloroethylene (Trichloroethene) | 79-01-6 | 4.45 | | | | | 0.0038 | - | - | - | - | 76% |
| Vinyl chloride | 75-01-4 | 3.63 | | | | | 0.0031 | - | - | - | - | 66% |
| Xylenes | 1330-20-7 | 40.04 | 6.9729 | | | | 0.0341 | 45% | - | - | - | 40% |

Concentrations maximales observées et comparaison aux valeurs limites applicables
Scénario : Surélévation du LET - An 1 (2021)

| Contaminant | CAS | Conc.biogaz (mg/m ³) | Résultats (µg/m ³) | | | | | Résultats - Pourcentage de la valeur limite | | | | |
|---|-----------|-------------------------------------|--------------------------------|--------|--------|-------|--------|---|--------|-----|------|------|
| | | | 4 min | 15 min | 1 h | 24 h | 1 an | 4 min | 15 min | 1 h | 24 h | 1 an |
| Odeurs 99.5e centile | | - | 53.492 | | 28.022 | | | 1070% | - | - | - | - |
| Odeurs 98e centile | | - | 29.434 | | 15.419 | | | 2943% | - | - | - | - |
| <i>Unitaire</i> | | 10.00 | 1.4728 | 1.0583 | 0.7715 | 0.106 | 0.008 | - | - | - | - | - |
| Soufres réduits totaux (SRT) additifs | | 1892 | | | | | 1.5522 | - | - | - | - | 78% |
| Hydrogen sulfide | 7783-06-4 | 1875 | 226.95 | | 118.89 | | 1.368 | 3782% | - | - | - | 68% |
| Dimethyl sulfide | 75-13-3 | 14.37 | 2.1165 | | | | | 26% | - | - | - | - |
| Ethyl mercaptan | 75-08-1 | 0.50 | 0.0741 | | | | | 74% | - | - | - | - |
| Methyl mercaptan | 74-93-1 | 2.69 | 0.3968 | | | | | 57% | - | - | - | - |
| 1,1,1-Trichloroethane (methyl chloroform) | 71-55-6 | 1.33 | | | 0.1022 | | | - | - | 0% | - | - |
| 1,1,2,2-Tetrachloroethane | 79-34-5 | 7.61 | | | | | 0.0062 | - | - | - | - | 72% |
| 1,1-Dichloroethane (ethyldene dichloride) | 75-34-3 | 8.41 | | | 0.6491 | | 0.0069 | - | - | 0% | - | 1% |
| 1,1-Dichloroethène (vinylidène chloride) | 75-35-4 | 0.63 | | | | | 0.001 | - | - | - | - | 8% |
| 1-2 Dichloroethane (ethylene dichloride) | 107-06-2 | 0.64 | | | | | 0.0005 | - | - | - | - | 64% |
| 1,2-Dichloropropane (propylene dichloride) | 78-87-5 | 0.83 | | | | | 0.0007 | - | - | - | - | 0% |
| 2-Propanol | 67-63-0 | 4.42 | 0.6513 | | | | | 0% | - | - | - | - |
| Acétone | 67-64-1 | 16.64 | 2.4504 | | | | 0.0136 | 2% | - | - | - | 1% |
| Acrylonitrile | 107-13-1 | 13.73 | | | | | 0.0113 | - | - | - | - | 0% |
| Benzène | 71-43-2 | 7.66 | | | 0.0813 | | | - | - | - | 31% | - |
| Bromodichloromethane | 75-27-4 | 20.96 | | | | | 0.0172 | - | - | - | - | 59% |
| Carbon disulfide | 75-15-0 | 0.46 | 0.0673 | | | | | 0% | - | - | - | - |
| Carbon tetrachloride | 56-23-5 | 0.05 | | | | | 4E-05 | - | - | - | - | 70% |
| Carbonyl sulfide | 463-58-1 | 0.30 | 0.044 | | | | 0.0002 | 0% | - | - | - | 0% |
| Chlorobenzene | 108-90-7 | 2.23 | | | | | 0.0018 | - | - | - | - | 4% |
| Chloroethane (ethyl chloride) | 75-00-3 | 10.42 | 1.5339 | | | | 0.0085 | 0% | - | - | - | 0% |
| Chloroforme | 67-66-3 | 0.35 | | | | | 0.0003 | - | - | - | - | 83% |
| Chlorométhane | 74-87-3 | 2.50 | | | | | 0.002 | - | - | - | - | 24% |
| p-Dichlorobenzene | 106-46-7 | 5.65 | 0.8317 | | | | 0.0046 | 0% | - | - | - | 0% |
| Dichlorofluoromethane | 75-43-4 | 11.02 | | | | | 0.009 | - | - | - | - | 0% |
| Dichloromethane (methylene chloride) | 75-09-2 | 49.64 | | | 3.8296 | | 0.0407 | - | - | 0% | - | 29% |
| Ethanol | 64-17-5 | 0.43 | 0.0638 | | | | | 0% | - | - | - | - |
| Ethylbenzene | 100-41-4 | 21.08 | 3.1052 | | | | 0.0173 | 19% | - | - | - | 2% |
| Ethylene dibromide | 106-93-4 | 0.04 | | | | | 3E-05 | - | - | - | - | 91% |
| Hexane | 110-54-3 | 23.14 | 3.4078 | | | | 0.019 | 3% | - | - | - | 2% |
| Mercury (total) | 7439-97-6 | 0.00 | | | | | 8E-07 | - | - | - | - | 40% |
| Methyl ethyl ketone | 78-93-3 | 20.89 | 3.077 | | | | | 1% | - | - | - | - |
| Methyl isobutyl ketone | 108-10-1 | 7.65 | 1.1272 | | | | | 0% | - | - | - | - |
| Pentane | 109-66-0 | 13.15 | 1.9367 | | | | 0.0108 | 5% | - | - | - | 4% |
| Perchloroethylene (tretrachloroethene) | 127-18-4 | 13.76 | | | | | 0.0113 | - | - | - | - | 51% |
| t-1,2-dichloroethene | 156-60-5 | 11.25 | 1.657 | | | | 0.0092 | 0% | - | - | - | 0% |
| Toluène | 108-88-3 | 111.08 | 16.359 | | | | | 46% | - | - | - | - |
| Trichloroethylene (Trichloroethene) | 79-01-6 | 4.45 | | | | | 0.0036 | - | - | - | - | 76% |
| Vinyl chloride | 75-01-4 | 3.63 | | | | | 0.003 | - | - | - | - | 66% |
| Xylenes | 1330-20-7 | 40.04 | 5.8974 | | | | 0.0328 | 45% | - | - | - | 40% |

Concentrations maximales observées et comparaison aux valeurs limites applicables
Scénario : Surélévation du LET - An 2 (2022)

| Contaminant | CAS | Conc.biogaz (mg/m ³) | Résultats (µg/m ³) | | | | | Résultats - Pourcentage de la valeur limite | | | | |
|---|-----------|-------------------------------------|--------------------------------|--------|--------|--------|--------|---|--------|-----|------|------|
| | | | 4 min | 15 min | 1 h | 24 h | 1 an | 4 min | 15 min | 1 h | 24 h | 1 an |
| Odeurs 99.5e centile | | - | 53.492 | | 28.022 | | | 1070% | - | - | - | - |
| Odeurs 98e centile | | - | 29.434 | | 15.419 | | | 2943% | - | - | - | - |
| <i>Unitaire</i> | | 10.00 | 1.5429 | 1.1088 | 0.8083 | 0.112 | 0.009 | - | - | - | - | - |
| Soufres réduits totaux (SRT) additifs | | 946.7 | | | | | 0.8747 | - | - | - | - | 44% |
| Hydrogen sulfide | 7783-06-4 | 929.1 | 120.76 | | 63.258 | | 0.729 | 2013% | - | - | - | 36% |
| Dimethyl sulfide | 75-13-3 | 14.37 | 2.2174 | | | | | 28% | - | - | - | - |
| Ethyl mercaptan | 75-08-1 | 0.50 | 0.0776 | | | | | 78% | - | - | - | - |
| Methyl mercaptan | 74-93-1 | 2.69 | 0.4157 | | | | | 59% | - | - | - | - |
| 1,1,1-Trichloroethane (methyl chloroform) | 71-55-6 | 1.33 | | | 0.1071 | | | - | - | 0% | - | - |
| 1,1,2,2-Tetrachloroethane | 79-34-5 | 7.61 | | | | | 0.007 | - | - | - | - | 74% |
| 1,1-Dichloroethane (ethyldene dichloride) | 75-34-3 | 8.41 | | | 0.68 | | 0.0078 | - | - | 0% | - | 1% |
| 1,1-Dichloroethène (vinylidène chloride) | 75-35-4 | 0.63 | | | | | 0.001 | - | - | - | - | 8% |
| 1-2 Dichloroethane (ethylene dichloride) | 107-06-2 | 0.64 | | | | | 0.0006 | - | - | - | - | 64% |
| 1,2-Dichloropropane (propylene dichloride) | 78-87-5 | 0.83 | | | | | 0.0008 | - | - | - | - | 0% |
| 2-Propanol | 67-63-0 | 4.42 | 0.6823 | | | | | 0% | - | - | - | - |
| Acétone | 67-64-1 | 16.64 | 2.5672 | | | | 0.0154 | 2% | - | - | - | 1% |
| Acrylonitrile | 107-13-1 | 13.73 | | | | | 0.0127 | - | - | - | - | 0% |
| Benzène | 71-43-2 | 7.66 | | | | 0.0855 | | - | - | - | 31% | - |
| Bromodichloromethane | 75-27-4 | 20.96 | | | | | 0.0194 | - | - | - | - | 62% |
| Carbon disulfide | 75-15-0 | 0.46 | 0.0705 | | | | | 0% | - | - | - | - |
| Carbon tetrachloride | 56-23-5 | 0.05 | | | | | 5E-05 | - | - | - | - | 70% |
| Carbonyl sulfide | 463-58-1 | 0.30 | 0.0461 | | | | 0.0003 | 0% | - | - | - | 0% |
| Chlorobenzene | 108-90-7 | 2.23 | | | | | 0.0021 | - | - | - | - | 4% |
| Chloroethane (ethyl chloride) | 75-00-3 | 10.42 | 1.607 | | | | 0.0096 | 0% | - | - | - | 0% |
| Chloroforme | 67-66-3 | 0.35 | | | | | 0.0003 | - | - | - | - | 83% |
| Chlorométhane | 74-87-3 | 2.50 | | | | | 0.0023 | - | - | - | - | 24% |
| p-Dichlorobenzene | 106-46-7 | 5.65 | 0.8713 | | | | 0.0052 | 0% | - | - | - | 0% |
| Dichlorofluoromethane | 75-43-4 | 11.02 | | | | | 0.0102 | - | - | - | - | 0% |
| Dichloromethane (methylene chloride) | 75-09-2 | 49.64 | | | 4.0121 | | 0.0459 | - | - | 0% | - | 29% |
| Ethanol | 64-17-5 | 0.43 | 0.0668 | | | | | 0% | - | - | - | - |
| Ethylbenzene | 100-41-4 | 21.08 | 3.2531 | | | | 0.0195 | 19% | - | - | - | 2% |
| Ethylene dibromide | 106-93-4 | 0.04 | | | | | 3E-05 | - | - | - | - | 91% |
| Hexane | 110-54-3 | 23.14 | 3.5702 | | | | 0.0214 | 3% | - | - | - | 2% |
| Mercury (total) | 7439-97-6 | 0.00 | | | | | 9E-07 | - | - | - | - | 40% |
| Methyl ethyl ketone | 78-93-3 | 20.89 | 3.2237 | | | | | 1% | - | - | - | - |
| Methyl isobutyl ketone | 108-10-1 | 7.65 | 1.181 | | | | | 0% | - | - | - | - |
| Pentane | 109-66-0 | 13.15 | 2.029 | | | | 0.0122 | 5% | - | - | - | 4% |
| Perchloroethylene (tretrachloroethene) | 127-18-4 | 13.76 | | | | | 0.0127 | - | - | - | - | 51% |
| t-1,2-dichloroethene | 156-60-5 | 11.25 | 1.736 | | | | 0.0104 | 1% | - | - | - | 1% |
| Toluène | 108-88-3 | 111.08 | 17.139 | | | | | 46% | - | - | - | - |
| Trichloroethylene (Trichloroethene) | 79-01-6 | 4.45 | | | | | 0.0041 | - | - | - | - | 76% |
| Vinyl chloride | 75-01-4 | 3.63 | | | | | 0.0034 | - | - | - | - | 67% |
| Xylenes | 1330-20-7 | 40.04 | 6.1784 | | | | 0.037 | 45% | - | - | - | 40% |

Concentrations maximales observées (Récepteurs sensibles et 50 valeurs maximales sur le territoire)

Scénario : Existant (2020)

Sulfure d'hydrogène (H₂S)

| Sulfure d'hydrogène (H ₂ S) | | | | | | | | | | | | |
|--|-----------|-------------------|------------------------|------------------|-------------|-------------|-------------------|------------------------|------------|-------------|------------------------|-------------------|
| Coordonnées | | | Concentration maximale | Date/Heure | Coordonnées | | | Concentration maximale | Date/Heure | Coordonnées | Concentration maximale | |
| X | Y | 4 min | | | X | Y | 1h | | | X | Y | 1 an |
| m | m | µg/m ³ | | | m | m | µg/m ³ | | | m | m | µg/m ³ |
| Concentrations maximales aux récepteurs sensibles | | | | | | | | | | | | |
| Résidence 1 | 297 963.3 | 5 039 595.9 | 44.976 | 2006-11-26 10 hr | 297 963.3 | 5 039 595.9 | 23.560 | 2006-11-26 10 hr | 297 963.3 | 5 039 595.9 | 0.0179 | |
| Résidence 2 | 297 725.6 | 5 039 663.5 | 41.401 | 2005-11-06 08 hr | 297 725.6 | 5 039 663.5 | 21.688 | 2005-11-06 08 hr | 297 725.6 | 5 039 663.5 | 0.0193 | |
| Résidence 3 | 295 463.7 | 5 040 861.7 | 26.061 | 2005-10-04 07 hr | 295 463.7 | 5 040 861.7 | 13.652 | 2005-10-04 07 hr | 295 463.7 | 5 040 861.7 | 0.0910 | |
| Résidence 4 | 295 189.0 | 5 040 197.6 | 20.849 | 2004-11-17 10 hr | 295 189.0 | 5 040 197.6 | 10.922 | 2004-11-17 10 hr | 295 189.0 | 5 040 197.6 | 0.0482 | |
| Résidence 5 | 295 921.4 | 5 041 778.7 | 28.830 | 2006-11-23 12 hr | 295 921.4 | 5 041 778.7 | 15.103 | 2006-11-23 12 hr | 295 921.4 | 5 041 778.7 | 0.0846 | |
| Résidence 6 | 296 442.0 | 5 042 171.2 | 35.899 | 2008-11-05 07 hr | 296 442.0 | 5 042 171.2 | 18.806 | 2008-11-05 07 hr | 296 442.0 | 5 042 171.2 | 0.0773 | |
| Résidence 7 | 296 733.9 | 5 043 435.1 | 39.477 | 2008-03-18 08 hr | 296 733.9 | 5 043 435.1 | 20.680 | 2008-03-18 08 hr | 296 733.9 | 5 043 435.1 | 0.0386 | |
| Résidence 8 | 297 941.7 | 5 044 440.8 | 47.414 | 2005-11-10 07 hr | 297 941.7 | 5 044 440.8 | 24.838 | 2005-11-10 07 hr | 297 941.7 | 5 044 440.8 | 0.0232 | |
| Résidence 9 | 299 078.9 | 5 038 612.1 | 31.098 | 2008-11-06 12 hr | 299 078.9 | 5 038 612.1 | 16.290 | 2008-11-06 12 hr | 299 078.9 | 5 038 612.1 | 0.0104 | |
| Résidence 10 | 299 619.9 | 5 039 202.9 | 24.877 | 2006-03-25 07 hr | 299 619.9 | 5 039 202.9 | 13.032 | 2006-03-25 07 hr | 299 619.9 | 5 039 202.9 | 0.0152 | |
| Résidence 11 | 300 335.1 | 5 039 604.8 | 28.016 | 2004-10-28 11 hr | 300 335.1 | 5 039 604.8 | 14.676 | 2004-10-28 11 hr | 300 335.1 | 5 039 604.8 | 0.0224 | |
| Résidence 12 | 301 012.5 | 5 040 182.3 | 30.919 | 2008-10-12 10 hr | 301 012.5 | 5 040 182.3 | 16.197 | 2008-10-12 10 hr | 301 012.5 | 5 040 182.3 | 0.0327 | |
| Résidence 13 | 299 928.2 | 5 040 458.4 | 34.370 | 2008-10-31 08 hr | 299 928.2 | 5 040 458.4 | 18.005 | 2008-10-31 08 hr | 299 928.2 | 5 040 458.4 | 0.0523 | |
| Résidence 14 | 300 199.7 | 5 040 642.5 | 61.896 | 2008-10-12 10 hr | 300 199.7 | 5 040 642.5 | 32.424 | 2008-10-12 10 hr | 300 199.7 | 5 040 642.5 | 0.1023 | |
| Résidence 15 | 300 421.4 | 5 043 147.5 | 47.013 | 2005-10-20 07 hr | 300 421.4 | 5 043 147.5 | 24.628 | 2005-10-20 07 hr | 300 421.4 | 5 043 147.5 | 0.0858 | |
| Résidence 16 | 298 614.0 | 5 044 089.6 | 37.629 | 2006-01-28 07 hr | 298 614.0 | 5 044 089.6 | 19.712 | 2006-01-28 07 hr | 298 614.0 | 5 044 089.6 | 0.0313 | |
| Résidence 17 | 297 643.0 | 5 045 149.1 | 34.992 | 2008-11-03 08 hr | 297 643.0 | 5 045 149.1 | 18.330 | 2008-11-03 08 hr | 297 643.0 | 5 045 149.1 | 0.0158 | |
| École primaire | 303 807.8 | 5 038 761.1 | 12.923 | 2004-11-12 11 hr | 303 807.8 | 5 038 761.1 | 6.769 | 2004-11-12 11 hr | 303 807.8 | 5 038 761.1 | 0.0063 | |
| 50 concentrations maximales observées | | | | | | | | | | | | |
| 1 | 298 131.2 | 5 041 493.9 | 355.633 | 2007-11-20 07 hr | 298 131.2 | 5 041 493.9 | 186.298 | 2007-11-20 07 hr | 297 953.0 | 5 041 326.9 | 1.6481 | |
| 2 | 298 117.1 | 5 041 505.0 | 342.514 | 2006-11-23 11 hr | 298 117.1 | 5 041 505.0 | 179.425 | 2006-11-23 11 hr | 297 988.6 | 5 041 360.3 | 1.5972 | |
| 3 | 298 166.8 | 5 041 527.3 | 333.668 | 2006-10-07 11 hr | 298 166.8 | 5 041 527.3 | 174.792 | 2006-10-07 11 hr | 297 917.3 | 5 041 293.5 | 1.5760 | |
| 4 | 298 059.9 | 5 041 427.1 | 330.676 | 2008-10-08 11 hr | 298 059.9 | 5 041 427.1 | 173.224 | 2008-10-08 11 hr | 298 059.9 | 5 041 427.1 | 1.5236 | |
| 5 | 298 238.1 | 5 041 594.1 | 325.628 | 2007-10-17 08 hr | 298 238.1 | 5 041 594.1 | 170.580 | 2007-10-17 08 hr | 298 095.6 | 5 041 460.5 | 1.5232 | |
| 6 | 298 202.5 | 5 041 560.7 | 323.175 | 2006-10-07 11 hr | 298 202.5 | 5 041 560.7 | 169.295 | 2006-10-07 11 hr | 298 024.3 | 5 041 393.7 | 1.4804 | |
| 7 | 298 095.6 | 5 041 460.5 | 322.393 | 2004-10-06 07 hr | 298 095.6 | 5 041 460.5 | 168.885 | 2004-10-06 07 hr | 297 881.7 | 5 041 260.1 | 1.4300 | |
| 8 | 298 273.8 | 5 041 627.5 | 305.365 | 2007-11-12 11 hr | 298 273.8 | 5 041 627.5 | 159.965 | 2007-11-12 11 hr | 298 017.1 | 5 041 405.0 | 1.3819 | |
| 9 | 298 217.1 | 5 041 605.0 | 294.042 | 2007-10-23 09 hr | 298 217.1 | 5 041 605.0 | 154.033 | 2007-10-23 09 hr | 297 846.0 | 5 041 226.7 | 1.3271 | |
| 10 | 298 309.4 | 5 041 660.9 | 286.925 | 2007-11-12 11 hr | 298 309.4 | 5 041 660.9 | 150.305 | 2007-11-12 11 hr | 297 810.4 | 5 041 193.2 | 1.2519 | |
| 11 | 298 017.1 | 5 041 505.0 | 281.271 | 2004-10-06 07 hr | 298 017.1 | 5 041 505.0 | 147.344 | 2004-10-06 07 hr | 298 131.2 | 5 041 493.9 | 1.2497 | |
| 12 | 298 117.1 | 5 041 605.0 | 267.099 | 2006-10-07 11 hr | 298 117.1 | 5 041 605.0 | 139.920 | 2006-10-07 11 hr | 298 804.3 | 5 041 514.4 | 1.2481 | |
| 13 | 298 017.1 | 5 041 605.0 | 266.892 | 2006-11-23 11 hr | 298 017.1 | 5 041 605.0 | 139.811 | 2006-11-23 11 hr | 298 817.1 | 5 041 505.0 | 1.2427 | |
| 14 | 298 204.6 | 5 041 771.5 | 249.015 | 2007-10-17 08 hr | 298 204.6 | 5 041 771.5 | 130.446 | 2007-10-17 08 hr | 298 769.1 | 5 041 549.2 | 1.2383 | |
| 15 | 298 345.1 | 5 041 694.3 | 245.796 | 2004-11-21 13 hr | 298 345.1 | 5 041 694.3 | 128.760 | 2004-11-21 13 hr | 298 839.5 | 5 041 479.5 | 1.2340 | |
| 16 | 298 380.7 | 5 041 727.7 | 228.307 | 2004-11-21 13 hr | 298 380.7 | 5 041 727.7 | 119.598 | 2004-11-21 13 hr | 298 733.9 | 5 041 584.0 | 1.2205 | |
| 17 | 298 717.1 | 5 041 605.0 | 225.510 | 2005-10-31 09 hr | 298 717.1 | 5 041 605.0 | 118.133 | 2005-10-31 09 hr | 298 717.1 | 5 041 605.0 | 1.1862 | |
| 18 | 298 817.1 | 5 041 505.0 | 225.014 | 2005-10-29 07 hr | 298 817.1 | 5 041 505.0 | 117.873 | 2005-10-29 07 hr | 297 774.7 | 5 041 159.8 | 1.1653 | |
| 19 | 298 663.6 | 5 041 653.7 | 223.938 | 2008-10-20 11 hr | 298 663.6 | 5 041 653.7 | 117.309 | 2008-10-20 11 hr | 298 698.8 | 5 041 618.9 | 1.1624 | |
| 20 | 298 804.3 | 5 041 514.4 | 221.196 | 2005-10-29 07 hr | 298 804.3 | 5 041 514.4 | 115.873 | 2005-10-29 07 hr | 298 117.1 | 5 041 505.0 | 1.1610 | |
| 21 | 298 698.8 | 5 041 618.9 | 218.094 | 2005-10-31 09 hr | 298 698.8 | 5 041 618.9 | 114.248 | 2005-10-31 09 hr | 298 874.7 | 5 041 444.7 | 1.1527 | |
| 22 | 298 593.2 | 5 041 723.4 | 217.435 | 2005-11-13 09 hr | 298 593.2 | 5 041 723.4 | 113.903 | 2005-11-13 09 hr | 298 017.1 | 5 041 505.0 | 1.1087 | |
| 23 | 298 769.1 | 5 041 549.2 | 217.338 | 2007-10-17 10 hr | 298 769.1 | 5 041 549.2 | 113.852 | 2007-10-17 10 hr | 297 850.5 | 5 041 355.0 | 1.1017 | |
| 24 | 298 628.4 | 5 041 688.6 | 216.547 | 2007-10-17 09 hr | 298 628.4 | 5 041 688.6 | 113.438 | 2007-10-17 09 hr | 297 739.1 | 5 041 126.4 | 1.0662 | |
| 25 | 298 733.9 | 5 041 584.0 | 214.578 | 2005-10-31 09 hr | 298 733.9 | 5 041 584.0 | 112.406 | 2005-10-31 09 hr | 298 909.9 | 5 041 409.8 | 1.0600 | |
| 26 | 298 839.5 | 5 041 479.5 | 213.412 | 2005-10-05 09 hr | 298 839.5 | 5 041 479.5 | 111.796 | 2005-10-05 09 hr | 298 917.1 | 5 041 405.0 | 1.0435 | |
| 27 | 298 909.9 | 5 041 409.8 | 212.302 | 2007-11-02 08 hr | 298 909.9 | 5 041 409.8 | 111.214 | 2007-11-02 08 hr | 298 663.6 | 5 041 653.7 | 1.0258 | |
| 28 | 297 850.5 | 5 041 542.5 | 209.043 | 2008-10-08 11 hr | 297 850.5 | 5 041 542.5 | 109.507 | 2008-10-08 11 hr | 298 945.0 | 5 041 375.0 | 1.0028 | |
| 29 | 298 392.1 | 5 041 771.5 | 206.509 | 2004-11-21 13 hr | 298 392.1 | 5 041 771.5 | 108.180 | 2004-11-21 13 hr | 298 817.1 | 5 041 605.0 | 0.9994 | |
| 30 | 298 917.1 | 5 041 405.0 | 205.780 | 2007-11-02 08 hr | 298 917.1 | 5 041 405.0 | 107.798 | 2007-11-02 08 hr | 298 917.1 | 5 041 505.0 | 0.9796 | |
| 31 | 298 874.7 | 5 041 444.7 | 203.834 | 2005-11-13 10 hr | 298 874.7 | 5 041 444.7 | 106.778 | 2005-11-13 10 hr | 297 683.8 | 5 041 167.5 | 0.9545 | |
| 32 | 298 017.1 | 5 041 405.0 | 200.203 | 2008-10-08 11 hr | 298 017.1 | 5 041 405.0 | 104.876 | 2008-10-08 11 hr | 297 703.5 | 5 041 093.0 | 0.9539 | |
| 33 | 298 945.0 | 5 041 375.0 | 199.859 | 2004-10-27 07 hr | 298 945.0 | 5 041 375.0 | 104.696 | 2004-10-27 07 hr | 298 980.2 | 5 041 340.1 | 0.9478 | |
| 34 | 298 917.1 | 5 041 505.0 | 199.404 | 2005-10-05 09 hr | 298 917.1 | 5 041 505.0 | 104.457 | 2005-10-05 09 hr | 298 166.8 | 5 041 527.3 | 0.9251 | |
| 35 | 298 817.1 | 5 041 605.0 | 197.652 | 2007-10-17 10 hr | 298 817.1 | 5 041 605.0 | 103.539 | 2007-10-17 10 hr | 299 015.4 | 5 041 305.3 | 0.8807 | |
| 36 | 297 850.5 | 5 041 730.0 | 191.465 | 2007-10-09 10 hr | 297 850.5 | 5 041 730.0 | 100.299 | 2007-10-09 10 hr | 299 017.1 | 5 041 305.0 | 0.8769 | |
| 37 | 298 017.1 | 5 041 771.5 | 191.126 | 2006-10-07 11 hr | 298 017.1 | 5 041 771.5 | 100.121 | 2006-10-07 11 hr | 298 628.4 | 5 041 688.6 | 0.8695 | |
| 38 | 298 452.0 | 5 041 794.5 | 190.124 | 2005-10-08 07 hr | 298 452.0 | 5 041 794.5 | 99.596 | 2005-10-08 07 hr | 298 917.1 | 5 041 605.0 | 0.8531 | |
| 39 | 298 204.6 | 5 041 938.5 | 189.699 | 2007-10-17 08 hr | 298 204.6 | 5 041 938.5 | 99.374 | 2007-10-17 08 hr | 297 667.8 | 5 041 059.6 | 0.8360 | |
| 40 | 298 487.6 | 5 041 828.0 | 189.511 | 2005-10-08 07 hr | 298 487.6 | 5 041 828.0 | 99.275 | 2005-10-08 07 hr | 299 017.1 | 5 041 405.0 | 0.8227 | |
| 41 | 298 917.1 | 5 041 605.0 | 188.175 | 2005-10-29 07 hr | 2 | | | | | | | |

Concentrations maximales observées (Récepteurs sensibles et 50 valeurs maximales sur le territoire)

Scénario : Existant (2020)

Contaminant unitaire

| Concentration maximale horaire | | | | Concentration maximale journalière | | | | Concentration maximale annuelle | | | |
|--|-----------|------------------------|------------|------------------------------------|-----------|------------------------|------------|---------------------------------|-----------|------------------------|---------|
| Coordonnées | | Concentration maximale | Date/Heure | Coordonnées | | Concentration maximale | Date/Heure | Coordonnées | | Concentration maximale | |
| X | Y | 1h | | X | Y | 24h | | X | Y | 1 an | |
| m | m | µg/m³ | | m | m | µg/m³ | | m | m | µg/m³ | |
| Concentrations maximales aux récepteurs sensibles | | | | | | | | | | | |
| Résidence 1 | 297 963.3 | 5 039 595.9 | 0.099 | 2006-11-26 10 hr | 297 963.3 | 5 039 595.9 | 0.0055 | 2006-11-26 24 hr | 297 963.3 | 5 039 595.9 | 0.00017 |
| Résidence 2 | 297 725.6 | 5 039 663.5 | 0.091 | 2005-11-06 08 hr | 297 725.6 | 5 039 663.5 | 0.0051 | 2005-11-06 24 hr | 297 725.6 | 5 039 663.5 | 0.00023 |
| Résidence 3 | 295 463.7 | 5 040 861.7 | 0.058 | 2008-10-20 07 hr | 295 463.7 | 5 040 861.7 | 0.0081 | 2004-11-10 24 hr | 295 463.7 | 5 040 861.7 | 0.00069 |
| Résidence 4 | 295 189.0 | 5 040 197.6 | 0.046 | 2004-11-17 10 hr | 295 189.0 | 5 040 197.6 | 0.0061 | 2004-11-17 24 hr | 295 189.0 | 5 040 197.6 | 0.00037 |
| Résidence 5 | 295 921.4 | 5 041 778.7 | 0.067 | 2008-10-19 07 hr | 295 921.4 | 5 041 778.7 | 0.0085 | 2008-10-19 24 hr | 295 921.4 | 5 041 778.7 | 0.00051 |
| Résidence 6 | 296 442.0 | 5 042 171.2 | 0.120 | 2007-02-01 09 hr | 296 442.0 | 5 042 171.2 | 0.0075 | 2004-11-15 24 hr | 296 442.0 | 5 042 171.2 | 0.00055 |
| Résidence 7 | 296 733.9 | 5 043 435.1 | 0.123 | 2008-03-18 08 hr | 296 733.9 | 5 043 435.1 | 0.0130 | 2006-12-14 24 hr | 296 733.9 | 5 043 435.1 | 0.00026 |
| Résidence 8 | 297 941.7 | 5 044 440.8 | 0.109 | 2005-11-10 07 hr | 297 941.7 | 5 044 440.8 | 0.0070 | 2006-06-15 24 hr | 297 941.7 | 5 044 440.8 | 0.00014 |
| Résidence 9 | 299 078.9 | 5 038 612.1 | 0.079 | 2008-11-06 12 hr | 299 078.9 | 5 038 612.1 | 0.0038 | 2008-11-06 24 hr | 299 078.9 | 5 038 612.1 | 0.00007 |
| Résidence 10 | 299 619.9 | 5 039 202.9 | 0.095 | 2006-03-25 07 hr | 299 619.9 | 5 039 202.9 | 0.0088 | 2006-03-25 24 hr | 299 619.9 | 5 039 202.9 | 0.00012 |
| Résidence 11 | 300 335.1 | 5 039 604.8 | 0.094 | 2004-10-28 11 hr | 300 335.1 | 5 039 604.8 | 0.0052 | 2004-10-28 24 hr | 300 335.1 | 5 039 604.8 | 0.00017 |
| Résidence 12 | 301 012.5 | 5 040 182.3 | 0.118 | 2008-10-12 10 hr | 301 012.5 | 5 040 182.3 | 0.0088 | 2008-10-12 24 hr | 301 012.5 | 5 040 182.3 | 0.00035 |
| Résidence 13 | 299 928.2 | 5 040 458.4 | 0.122 | 2006-01-03 12 hr | 299 928.2 | 5 040 458.4 | 0.0096 | 2008-10-17 24 hr | 299 928.2 | 5 040 458.4 | 0.00061 |
| Résidence 14 | 300 199.7 | 5 040 642.5 | 0.136 | 2008-10-12 10 hr | 300 199.7 | 5 040 642.5 | 0.0150 | 2006-01-03 24 hr | 300 199.7 | 5 040 642.5 | 0.00089 |
| Résidence 15 | 300 421.4 | 5 043 147.5 | 0.103 | 2005-10-20 07 hr | 300 421.4 | 5 043 147.5 | 0.0090 | 2005-11-21 24 hr | 300 421.4 | 5 043 147.5 | 0.00057 |
| Résidence 16 | 298 614.0 | 5 044 089.6 | 0.086 | 2006-05-01 09 hr | 298 614.0 | 5 044 089.6 | 0.0061 | 2004-08-21 24 hr | 298 614.0 | 5 044 089.6 | 0.00019 |
| Résidence 17 | 297 643.0 | 5 045 149.1 | 0.083 | 2008-11-03 08 hr | 297 643.0 | 5 045 149.1 | 0.0046 | 2008-11-03 24 hr | 297 643.0 | 5 045 149.1 | 0.00010 |
| École primaire | 303 807.8 | 5 038 761.1 | 0.036 | 2004-11-12 11 hr | 303 807.8 | 5 038 761.1 | 0.0020 | 2004-11-12 24 hr | 303 807.8 | 5 038 761.1 | 0.00004 |
| 50 concentrations maximales observées | | | | | | | | | | | |
| 1 | 298 131.2 | 5 041 493.9 | 0.912 | 2007-11-20 07 hr | 298 095.6 | 5 041 460.5 | 0.0982 | 2008-11-30 24 hr | 297 953.0 | 5 041 326.9 | 0.00853 |
| 2 | 298 117.1 | 5 041 505.0 | 0.876 | 2007-11-20 07 hr | 298 166.8 | 5 041 527.3 | 0.0972 | 2006-12-14 24 hr | 297 988.6 | 5 041 360.3 | 0.00834 |
| 3 | 298 166.8 | 5 041 527.3 | 0.859 | 2006-10-07 11 hr | 298 059.9 | 5 041 427.1 | 0.0936 | 2004-10-06 24 hr | 297 917.3 | 5 041 293.5 | 0.00811 |
| 4 | 298 202.5 | 5 041 560.7 | 0.845 | 2006-10-07 11 hr | 297 988.6 | 5 041 360.3 | 0.0858 | 2004-10-29 24 hr | 298 059.9 | 5 041 427.1 | 0.00784 |
| 5 | 298 095.6 | 5 041 460.5 | 0.785 | 2007-10-09 10 hr | 298 024.3 | 5 041 393.7 | 0.0822 | 2004-10-29 24 hr | 298 024.3 | 5 041 393.7 | 0.00779 |
| 6 | 298 059.9 | 5 041 427.1 | 0.761 | 2008-10-15 08 hr | 297 953.0 | 5 041 326.9 | 0.0814 | 2004-10-29 24 hr | 298 056.6 | 5 041 460.5 | 0.00769 |
| 7 | 298 238.1 | 5 041 594.1 | 0.720 | 2007-10-17 08 hr | 298 017.1 | 5 041 505.0 | 0.0796 | 2008-11-30 24 hr | 297 881.7 | 5 041 260.1 | 0.00737 |
| 8 | 298 117.1 | 5 041 605.0 | 0.698 | 2006-10-07 11 hr | 298 017.1 | 5 041 405.0 | 0.0791 | 2004-10-29 24 hr | 298 017.1 | 5 041 405.0 | 0.00733 |
| 9 | 298 017.1 | 5 041 605.0 | 0.694 | 2006-11-23 11 hr | 298 202.5 | 5 041 560.7 | 0.0785 | 2006-12-14 24 hr | 297 846.0 | 5 041 226.7 | 0.00683 |
| 10 | 298 217.1 | 5 041 605.0 | 0.683 | 2007-10-23 09 hr | 298 131.2 | 5 041 493.9 | 0.0784 | 2006-12-14 24 hr | 299 015.4 | 5 041 305.3 | 0.00675 |
| 11 | 298 273.8 | 5 041 627.5 | 0.674 | 2007-10-17 08 hr | 298 117.1 | 5 041 605.0 | 0.0769 | 2006-12-14 24 hr | 299 017.1 | 5 041 305.0 | 0.00673 |
| 12 | 298 017.1 | 5 041 505.0 | 0.661 | 2004-10-06 07 hr | 297 917.3 | 5 041 293.5 | 0.0728 | 2004-10-29 24 hr | 298 980.2 | 5 041 340.1 | 0.00673 |
| 13 | 298 309.4 | 5 041 660.9 | 0.632 | 2007-11-12 11 hr | 298 945.0 | 5 041 375.0 | 0.0711 | 2007-12-09 24 hr | 298 839.5 | 5 041 479.5 | 0.00666 |
| 14 | 298 204.6 | 5 041 771.5 | 0.556 | 2007-10-17 08 hr | 298 980.2 | 5 041 340.1 | 0.0706 | 2007-12-09 24 hr | 298 945.0 | 5 041 375.0 | 0.00662 |
| 15 | 298 345.1 | 5 041 694.3 | 0.539 | 2004-11-21 13 hr | 298 917.1 | 5 041 405.0 | 0.0702 | 2004-10-26 24 hr | 298 874.7 | 5 041 444.7 | 0.00660 |
| 16 | 298 017.1 | 5 041 771.5 | 0.511 | 2006-10-07 11 hr | 298 117.1 | 5 041 505.0 | 0.0699 | 2006-12-14 24 hr | 299 050.6 | 5 041 270.4 | 0.00655 |
| 17 | 297 850.5 | 5 041 730.0 | 0.511 | 2007-10-09 10 hr | 298 909.9 | 5 041 409.8 | 0.0687 | 2004-10-26 24 hr | 298 817.1 | 5 041 505.0 | 0.00655 |
| 18 | 298 380.7 | 5 041 727.7 | 0.501 | 2004-11-21 13 hr | 299 152.7 | 5 041 012.7 | 0.0679 | 2007-12-09 24 hr | 298 909.9 | 5 041 409.8 | 0.00654 |
| 19 | 298 017.1 | 5 041 405.0 | 0.496 | 2008-10-08 11 hr | 299 150.1 | 5 040 987.5 | 0.0674 | 2007-12-09 24 hr | 298 917.1 | 5 041 405.0 | 0.00652 |
| 20 | 298 717.1 | 5 041 605.0 | 0.495 | 2005-10-31 09 hr | 299 155.4 | 5 041 037.8 | 0.0648 | 2007-12-09 24 hr | 298 804.3 | 5 041 514.4 | 0.00652 |
| 21 | 298 817.1 | 5 041 505.0 | 0.494 | 2005-10-29 07 hr | 298 628.4 | 5 041 688.6 | 0.0643 | 2005-10-19 24 hr | 297 810.4 | 5 041 193.2 | 0.00645 |
| 22 | 298 663.6 | 5 041 653.7 | 0.491 | 2008-10-20 11 hr | 298 663.6 | 5 041 653.7 | 0.0642 | 2005-10-19 24 hr | 298 131.2 | 5 041 493.9 | 0.00638 |
| 23 | 298 804.3 | 5 041 514.4 | 0.485 | 2005-10-29 07 hr | 298 217.1 | 5 041 605.0 | 0.0639 | 2004-03-29 24 hr | 298 769.1 | 5 041 549.2 | 0.00633 |
| 24 | 298 698.8 | 5 041 618.9 | 0.479 | 2005-10-31 09 hr | 299 146.4 | 5 040 964.2 | 0.0638 | 2007-12-09 24 hr | 299 085.8 | 5 041 235.6 | 0.00621 |
| 25 | 298 593.2 | 5 041 723.4 | 0.477 | 2005-11-13 09 hr | 299 017.1 | 5 041 405.0 | 0.0626 | 2007-12-09 24 hr | 298 733.9 | 5 041 584.0 | 0.00613 |
| 26 | 297 850.5 | 5 041 542.5 | 0.477 | 2008-10-08 11 hr | 298 238.1 | 5 041 594.1 | 0.0618 | 2004-03-29 24 hr | 297 774.7 | 5 041 159.8 | 0.00609 |
| 27 | 298 769.1 | 5 041 549.2 | 0.477 | 2007-10-17 10 hr | 299 183.8 | 5 041 042.5 | 0.0614 | 2007-12-09 24 hr | 298 117.1 | 5 041 505.0 | 0.00597 |
| 28 | 298 628.4 | 5 041 688.6 | 0.475 | 2007-10-17 09 hr | 298 804.3 | 5 041 514.4 | 0.0605 | 2005-10-22 24 hr | 298 717.1 | 5 041 605.0 | 0.00591 |
| 29 | 298 733.9 | 5 041 584.0 | 0.471 | 2005-10-31 09 hr | 299 015.4 | 5 041 305.3 | 0.0590 | 2007-12-09 24 hr | 299 121.0 | 5 041 200.8 | 0.00589 |
| 30 | 298 839.5 | 5 041 479.5 | 0.468 | 2005-10-05 09 hr | 299 017.1 | 5 041 305.0 | 0.0587 | 2007-12-09 24 hr | 297 850.5 | 5 041 355.0 | 0.00585 |
| 31 | 298 024.3 | 5 041 393.7 | 0.466 | 2008-10-08 11 hr | 298 817.1 | 5 041 505.0 | 0.0585 | 2005-10-22 24 hr | 298 017.1 | 5 041 505.0 | 0.00581 |
| 32 | 298 909.9 | 5 041 409.8 | 0.466 | 2007-11-02 08 hr | 299 157.2 | 5 041 075.8 | 0.0574 | 2007-12-09 24 hr | 298 698.8 | 5 041 618.9 | 0.00577 |
| 33 | 298 392.1 | 5 041 771.5 | 0.453 | 2004-11-21 13 hr | 297 881.7 | 5 041 260.1 | 0.0571 | 2004-10-29 24 hr | 297 739.1 | 5 041 126.4 | 0.00575 |
| 34 | 298 917.1 | 5 041 405.0 | 0.452 | 2007-11-02 08 hr | 298 273.8 | 5 041 627.5 | 0.0563 | 2008-11-03 24 hr | 299 017.1 | 5 041 405.0 | 0.00566 |
| 35 | 298 874.7 | 5 041 444.7 | 0.447 | 2005-11-13 10 hr | 299 183.8 | 5 041 417.5 | 0.0563 | 2007-12-09 24 hr | 299 157.6 | 5 041 109.9 | 0.00561 |
| 36 | 298 204.6 | 5 041 938.5 | 0.444 | 2007-10-17 08 hr | 299 141.5 | 5 040 935.3 | 0.0561 | 2007-12-09 24 hr | 298 917.1 | 5 041 505.0 | 0.00560 |
| 37 | 298 945.0 | 5 041 375.0 | 0.439 | 2004-10-27 07 hr | 298 733.9 | 5 041 584.0 | 0.0561 | 2005-10-22 24 hr | 299 157.2 | 5 041 075.8 | 0.00559 |
| 38 | 298 917.1 | 5 041 505.0 | 0.438 | 2005-10-05 09 hr | 298 769.1 | 5 041 549.2 | 0.0553 | 2005-10-22 24 hr | 299 156.8 | 5 041 137.9 | 0.00559 |
| 39 | 298 817.1 | 5 041 605.0 | 0.434 | 2007-10-17 10 hr | 297 850.5 | 5 041 355.0 | 0.0552 | 2004-10-29 24 hr | 299 155.4 | 5 041 037.8 | 0.00555 |
| 40 | 298 017.1 | 5 041 938.5 | 0.425 | 2008-01-28 10 hr | 299 117.3 | 5 040 829.3 | 0.0552 | 2006-01-03 24 hr | 299 156.1 | 5 041 165.9 | 0.00554 |
| 41 | 298 452.0 | 5 041 794.5 | 0.417 | 2005-10-08 07 hr | 298 874.7 | 5 041 444.7 | 0.0551 | 2005-11-13 24 hr | 299 152.7 | 5 041 012.7 | 0.0 |

Concentrations maximales observées (Récepteurs sensibles et 50 valeurs maximales sur le territoire)

Scénario : Existant (2020)

Odeurs

| Concentrations maximales horaires | | | | | | | | |
|--|-----------|-------------|---------------|--------|-------------|-------------|-------------|---------|
| Coordonnées | | | 99.5e centile | | Coordonnées | | 98e centile | |
| | X | Y | 4 min | 1h | X | Y | 4 min | 1h |
| | m | m | µg/m³ | µg/m³ | m | m | µg/m³ | µg/m³ |
| Concentrations maximales aux récepteurs sensibles | | | | | | | | |
| Résidence 1 | 297 963.3 | 5 039 595.9 | 1.672 | 0.876 | 297 963.3 | 5 039 595.9 | 0.253 | 0.1324 |
| Résidence 2 | 297 725.6 | 5 039 663.5 | 2.380 | 1.247 | 297 725.6 | 5 039 663.5 | 0.464 | 0.2429 |
| Résidence 3 | 295 463.7 | 5 040 861.7 | 3.405 | 1.784 | 295 463.7 | 5 040 861.7 | 0.830 | 0.4347 |
| Résidence 4 | 295 189.0 | 5 040 197.6 | 2.203 | 1.154 | 295 189.0 | 5 040 197.6 | 0.445 | 0.2331 |
| Résidence 5 | 295 921.4 | 5 041 778.7 | 1.785 | 0.935 | 295 921.4 | 5 041 778.7 | 0.351 | 0.1840 |
| Résidence 6 | 296 442.0 | 5 042 171.2 | 3.710 | 1.944 | 296 442.0 | 5 042 171.2 | 0.245 | 0.1281 |
| Résidence 7 | 296 733.9 | 5 043 435.1 | 0.773 | 0.405 | 296 733.9 | 5 043 435.1 | 0.018 | 0.0092 |
| Résidence 8 | 297 941.7 | 5 044 440.8 | 0.382 | 0.200 | 297 941.7 | 5 044 440.8 | 0.001 | 0.0008 |
| Résidence 9 | 299 078.9 | 5 038 612.1 | 0.195 | 0.102 | 299 078.9 | 5 038 612.1 | 0.000 | 0.0001 |
| Résidence 10 | 299 619.9 | 5 039 202.9 | 0.578 | 0.303 | 299 619.9 | 5 039 202.9 | 0.059 | 0.0310 |
| Résidence 11 | 300 335.1 | 5 039 604.8 | 0.738 | 0.386 | 300 335.1 | 5 039 604.8 | 0.142 | 0.0742 |
| Résidence 12 | 301 012.5 | 5 040 182.3 | 2.259 | 1.183 | 301 012.5 | 5 040 182.3 | 0.320 | 0.1677 |
| Résidence 13 | 299 928.2 | 5 040 458.4 | 8.112 | 4.250 | 299 928.2 | 5 040 458.4 | 1.297 | 0.6793 |
| Résidence 14 | 300 199.7 | 5 040 642.5 | 7.259 | 3.802 | 300 199.7 | 5 040 642.5 | 1.391 | 0.7288 |
| Résidence 15 | 300 421.4 | 5 043 147.5 | 2.359 | 1.236 | 300 421.4 | 5 043 147.5 | 0.455 | 0.2383 |
| Résidence 16 | 298 614.0 | 5 044 089.6 | 0.704 | 0.369 | 298 614.0 | 5 044 089.6 | 0.027 | 0.0144 |
| Résidence 17 | 297 643.0 | 5 045 149.1 | 0.237 | 0.124 | 297 643.0 | 5 045 149.1 | 0.000 | 0.0001 |
| École primaire | 303 807.8 | 5 038 761.1 | 0.156 | 0.082 | 303 807.8 | 5 038 761.1 | 0.026 | 0.0134 |
| 50 concentrations maximales observées | | | | | | | | |
| 1 | 299 077.9 | 5 040 711.4 | 53.492 | 28.022 | 299 077.9 | 5 040 711.4 | 29.494 | 15.4505 |
| 2 | 299 087.4 | 5 040 736.6 | 52.922 | 27.723 | 299 087.4 | 5 040 736.6 | 29.029 | 15.2066 |
| 3 | 299 096.9 | 5 040 761.8 | 51.446 | 26.950 | 299 066.2 | 5 040 683.9 | 27.759 | 14.5415 |
| 4 | 299 066.2 | 5 040 683.9 | 51.159 | 26.799 | 299 096.9 | 5 040 761.8 | 27.542 | 14.4278 |
| 5 | 299 110.1 | 5 040 803.7 | 48.756 | 25.541 | 299 110.1 | 5 040 803.7 | 25.049 | 13.1219 |
| 6 | 299 054.5 | 5 040 656.4 | 47.326 | 24.792 | 299 054.5 | 5 040 656.4 | 24.932 | 13.0608 |
| 7 | 299 117.3 | 5 040 829.3 | 46.100 | 24.149 | 299 117.3 | 5 040 829.3 | 23.179 | 12.1424 |
| 8 | 299 124.5 | 5 040 854.9 | 43.708 | 22.896 | 299 124.5 | 5 040 854.9 | 21.540 | 11.2836 |
| 9 | 299 130.5 | 5 040 880.7 | 42.215 | 22.114 | 299 130.5 | 5 040 880.7 | 19.926 | 10.4381 |
| 10 | 299 034.3 | 5 040 616.1 | 41.256 | 21.612 | 299 034.3 | 5 040 616.1 | 19.708 | 10.3240 |
| 11 | 299 136.6 | 5 040 906.5 | 39.948 | 20.927 | 299 136.6 | 5 040 906.5 | 17.800 | 9.3244 |
| 12 | 299 141.5 | 5 040 935.3 | 37.334 | 19.557 | 299 141.5 | 5 040 935.3 | 16.615 | 8.7038 |
| 13 | 299 183.8 | 5 040 855.0 | 36.800 | 19.278 | 299 183.8 | 5 040 855.0 | 16.354 | 8.5669 |
| 14 | 299 022.4 | 5 040 593.7 | 36.005 | 18.861 | 299 022.4 | 5 040 593.7 | 16.336 | 8.5574 |
| 15 | 299 146.4 | 5 040 964.2 | 35.217 | 18.448 | 299 146.4 | 5 040 964.2 | 15.159 | 7.9412 |
| 16 | 299 150.1 | 5 040 987.5 | 34.114 | 17.871 | 299 150.1 | 5 040 987.5 | 13.926 | 7.2952 |
| 17 | 299 152.7 | 5 041 012.7 | 32.858 | 17.212 | 299 010.5 | 5 040 571.2 | 13.728 | 7.1912 |
| 18 | 299 183.8 | 5 040 667.5 | 31.706 | 16.609 | 299 183.8 | 5 040 667.5 | 13.587 | 7.1177 |
| 19 | 299 155.4 | 5 041 037.8 | 30.635 | 16.048 | 299 152.7 | 5 041 012.7 | 12.880 | 6.7470 |
| 20 | 299 010.5 | 5 040 571.2 | 29.549 | 15.479 | 299 155.4 | 5 041 037.8 | 11.206 | 5.8702 |
| 21 | 299 157.2 | 5 041 075.8 | 29.178 | 15.285 | 299 183.8 | 5 041 042.5 | 11.104 | 5.8167 |
| 22 | 299 183.8 | 5 041 042.5 | 29.105 | 15.247 | 298 986.0 | 5 040 531.5 | 10.534 | 5.5182 |
| 23 | 299 157.6 | 5 041 109.9 | 27.582 | 14.449 | 297 979.7 | 5 040 618.9 | 10.367 | 5.4307 |
| 24 | 299 156.8 | 5 041 137.9 | 25.173 | 13.187 | 298 014.5 | 5 040 584.9 | 10.343 | 5.4179 |
| 25 | 299 350.5 | 5 040 855.0 | 24.940 | 13.065 | 299 157.2 | 5 041 075.8 | 10.177 | 5.3315 |
| 26 | 299 156.1 | 5 041 165.9 | 23.603 | 12.364 | 298 049.4 | 5 040 550.9 | 9.949 | 5.2120 |
| 27 | 298 986.0 | 5 040 531.5 | 22.641 | 11.860 | 298 084.2 | 5 040 516.9 | 9.800 | 5.1336 |
| 28 | 298 971.5 | 5 040 508.2 | 21.576 | 11.303 | 297 944.9 | 5 040 652.9 | 9.668 | 5.0644 |
| 29 | 299 350.5 | 5 041 042.5 | 21.548 | 11.288 | 298 119.0 | 5 040 482.9 | 9.549 | 5.0023 |
| 30 | 299 121.0 | 5 041 200.8 | 21.498 | 11.262 | 299 157.6 | 5 041 109.9 | 9.541 | 4.9982 |
| 31 | 299 350.5 | 5 040 667.5 | 21.005 | 11.003 | 297 910.0 | 5 040 686.9 | 9.079 | 4.7558 |
| 32 | 298 960.8 | 5 040 492.5 | 20.824 | 10.909 | 298 971.5 | 5 040 508.2 | 8.920 | 4.6725 |
| 33 | 298 223.5 | 5 040 381.0 | 20.247 | 10.607 | 297 875.2 | 5 040 720.9 | 8.846 | 4.6342 |
| 34 | 298 940.8 | 5 040 464.5 | 20.165 | 10.564 | 298 960.8 | 5 040 492.5 | 8.495 | 4.4504 |
| 35 | 299 085.8 | 5 041 235.6 | 19.600 | 10.268 | 299 156.8 | 5 041 137.9 | 8.232 | 4.3123 |
| 36 | 299 183.8 | 5 041 230.0 | 19.462 | 10.195 | 297 850.5 | 5 040 605.0 | 8.171 | 4.2802 |
| 37 | 298 258.4 | 5 040 347.0 | 19.347 | 10.135 | 298 153.9 | 5 040 448.9 | 7.608 | 3.9852 |
| 38 | 298 188.7 | 5 040 415.0 | 19.311 | 10.116 | 299 050.6 | 5 041 270.4 | 7.359 | 3.8552 |
| 39 | 298 920.9 | 5 040 436.6 | 19.079 | 9.994 | 299 156.1 | 5 041 165.9 | 7.282 | 3.8146 |
| 40 | 298 293.2 | 5 040 313.0 | 18.491 | 9.686 | 297 840.4 | 5 040 754.9 | 7.117 | 3.7281 |
| 41 | 298 153.9 | 5 040 448.9 | 18.379 | 9.628 | 299 121.0 | 5 041 200.8 | 6.924 | 3.6272 |
| 42 | 298 328.0 | 5 040 279.0 | 17.877 | 9.365 | 299 015.4 | 5 041 305.3 | 6.834 | 3.5802 |
| 43 | 299 517.1 | 5 040 855.0 | 17.687 | 9.266 | 299 017.1 | 5 041 305.0 | 6.718 | 3.5191 |
| 44 | 298 119.0 | 5 040 482.9 | 17.686 | 9.265 | 299 085.8 | 5 041 235.6 | 6.538 | 3.4252 |
| 45 | 298 084.2 | 5 040 516.9 | 17.196 | 9.008 | 298 940.8 | 5 040 464.5 | 6.325 | 3.3134 |
| 46 | 298 049.4 | 5 040 550.9 | 16.802 | 8.802 | 299 350.5 | 5 040 855.0 | 6.302 | 3.3015 |
| 47 | 299 050.6 | 5 041 270.4 | 16.501 | 8.644 | 299 350.5 | 5 041 042.5 | 6.008 | 3.1473 |
| 48 | 299 350.5 | 5 041 230.0 | 16.453 | 8.619 | 298 079.6 | 5 040 438.5 | 5.952 | 3.1182 |
| 49 | 298 079.6 | 5 040 438.5 | 16.159 | 8.465 | 299 350.5 | 5 040 667.5 | 5.888 | 3.0843 |
| 50 | 299 017.1 | 5 040 438.5 | 16.118 | 8.444 | 298 188.7 | 5 040 415.0 | 5.881 | 3.0809 |

Scénario :
Existant (2020)

| Récepteur | Odeurs 99.5 centile | Odeurs 98e centile | SRT totaux | Hydrogen sulfide | | Dimethyl sulfide | | Ethyl mercaptan | |
|-----------------------------|------------------------|-----------------------|------------|------------------|-----------|------------------|-----------|-----------------|-----------|
| | 1 h | 1 h | Annuel | 4 min | Annuel | 4 min | Annuel | 4 min | Annuel |
| Récepteurs sensibles | | | | | | | | | |
| Résidence 1 | 8.759E-01 | 1.324E-01 | 1.819E-02 | 4.498E+01 | 1.789E-02 | 2.713E-01 | 2.443E-04 | 9.496E-03 | 8.551E-06 |
| Résidence 2 | 1.247E+00 | 2.429E-01 | 1.969E-02 | 4.140E+01 | 1.929E-02 | 2.492E-01 | 3.303E-04 | 8.724E-03 | 1.156E-05 |
| Résidence 3 | 1.784E+00 | 4.347E-01 | 9.219E-02 | 2.606E+01 | 9.097E-02 | 1.602E-01 | 9.972E-04 | 5.606E-03 | 3.490E-05 |
| Résidence 4 | 1.154E+00 | 2.331E-01 | 4.885E-02 | 2.085E+01 | 4.820E-02 | 1.265E-01 | 5.324E-04 | 4.429E-03 | 1.863E-05 |
| Résidence 5 | 9.349E-01 | 1.840E-01 | 8.545E-02 | 2.883E+01 | 8.456E-02 | 1.844E-01 | 7.277E-04 | 6.456E-03 | 2.547E-05 |
| Résidence 6 | 1.944E+00 | 1.281E-01 | 7.826E-02 | 3.590E+01 | 7.730E-02 | 3.298E-01 | 7.882E-04 | 1.154E-02 | 2.759E-05 |
| Résidence 7 | 4.049E-01 | 9.248E-03 | 3.902E-02 | 3.948E+01 | 3.857E-02 | 3.366E-01 | 3.681E-04 | 1.178E-02 | 1.288E-05 |
| Résidence 8 | 2.003E-01 | 7.638E-04 | 2.343E-02 | 4.741E+01 | 2.318E-02 | 2.990E-01 | 2.081E-04 | 1.046E-02 | 7.282E-06 |
| Résidence 9 | 1.021E-01 | 1.431E-04 | 1.048E-02 | 3.110E+01 | 1.036E-02 | 2.160E-01 | 1.049E-04 | 7.559E-03 | 3.670E-06 |
| Résidence 10 | 3.027E-01 | 3.099E-02 | 1.544E-02 | 2.488E+01 | 1.523E-02 | 2.617E-01 | 1.709E-04 | 9.161E-03 | 5.983E-06 |
| Résidence 11 | 3.863E-01 | 7.419E-02 | 2.267E-02 | 2.802E+01 | 2.237E-02 | 2.579E-01 | 2.458E-04 | 9.027E-03 | 8.604E-06 |
| Résidence 12 | 1.183E+00 | 1.677E-01 | 3.335E-02 | 3.092E+01 | 3.274E-02 | 3.233E-01 | 5.009E-04 | 1.132E-02 | 1.753E-05 |
| Résidence 13 | 4.250E+00 | 6.793E-01 | 5.334E-02 | 3.437E+01 | 5.227E-02 | 3.345E-01 | 8.768E-04 | 1.171E-02 | 3.069E-05 |
| Résidence 14 | 3.802E+00 | 7.288E-01 | 1.039E-01 | 6.190E+01 | 1.023E-01 | 3.742E-01 | 1.286E-03 | 1.310E-02 | 4.502E-05 |
| Résidence 15 | 1.236E+00 | 2.383E-01 | 8.676E-02 | 4.701E+01 | 8.575E-02 | 2.835E-01 | 8.248E-04 | 9.923E-03 | 2.887E-05 |
| Résidence 16 | 3.688E-01 | 1.436E-02 | 3.160E-02 | 3.763E+01 | 3.127E-02 | 2.348E-01 | 2.707E-04 | 8.217E-03 | 9.475E-06 |
| Résidence 17 | 1.242E-01 | 7.994E-05 | 1.593E-02 | 3.499E+01 | 1.576E-02 | 2.280E-01 | 1.416E-04 | 7.979E-03 | 4.957E-06 |
| École primaire | 8.195E-02 | 1.340E-02 | 6.369E-03 | 1.292E+01 | 6.296E-03 | 9.958E-02 | 5.949E-05 | 3.486E-03 | 2.082E-06 |
| 50 maximums observés | | | | | | | | | |
| 1 | 2.802E+01 | 1.545E+01 | 1.663E+00 | 3.556E+02 | 1.648E+00 | 2.503E+00 | 1.225E-02 | 8.759E-02 | 4.289E-04 |
| 2 | 2.772E+01 | 1.521E+01 | 1.612E+00 | 3.425E+02 | 1.597E+00 | 2.403E+00 | 1.199E-02 | 8.412E-02 | 4.196E-04 |
| 3 | 2.695E+01 | 1.454E+01 | 1.590E+00 | 3.337E+02 | 1.576E+00 | 2.358E+00 | 1.165E-02 | 8.253E-02 | 4.078E-04 |
| 4 | 2.680E+01 | 1.443E+01 | 1.537E+00 | 3.307E+02 | 1.524E+00 | 2.318E+00 | 1.126E-02 | 8.113E-02 | 3.942E-04 |
| 5 | 2.554E+01 | 1.312E+01 | 1.537E+00 | 3.256E+02 | 1.523E+00 | 2.154E+00 | 1.119E-02 | 7.538E-02 | 3.918E-04 |
| 6 | 2.479E+01 | 1.306E+01 | 1.494E+00 | 3.232E+02 | 1.480E+00 | 2.087E+00 | 1.104E-02 | 7.305E-02 | 3.866E-04 |
| 7 | 2.415E+01 | 1.214E+01 | 1.443E+00 | 3.224E+02 | 1.430E+00 | 1.976E+00 | 1.058E-02 | 6.916E-02 | 3.705E-04 |
| 8 | 2.290E+01 | 1.128E+01 | 1.395E+00 | 3.054E+02 | 1.382E+00 | 1.915E+00 | 1.053E-02 | 6.704E-02 | 3.686E-04 |
| 9 | 2.211E+01 | 1.044E+01 | 1.339E+00 | 2.940E+02 | 1.327E+00 | 1.904E+00 | 9.813E-03 | 6.666E-02 | 3.435E-04 |
| 10 | 2.161E+01 | 1.032E+01 | 1.264E+00 | 2.869E+02 | 1.252E+00 | 1.874E+00 | 9.702E-03 | 6.559E-02 | 3.396E-04 |
| 11 | 2.093E+01 | 9.324E+00 | 1.262E+00 | 2.813E+02 | 1.250E+00 | 1.848E+00 | 9.676E-03 | 6.468E-02 | 3.387E-04 |
| 12 | 1.956E+01 | 8.704E+00 | 1.260E+00 | 2.671E+02 | 1.248E+00 | 1.813E+00 | 9.665E-03 | 6.346E-02 | 3.383E-04 |
| 13 | 1.928E+01 | 8.567E+00 | 1.254E+00 | 2.669E+02 | 1.243E+00 | 1.734E+00 | 9.569E-03 | 6.069E-02 | 3.349E-04 |
| 14 | 1.886E+01 | 8.557E+00 | 1.250E+00 | 2.490E+02 | 1.238E+00 | 1.524E+00 | 9.507E-03 | 5.335E-02 | 3.328E-04 |
| 15 | 1.845E+01 | 7.941E+00 | 1.246E+00 | 2.458E+02 | 1.234E+00 | 1.480E+00 | 9.480E-03 | 5.179E-02 | 3.318E-04 |
| 16 | 1.787E+01 | 7.295E+00 | 1.232E+00 | 2.283E+02 | 1.221E+00 | 1.402E+00 | 9.419E-03 | 4.906E-02 | 3.297E-04 |
| 17 | 1.721E+01 | 7.191E+00 | 1.198E+00 | 2.255E+02 | 1.186E+00 | 1.401E+00 | 9.407E-03 | 4.904E-02 | 3.292E-04 |
| 18 | 1.661E+01 | 7.118E+00 | 1.177E+00 | 2.250E+02 | 1.165E+00 | 1.375E+00 | 9.393E-03 | 4.811E-02 | 3.288E-04 |
| 19 | 1.605E+01 | 6.747E+00 | 1.174E+00 | 2.239E+02 | 1.162E+00 | 1.362E+00 | 9.365E-03 | 4.765E-02 | 3.278E-04 |
| 20 | 1.548E+01 | 5.870E+00 | 1.172E+00 | 2.212E+02 | 1.161E+00 | 1.358E+00 | 9.364E-03 | 4.751E-02 | 3.278E-04 |
| 21 | 1.528E+01 | 5.817E+00 | 1.164E+00 | 2.181E+02 | 1.153E+00 | 1.355E+00 | 9.265E-03 | 4.741E-02 | 3.243E-04 |
| 22 | 1.525E+01 | 5.518E+00 | 1.120E+00 | 2.174E+02 | 1.109E+00 | 1.348E+00 | 9.171E-03 | 4.718E-02 | 3.210E-04 |
| 23 | 1.444E+01 | 5.431E+00 | 1.113E+00 | 2.173E+02 | 1.102E+00 | 1.332E+00 | 9.091E-03 | 4.661E-02 | 3.182E-04 |
| 24 | 1.319E+01 | 5.418E+00 | 1.077E+00 | 2.165E+02 | 1.066E+00 | 1.313E+00 | 8.922E-03 | 4.595E-02 | 3.123E-04 |
| 25 | 1.306E+01 | 5.331E+00 | 1.071E+00 | 2.146E+02 | 1.060E+00 | 1.309E+00 | 8.805E-03 | 4.581E-02 | 3.082E-04 |
| 26 | 1.236E+01 | 5.212E+00 | 1.054E+00 | 2.134E+02 | 1.044E+00 | 1.309E+00 | 8.746E-03 | 4.581E-02 | 3.061E-04 |
| 27 | 1.186E+01 | 5.134E+00 | 1.036E+00 | 2.123E+02 | 1.026E+00 | 1.308E+00 | 8.579E-03 | 4.579E-02 | 3.003E-04 |
| 28 | 1.130E+01 | 5.064E+00 | 1.013E+00 | 2.090E+02 | 1.003E+00 | 1.304E+00 | 8.498E-03 | 4.563E-02 | 2.974E-04 |
| 29 | 1.129E+01 | 5.002E+00 | 1.010E+00 | 2.065E+02 | 9.994E-01 | 1.292E+00 | 8.464E-03 | 4.521E-02 | 2.962E-04 |
| 30 | 1.126E+01 | 4.998E+00 | 9.898E-01 | 2.058E+02 | 9.796E-01 | 1.285E+00 | 8.412E-03 | 4.497E-02 | 2.944E-04 |
| 31 | 1.100E+01 | 4.756E+00 | 9.647E-01 | 2.038E+02 | 9.545E-01 | 1.279E+00 | 8.343E-03 | 4.478E-02 | 2.920E-04 |
| 32 | 1.091E+01 | 4.672E+00 | 9.640E-01 | 2.002E+02 | 9.539E-01 | 1.278E+00 | 8.291E-03 | 4.473E-02 | 2.902E-04 |
| 33 | 1.061E+01 | 4.634E+00 | 9.579E-01 | 1.999E+02 | 9.478E-01 | 1.244E+00 | 8.265E-03 | 4.354E-02 | 2.893E-04 |
| 34 | 1.056E+01 | 4.450E+00 | 9.351E-01 | 1.994E+02 | 9.251E-01 | 1.239E+00 | 8.140E-03 | 4.336E-02 | 2.849E-04 |
| 35 | 1.027E+01 | 4.312E+00 | 8.906E-01 | 1.977E+02 | 8.807E-01 | 1.227E+00 | 8.057E-03 | 4.295E-02 | 2.820E-04 |
| 36 | 1.020E+01 | 4.280E+00 | 8.867E-01 | 1.915E+02 | 8.769E-01 | 1.219E+00 | 8.044E-03 | 4.268E-02 | 2.816E-04 |
| 37 | 1.013E+01 | 3.985E+00 | 8.793E-01 | 1.911E+02 | 8.695E-01 | 1.203E+00 | 8.039E-03 | 4.211E-02 | 2.814E-04 |
| 38 | 1.012E+01 | 3.855E+00 | 8.629E-01 | 1.901E+02 | 8.531E-01 | 1.200E+00 | 8.029E-03 | 4.201E-02 | 2.810E-04 |
| 39 | 9.994E+00 | 3.815E+00 | 8.457E-01 | 1.897E+02 | 8.360E-01 | 1.190E+00 | 7.979E-03 | 4.164E-02 | 2.793E-04 |
| 40 | 9.686E+00 | 3.728E+00 | 8.324E-01 | 1.895E+02 | 8.227E-01 | 1.165E+00 | 7.957E-03 | 4.078E-02 | 2.785E-04 |
| 41 | 9.628E+00 | 3.627E+00 | 8.111E-01 | 1.882E+02 | 8.015E-01 | 1.145E+00 | 7.916E-03 | 4.006E-02 | 2.771E-04 |
| 42 | 9.365E+00 | 3.580E+00 | 7.708E-01 | 1.827E+02 | 7.612E-01 | 1.141E+00 | 7.788E-03 | 3.993E-02 | 2.726E-04 |
| 43 | 9.266E+00 | 3.519E+00 | 7.507E-01 | 1.802E+02 | 7.412E-01 | 1.133E+00 | 7.714E-03 | 3.965E-02 | 2.700E-04 |
| 44 | 9.265E+00 | 3.425E+00 | 7.492E-01 | 1.785E+02 | 7.398E-01 | 1.125E+00 | 7.649E-03 | 3.939E-02 | 2.677E-04 |
| 45 | 9.008E+00 | 3.313E+00 | 7.339E-01 | 1.773E+02 | 7.247E-01 | 1.122E+00 | 7.482E-03 | 3.926E-02 | 2.619E-04 |
| 46 | 8.802E+00 | 3.301E+00 | 7.310E-01 | 1.759E+02 | 7.219E-01 | 1.099E+00 | 7.461E-03 | 3.845E-02 | 2.611E-04 |
| 47 | 8.644E+00 | 3.147E+00 | 7.289E-01 | 1.746E+02 | 7.198E-01 | 1.096E+00 | 7.447E-03 | 3.837E-02 | 2.607E-04 |
| 48 | 8.619E+00 | 3.118E+00 | 7.272E-01 | 1.738E+02 | 7.183E-01 | 1.085E+00 | 7.331E-03 | 3.796E-02 | 2.566E-04 |
| 49 | 8.465E+00 | 3.084E+00 | 7.234E-01 | 1.733E+02 | 7.144E-01 | 1.079E+00 | 7.288E-03 | 3.776E-02 | 2.551E-04 |
| 50 | 8.444E+00 | 3.081E+00 | 7.138E-01 | 1.679E+02 | 7.049E-01 | 1.078E+00 | 7.235E-03 | 3.772E-02 | 2.532E-04 |

Scénario :
Existant (2020)

| Récepteur | Methyl mercaptan | | 1,1,1-Trichloroethane (methyl chloroform) | 1,1,2,2-Tetrachloroethane | 1,1-Dichloroethane (ethyldene dichloride) | | 1,1-Dichloroethane (vinylidene chloride) | 1-2 Dichloroethane (ethylene dichloride) | 1,2-Dichloropropene (propylene dichloride) | 2-Propanol |
|-----------------------------|------------------|-----------|---|---------------------------|---|-----------|--|--|--|------------|
| | 4 min | Annuel | 1 h | Annuel | 1 h | Annuel | Annuel | Annuel | Annuel | 4 min |
| Récepteurs sensibles | | | | | | | | | | |
| Résidence 1 | 5.086E-02 | 4.580E-05 | 2.361E+01 | 1.294E-04 | 1.421E-01 | 1.430E-04 | 1.078E-05 | 1.093E-05 | 1.413E-05 | 8.348E-02 |
| Résidence 2 | 4.672E-02 | 6.191E-05 | 2.169E+01 | 1.750E-04 | 1.306E-01 | 1.933E-04 | 1.457E-05 | 1.478E-05 | 1.910E-05 | 7.669E-02 |
| Résidence 3 | 3.002E-02 | 1.869E-04 | 1.394E+01 | 5.283E-04 | 8.390E-02 | 5.838E-04 | 4.399E-05 | 4.462E-05 | 5.766E-05 | 4.928E-02 |
| Résidence 4 | 2.372E-02 | 9.981E-05 | 1.101E+01 | 2.821E-04 | 6.628E-02 | 3.117E-04 | 2.349E-05 | 2.382E-05 | 3.079E-05 | 3.893E-02 |
| Résidence 5 | 3.457E-02 | 1.364E-04 | 1.605E+01 | 3.855E-04 | 9.662E-02 | 4.260E-04 | 3.210E-05 | 3.256E-05 | 4.208E-05 | 5.675E-02 |
| Résidence 6 | 6.182E-02 | 1.478E-04 | 2.870E+01 | 4.176E-04 | 1.727E-01 | 4.614E-04 | 3.477E-05 | 3.527E-05 | 4.558E-05 | 1.015E-01 |
| Résidence 7 | 6.309E-02 | 6.900E-05 | 2.929E+01 | 1.950E-04 | 1.763E-01 | 2.155E-04 | 1.624E-05 | 1.647E-05 | 2.128E-05 | 1.036E-01 |
| Résidence 8 | 5.605E-02 | 3.900E-05 | 2.602E+01 | 1.102E-04 | 1.566E-01 | 1.218E-04 | 9.179E-06 | 9.309E-06 | 1.203E-05 | 9.200E-02 |
| Résidence 9 | 4.049E-02 | 1.966E-05 | 1.879E+01 | 5.556E-05 | 1.131E-01 | 6.139E-05 | 4.626E-06 | 4.692E-06 | 6.064E-06 | 6.646E-02 |
| Résidence 10 | 4.906E-02 | 3.205E-05 | 2.278E+01 | 9.057E-05 | 1.371E-01 | 1.001E-04 | 7.542E-06 | 7.649E-06 | 9.885E-06 | 8.053E-02 |
| Résidence 11 | 4.835E-02 | 4.608E-05 | 2.244E+01 | 1.302E-04 | 1.351E-01 | 1.439E-04 | 1.084E-05 | 1.100E-05 | 1.421E-05 | 7.936E-02 |
| Résidence 12 | 6.061E-02 | 9.391E-05 | 2.813E+01 | 2.654E-04 | 1.694E-01 | 2.933E-04 | 2.210E-05 | 2.241E-05 | 2.897E-05 | 9.948E-02 |
| Résidence 13 | 6.271E-02 | 1.644E-04 | 2.911E+01 | 4.645E-04 | 1.752E-01 | 5.133E-04 | 3.868E-05 | 3.923E-05 | 5.070E-05 | 1.029E-01 |
| Résidence 14 | 7.015E-02 | 2.411E-04 | 3.257E+01 | 6.814E-04 | 1.960E-01 | 7.530E-04 | 5.674E-05 | 5.755E-05 | 7.437E-05 | 1.151E-01 |
| Résidence 15 | 5.315E-02 | 1.546E-04 | 2.467E+01 | 4.370E-04 | 1.485E-01 | 4.828E-04 | 3.639E-05 | 3.690E-05 | 4.769E-05 | 8.724E-02 |
| Résidence 16 | 4.401E-02 | 5.075E-05 | 2.043E+01 | 1.434E-04 | 1.230E-01 | 1.585E-04 | 1.194E-05 | 1.211E-05 | 1.565E-05 | 7.224E-02 |
| Résidence 17 | 4.274E-02 | 2.655E-05 | 1.984E+01 | 7.504E-05 | 1.194E-01 | 8.291E-05 | 6.248E-06 | 6.337E-06 | 8.190E-06 | 7.015E-02 |
| École primaire | 1.867E-02 | 1.115E-05 | 8.666E+00 | 3.152E-05 | 5.217E-02 | 3.483E-05 | 2.625E-06 | 2.662E-06 | 3.440E-06 | 3.064E-02 |
| 50 maximums observés | | | | | | | | | | |
| 1 | 4.691E-01 | 2.297E-03 | 2.178E+02 | 6.492E-03 | 1.311E+00 | 7.173E-03 | 5.406E-04 | 5.482E-04 | 7.085E-04 | 7.700E-01 |
| 2 | 4.505E-01 | 2.247E-03 | 2.091E+02 | 6.352E-03 | 1.259E+00 | 7.019E-03 | 5.289E-04 | 5.364E-04 | 6.933E-04 | 7.395E-01 |
| 3 | 4.420E-01 | 2.184E-03 | 2.052E+02 | 6.173E-03 | 1.235E+00 | 6.820E-03 | 5.140E-04 | 5.213E-04 | 6.737E-04 | 7.255E-01 |
| 4 | 4.345E-01 | 2.111E-03 | 2.017E+02 | 5.967E-03 | 1.214E+00 | 6.593E-03 | 4.969E-04 | 5.039E-04 | 6.513E-04 | 7.132E-01 |
| 5 | 4.037E-01 | 2.098E-03 | 1.874E+02 | 5.930E-03 | 1.128E+00 | 6.553E-03 | 4.938E-04 | 5.008E-04 | 6.472E-04 | 6.627E-01 |
| 6 | 3.913E-01 | 2.070E-03 | 1.816E+02 | 5.851E-03 | 1.093E+00 | 6.465E-03 | 4.872E-04 | 4.941E-04 | 6.386E-04 | 6.422E-01 |
| 7 | 3.704E-01 | 1.984E-03 | 1.719E+02 | 5.608E-03 | 1.035E+00 | 6.196E-03 | 4.670E-04 | 4.736E-04 | 6.120E-04 | 6.080E-01 |
| 8 | 3.590E-01 | 1.974E-03 | 1.667E+02 | 5.579E-03 | 1.003E+00 | 6.164E-03 | 4.645E-04 | 4.711E-04 | 6.089E-04 | 5.893E-01 |
| 9 | 3.570E-01 | 1.840E-03 | 1.657E+02 | 5.199E-03 | 9.976E-01 | 5.745E-03 | 4.329E-04 | 4.391E-04 | 5.675E-04 | 5.860E-01 |
| 10 | 3.513E-01 | 1.819E-03 | 1.631E+02 | 5.140E-03 | 9.817E-01 | 5.679E-03 | 4.280E-04 | 4.341E-04 | 5.610E-04 | 5.767E-01 |
| 11 | 3.464E-01 | 1.814E-03 | 1.608E+02 | 5.127E-03 | 9.680E-01 | 5.665E-03 | 4.269E-04 | 4.330E-04 | 5.595E-04 | 5.686E-01 |
| 12 | 3.399E-01 | 1.812E-03 | 1.578E+02 | 5.120E-03 | 9.498E-01 | 5.658E-03 | 4.264E-04 | 4.324E-04 | 5.588E-04 | 5.579E-01 |
| 13 | 3.251E-01 | 1.794E-03 | 1.509E+02 | 5.070E-03 | 9.083E-01 | 5.602E-03 | 4.222E-04 | 4.282E-04 | 5.534E-04 | 5.335E-01 |
| 14 | 2.857E-01 | 1.782E-03 | 1.326E+02 | 5.037E-03 | 7.985E-01 | 5.566E-03 | 4.194E-04 | 4.254E-04 | 5.497E-04 | 4.690E-01 |
| 15 | 2.774E-01 | 1.777E-03 | 1.288E+02 | 5.022E-03 | 7.751E-01 | 5.549E-03 | 4.182E-04 | 4.241E-04 | 5.482E-04 | 4.553E-01 |
| 16 | 2.627E-01 | 1.766E-03 | 1.220E+02 | 4.990E-03 | 7.342E-01 | 5.514E-03 | 4.155E-04 | 4.214E-04 | 5.447E-04 | 4.313E-01 |
| 17 | 2.627E-01 | 1.763E-03 | 1.219E+02 | 4.984E-03 | 7.340E-01 | 5.507E-03 | 4.150E-04 | 4.209E-04 | 5.439E-04 | 4.312E-01 |
| 18 | 2.577E-01 | 1.761E-03 | 1.196E+02 | 4.977E-03 | 7.201E-01 | 5.499E-03 | 4.144E-04 | 4.203E-04 | 5.432E-04 | 4.230E-01 |
| 19 | 2.552E-01 | 1.755E-03 | 1.185E+02 | 4.962E-03 | 7.132E-01 | 5.482E-03 | 4.131E-04 | 4.190E-04 | 5.415E-04 | 4.189E-01 |
| 20 | 2.545E-01 | 1.755E-03 | 1.181E+02 | 4.961E-03 | 7.111E-01 | 5.482E-03 | 4.131E-04 | 4.190E-04 | 5.415E-04 | 4.177E-01 |
| 21 | 2.539E-01 | 1.737E-03 | 1.179E+02 | 4.909E-03 | 7.096E-01 | 5.424E-03 | 4.087E-04 | 4.145E-04 | 5.357E-04 | 4.168E-01 |
| 22 | 2.527E-01 | 1.719E-03 | 1.173E+02 | 4.859E-03 | 7.062E-01 | 5.369E-03 | 4.046E-04 | 4.103E-04 | 5.303E-04 | 4.148E-01 |
| 23 | 2.496E-01 | 1.704E-03 | 1.159E+02 | 4.816E-03 | 6.975E-01 | 5.322E-03 | 4.010E-04 | 4.067E-04 | 5.257E-04 | 4.097E-01 |
| 24 | 2.461E-01 | 1.673E-03 | 1.142E+02 | 4.727E-03 | 6.877E-01 | 5.223E-03 | 3.936E-04 | 3.992E-04 | 5.159E-04 | 4.040E-01 |
| 25 | 2.454E-01 | 1.651E-03 | 1.139E+02 | 4.665E-03 | 6.857E-01 | 5.154E-03 | 3.884E-04 | 3.939E-04 | 5.091E-04 | 4.028E-01 |
| 26 | 2.454E-01 | 1.640E-03 | 1.139E+02 | 4.634E-03 | 6.856E-01 | 5.120E-03 | 3.858E-04 | 3.913E-04 | 5.057E-04 | 4.027E-01 |
| 27 | 2.453E-01 | 1.608E-03 | 1.139E+02 | 4.545E-03 | 6.854E-01 | 5.022E-03 | 3.785E-04 | 3.838E-04 | 4.961E-04 | 4.026E-01 |
| 28 | 2.444E-01 | 1.593E-03 | 1.134E+02 | 4.503E-03 | 6.829E-01 | 4.975E-03 | 3.749E-04 | 3.802E-04 | 4.914E-04 | 4.011E-01 |
| 29 | 2.421E-01 | 1.587E-03 | 1.124E+02 | 4.484E-03 | 6.767E-01 | 4.955E-03 | 3.734E-04 | 3.787E-04 | 4.894E-04 | 3.975E-01 |
| 30 | 2.408E-01 | 1.577E-03 | 1.118E+02 | 4.457E-03 | 6.730E-01 | 4.924E-03 | 3.711E-04 | 3.764E-04 | 4.864E-04 | 3.953E-01 |
| 31 | 2.398E-01 | 1.564E-03 | 1.113E+02 | 4.421E-03 | 6.702E-01 | 4.884E-03 | 3.681E-04 | 3.733E-04 | 4.825E-04 | 3.937E-01 |
| 32 | 2.396E-01 | 1.554E-03 | 1.112E+02 | 4.393E-03 | 6.695E-01 | 4.854E-03 | 3.658E-04 | 3.710E-04 | 4.794E-04 | 3.932E-01 |
| 33 | 2.332E-01 | 1.549E-03 | 1.082E+02 | 4.379E-03 | 6.516E-01 | 4.838E-03 | 3.646E-04 | 3.698E-04 | 4.779E-04 | 3.827E-01 |
| 34 | 2.322E-01 | 1.526E-03 | 1.078E+02 | 4.313E-03 | 6.489E-01 | 4.765E-03 | 3.591E-04 | 3.642E-04 | 4.707E-04 | 3.812E-01 |
| 35 | 2.300E-01 | 1.510E-03 | 1.068E+02 | 4.269E-03 | 6.428E-01 | 4.717E-03 | 3.554E-04 | 3.605E-04 | 4.659E-04 | 3.776E-01 |
| 36 | 2.286E-01 | 1.508E-03 | 1.061E+02 | 4.226E-03 | 6.388E-01 | 4.709E-03 | 3.549E-04 | 3.599E-04 | 4.652E-04 | 3.752E-01 |
| 37 | 2.255E-01 | 1.507E-03 | 1.047E+02 | 4.259E-03 | 6.302E-01 | 4.706E-03 | 3.546E-04 | 3.597E-04 | 4.648E-04 | 3.702E-01 |
| 38 | 2.250E-01 | 1.505E-03 | 1.045E+02 | 4.254E-03 | 6.288E-01 | 4.700E-03 | 3.542E-04 | 3.592E-04 | 4.643E-04 | 3.694E-01 |
| 39 | 2.230E-01 | 1.496E-03 | 1.035E+02 | 4.228E-03 | 6.233E-01 | 4.671E-03 | 3.520E-04 | 3.570E-04 | 4.614E-04 | 3.661E-01 |
| 40 | 2.184E-01 | 1.492E-03 | 1.014E+02 | 4.216E-03 | 6.103E-01 | 4.658E-03 | 3.510E-04 | 3.560E-04 | 4.601E-04 | 3.585E-01 |
| 41 | 2.145E-01 | 1.484E-03 | 9.960E+01 | 4.194E-03 | 5.995E-01 | 4.634E-03 | 3.492E-04 | 3.542E-04 | 4.578E-04 | 3.522E-01 |
| 42 | 2.139E-01 | 1.460E-03 | 9.927E+01 | 4.126E-03 | 5.976E-01 | 4.559E-03 | 3.436E-04 | 3.485E-04 | 4.503E-04 | 3.510E-01 |
| 43 | 2.124E-01 | 1.446E-03 | 9.858E+01 | 4.087E-03 | 5.934E-01 | 4.516E-03 | 3.403E-04 | 3.451E-04 | 4.460E-04 | 3.486E-01 |
| 44 | 2.110E-01 | 1.434E-03 | 9.793E+01 | 4.053E-03 | 5.895E-01 | 4.478E-03 | 3.375E-04 | 3.422E-04 | 4.423E-04 | 3.463E-01 |
| 45 | 2.103E-01 | 1.403E-03 | 9.761E+01 | 3.964E-03 | 5.876E-01 | 4.380E-03 | 3.301E-04 | 3.348E-04 | 4.327E-04 | 3.451E-01 |
| 46 | 2.059E-01 | 1.399E-03 | 9.560E+01 | 3.953E-03 | 5.755E-01 | 4.368E-03 | 3.291E-04 | 3.338E-04 | 4.314E-04 | 3.380E-01 |
| 47 | 2.055E-01 | 1.396E-03 | 9.539E+01 | 3.946E-03 | 5.742E-01 | 4.360E-03 | 3.286E-04 | 3.332E-04 | 4.306E-04 | 3.373E-01 |
| 48 | 2.033E-01 | 1.374E-03 | 9.439E+01 | 3.884E-03 | 5.682E-01 | 4.292E-03 | 3.234E-04 | 3.280E-04 | 4.239E-04 | 3.337E-01 |
| 49 | 2.022E-01 | 1.366E-03 | 9.387E+01 | 3.861E-03 | 5.651E-01 | 4.267E-03 | 3.215E-04 | 3.261E-04 | 4.214E-04 | 3.319E-01 |
| 50 | 2.020E-01 | 1.356E-03 | 9.377E+01 | 3.833E-03 | 5.645E-01 | 4.235E-03 | 3.192E-04 | 3.237E-04 | 4.184E-04 | 3.316E-01 |

Scénario :
Existant (2020)

| Récepteur | Acétone | | Acrylonitrile | Benzène | Bromodichlorométhane | Carbon disulfide | Carbon tetrachloride | Carbonyl sulfide | | Chlorobenzene | Chloroethane (ethyl chloride) | |
|----------------------|-----------|-----------|---------------|-----------|----------------------|------------------|----------------------|------------------|-----------|---------------|-------------------------------|-----------|
| | 4 min | Annuel | Annuel | 24 h | Annuel | 4 min | Annuel | 4 min | Annuel | Annuel | 4 min | Annuel |
| Récepteurs sensibles | | | | | | | | | | | | |
| Résidence 1 | 3.141E-01 | 2.829E-04 | 2.334E-04 | 7.542E-03 | 3.563E-04 | 8.628E-03 | 8.500E-07 | 5.645E-03 | 5.083E-06 | 3.784E-05 | 1.966E-01 | 1.771E-04 |
| Résidence 2 | 2.886E-01 | 3.824E-04 | 3.154E-04 | 6.954E-03 | 4.816E-04 | 7.926E-03 | 1.149E-06 | 5.186E-03 | 6.871E-06 | 5.116E-05 | 1.806E-01 | 2.394E-04 |
| Résidence 3 | 1.854E-01 | 1.154E-03 | 9.524E-04 | 1.118E-02 | 1.454E-03 | 5.093E-03 | 3.469E-06 | 3.332E-03 | 2.075E-05 | 1.545E-04 | 1.161E-01 | 7.227E-04 |
| Résidence 4 | 1.465E-01 | 6.164E-04 | 5.085E-04 | 8.348E-03 | 7.764E-04 | 4.024E-03 | 1.852E-06 | 2.632E-03 | 1.108E-05 | 8.247E-05 | 9.170E-02 | 3.858E-04 |
| Résidence 5 | 2.135E-01 | 8.425E-04 | 6.950E-04 | 1.167E-02 | 1.061E-03 | 5.865E-03 | 2.532E-06 | 3.837E-03 | 1.514E-05 | 1.127E-04 | 1.337E-01 | 5.274E-04 |
| Résidence 6 | 3.818E-01 | 9.125E-04 | 7.528E-04 | 1.032E-02 | 1.149E-03 | 1.049E-02 | 2.742E-06 | 6.861E-03 | 1.640E-05 | 1.221E-04 | 2.390E-01 | 5.712E-04 |
| Résidence 7 | 3.896E-01 | 4.261E-04 | 3.516E-04 | 1.787E-02 | 5.367E-04 | 1.070E-02 | 1.281E-06 | 7.002E-03 | 7.658E-06 | 5.701E-05 | 2.439E-01 | 2.668E-04 |
| Résidence 8 | 3.462E-01 | 2.409E-04 | 1.987E-04 | 9.634E-03 | 3.034E-04 | 9.508E-03 | 7.239E-07 | 6.221E-03 | 4.329E-06 | 3.223E-05 | 2.167E-01 | 1.508E-04 |
| Résidence 9 | 2.500E-01 | 1.214E-04 | 1.002E-04 | 5.190E-03 | 1.529E-04 | 6.868E-03 | 3.648E-07 | 4.494E-03 | 2.182E-06 | 1.624E-05 | 1.565E-01 | 7.600E-05 |
| Résidence 10 | 3.030E-01 | 1.979E-04 | 1.633E-04 | 1.207E-02 | 2.493E-04 | 8.323E-03 | 5.948E-07 | 5.445E-03 | 3.557E-06 | 2.648E-05 | 1.897E-01 | 1.239E-04 |
| Résidence 11 | 2.986E-01 | 2.846E-04 | 2.348E-04 | 7.169E-03 | 3.585E-04 | 8.201E-03 | 8.553E-07 | 5.366E-03 | 5.115E-06 | 3.808E-05 | 1.869E-01 | 1.782E-04 |
| Résidence 12 | 3.743E-01 | 5.800E-04 | 4.785E-04 | 1.204E-02 | 7.305E-04 | 1.028E-02 | 1.743E-06 | 6.727E-03 | 1.042E-05 | 7.759E-05 | 2.343E-01 | 3.630E-04 |
| Résidence 13 | 3.873E-01 | 1.015E-03 | 8.374E-04 | 1.320E-02 | 1.279E-03 | 1.064E-02 | 3.050E-06 | 6.960E-03 | 1.824E-05 | 1.358E-04 | 2.424E-01 | 6.354E-04 |
| Résidence 14 | 4.333E-01 | 1.489E-03 | 1.228E-03 | 2.063E-02 | 1.876E-03 | 1.190E-02 | 4.475E-06 | 7.786E-03 | 2.676E-05 | 1.992E-04 | 2.712E-01 | 9.321E-04 |
| Résidence 15 | 3.282E-01 | 9.549E-04 | 7.878E-04 | 1.230E-02 | 1.203E-03 | 9.016E-03 | 2.870E-06 | 5.899E-03 | 1.716E-05 | 1.278E-04 | 2.055E-01 | 5.977E-04 |
| Résidence 16 | 2.718E-01 | 3.134E-04 | 2.586E-04 | 8.337E-03 | 3.948E-04 | 7.465E-03 | 9.419E-07 | 4.884E-03 | 5.632E-06 | 4.193E-05 | 1.701E-01 | 1.962E-04 |
| Résidence 17 | 2.639E-01 | 1.640E-04 | 1.353E-04 | 6.354E-03 | 2.065E-04 | 7.250E-03 | 4.928E-07 | 4.743E-03 | 2.947E-06 | 2.194E-05 | 1.652E-01 | 1.026E-04 |
| École primaire | 1.153E-01 | 6.888E-05 | 5.682E-05 | 2.769E-03 | 8.675E-05 | 3.167E-03 | 2.070E-07 | 2.072E-03 | 1.238E-06 | 9.215E-06 | 7.217E-02 | 4.312E-05 |
| 50 maximums observés | | | | | | | | | | | | |
| 1 | 2.897E+00 | 1.419E-02 | 1.170E-02 | 1.347E-01 | 1.787E-02 | 7.958E-02 | 4.263E-05 | 5.207E-02 | 2.549E-04 | 1.898E-03 | 1.814E+00 | 8.880E-03 |
| 2 | 2.782E+00 | 1.388E-02 | 1.145E-02 | 1.335E-01 | 1.748E-02 | 7.643E-02 | 4.171E-05 | 5.000E-02 | 2.494E-04 | 1.857E-03 | 1.742E+00 | 8.689E-03 |
| 3 | 2.730E+00 | 1.349E-02 | 1.113E-02 | 1.284E-01 | 1.699E-02 | 7.498E-02 | 4.054E-05 | 4.906E-02 | 2.424E-04 | 1.805E-03 | 1.709E+00 | 8.443E-03 |
| 4 | 2.683E+00 | 1.304E-02 | 1.076E-02 | 1.178E-01 | 1.642E-02 | 7.371E-02 | 3.919E-05 | 4.822E-02 | 2.343E-04 | 1.745E-03 | 1.680E+00 | 8.162E-03 |
| 5 | 2.493E+00 | 1.296E-02 | 1.069E-02 | 1.128E-01 | 1.632E-02 | 6.848E-02 | 3.894E-05 | 4.481E-02 | 2.329E-04 | 1.734E-03 | 1.561E+00 | 8.112E-03 |
| 6 | 2.416E+00 | 1.279E-02 | 1.055E-02 | 1.117E-01 | 1.610E-02 | 6.637E-02 | 3.843E-05 | 4.342E-02 | 2.298E-04 | 1.711E-03 | 1.513E+00 | 8.004E-03 |
| 7 | 2.288E+00 | 1.225E-02 | 1.011E-02 | 1.093E-01 | 1.543E-02 | 6.283E-02 | 3.683E-05 | 4.111E-02 | 2.202E-04 | 1.639E-03 | 1.432E+00 | 7.671E-03 |
| 8 | 2.217E+00 | 1.219E-02 | 1.006E-02 | 1.085E-01 | 1.535E-02 | 6.091E-02 | 3.664E-05 | 3.985E-02 | 2.191E-04 | 1.631E-03 | 1.388E+00 | 7.631E-03 |
| 9 | 2.205E+00 | 1.136E-02 | 9.373E-03 | 1.078E-01 | 1.431E-02 | 6.056E-02 | 3.414E-05 | 3.962E-02 | 2.042E-04 | 1.520E-03 | 1.380E+00 | 7.112E-03 |
| 10 | 2.170E+00 | 1.123E-02 | 9.266E-03 | 1.077E-01 | 1.415E-02 | 5.960E-02 | 3.375E-05 | 3.899E-02 | 2.018E-04 | 1.503E-03 | 1.358E+00 | 7.031E-03 |
| 11 | 2.139E+00 | 1.120E-02 | 9.242E-03 | 1.056E-01 | 1.411E-02 | 5.876E-02 | 3.367E-05 | 3.845E-02 | 2.013E-04 | 1.499E-03 | 1.339E+00 | 7.013E-03 |
| 12 | 2.099E+00 | 1.119E-02 | 9.231E-03 | 9.996E-02 | 1.409E-02 | 5.766E-02 | 3.363E-05 | 3.772E-02 | 2.011E-04 | 1.497E-03 | 1.314E+00 | 7.004E-03 |
| 13 | 2.007E+00 | 1.108E-02 | 9.140E-03 | 9.757E-02 | 1.395E-02 | 5.514E-02 | 3.329E-05 | 3.608E-02 | 1.991E-04 | 1.482E-03 | 1.257E+00 | 6.935E-03 |
| 14 | 1.765E+00 | 1.101E-02 | 9.080E-03 | 9.685E-02 | 1.386E-02 | 4.847E-02 | 3.308E-05 | 3.171E-02 | 1.978E-04 | 1.473E-03 | 1.105E+00 | 6.890E-03 |
| 15 | 1.713E+00 | 1.097E-02 | 9.054E-03 | 9.632E-02 | 1.382E-02 | 4.705E-02 | 3.298E-05 | 3.078E-02 | 1.972E-04 | 1.468E-03 | 1.072E+00 | 6.870E-03 |
| 16 | 1.623E+00 | 1.091E-02 | 8.997E-03 | 9.588E-02 | 1.374E-02 | 4.457E-02 | 3.277E-05 | 2.916E-02 | 1.960E-04 | 1.459E-03 | 1.016E+00 | 6.826E-03 |
| 17 | 1.622E+00 | 1.089E-02 | 8.984E-03 | 9.436E-02 | 1.372E-02 | 4.456E-02 | 3.273E-05 | 2.915E-02 | 1.957E-04 | 1.457E-03 | 1.015E+00 | 6.817E-03 |
| 18 | 1.591E+00 | 1.087E-02 | 8.972E-03 | 9.320E-02 | 1.370E-02 | 4.371E-02 | 3.268E-05 | 2.860E-02 | 1.954E-04 | 1.455E-03 | 9.962E-01 | 6.807E-03 |
| 19 | 1.576E+00 | 1.084E-02 | 8.944E-03 | 9.258E-02 | 1.366E-02 | 4.330E-02 | 3.258E-05 | 2.833E-02 | 1.948E-04 | 1.451E-03 | 9.867E-01 | 6.787E-03 |
| 20 | 1.572E+00 | 1.084E-02 | 8.944E-03 | 8.889E-02 | 1.365E-02 | 4.317E-02 | 3.258E-05 | 2.824E-02 | 1.948E-04 | 1.450E-03 | 9.838E-01 | 6.786E-03 |
| 21 | 1.568E+00 | 1.073E-02 | 8.849E-03 | 8.822E-02 | 1.351E-02 | 4.307E-02 | 3.223E-05 | 2.818E-02 | 1.928E-04 | 1.435E-03 | 9.817E-01 | 6.714E-03 |
| 22 | 1.561E+00 | 1.062E-02 | 8.760E-03 | 8.815E-02 | 1.337E-02 | 4.287E-02 | 3.191E-05 | 2.805E-02 | 1.908E-04 | 1.421E-03 | 9.770E-01 | 6.647E-03 |
| 23 | 1.542E+00 | 1.052E-02 | 8.683E-03 | 8.772E-02 | 1.326E-02 | 4.234E-02 | 3.163E-05 | 2.770E-02 | 1.891E-04 | 1.408E-03 | 9.650E-01 | 6.588E-03 |
| 24 | 1.520E+00 | 1.033E-02 | 8.522E-03 | 8.752E-02 | 1.301E-02 | 4.175E-02 | 3.104E-05 | 2.732E-02 | 1.856E-04 | 1.382E-03 | 9.515E-01 | 6.466E-03 |
| 25 | 1.515E+00 | 1.019E-02 | 8.410E-03 | 8.592E-02 | 1.284E-02 | 4.162E-02 | 3.063E-05 | 2.723E-02 | 1.832E-04 | 1.364E-03 | 9.486E-01 | 6.381E-03 |
| 26 | 1.515E+00 | 1.013E-02 | 8.354E-03 | 8.488E-02 | 1.275E-02 | 4.162E-02 | 3.043E-05 | 2.723E-02 | 1.820E-04 | 1.355E-03 | 9.486E-01 | 6.339E-03 |
| 27 | 1.515E+00 | 9.932E-03 | 8.194E-03 | 8.434E-02 | 1.251E-02 | 4.160E-02 | 2.985E-05 | 2.722E-02 | 1.785E-04 | 1.329E-03 | 9.482E-01 | 6.217E-03 |
| 28 | 1.509E+00 | 9.839E-03 | 8.117E-03 | 8.311E-02 | 1.239E-02 | 4.145E-02 | 2.957E-05 | 2.712E-02 | 1.768E-04 | 1.316E-03 | 9.447E-01 | 6.159E-03 |
| 29 | 1.495E+00 | 9.799E-03 | 8.084E-03 | 8.099E-02 | 1.234E-02 | 4.108E-02 | 2.945E-05 | 2.688E-02 | 1.761E-04 | 1.311E-03 | 9.361E-01 | 6.134E-03 |
| 30 | 1.487E+00 | 9.739E-03 | 8.034E-03 | 8.062E-02 | 1.227E-02 | 4.085E-02 | 2.927E-05 | 2.673E-02 | 1.750E-04 | 1.303E-03 | 9.310E-01 | 6.096E-03 |
| 31 | 1.481E+00 | 9.660E-03 | 7.969E-03 | 8.036E-02 | 1.217E-02 | 4.068E-02 | 2.903E-05 | 2.662E-02 | 1.736E-04 | 1.292E-03 | 9.272E-01 | 6.047E-03 |
| 32 | 1.480E+00 | 9.599E-03 | 7.919E-03 | 7.880E-02 | 1.209E-02 | 4.064E-02 | 2.885E-05 | 2.659E-02 | 1.725E-04 | 1.284E-03 | 9.262E-01 | 6.009E-03 |
| 33 | 1.440E+00 | 9.568E-03 | 7.894E-03 | 7.832E-02 | 1.205E-02 | 3.956E-02 | 2.875E-05 | 2.588E-02 | 1.720E-04 | 1.280E-03 | 9.015E-01 | 5.990E-03 |
| 34 | 1.434E+00 | 9.424E-03 | 7.775E-03 | 7.734E-02 | 1.187E-02 | 3.939E-02 | 2.832E-05 | 2.577E-02 | 1.694E-04 | 1.261E-03 | 8.978E-01 | 5.899E-03 |
| 35 | 1.421E+00 | 9.328E-03 | 7.695E-03 | 7.730E-02 | 1.175E-02 | 3.902E-02 | 2.803E-05 | 2.553E-02 | 1.676E-04 | 1.248E-03 | 8.893E-01 | 5.839E-03 |
| 36 | 1.412E+00 | 9.313E-03 | 7.683E-03 | 7.706E-02 | 1.173E-02 | 3.878E-02 | 2.799E-05 | 2.537E-02 | 1.674E-04 | 1.246E-03 | 8.837E-01 | 5.830E-03 |
| 37 | 1.393E+00 | 9.307E-03 | 7.678E-03 | 7.693E-02 | 1.172E-02 | 3.826E-02 | 2.797E-05 | 2.503E-02 | 1.673E-04 | 1.245E-03 | 8.719E-01 | 5.826E-03 |
| 38 | 1.390E+00 | 9.296E-03 | 7.669E-03 | 7.596E-02 | 1.171E-02 | 3.817E-02 | 2.794E-05 | 2.497E-02 | 1.671E-04 | 1.244E-03 | 8.699E-01 | 5.819E-03 |
| 39 | 1.378E+00 | 9.238E-03 | 7.621E-03 | 7.582E-02 | 1.164E-02 | 3.784E-02 | 2.776E-05 | 2.476E-02 | 1.660E-04 | 1.236E-03 | 8.623E-01 | 5.783E-03 |
| 40 | 1.349E+00 | 9.212E-03 | 7.599E-03 | 7.571E-02 | 1.160E-02 | 3.705E-02 | 2.768E-05 | 2.424E-02 | 1.655E-04 | 1.232E-03 | 8.444E-01 | 5.766E-03 |
| 41 | 1.325E+00 | 9.165E-03 | 7.561E-03 | 7.562E-02 | 1.154E-02 | 3.640E-02 | 2.754E-05</ | | | | | |

Scénario :
Existant (2020)

| Récepteur | Chloroforme | Chlorométhane | p-Dichlorobenzene | Dichlorofluoromethane | Dichloromethane (methylene chloride) | | Ethanol |
|-----------------------------|-------------|---------------|-------------------|-----------------------|--------------------------------------|-----------|-----------|
| | Annuel | Annuel | 4 min | Annuel | 1 h | Annuel | |
| Récepteurs sensibles | | | | | | | |
| Résidence 1 | 5.865E-06 | 4.245E-05 | 1.066E-01 | 1.873E-04 | 2.201E-02 | 8.439E-04 | 8.175E-03 |
| Résidence 2 | 7.929E-06 | 5.738E-05 | 9.794E-02 | 2.533E-04 | 2.022E-02 | 1.141E-03 | 7.510E-03 |
| Résidence 3 | 2.394E-05 | 1.733E-04 | 6.293E-02 | 7.647E-04 | 1.300E-02 | 3.444E-03 | 4.826E-03 |
| Résidence 4 | 1.278E-05 | 9.251E-05 | 4.972E-02 | 4.083E-04 | 1.027E-02 | 1.839E-03 | 3.812E-03 |
| Résidence 5 | 1.747E-05 | 1.264E-04 | 7.247E-02 | 5.580E-04 | 1.497E-02 | 2.513E-03 | 5.557E-03 |
| Résidence 6 | 1.892E-05 | 1.369E-04 | 1.296E-01 | 6.044E-04 | 2.676E-02 | 2.722E-03 | 9.936E-03 |
| Résidence 7 | 8.836E-06 | 6.395E-05 | 1.322E-01 | 2.822E-04 | 2.731E-02 | 1.271E-03 | 1.014E-02 |
| Résidence 8 | 4.995E-06 | 3.615E-05 | 1.175E-01 | 1.595E-04 | 2.426E-02 | 7.187E-04 | 9.009E-03 |
| Résidence 9 | 2.517E-06 | 1.822E-05 | 8.487E-02 | 8.041E-05 | 1.752E-02 | 3.622E-04 | 6.507E-03 |
| Résidence 10 | 4.104E-06 | 2.970E-05 | 1.028E-01 | 1.311E-04 | 2.124E-02 | 5.905E-04 | 7.886E-03 |
| Résidence 11 | 5.901E-06 | 4.271E-05 | 1.013E-01 | 1.885E-04 | 2.093E-02 | 8.491E-04 | 7.770E-03 |
| Résidence 12 | 1.203E-05 | 8.704E-05 | 1.270E-01 | 3.841E-04 | 2.623E-02 | 1.730E-03 | 9.741E-03 |
| Résidence 13 | 2.105E-05 | 1.523E-04 | 1.314E-01 | 6.723E-04 | 2.714E-02 | 3.028E-03 | 1.008E-02 |
| Résidence 14 | 3.088E-05 | 2.235E-04 | 1.470E-01 | 9.863E-04 | 3.036E-02 | 4.443E-03 | 1.128E-02 |
| Résidence 15 | 1.980E-05 | 1.433E-04 | 1.114E-01 | 6.325E-04 | 2.300E-02 | 2.849E-03 | 8.542E-03 |
| Résidence 16 | 6.499E-06 | 4.704E-05 | 9.225E-02 | 2.076E-04 | 1.905E-02 | 9.351E-04 | 7.073E-03 |
| Résidence 17 | 3.400E-06 | 2.461E-05 | 8.958E-02 | 1.086E-04 | 1.850E-02 | 4.892E-04 | 6.869E-03 |
| École primaire | 1.428E-06 | 1.034E-05 | 3.913E-02 | 4.562E-05 | 8.080E-03 | 2.055E-04 | 3.000E-03 |
| 50 maximums observés | | | | | | | |
| 1 | 2.942E-04 | 2.129E-03 | 9.834E-01 | 9.396E-03 | 2.031E-01 | 4.232E-02 | 7.540E-02 |
| 2 | 2.878E-04 | 2.083E-03 | 9.444E-01 | 9.193E-03 | 1.950E-01 | 4.141E-02 | 7.241E-02 |
| 3 | 2.797E-04 | 2.024E-03 | 9.265E-01 | 8.934E-03 | 1.913E-01 | 4.024E-02 | 7.104E-02 |
| 4 | 2.704E-04 | 1.957E-03 | 9.108E-01 | 8.636E-03 | 1.881E-01 | 3.890E-02 | 6.984E-02 |
| 5 | 2.687E-04 | 1.945E-03 | 8.462E-01 | 8.583E-03 | 1.747E-01 | 3.866E-02 | 6.489E-02 |
| 6 | 2.651E-04 | 1.919E-03 | 8.201E-01 | 8.469E-03 | 1.694E-01 | 3.815E-02 | 6.289E-02 |
| 7 | 2.541E-04 | 1.839E-03 | 7.764E-01 | 8.116E-03 | 1.603E-01 | 3.656E-02 | 5.953E-02 |
| 8 | 2.528E-04 | 1.830E-03 | 7.526E-01 | 8.074E-03 | 1.554E-01 | 3.637E-02 | 5.771E-02 |
| 9 | 2.356E-04 | 1.705E-03 | 7.483E-01 | 7.525E-03 | 1.545E-01 | 3.390E-02 | 5.738E-02 |
| 10 | 2.329E-04 | 1.686E-03 | 7.364E-01 | 7.439E-03 | 1.521E-01 | 3.351E-02 | 5.647E-02 |
| 11 | 2.323E-04 | 1.681E-03 | 7.261E-01 | 7.420E-03 | 1.499E-01 | 3.342E-02 | 5.568E-02 |
| 12 | 2.320E-04 | 1.679E-03 | 7.125E-01 | 7.411E-03 | 1.471E-01 | 3.338E-02 | 5.463E-02 |
| 13 | 2.297E-04 | 1.663E-03 | 6.814E-01 | 7.338E-03 | 1.407E-01 | 3.305E-02 | 5.224E-02 |
| 14 | 2.282E-04 | 1.652E-03 | 5.990E-01 | 7.290E-03 | 1.237E-01 | 3.284E-02 | 4.593E-02 |
| 15 | 2.276E-04 | 1.647E-03 | 5.814E-01 | 7.269E-03 | 1.201E-01 | 3.274E-02 | 4.458E-02 |
| 16 | 2.261E-04 | 1.637E-03 | 5.507E-01 | 7.223E-03 | 1.137E-01 | 3.253E-02 | 4.223E-02 |
| 17 | 2.258E-04 | 1.634E-03 | 5.506E-01 | 7.213E-03 | 1.137E-01 | 3.249E-02 | 4.222E-02 |
| 18 | 2.255E-04 | 1.632E-03 | 5.401E-01 | 7.203E-03 | 1.115E-01 | 3.244E-02 | 4.142E-02 |
| 19 | 2.248E-04 | 1.627E-03 | 5.350E-01 | 7.181E-03 | 1.105E-01 | 3.235E-02 | 4.102E-02 |
| 20 | 2.248E-04 | 1.627E-03 | 5.334E-01 | 7.181E-03 | 1.102E-01 | 3.234E-02 | 4.090E-02 |
| 21 | 2.224E-04 | 1.610E-03 | 5.323E-01 | 7.104E-03 | 1.099E-01 | 3.200E-02 | 4.081E-02 |
| 22 | 2.202E-04 | 1.594E-03 | 5.297E-01 | 7.033E-03 | 1.094E-01 | 3.168E-02 | 4.062E-02 |
| 23 | 2.182E-04 | 1.580E-03 | 5.232E-01 | 6.971E-03 | 1.080E-01 | 3.140E-02 | 4.012E-02 |
| 24 | 2.142E-04 | 1.550E-03 | 5.159E-01 | 6.842E-03 | 1.065E-01 | 3.082E-02 | 3.956E-02 |
| 25 | 2.114E-04 | 1.530E-03 | 5.143E-01 | 6.752E-03 | 1.062E-01 | 3.041E-02 | 3.944E-02 |
| 26 | 2.100E-04 | 1.520E-03 | 5.143E-01 | 6.707E-03 | 1.062E-01 | 3.021E-02 | 3.944E-02 |
| 27 | 2.059E-04 | 1.491E-03 | 5.141E-01 | 6.578E-03 | 1.062E-01 | 2.963E-02 | 3.942E-02 |
| 28 | 2.040E-04 | 1.477E-03 | 5.122E-01 | 6.517E-03 | 1.058E-01 | 2.935E-02 | 3.928E-02 |
| 29 | 2.032E-04 | 1.471E-03 | 5.076E-01 | 6.490E-03 | 1.048E-01 | 2.923E-02 | 3.892E-02 |
| 30 | 2.019E-04 | 1.462E-03 | 5.048E-01 | 6.450E-03 | 1.042E-01 | 2.905E-02 | 3.871E-02 |
| 31 | 2.003E-04 | 1.450E-03 | 5.027E-01 | 6.398E-03 | 1.038E-01 | 2.882E-02 | 3.855E-02 |
| 32 | 1.990E-04 | 1.441E-03 | 5.022E-01 | 6.358E-03 | 1.037E-01 | 2.864E-02 | 3.851E-02 |
| 33 | 1.984E-04 | 1.436E-03 | 4.888E-01 | 6.338E-03 | 1.009E-01 | 2.855E-02 | 3.748E-02 |
| 34 | 1.954E-04 | 1.414E-03 | 4.868E-01 | 6.242E-03 | 1.005E-01 | 2.812E-02 | 3.732E-02 |
| 35 | 1.934E-04 | 1.400E-03 | 4.822E-01 | 6.178E-03 | 9.956E-02 | 2.783E-02 | 3.697E-02 |
| 36 | 1.931E-04 | 1.398E-03 | 4.792E-01 | 6.169E-03 | 9.894E-02 | 2.779E-02 | 3.674E-02 |
| 37 | 1.930E-04 | 1.397E-03 | 4.728E-01 | 6.164E-03 | 9.762E-02 | 2.777E-02 | 3.625E-02 |
| 38 | 1.928E-04 | 1.395E-03 | 4.717E-01 | 6.157E-03 | 9.740E-02 | 2.773E-02 | 3.617E-02 |
| 39 | 1.916E-04 | 1.386E-03 | 4.675E-01 | 6.119E-03 | 9.654E-02 | 2.756E-02 | 3.585E-02 |
| 40 | 1.910E-04 | 1.382E-03 | 4.578E-01 | 6.101E-03 | 9.454E-02 | 2.748E-02 | 3.510E-02 |
| 41 | 1.900E-04 | 1.375E-03 | 4.497E-01 | 6.070E-03 | 9.287E-02 | 2.734E-02 | 3.448E-02 |
| 42 | 1.870E-04 | 1.353E-03 | 4.483E-01 | 5.972E-03 | 9.257E-02 | 2.690E-02 | 3.437E-02 |
| 43 | 1.852E-04 | 1.340E-03 | 4.451E-01 | 5.915E-03 | 9.192E-02 | 2.664E-02 | 3.413E-02 |
| 44 | 1.836E-04 | 1.329E-03 | 4.422E-01 | 5.865E-03 | 9.132E-02 | 2.642E-02 | 3.391E-02 |
| 45 | 1.796E-04 | 1.300E-03 | 4.407E-01 | 5.737E-03 | 9.101E-02 | 2.584E-02 | 3.380E-02 |
| 46 | 1.791E-04 | 1.296E-03 | 4.317E-01 | 5.721E-03 | 8.914E-02 | 2.577E-02 | 3.310E-02 |
| 47 | 1.788E-04 | 1.294E-03 | 4.307E-01 | 5.711E-03 | 8.895E-02 | 2.572E-02 | 3.303E-02 |
| 48 | 1.760E-04 | 1.274E-03 | 4.262E-01 | 5.621E-03 | 8.801E-02 | 2.532E-02 | 3.268E-02 |
| 49 | 1.750E-04 | 1.266E-03 | 4.239E-01 | 5.589E-03 | 8.753E-02 | 2.517E-02 | 3.250E-02 |
| 50 | 1.737E-04 | 1.257E-03 | 4.234E-01 | 5.548E-03 | 8.744E-02 | 2.499E-02 | 3.247E-02 |

Scénario :
Existant (2020)

| Récepteur | Ethylbenzene | | Ethylene dibromide | Hexane | | Mercury (total) | Methyl ethyl ketone | Methyl isobutyl ketone | Pentane | | Perchloroethylene (tetrachloroethene) | t-1,2-dichloroethene |
|----------------------|--------------|-----------|--------------------|-----------|-----------|-----------------|---------------------|------------------------|-----------|-----------|---------------------------------------|----------------------|
| | 4 min | Annuel | | Annuel | 4 min | Annuel | Annuel | 4 min | 4 min | Annuel | Annuel | 4 min |
| Récepteurs sensibles | | | | | | | | | | | | |
| Résidence 1 | 3.981E-01 | 3.584E-04 | 6.290E-07 | 4.368E-01 | 3.934E-04 | 1.700E-08 | 3.944E-01 | 1.445E-01 | 2.483E-01 | 2.236E-04 | 2.339E-04 | 2.124E-01 |
| Résidence 2 | 3.657E-01 | 4.845E-04 | 8.503E-07 | 4.013E-01 | 5.318E-04 | 2.298E-08 | 3.624E-01 | 1.327E-01 | 2.281E-01 | 3.022E-04 | 3.162E-04 | 1.951E-01 |
| Résidence 3 | 2.350E-01 | 1.463E-03 | 2.567E-06 | 2.579E-01 | 1.606E-03 | 6.939E-08 | 2.328E-01 | 8.530E-02 | 1.466E-01 | 9.125E-04 | 9.546E-04 | 1.254E-01 |
| Résidence 4 | 1.856E-01 | 7.811E-04 | 1.371E-06 | 2.037E-01 | 8.572E-04 | 3.705E-08 | 1.839E-01 | 6.739E-02 | 1.158E-01 | 4.872E-04 | 5.097E-04 | 9.906E-02 |
| Résidence 5 | 2.706E-01 | 1.068E-03 | 1.873E-06 | 2.970E-01 | 1.172E-03 | 5.063E-08 | 2.681E-01 | 9.823E-02 | 1.688E-01 | 6.658E-04 | 6.966E-04 | 1.444E-01 |
| Résidence 6 | 4.838E-01 | 1.156E-03 | 2.029E-06 | 5.310E-01 | 1.269E-03 | 5.485E-08 | 4.794E-01 | 1.756E-01 | 3.017E-01 | 7.212E-04 | 7.545E-04 | 2.582E-01 |
| Résidence 7 | 4.938E-01 | 5.400E-04 | 9.476E-07 | 5.419E-01 | 5.926E-04 | 2.561E-08 | 4.893E-01 | 1.792E-01 | 3.080E-01 | 3.368E-04 | 3.523E-04 | 2.635E-01 |
| Résidence 8 | 4.387E-01 | 3.053E-04 | 5.357E-07 | 4.814E-01 | 3.350E-04 | 1.448E-08 | 4.347E-01 | 1.592E-01 | 2.736E-01 | 1.904E-04 | 1.992E-04 | 2.341E-01 |
| Résidence 9 | 3.169E-01 | 1.538E-04 | 2.700E-07 | 3.478E-01 | 1.688E-04 | 7.297E-09 | 3.140E-01 | 1.150E-01 | 1.976E-01 | 9.595E-05 | 1.004E-04 | 1.691E-01 |
| Résidence 10 | 3.840E-01 | 2.508E-04 | 4.401E-07 | 4.214E-01 | 2.752E-04 | 1.190E-08 | 3.805E-01 | 1.394E-01 | 2.395E-01 | 1.564E-04 | 1.636E-04 | 2.049E-01 |
| Résidence 11 | 3.784E-01 | 3.607E-04 | 6.329E-07 | 4.152E-01 | 3.958E-04 | 1.711E-08 | 3.749E-01 | 1.374E-01 | 2.360E-01 | 2.249E-04 | 2.353E-04 | 2.019E-01 |
| Résidence 12 | 4.743E-01 | 7.349E-04 | 1.290E-06 | 5.206E-01 | 8.066E-04 | 3.486E-08 | 4.700E-01 | 1.722E-01 | 2.958E-01 | 4.584E-04 | 4.795E-04 | 2.531E-01 |
| Résidence 13 | 4.908E-01 | 1.286E-03 | 2.257E-06 | 5.386E-01 | 1.412E-03 | 6.101E-08 | 4.863E-01 | 1.782E-01 | 3.061E-01 | 8.023E-04 | 8.393E-04 | 2.619E-01 |
| Résidence 14 | 5.490E-01 | 1.887E-03 | 3.311E-06 | 6.025E-01 | 2.071E-03 | 8.950E-08 | 5.441E-01 | 1.993E-01 | 3.424E-01 | 1.177E-03 | 1.231E-03 | 2.930E-01 |
| Résidence 15 | 4.159E-01 | 1.210E-03 | 2.124E-06 | 4.565E-01 | 1.328E-03 | 5.739E-08 | 4.122E-01 | 1.510E-01 | 2.594E-01 | 7.547E-04 | 7.895E-04 | 2.220E-01 |
| Résidence 16 | 3.444E-01 | 3.972E-04 | 6.970E-07 | 3.780E-01 | 4.359E-04 | 1.884E-08 | 3.413E-01 | 1.250E-01 | 2.148E-01 | 2.477E-04 | 2.591E-04 | 1.838E-01 |
| Résidence 17 | 3.345E-01 | 2.078E-04 | 3.646E-07 | 3.671E-01 | 2.280E-04 | 9.855E-09 | 3.314E-01 | 1.214E-01 | 2.086E-01 | 1.296E-04 | 1.356E-04 | 1.785E-01 |
| École primaire | 1.461E-01 | 8.728E-05 | 1.532E-07 | 1.603E-01 | 9.579E-05 | 4.140E-09 | 1.448E-01 | 5.304E-02 | 9.112E-02 | 5.444E-05 | 5.695E-05 | 7.796E-02 |
| 50 maximums observés | | | | | | | | | | | | |
| 1 | 3.672E+00 | 1.798E-02 | 3.155E-05 | 4.029E+00 | 1.973E-02 | 8.526E-07 | 3.638E+00 | 1.333E+00 | 2.290E+00 | 1.121E-02 | 1.173E-02 | 1.959E+00 |
| 2 | 3.526E+00 | 1.759E-02 | 3.087E-05 | 3.870E+00 | 1.930E-02 | 8.342E-07 | 3.494E+00 | 1.280E+00 | 2.199E+00 | 1.097E-02 | 1.148E-02 | 1.882E+00 |
| 3 | 3.459E+00 | 1.709E-02 | 3.000E-05 | 3.796E+00 | 1.876E-02 | 8.107E-07 | 3.428E+00 | 1.256E+00 | 2.158E+00 | 1.066E-02 | 1.115E-02 | 1.846E+00 |
| 4 | 3.401E+00 | 1.652E-02 | 2.900E-05 | 3.732E+00 | 1.813E-02 | 7.837E-07 | 3.370E+00 | 1.234E+00 | 2.121E+00 | 1.031E-02 | 1.078E-02 | 1.815E+00 |
| 5 | 3.160E+00 | 1.642E-02 | 2.882E-05 | 3.468E+00 | 1.802E-02 | 7.789E-07 | 3.131E+00 | 1.147E+00 | 1.971E+00 | 1.024E-02 | 1.071E-02 | 1.686E+00 |
| 6 | 3.062E+00 | 1.620E-02 | 2.843E-05 | 3.361E+00 | 1.778E-02 | 7.685E-07 | 3.034E+00 | 1.112E+00 | 1.910E+00 | 1.011E-02 | 1.057E-02 | 1.634E+00 |
| 7 | 2.899E+00 | 1.553E-02 | 2.725E-05 | 3.181E+00 | 1.704E-02 | 7.365E-07 | 2.873E+00 | 1.052E+00 | 1.808E+00 | 9.685E-03 | 1.013E-02 | 1.547E+00 |
| 8 | 2.810E+00 | 1.545E-02 | 2.711E-05 | 3.084E+00 | 1.695E-02 | 7.327E-07 | 2.785E+00 | 1.020E+00 | 1.753E-00 | 9.635E-03 | 1.008E-02 | 1.499E+00 |
| 9 | 2.794E+00 | 1.440E-02 | 2.527E-05 | 3.066E+00 | 1.580E-02 | 6.829E-07 | 2.769E+00 | 1.014E+00 | 1.743E+00 | 8.980E-03 | 9.394E-03 | 1.491E+00 |
| 10 | 2.749E+00 | 1.423E-02 | 2.498E-05 | 3.017E+00 | 1.562E-02 | 6.751E-07 | 2.725E+00 | 9.981E-01 | 1.715E+00 | 8.877E-03 | 9.287E-03 | 1.467E+00 |
| 11 | 2.711E+00 | 1.420E-02 | 2.491E-05 | 2.975E+00 | 1.558E-02 | 6.733E-07 | 2.687E+00 | 9.842E-01 | 1.691E+00 | 8.854E-03 | 9.263E-03 | 1.447E+00 |
| 12 | 2.660E+00 | 1.418E-02 | 2.488E-05 | 2.919E+00 | 1.556E-02 | 6.725E-07 | 2.636E+00 | 9.657E-01 | 1.659E+00 | 8.843E-03 | 9.252E-03 | 1.420E+00 |
| 13 | 2.544E+00 | 1.404E-02 | 2.464E-05 | 2.792E+00 | 1.541E-02 | 6.659E-07 | 2.521E+00 | 9.235E-01 | 1.587E+00 | 8.756E-03 | 9.161E-03 | 1.358E+00 |
| 14 | 2.236E+00 | 1.395E-02 | 2.448E-05 | 2.454E+00 | 1.531E-02 | 6.615E-07 | 2.216E+00 | 8.118E-01 | 1.395E+00 | 8.699E-03 | 9.101E-03 | 1.193E+00 |
| 15 | 2.171E+00 | 1.391E-02 | 2.441E-05 | 2.382E+00 | 1.526E-02 | 6.596E-07 | 2.151E+00 | 7.881E-01 | 1.354E+00 | 8.674E-03 | 9.075E-03 | 1.158E+00 |
| 16 | 2.056E+00 | 1.382E-02 | 2.425E-05 | 2.257E+00 | 1.517E-02 | 6.554E-07 | 2.038E+00 | 7.465E-01 | 1.282E+00 | 8.619E-03 | 9.017E-03 | 1.097E+00 |
| 17 | 2.056E+00 | 1.380E-02 | 2.422E-05 | 2.256E+00 | 1.515E-02 | 6.546E-07 | 2.037E+00 | 7.463E-01 | 1.282E+00 | 8.607E-03 | 9.005E-03 | 1.097E+00 |
| 18 | 2.017E+00 | 1.378E-02 | 2.418E-05 | 2.213E+00 | 1.512E-02 | 6.536E-07 | 1.998E+00 | 7.321E-01 | 1.258E+00 | 8.595E-03 | 8.992E-03 | 1.076E+00 |
| 19 | 1.997E+00 | 1.374E-02 | 2.411E-05 | 2.192E+00 | 1.508E-02 | 6.516E-07 | 1.979E+00 | 7.251E-01 | 1.246E+00 | 8.569E-03 | 8.965E-03 | 1.066E+00 |
| 20 | 1.992E+00 | 1.374E-02 | 2.411E-05 | 2.186E+00 | 1.508E-02 | 6.516E-07 | 1.974E+00 | 7.230E-01 | 1.242E+00 | 8.569E-03 | 8.964E-03 | 1.063E+00 |
| 21 | 1.987E+00 | 1.359E-02 | 2.385E-05 | 2.181E+00 | 1.492E-02 | 6.447E-07 | 1.969E+00 | 7.214E-01 | 1.239E+00 | 8.478E-03 | 8.869E-03 | 1.060E+00 |
| 22 | 1.978E+00 | 1.346E-02 | 2.361E-05 | 2.171E+00 | 1.477E-02 | 6.382E-07 | 1.960E+00 | 7.180E-01 | 1.234E+00 | 8.392E-03 | 8.779E-03 | 1.055E+00 |
| 23 | 1.954E+00 | 1.334E-02 | 2.341E-05 | 2.144E+00 | 1.464E-02 | 6.326E-07 | 1.936E+00 | 7.092E-01 | 1.218E+00 | 8.318E-03 | 8.702E-03 | 1.042E+00 |
| 24 | 1.926E+00 | 1.309E-02 | 2.297E-05 | 2.114E+00 | 1.437E-02 | 6.208E-07 | 1.909E+00 | 6.992E-01 | 1.201E+00 | 8.164E-03 | 8.541E-03 | 1.028E+00 |
| 25 | 1.920E+00 | 1.292E-02 | 2.267E-05 | 2.108E+00 | 1.418E-02 | 6.127E-07 | 1.903E+00 | 6.971E-01 | 1.198E+00 | 8.057E-03 | 8.429E-03 | 1.025E+00 |
| 26 | 1.920E+00 | 1.283E-02 | 2.252E-05 | 2.107E+00 | 1.408E-02 | 6.086E-07 | 1.903E+00 | 6.971E-01 | 1.198E+00 | 8.003E-03 | 8.372E-03 | 1.025E+00 |
| 27 | 1.919E+00 | 1.259E-02 | 2.209E-05 | 2.107E+00 | 1.381E-02 | 5.969E-07 | 1.902E+00 | 6.968E-01 | 1.197E+00 | 7.850E-03 | 8.212E-03 | 1.024E+00 |
| 28 | 1.912E+00 | 1.247E-02 | 2.188E-05 | 2.099E+00 | 1.368E-02 | 5.913E-07 | 1.895E+00 | 6.943E-01 | 1.193E+00 | 7.776E-03 | 8.135E-03 | 1.021E+00 |
| 29 | 1.895E+00 | 1.242E-02 | 2.179E-05 | 2.080E+00 | 1.363E-02 | 5.890E-07 | 1.878E+00 | 6.880E-01 | 1.182E+00 | 7.745E-03 | 8.102E-03 | 1.011E+00 |
| 30 | 1.885E+00 | 1.234E-02 | 2.166E-05 | 2.069E+00 | 1.354E-02 | 5.853E-07 | 1.868E+00 | 6.842E-01 | 1.176E+00 | 7.697E-03 | 8.052E-03 | 1.006E+00 |
| 31 | 1.877E+00 | 1.224E-02 | 2.148E-05 | 2.060E+00 | 1.343E-02 | 5.806E-07 | 1.860E+00 | 6.814E-01 | 1.171E+00 | 7.635E-03 | 7.987E-03 | 1.002E+00 |
| 32 | 1.875E+00 | 1.216E-02 | 2.135E-05 | 2.058E+00 | 1.335E-02 | 5.776E-07 | 1.858E+00 | 6.807E-01 | 1.169E+00 | 7.587E-03 | 7.937E-03 | 1.001E+00 |
| 33 | 1.825E+00 | 1.213E-02 | 2.128E-05 | 2.003E+00 | 1.331E-02 | 5.751E-07 | 1.808E+00 | 6.625E-01 | 1.138E+00 | 7.562E-03 | 7.912E-03 | 9.738E-01 |
| 34 | 1.817E+00 | 1.194E-02 | 2.096E-05 | 1.995E+00 | 1.311E-02 | 5.664E-07 | 1.801E+00 | 6.598E-01 | 1.134E+00 | 7.449E-03 | 7.793E-03 | 9.698E-01 |
| 35 | 1.800E+00 | 1.182E-02 | 2.074E-05 | 1.976E+00 | 1.297E-02 | 5.606E-07 | 1.784E+00 | 6.535E-01 | 1.123E+00 | 7.372E-03 | 7.713E-03 | 9.606E-01 |
| 36 | 1.789E+00 | 1.180E-02 | 2.071E-05 | 1.963E+00 | 1.295E-02 | 5.598E-07 | 1.773E+00 | 6.495E-01 | 1.116E+00 | 7.361E-03 | 7.701E-03 | 9.547E-01 |
| 37 | 1.765E+00 | 1.179E-02 | 2.070E-05 | 1.937E+00 | 1.294E-02 | 5.594E-07 | 1.749E+00 | 6.408E-01 | 1.101E+00 | 7.356E-03 | 7.695E-03 | 9.419E-01 |
| 38 | 1.761E+00 | 1.178E-02 | 2.067E-05 | 1.933E+00 | 1.293E-02 | 5.587E-07 | 1.745E+00 | 6.393E-01 | 1.098E+00 | 7.347E-03 | 7.686E-03 | 9.398E-01 |
| 39 | 1.746E+00 | 1.171E-02 | 2.054E-05 | 1.916E+00 | 1.285E-02 | 5.552E-07 | 1.730E+00 | 6.337E-01 | 1.089E+00 | 7.301E-03 | 7.638E-03 | 9.315E-01 |
| 40 | 1.709E+00 | 1.167E-02 | 2.049E-05 | 1.876E+00 | 1.281E-02 | 5.537E-07 | 1.694E+00 | 6.205E-01 | 1.066E+00 | 7.281E-03 | 7.617E-03 | 9.121E-01 |
| 41 | 1. | | | | | | | | | | | |

Scénario :
Existant (2020)

| Récepteur | Toluène | Trichloroethyl ene (Trichloroeth ene) | Vinyl chloride | Xylenes | |
|-----------------------------|-----------|--|----------------|-----------|-----------|
| | 4 min | Annuel | Annuel | 4 min | Annuel |
| Récepteurs sensibles | | | | | |
| Résidence 1 | 2.097E+00 | 7.559E-05 | 6.166E-05 | 7.560E-01 | 6.808E-04 |
| Résidence 2 | 1.926E+00 | 1.022E-04 | 8.335E-05 | 6.945E-01 | 9.202E-04 |
| Résidence 3 | 1.238E+00 | 3.085E-04 | 2.517E-04 | 4.463E-01 | 2.779E-03 |
| Résidence 4 | 9.780E-01 | 1.647E-04 | 1.344E-04 | 3.525E-01 | 1.483E-03 |
| Résidence 5 | 1.426E+00 | 2.251E-04 | 1.837E-04 | 5.139E-01 | 2.028E-03 |
| Résidence 6 | 2.549E+00 | 2.438E-04 | 1.989E-04 | 9.188E-01 | 2.196E-03 |
| Résidence 7 | 2.601E+00 | 1.139E-04 | 9.290E-05 | 9.378E-01 | 1.026E-03 |
| Résidence 8 | 2.311E+00 | 6.437E-05 | 5.251E-05 | 8.331E-01 | 5.797E-04 |
| Résidence 9 | 1.669E+00 | 3.244E-05 | 2.647E-05 | 6.018E-01 | 2.922E-04 |
| Résidence 10 | 2.023E+00 | 5.289E-05 | 4.314E-05 | 7.293E-01 | 4.763E-04 |
| Résidence 11 | 1.993E+00 | 7.605E-05 | 6.204E-05 | 7.186E-01 | 6.850E-04 |
| Résidence 12 | 2.499E+00 | 1.550E-04 | 1.264E-04 | 9.009E-01 | 1.396E-03 |
| Résidence 13 | 2.586E+00 | 2.712E-04 | 2.213E-04 | 9.321E-01 | 2.443E-03 |
| Résidence 14 | 2.893E+00 | 3.979E-04 | 3.246E-04 | 1.043E+00 | 3.584E-03 |
| Résidence 15 | 2.191E+00 | 2.552E-04 | 2.082E-04 | 7.900E-01 | 2.298E-03 |
| Résidence 16 | 1.815E+00 | 8.375E-05 | 6.832E-05 | 6.541E-01 | 7.543E-04 |
| Résidence 17 | 1.762E+00 | 4.382E-05 | 3.574E-05 | 6.352E-01 | 3.946E-04 |
| École primaire | 7.697E-01 | 1.841E-05 | 1.501E-05 | 2.775E-01 | 1.658E-04 |
| 50 maximums observés | | | | | |
| 1 | 1.934E+01 | 3.791E-03 | 3.092E-03 | 6.973E+00 | 3.414E-02 |
| 2 | 1.858E+01 | 3.709E-03 | 3.026E-03 | 6.696E+00 | 3.341E-02 |
| 3 | 1.822E+01 | 3.604E-03 | 2.940E-03 | 6.570E+00 | 3.246E-02 |
| 4 | 1.792E+01 | 3.484E-03 | 2.843E-03 | 6.458E+00 | 3.138E-02 |
| 5 | 1.665E+01 | 3.463E-03 | 2.825E-03 | 6.001E+00 | 3.119E-02 |
| 6 | 1.613E+01 | 3.417E-03 | 2.787E-03 | 5.816E+00 | 3.077E-02 |
| 7 | 1.527E+01 | 3.275E-03 | 2.671E-03 | 5.506E+00 | 2.949E-02 |
| 8 | 1.480E+01 | 3.258E-03 | 2.658E-03 | 5.337E+00 | 2.934E-02 |
| 9 | 1.472E+01 | 3.036E-03 | 2.477E-03 | 5.306E+00 | 2.734E-02 |
| 10 | 1.449E+01 | 3.001E-03 | 2.449E-03 | 5.222E+00 | 2.703E-02 |
| 11 | 1.428E+01 | 2.994E-03 | 2.442E-03 | 5.149E+00 | 2.696E-02 |
| 12 | 1.401E+01 | 2.990E-03 | 2.439E-03 | 5.052E+00 | 2.693E-02 |
| 13 | 1.340E+01 | 2.961E-03 | 2.415E-03 | 4.831E+00 | 2.666E-02 |
| 14 | 1.178E+01 | 2.941E-03 | 2.399E-03 | 4.247E+00 | 2.649E-02 |
| 15 | 1.144E+01 | 2.933E-03 | 2.392E-03 | 4.123E+00 | 2.641E-02 |
| 16 | 1.083E+01 | 2.914E-03 | 2.377E-03 | 3.905E+00 | 2.625E-02 |
| 17 | 1.083E+01 | 2.910E-03 | 2.374E-03 | 3.904E+00 | 2.621E-02 |
| 18 | 1.062E+01 | 2.906E-03 | 2.371E-03 | 3.830E+00 | 2.617E-02 |
| 19 | 1.052E+01 | 2.897E-03 | 2.363E-03 | 3.794E+00 | 2.609E-02 |
| 20 | 1.049E+01 | 2.897E-03 | 2.363E-03 | 3.783E+00 | 2.609E-02 |
| 21 | 1.047E+01 | 2.866E-03 | 2.338E-03 | 3.774E+00 | 2.581E-02 |
| 22 | 1.042E+01 | 2.837E-03 | 2.315E-03 | 3.756E+00 | 2.555E-02 |
| 23 | 1.029E+01 | 2.812E-03 | 2.294E-03 | 3.710E+00 | 2.533E-02 |
| 24 | 1.015E+01 | 2.760E-03 | 2.252E-03 | 3.658E+00 | 2.486E-02 |
| 25 | 1.012E+01 | 2.724E-03 | 2.222E-03 | 3.647E+00 | 2.453E-02 |
| 26 | 1.012E+01 | 2.706E-03 | 2.207E-03 | 3.647E+00 | 2.437E-02 |
| 27 | 1.011E+01 | 2.654E-03 | 2.165E-03 | 3.645E+00 | 2.390E-02 |
| 28 | 1.008E+01 | 2.629E-03 | 2.145E-03 | 3.632E+00 | 2.368E-02 |
| 29 | 9.984E+00 | 2.619E-03 | 2.136E-03 | 3.599E+00 | 2.358E-02 |
| 30 | 9.930E+00 | 2.602E-03 | 2.123E-03 | 3.580E+00 | 2.344E-02 |
| 31 | 9.889E+00 | 2.581E-03 | 2.106E-03 | 3.565E+00 | 2.325E-02 |
| 32 | 9.878E+00 | 2.565E-03 | 2.093E-03 | 3.561E+00 | 2.310E-02 |
| 33 | 9.614E+00 | 2.557E-03 | 2.086E-03 | 3.466E+00 | 2.303E-02 |
| 34 | 9.575E+00 | 2.518E-03 | 2.054E-03 | 3.452E+00 | 2.268E-02 |
| 35 | 9.484E+00 | 2.493E-03 | 2.033E-03 | 3.419E+00 | 2.245E-02 |
| 36 | 9.425E+00 | 2.489E-03 | 2.030E-03 | 3.398E+00 | 2.241E-02 |
| 37 | 9.299E+00 | 2.487E-03 | 2.029E-03 | 3.352E+00 | 2.240E-02 |
| 38 | 9.278E+00 | 2.484E-03 | 2.026E-03 | 3.345E+00 | 2.237E-02 |
| 39 | 9.197E+00 | 2.469E-03 | 2.014E-03 | 3.315E+00 | 2.223E-02 |
| 40 | 9.005E+00 | 2.462E-03 | 2.008E-03 | 3.246E+00 | 2.217E-02 |
| 41 | 8.846E+00 | 2.449E-03 | 1.998E-03 | 3.189E+00 | 2.206E-02 |
| 42 | 8.818E+00 | 2.409E-03 | 1.966E-03 | 3.179E+00 | 2.170E-02 |
| 43 | 8.756E+00 | 2.386E-03 | 1.947E-03 | 3.156E+00 | 2.149E-02 |
| 44 | 8.699E+00 | 2.366E-03 | 1.930E-03 | 3.136E+00 | 2.131E-02 |
| 45 | 8.670E+00 | 2.315E-03 | 1.888E-03 | 3.125E+00 | 2.085E-02 |
| 46 | 8.491E+00 | 2.308E-03 | 1.883E-03 | 3.061E+00 | 2.079E-02 |
| 47 | 8.473E+00 | 2.304E-03 | 1.880E-03 | 3.054E+00 | 2.075E-02 |
| 48 | 8.384E+00 | 2.268E-03 | 1.850E-03 | 3.022E+00 | 2.043E-02 |
| 49 | 8.338E+00 | 2.255E-03 | 1.839E-03 | 3.006E+00 | 2.031E-02 |
| 50 | 8.329E+00 | 2.238E-03 | 1.826E-03 | 3.003E+00 | 2.016E-02 |

Concentrations maximales observées (Récepteurs sensibles et 50 valeurs maximales sur le territoire)

Scénario : Surélévation du LET - An 1 (2021)

Sulfure d'hydrogène (H₂S)

| Sulfure d'hydrogène (H ₂ S) | | | | | | | | | | | | |
|--|-----------|-------------------|------------------------|------------------|-------------|-------------|-------------------|------------------------|------------|-------------|------------------------|-------------------|
| Coordonnées | | | Concentration maximale | Date/Heure | Coordonnées | | | Concentration maximale | Date/Heure | Coordonnées | Concentration maximale | |
| X | Y | 4 min | | | X | Y | 1h | | | X | Y | 1 an |
| m | m | µg/m ³ | | | m | m | µg/m ³ | | | m | m | µg/m ³ |
| Concentrations maximales aux récepteurs sensibles | | | | | | | | | | | | |
| Résidence 1 | 297 963.3 | 5 039 595.9 | 27.989 | 2006-11-26 10 hr | 297 963.3 | 5 039 595.9 | 14.662 | 2006-11-26 10 hr | 297 963.3 | 5 039 595.9 | 0.0154 | |
| Résidence 2 | 297 725.6 | 5 039 663.5 | 26.871 | 2006-02-03 02 hr | 297 725.6 | 5 039 663.5 | 14.076 | 2006-02-03 02 hr | 297 725.6 | 5 039 663.5 | 0.0164 | |
| Résidence 3 | 295 463.7 | 5 040 861.7 | 18.305 | 2004-02-17 07 hr | 295 463.7 | 5 040 861.7 | 9.589 | 2004-02-17 07 hr | 295 463.7 | 5 040 861.7 | 0.0896 | |
| Résidence 4 | 295 189.0 | 5 040 197.6 | 14.941 | 2005-02-03 10 hr | 295 189.0 | 5 040 197.6 | 7.827 | 2005-02-03 10 hr | 295 189.0 | 5 040 197.6 | 0.0436 | |
| Résidence 5 | 295 921.4 | 5 041 778.7 | 19.944 | 2007-02-19 04 hr | 295 921.4 | 5 041 778.7 | 10.448 | 2007-02-19 04 hr | 295 921.4 | 5 041 778.7 | 0.0768 | |
| Résidence 6 | 296 442.0 | 5 042 171.2 | 38.015 | 2005-01-23 03 hr | 296 442.0 | 5 042 171.2 | 19.914 | 2005-01-23 03 hr | 296 442.0 | 5 042 171.2 | 0.0801 | |
| Résidence 7 | 296 733.9 | 5 043 435.1 | 33.187 | 2008-12-26 06 hr | 296 733.9 | 5 043 435.1 | 17.385 | 2008-12-26 06 hr | 296 733.9 | 5 043 435.1 | 0.0344 | |
| Résidence 8 | 297 941.7 | 5 044 440.8 | 29.348 | 2005-03-09 02 hr | 297 941.7 | 5 044 440.8 | 15.374 | 2005-03-09 02 hr | 297 941.7 | 5 044 440.8 | 0.0190 | |
| Résidence 9 | 299 078.9 | 5 038 612.1 | 20.074 | 2007-01-26 05 hr | 299 078.9 | 5 038 612.1 | 10.516 | 2007-01-26 05 hr | 299 078.9 | 5 038 612.1 | 0.0092 | |
| Résidence 10 | 299 619.9 | 5 039 202.9 | 20.871 | 2007-03-22 12 hr | 299 619.9 | 5 039 202.9 | 10.933 | 2007-03-22 12 hr | 299 619.9 | 5 039 202.9 | 0.0142 | |
| Résidence 11 | 300 335.1 | 5 039 604.8 | 20.391 | 2008-12-11 02 hr | 300 335.1 | 5 039 604.8 | 10.682 | 2008-12-11 02 hr | 300 335.1 | 5 039 604.8 | 0.0195 | |
| Résidence 12 | 301 012.5 | 5 040 182.3 | 28.017 | 2006-01-03 12 hr | 301 012.5 | 5 040 182.3 | 14.676 | 2006-01-03 12 hr | 301 012.5 | 5 040 182.3 | 0.0307 | |
| Résidence 13 | 299 928.2 | 5 040 458.4 | 25.817 | 2007-11-27 05 hr | 299 928.2 | 5 040 458.4 | 13.524 | 2007-11-27 05 hr | 299 928.2 | 5 040 458.4 | 0.0469 | |
| Résidence 14 | 300 199.7 | 5 040 642.5 | 37.449 | 2006-10-09 09 hr | 300 199.7 | 5 040 642.5 | 19.618 | 2006-10-09 09 hr | 300 199.7 | 5 040 642.5 | 0.0901 | |
| Résidence 15 | 300 421.4 | 5 043 147.5 | 35.405 | 2004-02-02 08 hr | 300 421.4 | 5 043 147.5 | 18.547 | 2004-02-02 08 hr | 300 421.4 | 5 043 147.5 | 0.0736 | |
| Résidence 16 | 298 614.0 | 5 044 089.6 | 38.143 | 2005-01-25 06 hr | 298 614.0 | 5 044 089.6 | 19.981 | 2005-01-25 06 hr | 298 614.0 | 5 044 089.6 | 0.0266 | |
| Résidence 17 | 297 643.0 | 5 045 149.1 | 25.633 | 2004-01-09 22 hr | 297 643.0 | 5 045 149.1 | 13.428 | 2004-01-09 22 hr | 297 643.0 | 5 045 149.1 | 0.0137 | |
| École primaire | 303 807.8 | 5 038 761.1 | 8.866 | 2007-03-15 23 hr | 303 807.8 | 5 038 761.1 | 4.645 | 2007-03-15 23 hr | 303 807.8 | 5 038 761.1 | 0.0053 | |
| 50 concentrations maximales observées | | | | | | | | | | | | |
| 1 | 298 131.2 | 5 041 493.9 | 226.946 | 2007-02-11 05 hr | 298 131.2 | 5 041 493.9 | 118.885 | 2007-02-11 05 hr | 297 953.0 | 5 041 326.9 | 1.3681 | |
| 2 | 298 166.8 | 5 041 527.3 | 216.019 | 2005-01-29 03 hr | 298 166.8 | 5 041 527.3 | 113.161 | 2005-01-29 03 hr | 297 917.3 | 5 041 293.5 | 1.3153 | |
| 3 | 298 117.1 | 5 041 505.0 | 214.753 | 2007-02-11 05 hr | 298 117.1 | 5 041 505.0 | 112.498 | 2007-02-11 05 hr | 297 988.6 | 5 041 360.3 | 1.2817 | |
| 4 | 298 309.4 | 5 041 660.9 | 200.624 | 2004-01-14 23 hr | 298 309.4 | 5 041 660.9 | 105.097 | 2004-01-14 23 hr | 297 881.7 | 5 041 260.1 | 1.1979 | |
| 5 | 298 238.1 | 5 041 594.1 | 198.693 | 2007-03-01 07 hr | 298 238.1 | 5 041 594.1 | 104.085 | 2007-03-01 07 hr | 297 810.4 | 5 041 193.2 | 1.1781 | |
| 6 | 298 095.6 | 5 041 460.5 | 197.718 | 2008-01-17 07 hr | 298 095.6 | 5 041 460.5 | 103.574 | 2008-01-17 07 hr | 297 774.7 | 5 041 159.8 | 1.1668 | |
| 7 | 298 273.8 | 5 041 627.5 | 197.084 | 2004-01-09 22 hr | 298 273.8 | 5 041 627.5 | 103.242 | 2004-01-09 22 hr | 297 846.0 | 5 041 226.7 | 1.1621 | |
| 8 | 298 202.5 | 5 041 560.7 | 196.627 | 2004-01-26 05 hr | 298 202.5 | 5 041 560.7 | 103.003 | 2004-01-26 05 hr | 298 243.3 | 5 041 393.7 | 1.1208 | |
| 9 | 298 345.1 | 5 041 694.3 | 187.715 | 2007-02-26 03 hr | 298 345.1 | 5 041 694.3 | 98.334 | 2007-02-26 03 hr | 297 739.1 | 5 041 126.4 | 1.1181 | |
| 10 | 298 769.1 | 5 041 549.2 | 187.317 | 2004-01-10 02 hr | 298 769.1 | 5 041 549.2 | 98.126 | 2004-01-10 02 hr | 298 059.9 | 5 041 427.1 | 1.0930 | |
| 11 | 298 717.1 | 5 041 605.0 | 186.705 | 2004-01-26 06 hr | 298 717.1 | 5 041 605.0 | 97.805 | 2004-01-26 06 hr | 298 017.1 | 5 041 405.0 | 1.0516 | |
| 12 | 298 698.8 | 5 041 618.9 | 186.284 | 2004-01-09 23 hr | 298 698.8 | 5 041 618.9 | 97.585 | 2004-01-09 23 hr | 297 703.5 | 5 041 093.0 | 1.0304 | |
| 13 | 298 804.3 | 5 041 514.4 | 181.983 | 2006-03-08 07 hr | 298 804.3 | 5 041 514.4 | 95.331 | 2006-03-08 07 hr | 298 095.6 | 5 041 460.5 | 1.0207 | |
| 14 | 298 217.1 | 5 041 605.0 | 181.190 | 2007-03-14 05 hr | 298 217.1 | 5 041 605.0 | 94.916 | 2007-03-14 05 hr | 298 804.3 | 5 041 514.4 | 1.0122 | |
| 15 | 298 663.6 | 5 041 653.7 | 180.664 | 2006-12-15 02 hr | 298 663.6 | 5 041 653.7 | 94.640 | 2006-12-15 02 hr | 298 817.1 | 5 041 505.0 | 1.0114 | |
| 16 | 298 733.9 | 5 041 584.0 | 180.077 | 2004-02-04 06 hr | 298 733.9 | 5 041 584.0 | 94.333 | 2004-02-04 06 hr | 298 839.5 | 5 041 479.5 | 1.0063 | |
| 17 | 298 628.4 | 5 041 686.6 | 178.519 | 2004-02-16 07 hr | 298 628.4 | 5 041 686.6 | 93.517 | 2004-02-16 07 hr | 298 769.1 | 5 041 549.2 | 0.9756 | |
| 18 | 298 817.1 | 5 041 505.0 | 177.722 | 2004-03-21 05 hr | 298 817.1 | 5 041 505.0 | 93.099 | 2004-03-21 05 hr | 298 733.9 | 5 041 584.0 | 0.9673 | |
| 19 | 298 380.7 | 5 041 727.7 | 176.912 | 2005-01-25 06 hr | 298 380.7 | 5 041 727.7 | 92.675 | 2005-01-25 06 hr | 297 683.8 | 5 041 167.5 | 0.9475 | |
| 20 | 298 839.5 | 5 041 479.5 | 175.254 | 2008-12-26 02 hr | 298 839.5 | 5 041 479.5 | 91.806 | 2008-12-26 02 hr | 298 717.1 | 5 041 605.0 | 0.9400 | |
| 21 | 298 392.1 | 5 041 771.5 | 169.231 | 2005-01-25 06 hr | 298 392.1 | 5 041 771.5 | 88.651 | 2005-01-25 06 hr | 297 850.5 | 5 041 355.0 | 0.9333 | |
| 22 | 298 117.1 | 5 041 605.0 | 169.103 | 2004-01-25 23 hr | 298 117.1 | 5 041 605.0 | 88.584 | 2004-01-25 23 hr | 298 874.7 | 5 041 444.7 | 0.9286 | |
| 23 | 298 817.1 | 5 041 605.0 | 168.806 | 2004-01-10 02 hr | 298 817.1 | 5 041 605.0 | 88.429 | 2004-01-10 02 hr | 297 667.8 | 5 041 099.6 | 0.9132 | |
| 24 | 298 059.9 | 5 041 427.1 | 168.248 | 2005-01-23 03 hr | 298 059.9 | 5 041 427.1 | 88.136 | 2005-01-23 03 hr | 298 698.8 | 5 041 618.9 | 0.9112 | |
| 25 | 298 416.4 | 5 041 761.1 | 166.516 | 2005-01-25 06 hr | 298 416.4 | 5 041 761.1 | 87.229 | 2005-01-25 06 hr | 298 909.9 | 5 041 409.8 | 0.8535 | |
| 26 | 298 874.7 | 5 041 444.7 | 166.130 | 2004-02-12 23 hr | 298 874.7 | 5 041 444.7 | 87.027 | 2004-02-12 23 hr | 298 917.1 | 5 041 405.0 | 0.8409 | |
| 27 | 298 558.0 | 5 041 758.3 | 166.075 | 2008-03-11 23 hr | 298 558.0 | 5 041 758.3 | 86.998 | 2008-03-11 23 hr | 298 131.2 | 5 041 493.9 | 0.8145 | |
| 28 | 298 452.0 | 5 041 794.5 | 162.450 | 2007-12-01 22 hr | 298 452.0 | 5 041 794.5 | 85.099 | 2007-12-01 22 hr | 298 945.0 | 5 041 375.0 | 0.8101 | |
| 29 | 298 522.8 | 5 041 793.1 | 160.292 | 2004-12-17 23 hr | 298 522.8 | 5 041 793.1 | 83.969 | 2004-12-17 23 hr | 298 917.1 | 5 041 505.0 | 0.8023 | |
| 30 | 298 909.9 | 5 041 409.8 | 158.696 | 2005-12-11 04 hr | 298 909.9 | 5 041 409.8 | 83.133 | 2005-12-11 04 hr | 298 817.1 | 5 041 605.0 | 0.7974 | |
| 31 | 298 917.1 | 5 041 405.0 | 156.813 | 2005-12-11 04 hr | 298 917.1 | 5 041 405.0 | 82.146 | 2005-12-11 04 hr | 298 017.1 | 5 041 505.0 | 0.7946 | |
| 32 | 298 487.6 | 5 041 828.0 | 156.656 | 2008-03-06 06 hr | 298 487.6 | 5 041 828.0 | 82.064 | 2008-03-06 06 hr | 298 663.6 | 5 041 653.7 | 0.7878 | |
| 33 | 298 917.1 | 5 041 505.0 | 155.970 | 2004-01-07 04 hr | 298 917.1 | 5 041 505.0 | 81.705 | 2004-01-07 04 hr | 297 632.2 | 5 041 026.2 | 0.7857 | |
| 34 | 298 767.1 | 5 041 771.5 | 151.580 | 2005-12-13 23 hr | 298 767.1 | 5 041 771.5 | 79.405 | 2005-12-13 23 hr | 298 980.2 | 5 041 340.1 | 0.7674 | |
| 35 | 298 593.2 | 5 041 723.4 | 151.073 | 2008-02-10 10 hr | 298 593.2 | 5 041 723.4 | 79.139 | 2008-02-10 10 hr | 298 117.1 | 5 041 505.0 | 0.7630 | |
| 36 | 298 579.6 | 5 041 771.5 | 150.994 | 2008-03-11 23 hr | 298 579.6 | 5 041 771.5 | 79.098 | 2008-03-11 23 hr | 299 015.4 | 5 041 305.3 | 0.7237 | |
| 37 | 298 017.1 | 5 041 505.0 | 150.197 | 2007-02-01 08 hr | 298 017.1 | 5 041 505.0 | 78.681 | 2007-02-01 08 hr | 299 017.1 | 5 041 305.0 | 0.7208 | |
| 38 | 298 945.0 | 5 041 375.0 | 149.923 | 2007-01-26 06 hr | 298 945.0 | 5 041 375.0 | 78.537 | 2007-01-26 06 hr | 298 917.1 | 5 041 605.0 | 0.7077 | |
| 39 | 298 204.6 | 5 041 771.5 | 149.711 | 2004-02-24 07 hr | 298 204.6 | 5 041 771.5 | 78.426 | 2004-02-24 07 hr | 297 517.1 | 5 041 167.5 | 0.6906 | |
| 40 | 298 917.1 | 5 041 605.0 | 148.125 | 2006-03-08 07 hr | 298 917.1 | 5 041 605.0 | 77.595 | 2006-03-08 07 hr | 299 017.1 | 5 041 405.0 | 0.6711 | |
| 41 | 298 017.1 | 5 041 605.0 | 147.766 | 2007-02-11 06 hr | 298 017.1 | 5 041 605. | | | | | | |

Concentrations maximales observées (Récepteurs sensibles et 50 valeurs maximales sur le territoire)

Scénario : Surélévation du LET - An 1 (2021)

Contaminant unitaire

| Concentration maximale horaire | | | | | Concentration maximale journalière | | | | | Concentration maximale annuelle | | |
|--|-----------|------------------------|------------|--------------------|------------------------------------|-------------|------------------------|------------------|-----------|---------------------------------|---------|------------------------|
| Coordonnées | | Concentration maximale | Date/Heure | | Coordonnées | | Concentration maximale | Date/Heure | | Coordonnées | | Concentration maximale |
| X | Y | 1h | | | X | Y | 24h | | | X | Y | 1 an |
| m | m | µg/m³ | | | m | m | µg/m³ | | | m | m | µg/m³ |
| Concentrations maximales aux récepteurs sensibles | | | | | | | | | | | | |
| Résidence 1 | 297 963.3 | 5 039 595.9 | 0.078 | 2006-11-26 10 hr | 297 963.3 | 5 039 595.9 | 0.0051 | 2006-06-15 24 hr | 297 963.3 | 5 039 595.9 | 0.00017 | |
| Résidence 2 | 297 725.6 | 5 039 663.5 | 0.075 | 2006-02-03 02 hr | 297 725.6 | 5 039 663.5 | 0.0047 | 2008-01-24 24 hr | 297 725.6 | 5 039 663.5 | 0.00023 | |
| Résidence 3 | 295 463.7 | 5 040 861.7 | 0.055 | 2004-02-28 03 hr | 295 463.7 | 5 040 861.7 | 0.0122 | 2004-02-28 24 hr | 295 463.7 | 5 040 861.7 | 0.00077 | |
| Résidence 4 | 295 189.0 | 5 040 197.6 | 0.044 | 2005-03-01 07 hr | 295 189.0 | 5 040 197.6 | 0.0062 | 2006-12-16 24 hr | 295 189.0 | 5 040 197.6 | 0.00039 | |
| Résidence 5 | 295 921.4 | 5 041 778.7 | 0.072 | 2007-02-19 04 hr | 295 921.4 | 5 041 778.7 | 0.0107 | 2005-03-22 24 hr | 295 921.4 | 5 041 778.7 | 0.00055 | |
| Résidence 6 | 296 442.0 | 5 042 171.2 | 0.154 | 2005-01-23 03 hr | 296 442.0 | 5 042 171.2 | 0.0134 | 2005-12-15 24 hr | 296 442.0 | 5 042 171.2 | 0.00064 | |
| Résidence 7 | 296 733.9 | 5 043 435.1 | 0.127 | 2008-12-26 06 hr | 296 733.9 | 5 043 435.1 | 0.0133 | 2006-12-14 24 hr | 296 733.9 | 5 043 435.1 | 0.00027 | |
| Résidence 8 | 297 941.7 | 5 044 440.8 | 0.086 | 2005-03-09 02 hr | 297 941.7 | 5 044 440.8 | 0.0055 | 2007-01-05 24 hr | 297 941.7 | 5 044 440.8 | 0.00015 | |
| Résidence 9 | 299 078.9 | 5 038 612.1 | 0.067 | 2007-01-26 05 hr | 299 078.9 | 5 038 612.1 | 0.0035 | 2004-03-27 24 hr | 299 078.9 | 5 038 612.1 | 0.00008 | |
| Résidence 10 | 299 619.9 | 5 039 202.9 | 0.085 | 2007-03-22 12 hr | 299 619.9 | 5 039 202.9 | 0.0086 | 2006-03-25 24 hr | 299 619.9 | 5 039 202.9 | 0.00013 | |
| Résidence 11 | 300 335.1 | 5 039 604.8 | 0.091 | 2008-12-11 02 hr | 300 335.1 | 5 039 604.8 | 0.0048 | 2004-02-02 24 hr | 300 335.1 | 5 039 604.8 | 0.00018 | |
| Résidence 12 | 301 012.5 | 5 040 182.3 | 0.132 | 2006-01-03 12 hr | 301 012.5 | 5 040 182.3 | 0.0086 | 2008-10-12 24 hr | 301 012.5 | 5 040 182.3 | 0.00036 | |
| Résidence 13 | 299 928.2 | 5 040 458.4 | 0.142 | 2006-01-03 12 hr | 299 928.2 | 5 040 458.4 | 0.0110 | 2006-01-03 24 hr | 299 928.2 | 5 040 458.4 | 0.00062 | |
| Résidence 14 | 300 199.7 | 5 040 642.5 | 0.141 | 2008-01-26 14 hr | 300 199.7 | 5 040 642.5 | 0.0131 | 2006-01-03 24 hr | 300 199.7 | 5 040 642.5 | 0.00092 | |
| Résidence 15 | 300 421.4 | 5 043 147.5 | 0.099 | 2004-02-02 08 hr | 300 421.4 | 5 043 147.5 | 0.0080 | 2006-10-17 24 hr | 300 421.4 | 5 043 147.5 | 0.00059 | |
| Résidence 16 | 298 614.0 | 5 044 089.6 | 0.108 | 2005-01-25 06 hr | 298 614.0 | 5 044 089.6 | 0.0053 | 2004-08-21 24 hr | 298 614.0 | 5 044 089.6 | 0.00020 | |
| Résidence 17 | 297 643.0 | 5 045 149.1 | 0.079 | 2004-01-09 22 hr | 297 643.0 | 5 045 149.1 | 0.0042 | 2004-01-15 24 hr | 297 643.0 | 5 045 149.1 | 0.00010 | |
| École primaire | 303 807.8 | 5 038 761.1 | 0.031 | 2004-11-12 11 hr | 303 807.8 | 5 038 761.1 | 0.0017 | 2004-11-12 24 hr | 303 807.8 | 5 038 761.1 | 0.00004 | |
| 50 concentrations maximales observées | | | | | | | | | | | | |
| 1 | 298 131.2 | 5 041 493.9 | 0.772 | 2007-02-11 05 hr | 298 166.8 | 5 041 527.3 | 0.1061 | 2006-12-14 24 hr | 297 953.0 | 5 041 326.9 | 0.00882 | |
| 2 | 298 166.8 | 5 041 527.3 | 0.746 | 2005-01-29 03 hr | 298 980.2 | 5 041 340.1 | 0.0913 | 2007-12-09 24 hr | 297 917.3 | 5 041 293.5 | 0.00843 | |
| 3 | 298 117.1 | 5 041 505.0 | 0.733 | 2007-02-11 05 hr | 298 874.7 | 5 041 444.7 | 0.0888 | 2006-12-12 24 hr | 297 988.6 | 5 041 360.3 | 0.00839 | |
| 4 | 298 202.5 | 5 041 560.7 | 0.687 | 2004-01-26 05 hr | 298 095.6 | 5 041 460.5 | 0.0874 | 2005-01-28 24 hr | 297 881.7 | 5 041 260.1 | 0.00768 | |
| 5 | 298 095.6 | 5 041 460.5 | 0.666 | 2008-01-17 07 hr | 298 945.0 | 5 041 375.0 | 0.0857 | 2007-12-09 24 hr | 298 024.3 | 5 041 393.7 | 0.00747 | |
| 6 | 298 117.1 | 5 041 605.0 | 0.603 | 2004-01-25 23 hr | 297 953.0 | 5 041 326.9 | 0.0826 | 2004-10-06 24 hr | 297 810.4 | 5 041 193.2 | 0.00741 | |
| 7 | 298 217.1 | 5 041 605.0 | 0.585 | 2008-03-11 24 hr | 298 839.5 | 5 041 479.5 | 0.0812 | 2006-12-12 24 hr | 297 846.0 | 5 041 226.7 | 0.00739 | |
| 8 | 298 238.1 | 5 041 594.1 | 0.575 | 2007-03-01 07 hr | 297 988.6 | 5 041 360.3 | 0.0799 | 2004-10-29 24 hr | 297 774.7 | 5 041 159.8 | 0.00735 | |
| 9 | 298 309.4 | 5 041 660.9 | 0.561 | 2004-01-14 23 hr | 298 917.1 | 5 041 505.0 | 0.0797 | 2006-12-12 24 hr | 298 059.9 | 5 041 427.1 | 0.00720 | |
| 10 | 298 273.8 | 5 041 627.5 | 0.556 | 2004-01-09 22 hr | 297 774.7 | 5 041 159.8 | 0.0789 | 2007-01-28 24 hr | 297 739.1 | 5 041 126.4 | 0.00717 | |
| 11 | 297 988.6 | 5 041 360.3 | 0.537 | 2005-01-31 03 hr | 298 117.1 | 5 041 605.0 | 0.0784 | 2006-12-14 24 hr | 298 017.1 | 5 041 405.0 | 0.00705 | |
| 12 | 298 024.3 | 5 041 393.7 | 0.535 | 2007-02-11 06 hr | 297 917.3 | 5 041 293.5 | 0.0779 | 2004-02-18 24 hr | 297 703.5 | 5 041 093.0 | 0.00678 | |
| 13 | 297 953.0 | 5 041 326.9 | 0.529 | 2005-12-16 05 hr | 298 131.2 | 5 041 493.9 | 0.0776 | 2007-02-11 24 hr | 298 839.5 | 5 041 479.5 | 0.00677 | |
| 14 | 298 017.1 | 5 041 605.0 | 0.527 | 2007-02-11 06 hr | 299 015.4 | 5 041 305.3 | 0.0768 | 2007-12-09 24 hr | 299 015.4 | 5 041 305.3 | 0.00673 | |
| 15 | 298 017.1 | 5 041 405.0 | 0.526 | 2007-02-11 05 hr | 299 017.1 | 5 041 305.0 | 0.0764 | 2007-12-09 24 hr | 299 017.1 | 5 041 305.0 | 0.00672 | |
| 16 | 297 917.3 | 5 041 293.5 | 0.525 | 2005-01-23 03 hr | 298 017.1 | 5 041 505.0 | 0.0757 | 2005-01-28 24 hr | 298 980.2 | 5 041 340.1 | 0.00668 | |
| 17 | 298 345.1 | 5 041 694.3 | 0.525 | 2007-02-26 03 hr | 297 810.4 | 5 041 193.2 | 0.0756 | 2007-01-28 24 hr | 298 095.6 | 5 041 460.5 | 0.00667 | |
| 18 | 298 769.1 | 5 041 549.2 | 0.523 | 2004-01-10 02 hr | 297 703.5 | 5 041 093.0 | 0.0752 | 2004-01-11 24 hr | 298 817.1 | 5 041 505.0 | 0.00665 | |
| 19 | 298 717.1 | 5 041 605.0 | 0.522 | 2004-01-26 06 hr | 299 121.0 | 5 041 200.8 | 0.0748 | 2007-12-09 24 hr | 298 874.7 | 5 041 444.7 | 0.00661 | |
| 20 | 298 698.8 | 5 041 618.9 | 0.521 | 2004-01-09 23 hr | 298 117.1 | 5 041 505.0 | 0.0738 | 2007-02-11 24 hr | 298 804.3 | 5 041 514.4 | 0.00661 | |
| 21 | 298 059.9 | 5 041 427.1 | 0.519 | 2007-03-10 06 hr | 297 739.1 | 5 041 126.4 | 0.0738 | 2007-01-28 24 hr | 298 945.0 | 5 041 375.0 | 0.00659 | |
| 22 | 298 804.3 | 5 041 514.4 | 0.509 | 2006-03-08 07 hr | 298 059.9 | 5 041 427.1 | 0.0732 | 2005-01-28 24 hr | 299 050.6 | 5 041 270.4 | 0.00656 | |
| 23 | 298 663.6 | 5 041 653.7 | 0.505 | 2006-12-15 02 hr | 299 017.1 | 5 041 405.0 | 0.0732 | 2007-12-09 24 hr | 298 909.9 | 5 041 409.8 | 0.00652 | |
| 24 | 298 733.9 | 5 041 584.0 | 0.503 | 2004-02-04 06 hr | 299 156.1 | 5 041 165.9 | 0.0717 | 2007-12-09 24 hr | 298 917.1 | 5 041 405.0 | 0.00650 | |
| 25 | 298 628.4 | 5 041 686.8 | 0.499 | 2004-02-16 07 hr | 299 183.8 | 5 041 230.0 | 0.0702 | 2007-12-09 24 hr | 298 769.1 | 5 041 549.2 | 0.00627 | |
| 26 | 298 817.1 | 5 041 505.0 | 0.497 | 2004-03-21 05 hr | 299 085.8 | 5 041 235.6 | 0.0693 | 2007-12-09 24 hr | 297 667.8 | 5 041 059.6 | 0.00623 | |
| 27 | 298 380.7 | 5 041 727.7 | 0.494 | 2005-01-25 06 hr | 298 917.1 | 5 041 405.0 | 0.0682 | 2007-12-09 24 hr | 299 085.8 | 5 041 235.6 | 0.00622 | |
| 28 | 298 839.5 | 5 041 479.5 | 0.490 | 2008-12-26 02 hr | 299 183.8 | 5 041 417.5 | 0.0675 | 2007-12-09 24 hr | 297 850.5 | 5 041 355.0 | 0.00614 | |
| 29 | 298 392.1 | 5 041 771.5 | 0.473 | 2005-01-25 06 hr | 299 050.6 | 5 041 270.4 | 0.0674 | 2007-12-09 24 hr | 298 733.9 | 5 041 584.0 | 0.00611 | |
| 30 | 298 817.1 | 5 041 605.0 | 0.472 | 2004-01-10 02 hr | 298 202.5 | 5 041 560.7 | 0.0672 | 2004-03-29 24 hr | 297 683.8 | 5 041 167.5 | 0.00606 | |
| 31 | 298 017.1 | 5 041 505.0 | 0.471 | 2014-12-16 24 hr | 298 024.3 | 5 041 393.7 | 0.0670 | 2004-10-29 24 hr | 298 717.1 | 5 041 605.0 | 0.00590 | |
| 32 | 298 416.4 | 5 041 761.1 | 0.465 | 2005-01-25 06 hr | 297 683.8 | 5 041 167.5 | 0.0669 | 2007-01-28 24 hr | 299 121.0 | 5 041 200.8 | 0.00588 | |
| 33 | 298 874.7 | 5 041 444.7 | 0.464 | 2004-02-12 23 hr | 297 667.8 | 5 041 059.6 | 0.0667 | 2004-01-11 24 hr | 298 698.8 | 5 041 618.9 | 0.00570 | |
| 34 | 298 558.0 | 5 041 758.3 | 0.464 | 2008-03-11 23 hr | 298 804.3 | 5 041 514.4 | 0.0663 | 2008-02-21 24 hr | 298 917.1 | 5 041 505.0 | 0.00568 | |
| 35 | 298 452.0 | 5 041 794.5 | 0.454 | 2007-12-01 22 hr | 298 733.9 | 5 041 584.0 | 0.0662 | 2006-10-17 24 hr | 299 017.1 | 5 041 405.0 | 0.00566 | |
| 36 | 297 850.5 | 5 041 355.0 | 0.453 | 2005-01-23 03 hr | 297 850.5 | 5 041 355.0 | 0.0662 | 2004-02-18 24 hr | 299 157.2 | 5 041 075.8 | 0.00565 | |
| 37 | 298 522.8 | 5 041 793.1 | 0.448 | 2004-12-17 23 hr | 298 698.8 | 5 041 618.9 | 0.0652 | 2005-10-22 24 hr | 299 157.6 | 5 041 109.9 | 0.00564 | |
| 38 | 298 909.9 | 5 041 409.8 | 0.443 | 2005-12-11 04 hr | 297 875.2 | 5 040 720.9 | 0.0649 | 2006-01-09 24 hr | 299 155.4 | 5 041 037.8 | 0.00562 | |
| 39 | 298 017.1 | 5 041 771.5 | 0.442 | 2004-01-25 23 hr | 299 156.8 | 5 041 137.9 | 0.0645 | 2007-12-09 24 hr | 299 156.8 | 5 041 137.9 | 0.00560 | |
| 40 | 298 204.6 | 5 041 771.5 | 0.441 | 2007-03-01 07 hr | 298 909.9 | 5 041 409.8 | 0.0643 | 2007-12-09 24 hr | 297 632.2 | 5 041 026.2 | 0.00559 | |
| 41 | 298 917.1 | 5 041 405.0 | 0.438 | 2005-12-11 04 hr</ | | | | | | | | |

Concentrations maximales observées (Récepteurs sensibles et 50 valeurs maximales sur le territoire)

Scénario : Surélévation du LET - An 1 (2021)

Odeurs

| Concentrations maximales horaires | | | | | | | | |
|--|-----------|-------------|---------------|--------|-------------|-------------|-------------|---------|
| Coordonnées | | | 99.5e centile | | Coordonnées | | 98e centile | |
| | X | Y | 4 min | 1h | X | Y | 4 min | 1h |
| | m | m | µg/m³ | µg/m³ | m | m | µg/m³ | µg/m³ |
| Concentrations maximales aux récepteurs sensibles | | | | | | | | |
| Résidence 1 | 297 963.3 | 5 039 595.9 | 1.542 | 0.808 | 297 963.3 | 5 039 595.9 | 0.238 | 0.1245 |
| Résidence 2 | 297 725.6 | 5 039 663.5 | 2.376 | 1.245 | 297 725.6 | 5 039 663.5 | 0.432 | 0.2262 |
| Résidence 3 | 295 463.7 | 5 040 861.7 | 3.405 | 1.784 | 295 463.7 | 5 040 861.7 | 0.663 | 0.3473 |
| Résidence 4 | 295 189.0 | 5 040 197.6 | 2.203 | 1.154 | 295 189.0 | 5 040 197.6 | 0.360 | 0.1887 |
| Résidence 5 | 295 921.4 | 5 041 778.7 | 1.500 | 0.786 | 295 921.4 | 5 041 778.7 | 0.187 | 0.0977 |
| Résidence 6 | 296 442.0 | 5 042 171.2 | 3.364 | 1.762 | 296 442.0 | 5 042 171.2 | 0.163 | 0.0855 |
| Résidence 7 | 296 733.9 | 5 043 435.1 | 0.643 | 0.337 | 296 733.9 | 5 043 435.1 | 0.015 | 0.0081 |
| Résidence 8 | 297 941.7 | 5 044 440.8 | 0.308 | 0.161 | 297 941.7 | 5 044 440.8 | 0.001 | 0.0004 |
| Résidence 9 | 299 078.9 | 5 038 612.1 | 0.171 | 0.089 | 299 078.9 | 5 038 612.1 | 0.000 | 0.0001 |
| Résidence 10 | 299 619.9 | 5 039 202.9 | 0.536 | 0.281 | 299 619.9 | 5 039 202.9 | 0.054 | 0.0285 |
| Résidence 11 | 300 335.1 | 5 039 604.8 | 0.692 | 0.362 | 300 335.1 | 5 039 604.8 | 0.133 | 0.0694 |
| Résidence 12 | 301 012.5 | 5 040 182.3 | 2.084 | 1.092 | 301 012.5 | 5 040 182.3 | 0.298 | 0.1561 |
| Résidence 13 | 299 928.2 | 5 040 458.4 | 8.085 | 4.235 | 299 928.2 | 5 040 458.4 | 1.256 | 0.6582 |
| Résidence 14 | 300 199.7 | 5 040 642.5 | 7.259 | 3.802 | 300 199.7 | 5 040 642.5 | 1.225 | 0.6419 |
| Résidence 15 | 300 421.4 | 5 043 147.5 | 2.194 | 1.149 | 300 421.4 | 5 043 147.5 | 0.295 | 0.1546 |
| Résidence 16 | 298 614.0 | 5 044 089.6 | 0.545 | 0.285 | 298 614.0 | 5 044 089.6 | 0.017 | 0.0087 |
| Résidence 17 | 297 643.0 | 5 045 149.1 | 0.189 | 0.099 | 297 643.0 | 5 045 149.1 | 0.000 | 0.0001 |
| École primaire | 303 807.8 | 5 038 761.1 | 0.133 | 0.070 | 303 807.8 | 5 038 761.1 | 0.023 | 0.0118 |
| 50 concentrations maximales observées | | | | | | | | |
| 1 | 299 077.9 | 5 040 711.4 | 53.492 | 28.022 | 299 077.9 | 5 040 711.4 | 29.434 | 15.4190 |
| 2 | 299 087.4 | 5 040 736.6 | 52.922 | 27.723 | 299 087.4 | 5 040 736.6 | 29.021 | 15.2024 |
| 3 | 299 096.9 | 5 040 761.8 | 51.446 | 26.950 | 299 066.2 | 5 040 683.9 | 27.723 | 14.5228 |
| 4 | 299 066.2 | 5 040 683.9 | 51.159 | 26.799 | 299 096.9 | 5 040 761.8 | 27.542 | 14.4278 |
| 5 | 299 110.1 | 5 040 803.7 | 48.756 | 25.541 | 299 110.1 | 5 040 803.7 | 25.049 | 13.1219 |
| 6 | 299 054.5 | 5 040 656.4 | 47.326 | 24.792 | 299 054.5 | 5 040 656.4 | 24.606 | 12.8898 |
| 7 | 299 117.3 | 5 040 829.3 | 46.100 | 24.149 | 299 117.3 | 5 040 829.3 | 23.179 | 12.1424 |
| 8 | 299 124.5 | 5 040 854.9 | 43.708 | 22.896 | 299 124.5 | 5 040 854.9 | 21.540 | 11.2836 |
| 9 | 299 130.5 | 5 040 880.7 | 42.215 | 22.114 | 299 130.5 | 5 040 880.7 | 19.926 | 10.4381 |
| 10 | 299 034.3 | 5 040 616.1 | 40.968 | 21.461 | 299 034.3 | 5 040 616.1 | 19.640 | 10.2885 |
| 11 | 299 136.6 | 5 040 906.5 | 39.948 | 20.927 | 299 136.6 | 5 040 906.5 | 17.800 | 9.3244 |
| 12 | 299 141.5 | 5 040 935.3 | 37.334 | 19.557 | 299 141.5 | 5 040 935.3 | 16.615 | 8.7038 |
| 13 | 299 183.8 | 5 040 855.0 | 36.800 | 19.278 | 299 183.8 | 5 040 855.0 | 16.354 | 8.5669 |
| 14 | 299 022.4 | 5 040 593.7 | 35.895 | 18.804 | 299 022.4 | 5 040 593.7 | 16.286 | 8.5314 |
| 15 | 299 146.4 | 5 040 964.2 | 35.217 | 18.448 | 299 146.4 | 5 040 964.2 | 15.159 | 7.9412 |
| 16 | 299 150.1 | 5 040 987.5 | 34.114 | 17.871 | 299 150.1 | 5 040 987.5 | 13.926 | 7.2952 |
| 17 | 299 152.7 | 5 041 012.7 | 32.858 | 17.212 | 299 010.5 | 5 040 571.2 | 13.728 | 7.1912 |
| 18 | 299 183.8 | 5 040 667.5 | 31.706 | 16.609 | 299 183.8 | 5 040 667.5 | 13.432 | 7.0365 |
| 19 | 299 155.4 | 5 041 037.8 | 30.635 | 16.048 | 299 152.7 | 5 041 012.7 | 12.880 | 6.7470 |
| 20 | 299 157.2 | 5 041 075.8 | 29.178 | 15.285 | 298 986.0 | 5 040 531.5 | 11.119 | 5.8247 |
| 21 | 299 183.8 | 5 041 042.5 | 29.105 | 15.247 | 299 155.4 | 5 041 037.8 | 11.104 | 5.8167 |
| 22 | 299 010.5 | 5 040 571.2 | 29.051 | 15.218 | 299 183.8 | 5 041 042.5 | 10.534 | 5.5182 |
| 23 | 299 157.6 | 5 041 109.9 | 27.582 | 14.449 | 297 979.7 | 5 040 618.9 | 10.367 | 5.4307 |
| 24 | 299 156.8 | 5 041 137.9 | 25.173 | 13.187 | 298 014.5 | 5 040 584.9 | 10.343 | 5.4179 |
| 25 | 299 350.5 | 5 040 855.0 | 24.940 | 13.065 | 298 049.4 | 5 040 550.9 | 10.177 | 5.3315 |
| 26 | 299 156.1 | 5 041 165.9 | 23.603 | 12.364 | 297 944.9 | 5 040 652.9 | 9.949 | 5.2120 |
| 27 | 298 986.0 | 5 040 531.5 | 22.450 | 11.760 | 298 084.2 | 5 040 516.9 | 9.800 | 5.1336 |
| 28 | 299 350.5 | 5 041 042.5 | 21.548 | 11.288 | 298 119.0 | 5 040 482.9 | 9.668 | 5.0644 |
| 29 | 299 121.0 | 5 041 200.8 | 21.498 | 11.262 | 297 910.0 | 5 040 686.9 | 9.549 | 5.0023 |
| 30 | 298 971.5 | 5 040 508.2 | 21.441 | 11.232 | 298 971.5 | 5 040 508.2 | 9.483 | 4.9679 |
| 31 | 299 350.5 | 5 040 667.5 | 21.005 | 11.003 | 297 875.2 | 5 040 720.9 | 9.039 | 4.7350 |
| 32 | 298 960.8 | 5 040 492.5 | 20.717 | 10.853 | 299 157.2 | 5 041 075.8 | 8.886 | 4.6551 |
| 33 | 298 223.5 | 5 040 381.0 | 20.247 | 10.607 | 298 960.8 | 5 040 492.5 | 8.781 | 4.5998 |
| 34 | 298 940.8 | 5 040 464.5 | 19.824 | 10.385 | 297 850.5 | 5 040 605.0 | 8.495 | 4.4504 |
| 35 | 299 085.8 | 5 041 235.6 | 19.600 | 10.268 | 298 153.9 | 5 040 448.9 | 8.232 | 4.3123 |
| 36 | 299 183.8 | 5 041 230.0 | 19.462 | 10.195 | 297 840.4 | 5 040 754.9 | 8.112 | 4.2493 |
| 37 | 298 258.4 | 5 040 347.0 | 19.347 | 10.135 | 299 157.6 | 5 041 109.9 | 7.562 | 3.9612 |
| 38 | 298 188.7 | 5 040 415.0 | 19.311 | 10.116 | 298 940.8 | 5 040 464.5 | 7.316 | 3.8324 |
| 39 | 298 920.9 | 5 040 436.6 | 18.861 | 9.880 | 299 350.5 | 5 040 855.0 | 7.265 | 3.8056 |
| 40 | 298 293.2 | 5 040 313.0 | 18.491 | 9.686 | 299 350.5 | 5 040 667.5 | 7.053 | 3.6947 |
| 41 | 298 153.9 | 5 040 448.9 | 18.379 | 9.628 | 298 188.7 | 5 040 415.0 | 6.832 | 3.5788 |
| 42 | 298 328.0 | 5 040 279.0 | 17.877 | 9.365 | 297 805.5 | 5 040 788.9 | 6.751 | 3.5365 |
| 43 | 299 517.1 | 5 040 855.0 | 17.687 | 9.266 | 298 079.6 | 5 040 438.5 | 6.716 | 3.5182 |
| 44 | 298 119.0 | 5 040 482.9 | 17.686 | 9.265 | 299 350.5 | 5 041 042.5 | 6.291 | 3.2955 |
| 45 | 298 084.2 | 5 040 516.9 | 17.196 | 9.008 | 297 683.8 | 5 040 605.0 | 6.190 | 3.2425 |
| 46 | 298 049.4 | 5 040 550.9 | 16.802 | 8.802 | 299 156.8 | 5 041 137.9 | 6.166 | 3.2300 |
| 47 | 299 050.6 | 5 041 270.4 | 16.501 | 8.644 | 298 223.5 | 5 040 381.0 | 5.985 | 3.1353 |
| 48 | 299 350.5 | 5 041 230.0 | 16.453 | 8.619 | 298 920.9 | 5 040 436.6 | 5.870 | 3.0751 |
| 49 | 298 079.6 | 5 040 438.5 | 16.159 | 8.465 | 297 770.7 | 5 040 822.9 | 5.618 | 2.9431 |
| 50 | 298 014.5 | 5 040 584.9 | 15.943 | 8.352 | 297 683.8 | 5 040 792.5 | 5.560 | 2.9127 |

Scénario :
Surélévation du LET
An 1 (2021)

| Récepteur | Odeurs 99.5 centile | Odeurs 98e centile | SRT totaux | Hydrogen sulfide | | Dimethyl sulfide | | Ethyl mercaptan | |
|-----------------------------|------------------------|-----------------------|------------|------------------|-----------|------------------|-----------|-----------------|-----------|
| | 1 h | 1 h | Annuel | 4 min | Annuel | 4 min | Annuel | 4 min | Annuel |
| Récepteurs sensibles | | | | | | | | | |
| Résidence 1 | 8.079E-01 | 1.245E-01 | 1.567E-02 | 2.799E+01 | 1.537E-02 | 2.151E-01 | 2.454E-04 | 7.528E-03 | 8.588E-06 |
| Résidence 2 | 1.245E+00 | 2.262E-01 | 1.676E-02 | 2.687E+01 | 1.637E-02 | 2.064E-01 | 3.253E-04 | 7.224E-03 | 1.139E-05 |
| Résidence 3 | 1.784E+00 | 3.473E-01 | 9.095E-02 | 1.830E+01 | 8.960E-02 | 1.503E-01 | 1.107E-03 | 5.261E-03 | 3.875E-05 |
| Résidence 4 | 1.154E+00 | 1.887E-01 | 4.432E-02 | 1.494E+01 | 4.363E-02 | 1.201E-01 | 5.607E-04 | 4.204E-03 | 1.963E-05 |
| Résidence 5 | 7.859E-01 | 9.773E-02 | 7.775E-02 | 1.994E+01 | 7.678E-02 | 1.969E-01 | 7.932E-04 | 6.890E-03 | 2.776E-05 |
| Résidence 6 | 1.762E+00 | 8.552E-02 | 8.122E-02 | 3.802E+01 | 8.010E-02 | 4.219E-01 | 9.164E-04 | 1.477E-02 | 3.208E-05 |
| Résidence 7 | 3.370E-01 | 8.093E-03 | 3.483E-02 | 3.319E+01 | 3.435E-02 | 3.484E-01 | 3.906E-04 | 1.219E-02 | 1.367E-05 |
| Résidence 8 | 1.612E-01 | 4.184E-04 | 1.926E-02 | 2.935E+01 | 1.901E-02 | 2.372E-01 | 2.098E-04 | 8.304E-03 | 7.344E-06 |
| Résidence 9 | 8.935E-02 | 6.942E-05 | 9.284E-03 | 2.007E+01 | 9.150E-03 | 1.839E-01 | 1.098E-04 | 6.436E-03 | 3.844E-06 |
| Résidence 10 | 2.808E-01 | 2.853E-02 | 1.441E-02 | 2.087E+01 | 4.191E-02 | 2.344E-01 | 1.828E-04 | 8.205E-03 | 6.396E-06 |
| Résidence 11 | 3.623E-01 | 6.941E-02 | 1.981E-02 | 2.039E+01 | 1.950E-02 | 2.499E-01 | 2.534E-04 | 8.748E-03 | 8.868E-06 |
| Résidence 12 | 1.092E-00 | 1.561E-01 | 3.136E-02 | 2.802E+01 | 3.073E-02 | 3.613E-01 | 5.197E-04 | 1.264E-02 | 1.819E-05 |
| Résidence 13 | 4.235E+00 | 6.582E-01 | 4.803E-02 | 2.582E+01 | 4.695E-02 | 3.882E-01 | 8.853E-04 | 1.359E-02 | 3.099E-05 |
| Résidence 14 | 3.802E+00 | 6.419E-01 | 9.170E-02 | 3.745E+01 | 9.009E-02 | 3.865E-01 | 1.318E-03 | 1.353E-02 | 4.613E-05 |
| Résidence 15 | 1.149E+00 | 1.546E-01 | 7.460E-02 | 3.541E+01 | 7.356E-02 | 2.714E-01 | 8.528E-04 | 9.501E-03 | 2.985E-05 |
| Résidence 16 | 2.855E-01 | 8.743E-03 | 2.697E-02 | 3.814E+01 | 2.662E-02 | 2.966E-01 | 2.813E-04 | 1.038E-02 | 9.845E-06 |
| Résidence 17 | 9.911E-02 | 5.100E-05 | 1.390E-02 | 2.563E+01 | 1.372E-02 | 2.165E-01 | 1.489E-04 | 7.578E-03 | 5.211E-06 |
| École primaire | 6.980E-02 | 1.184E-02 | 5.341E-03 | 8.866E+00 | 5.267E-03 | 8.403E-02 | 6.053E-05 | 2.941E-03 | 2.119E-06 |
| 50 maximums observés | | | | | | | | | |
| 1 | 2.802E+01 | 1.542E+01 | 1.384E+00 | 2.269E+02 | 1.368E+00 | 2.117E+00 | 1.268E-02 | 7.409E-02 | 4.437E-04 |
| 2 | 2.772E+01 | 1.520E+01 | 1.330E+00 | 2.160E+02 | 1.315E+00 | 2.048E+00 | 1.211E-02 | 7.167E-02 | 4.240E-04 |
| 3 | 2.695E+01 | 1.452E+01 | 1.296E+00 | 2.148E+02 | 1.282E+00 | 2.010E+00 | 1.205E-02 | 7.036E-02 | 4.219E-04 |
| 4 | 2.680E+01 | 1.443E+01 | 1.211E+00 | 2.006E+02 | 1.198E+00 | 1.886E+00 | 1.104E-02 | 6.601E-02 | 3.863E-04 |
| 5 | 2.554E+01 | 1.312E+01 | 1.191E+00 | 1.987E+02 | 1.178E+00 | 1.827E+00 | 1.073E-02 | 6.394E-02 | 3.757E-04 |
| 6 | 2.479E+01 | 1.289E+01 | 1.180E+00 | 1.977E+02 | 1.167E+00 | 1.654E+00 | 1.065E-02 | 5.788E-02 | 3.728E-04 |
| 7 | 2.415E+01 | 1.214E+01 | 1.175E+00 | 1.971E+02 | 1.162E+00 | 1.606E+00 | 1.062E-02 | 5.622E-02 | 3.717E-04 |
| 8 | 2.290E+01 | 1.128E+01 | 1.134E+00 | 1.966E+02 | 1.121E+00 | 1.577E+00 | 1.057E-02 | 5.520E-02 | 3.699E-04 |
| 9 | 2.211E+01 | 1.044E+01 | 1.131E+00 | 1.877E+02 | 1.118E+00 | 1.538E+00 | 1.034E-02 | 5.383E-02 | 3.620E-04 |
| 10 | 2.146E+01 | 1.029E+01 | 1.106E+00 | 1.873E+02 | 1.093E+00 | 1.526E+00 | 1.030E-02 | 5.341E-02 | 3.606E-04 |
| 11 | 2.093E+01 | 9.324E+00 | 1.064E+00 | 1.867E+02 | 1.052E+00 | 1.473E+00 | 1.014E-02 | 5.156E-02 | 3.548E-04 |
| 12 | 1.956E+01 | 8.704E+00 | 1.042E+00 | 1.863E+02 | 1.030E+00 | 1.469E+00 | 9.748E-03 | 5.140E-02 | 3.412E-04 |
| 13 | 1.928E+01 | 8.567E+00 | 1.033E+00 | 1.820E+02 | 1.021E+00 | 1.452E+00 | 9.723E-03 | 5.084E-02 | 3.403E-04 |
| 14 | 1.880E+01 | 8.531E+00 | 1.024E+00 | 1.812E+02 | 1.012E+00 | 1.446E+00 | 9.678E-03 | 5.060E-02 | 3.387E-04 |
| 15 | 1.845E+01 | 7.941E+00 | 1.023E+00 | 1.807E+02 | 1.011E+00 | 1.442E+00 | 9.653E-03 | 5.047E-02 | 3.379E-04 |
| 16 | 1.787E+01 | 7.295E+00 | 1.018E+00 | 1.801E+02 | 1.006E+00 | 1.440E+00 | 9.598E-03 | 5.040E-02 | 3.359E-04 |
| 17 | 1.721E+01 | 7.191E+00 | 9.874E-01 | 1.785E+02 | 9.756E-01 | 1.439E+00 | 9.584E-03 | 5.037E-02 | 3.354E-04 |
| 18 | 1.661E+01 | 7.036E+00 | 9.790E-01 | 1.777E+02 | 9.673E-01 | 1.436E+00 | 9.560E-03 | 5.026E-02 | 3.346E-04 |
| 19 | 1.605E+01 | 6.747E+00 | 9.591E-01 | 1.769E+02 | 9.475E-01 | 1.431E+00 | 9.502E-03 | 5.009E-02 | 3.326E-04 |
| 20 | 1.528E+01 | 5.825E+00 | 9.516E-01 | 1.753E+02 | 9.400E-01 | 1.428E+00 | 9.495E-03 | 4.998E-02 | 3.323E-04 |
| 21 | 1.525E+01 | 5.817E+00 | 9.448E-01 | 1.692E+02 | 9.333E-01 | 1.423E+00 | 9.467E-03 | 4.979E-02 | 3.314E-04 |
| 22 | 1.522E+01 | 5.518E+00 | 9.402E-01 | 1.691E+02 | 9.286E-01 | 1.395E+00 | 9.425E-03 | 4.883E-02 | 3.299E-04 |
| 23 | 1.445E+01 | 5.431E+00 | 9.247E-01 | 1.688E+02 | 9.132E-01 | 1.385E+00 | 9.369E-03 | 4.847E-02 | 3.279E-04 |
| 24 | 1.319E+01 | 5.418E+00 | 9.226E-01 | 1.682E+02 | 9.112E-01 | 1.380E+00 | 9.339E-03 | 4.832E-02 | 3.269E-04 |
| 25 | 1.306E+01 | 5.331E+00 | 8.646E-01 | 1.665E+02 | 8.535E-01 | 1.368E+00 | 9.014E-03 | 4.790E-02 | 3.155E-04 |
| 26 | 1.236E+01 | 5.212E+00 | 8.519E-01 | 1.661E+02 | 8.409E-01 | 1.362E+00 | 8.946E-03 | 4.768E-02 | 3.131E-04 |
| 27 | 1.176E+01 | 5.134E+00 | 8.254E-01 | 1.661E+02 | 8.145E-01 | 1.356E+00 | 8.936E-03 | 4.747E-02 | 3.128E-04 |
| 28 | 1.129E+01 | 5.064E+00 | 8.209E-01 | 1.624E+02 | 8.101E-01 | 1.343E+00 | 8.824E-03 | 4.702E-02 | 3.088E-04 |
| 29 | 1.126E+01 | 5.002E+00 | 8.130E-01 | 1.603E+02 | 8.023E-01 | 1.297E+00 | 8.782E-03 | 4.541E-02 | 3.074E-04 |
| 30 | 1.123E+01 | 4.968E+00 | 8.080E-01 | 1.587E+02 | 7.974E-01 | 1.294E+00 | 8.710E-03 | 4.529E-02 | 3.049E-04 |
| 31 | 1.100E+01 | 4.735E+00 | 8.050E-01 | 1.568E+02 | 7.946E-01 | 1.292E+00 | 8.479E-03 | 4.521E-02 | 2.968E-04 |
| 32 | 1.085E+01 | 4.655E+00 | 7.981E-01 | 1.567E+02 | 7.878E-01 | 1.277E+00 | 8.450E-03 | 4.468E-02 | 2.958E-04 |
| 33 | 1.061E+01 | 4.600E+00 | 7.957E-01 | 1.560E+02 | 7.857E-01 | 1.273E+00 | 8.198E-03 | 4.457E-02 | 2.870E-04 |
| 34 | 1.038E+01 | 4.450E+00 | 7.773E-01 | 1.516E+02 | 7.674E-01 | 1.273E+00 | 8.165E-03 | 4.456E-02 | 2.858E-04 |
| 35 | 1.027E+01 | 4.312E+00 | 7.729E-01 | 1.511E+02 | 7.630E-01 | 1.245E+00 | 8.136E-03 | 4.359E-02 | 2.848E-04 |
| 36 | 1.020E+01 | 4.249E+00 | 7.337E-01 | 1.510E+02 | 7.237E-01 | 1.243E+00 | 8.122E-03 | 4.352E-02 | 2.843E-04 |
| 37 | 1.013E+01 | 3.961E+00 | 7.307E-01 | 1.502E+02 | 7.208E-01 | 1.229E+00 | 8.105E-03 | 4.301E-02 | 2.837E-04 |
| 38 | 1.012E+01 | 3.832E+00 | 7.176E-01 | 1.499E+02 | 7.077E-01 | 1.217E+00 | 8.083E-03 | 4.258E-02 | 2.829E-04 |
| 39 | 9.880E+00 | 3.806E+00 | 7.004E-01 | 1.497E+02 | 6.906E-01 | 1.214E+00 | 8.050E-03 | 4.248E-02 | 2.817E-04 |
| 40 | 9.686E+00 | 3.695E+00 | 6.809E-01 | 1.481E+02 | 6.711E-01 | 1.211E+00 | 8.035E-03 | 4.237E-02 | 2.812E-04 |
| 41 | 9.628E+00 | 3.579E+00 | 6.768E-01 | 1.478E+02 | 6.670E-01 | 1.202E+00 | 8.028E-03 | 4.207E-02 | 2.810E-04 |
| 42 | 9.365E+00 | 3.536E+00 | 6.759E-01 | 1.437E+02 | 6.662E-01 | 1.201E+00 | 7.955E-03 | 4.203E-02 | 2.784E-04 |
| 43 | 9.266E+00 | 3.518E+00 | 6.569E-01 | 1.433E+02 | 6.472E-01 | 1.196E+00 | 7.916E-03 | 4.185E-02 | 2.771E-04 |
| 44 | 9.265E+00 | 3.296E+00 | 6.543E-01 | 1.428E+02 | 6.448E-01 | 1.162E+00 | 7.803E-03 | 4.067E-02 | 2.731E-04 |
| 45 | 9.008E+00 | 3.243E+00 | 6.442E-01 | 1.415E+02 | 6.347E-01 | 1.158E+00 | 7.791E-03 | 4.053E-02 | 2.727E-04 |
| 46 | 8.802E+00 | 3.230E+00 | 6.259E-01 | 1.407E+02 | 6.165E-01 | 1.157E+00 | 7.658E-03 | 4.051E-02 | 2.680E-04 |
| 47 | 8.644E+00 | 3.135E+00 | 6.169E-01 | 1.390E+02 | 6.076E-01 | 1.149E+00 | 7.639E-03 | 4.023E-02 | 2.674E-04 |
| 48 | 8.619E+00 | 3.075E+00 | 6.103E-01 | 1.370E+02 | 6.011E-01 | 1.135E+00 | 7.553E-03 | 3.974E-02 | 2.644E-04 |
| 49 | 8.465E+00 | 2.943E+00 | 6.070E-01 | 1.365E+02 | 5.979E-01 | 1.113E+00 | 7.487E-03 | 3.894E-02 | 2.621E-04 |
| 50 | 8.352E+00 | 2.913E+00 | 5.922E-01 | 1.354E+02 | 5.831E-01 | 1.085E+00 | 7.451E-03 | 3.796E-02 | 2.608E-04 |

Scénario :
Surélévation du LET
An 1 (2021)

| Récepteur | Methyl mercaptan | | 1,1,1-Trichloroethane (methyl chloroform) | 1,1,2,2-Tetrachloroethane | 1,1-Dichloroethane (ethylidene dichloride) | | 1,1-Dichloroethène (vinylidène chloride) | 1-2 Dichloroethane (ethylene dichloride) | 1,2-Dichloropropane (propylene dichloride) | 2-Propanol |
|-----------------------------|------------------|-----------|---|---------------------------|--|-----------|--|--|--|------------|
| | 4 min | Annuel | 1 h | Annuel | 1 h | Annuel | Annuel | Annuel | Annuel | |
| Récepteurs sensibles | | | | | | | | | | |
| Résidence 1 | 4.032E-02 | 4.600E-05 | 1.470E+01 | 1.300E-04 | 1.127E-01 | 1.436E-04 | 1.082E-05 | 1.098E-05 | 1.419E-05 | 6.618E-02 |
| Résidence 2 | 3.869E-02 | 6.099E-05 | 1.410E+01 | 1.724E-04 | 1.081E-01 | 1.905E-04 | 1.435E-05 | 1.456E-05 | 1.881E-05 | 6.351E-02 |
| Résidence 3 | 2.818E-02 | 2.076E-04 | 1.027E+01 | 5.866E-04 | 7.874E-02 | 6.482E-04 | 4.885E-05 | 4.954E-05 | 6.402E-05 | 4.625E-02 |
| Résidence 4 | 2.252E-02 | 1.051E-04 | 8.209E+00 | 2.971E-04 | 6.292E-02 | 3.283E-04 | 2.474E-05 | 2.509E-05 | 3.242E-05 | 3.696E-02 |
| Résidence 5 | 3.690E-02 | 1.487E-04 | 1.345E+01 | 4.203E-04 | 1.031E-01 | 4.644E-04 | 3.499E-05 | 3.549E-05 | 4.587E-05 | 6.058E-02 |
| Résidence 6 | 7.908E-02 | 1.718E-04 | 2.883E+01 | 4.855E-04 | 2.210E-01 | 5.365E-04 | 4.043E-05 | 4.100E-05 | 5.299E-05 | 1.298E-01 |
| Résidence 7 | 6.531E-02 | 7.323E-05 | 2.381E+01 | 2.070E-04 | 1.825E-01 | 2.287E-04 | 1.723E-05 | 1.748E-05 | 2.259E-05 | 1.072E-01 |
| Résidence 8 | 4.447E-02 | 3.933E-05 | 1.621E+01 | 1.112E-04 | 1.243E-01 | 1.228E-04 | 9.256E-06 | 9.387E-06 | 1.213E-05 | 7.300E-02 |
| Résidence 9 | 3.447E-02 | 2.059E-05 | 1.257E+01 | 5.819E-05 | 9.632E-02 | 6.430E-05 | 4.846E-06 | 4.914E-06 | 6.351E-06 | 5.658E-02 |
| Résidence 10 | 4.394E-02 | 3.426E-05 | 1.602E+01 | 9.682E-05 | 1.228E-01 | 1.070E-04 | 8.062E-06 | 8.177E-06 | 1.057E-05 | 7.213E-02 |
| Résidence 11 | 4.685E-02 | 4.750E-05 | 1.708E+01 | 1.342E-04 | 1.309E-01 | 1.483E-04 | 1.118E-05 | 1.134E-05 | 1.465E-05 | 7.691E-02 |
| Résidence 12 | 6.772E-02 | 9.743E-05 | 2.469E+01 | 2.754E-04 | 1.892E-01 | 3.043E-04 | 2.293E-05 | 2.325E-05 | 3.005E-05 | 1.112E-01 |
| Résidence 13 | 7.277E-02 | 1.660E-04 | 2.653E+01 | 4.691E-04 | 2.034E-01 | 5.183E-04 | 3.906E-05 | 3.961E-05 | 5.119E-05 | 1.195E-01 |
| Résidence 14 | 7.244E-02 | 2.471E-04 | 2.641E+01 | 6.982E-04 | 2.024E-01 | 7.715E-04 | 5.814E-05 | 5.897E-05 | 7.621E-05 | 1.189E-01 |
| Résidence 15 | 5.088E-02 | 1.599E-04 | 1.855E+01 | 4.518E-04 | 1.422E-01 | 4.992E-04 | 3.762E-05 | 3.816E-05 | 4.931E-05 | 8.352E-02 |
| Résidence 16 | 5.560E-02 | 5.273E-05 | 2.027E+01 | 1.490E-04 | 1.554E-01 | 1.647E-04 | 1.241E-05 | 1.258E-05 | 1.626E-05 | 9.126E-02 |
| Résidence 17 | 4.058E-02 | 2.791E-05 | 1.479E+01 | 7.888E-05 | 1.134E-01 | 8.716E-05 | 6.568E-06 | 6.662E-06 | 8.609E-06 | 6.662E-02 |
| École primaire | 1.575E-02 | 1.135E-05 | 5.743E+00 | 3.207E-05 | 4.402E-02 | 3.544E-05 | 2.671E-06 | 2.708E-06 | 3.500E-06 | 2.586E-02 |
| 50 maximums observés | | | | | | | | | | |
| 1 | 3.968E-01 | 2.376E-03 | 1.446E+02 | 6.716E-03 | 1.109E+00 | 7.421E-03 | 5.592E-04 | 5.671E-04 | 7.330E-04 | 6.513E-01 |
| 2 | 3.839E-01 | 2.271E-03 | 1.399E+02 | 6.417E-03 | 1.073E+00 | 7.091E-03 | 5.344E-04 | 5.419E-04 | 7.004E-04 | 6.301E-01 |
| 3 | 3.769E-01 | 2.259E-03 | 1.374E+02 | 6.386E-03 | 1.053E+00 | 7.056E-03 | 5.317E-04 | 5.393E-04 | 6.970E-04 | 6.186E-01 |
| 4 | 3.535E-01 | 2.069E-03 | 1.289E+02 | 5.847E-03 | 9.879E-01 | 6.461E-03 | 4.869E-04 | 4.938E-04 | 6.382E-04 | 5.803E-01 |
| 5 | 3.425E-01 | 2.012E-03 | 1.248E+02 | 5.687E-03 | 9.570E-01 | 6.283E-03 | 4.735E-04 | 4.802E-04 | 6.206E-04 | 5.621E-01 |
| 6 | 3.100E-01 | 1.997E-03 | 1.130E+02 | 5.644E-03 | 8.663E-01 | 6.236E-03 | 4.699E-04 | 4.766E-04 | 6.159E-04 | 5.088E-01 |
| 7 | 3.011E-01 | 1.991E-03 | 1.098E+02 | 5.626E-03 | 8.414E-01 | 6.217E-03 | 4.685E-04 | 4.751E-04 | 6.141E-04 | 4.942E-01 |
| 8 | 2.957E-01 | 1.981E-03 | 1.078E+02 | 5.599E-03 | 8.262E-01 | 6.187E-03 | 4.662E-04 | 4.728E-04 | 6.111E-04 | 4.853E-01 |
| 9 | 2.883E-01 | 1.939E-03 | 1.051E+02 | 5.479E-03 | 8.057E-01 | 6.054E-03 | 4.562E-04 | 4.627E-04 | 5.980E-04 | 4.733E-01 |
| 10 | 2.861E-01 | 1.931E-03 | 1.043E+02 | 5.458E-03 | 7.994E-01 | 6.031E-03 | 4.545E-04 | 4.610E-04 | 5.957E-04 | 4.696E-01 |
| 11 | 2.761E-01 | 1.900E-03 | 1.007E+02 | 5.371E-03 | 7.717E-01 | 5.934E-03 | 4.472E-04 | 4.535E-04 | 5.861E-04 | 4.533E-01 |
| 12 | 2.753E-01 | 1.827E-03 | 1.004E+02 | 5.165E-03 | 7.693E-01 | 5.707E-03 | 4.300E-04 | 4.361E-04 | 5.637E-04 | 4.519E-01 |
| 13 | 2.723E-01 | 1.823E-03 | 9.926E+01 | 5.151E-03 | 7.609E-01 | 5.692E-03 | 4.289E-04 | 4.350E-04 | 5.622E-04 | 4.469E-01 |
| 14 | 2.710E-01 | 1.814E-03 | 9.880E+01 | 5.127E-03 | 7.573E-01 | 5.665E-03 | 4.269E-04 | 4.330E-04 | 5.596E-04 | 4.448E-01 |
| 15 | 2.703E-01 | 1.810E-03 | 9.854E+01 | 5.114E-03 | 7.554E-01 | 5.651E-03 | 4.259E-04 | 4.319E-04 | 5.582E-04 | 4.437E-01 |
| 16 | 2.699E-01 | 1.799E-03 | 9.839E+01 | 5.085E-03 | 7.543E-01 | 5.619E-03 | 4.234E-04 | 4.294E-04 | 5.550E-04 | 4.430E-01 |
| 17 | 2.698E-01 | 1.797E-03 | 9.834E+01 | 5.078E-03 | 7.538E-01 | 5.611E-03 | 4.228E-04 | 4.288E-04 | 5.542E-04 | 4.428E-01 |
| 18 | 2.692E-01 | 1.792E-03 | 9.813E+01 | 5.065E-03 | 7.522E-01 | 5.596E-03 | 4.217E-04 | 4.277E-04 | 5.528E-04 | 4.418E-01 |
| 19 | 2.683E-01 | 1.781E-03 | 9.780E+01 | 5.034E-03 | 7.497E-01 | 5.563E-03 | 4.192E-04 | 4.252E-04 | 5.495E-04 | 4.404E-01 |
| 20 | 2.677E-01 | 1.780E-03 | 9.758E+01 | 5.031E-03 | 7.481E-01 | 5.559E-03 | 4.189E-04 | 4.248E-04 | 5.491E-04 | 4.394E-01 |
| 21 | 2.667E-01 | 1.775E-03 | 9.722E+01 | 5.016E-03 | 7.453E-01 | 5.542E-03 | 4.177E-04 | 4.236E-04 | 5.474E-04 | 4.378E-01 |
| 22 | 2.615E-01 | 1.767E-03 | 9.533E+01 | 4.993E-03 | 7.308E-01 | 5.517E-03 | 4.158E-04 | 4.217E-04 | 5.450E-04 | 4.293E-01 |
| 23 | 2.596E-01 | 1.756E-03 | 9.464E+01 | 4.964E-03 | 7.255E-01 | 5.485E-03 | 4.133E-04 | 4.192E-04 | 5.418E-04 | 4.261E-01 |
| 24 | 2.588E-01 | 1.751E-03 | 9.433E+01 | 4.948E-03 | 7.231E-01 | 5.467E-03 | 4.120E-04 | 4.179E-04 | 5.400E-04 | 4.248E-01 |
| 25 | 2.565E-01 | 1.690E-03 | 9.352E+01 | 4.776E-03 | 7.169E-01 | 5.277E-03 | 3.977E-04 | 4.033E-04 | 5.212E-04 | 4.211E-01 |
| 26 | 2.554E-01 | 1.677E-03 | 9.310E+01 | 4.740E-03 | 7.137E-01 | 5.237E-03 | 3.947E-04 | 4.003E-04 | 5.173E-04 | 4.192E-01 |
| 27 | 2.542E-01 | 1.675E-03 | 9.267E+01 | 4.734E-03 | 7.104E-01 | 5.231E-03 | 3.942E-04 | 3.998E-04 | 5.167E-04 | 4.173E-01 |
| 28 | 2.518E-01 | 1.654E-03 | 9.181E+01 | 4.675E-03 | 7.038E-01 | 5.166E-03 | 3.893E-04 | 3.948E-04 | 5.102E-04 | 4.134E-01 |
| 29 | 2.432E-01 | 1.646E-03 | 8.865E+01 | 4.653E-03 | 6.796E-01 | 5.141E-03 | 3.874E-04 | 3.929E-04 | 5.078E-04 | 3.992E-01 |
| 30 | 2.426E-01 | 1.633E-03 | 8.843E+01 | 4.615E-03 | 6.779E-01 | 5.099E-03 | 3.843E-04 | 3.897E-04 | 5.037E-04 | 3.982E-01 |
| 31 | 2.421E-01 | 1.590E-03 | 8.827E+01 | 4.492E-03 | 6.767E-01 | 4.964E-03 | 3.741E-04 | 3.794E-04 | 4.903E-04 | 3.975E-01 |
| 32 | 2.393E-01 | 1.584E-03 | 8.723E+01 | 4.477E-03 | 6.687E-01 | 4.947E-03 | 3.728E-04 | 3.781E-04 | 4.886E-04 | 3.928E-01 |
| 33 | 2.387E-01 | 1.537E-03 | 8.703E+01 | 4.344E-03 | 6.671E-01 | 4.799E-03 | 3.617E-04 | 3.668E-04 | 4.741E-04 | 3.919E-01 |
| 34 | 2.387E-01 | 1.531E-03 | 8.700E+01 | 4.326E-03 | 6.669E-01 | 4.780E-03 | 3.602E-04 | 3.653E-04 | 4.722E-04 | 3.917E-01 |
| 35 | 2.334E-01 | 1.525E-03 | 8.510E+01 | 4.311E-03 | 6.523E-01 | 4.763E-03 | 3.589E-04 | 3.640E-04 | 4.705E-04 | 3.832E-01 |
| 36 | 2.331E-01 | 1.523E-03 | 8.497E+01 | 4.303E-03 | 6.514E-01 | 4.755E-03 | 3.583E-04 | 3.634E-04 | 4.696E-04 | 3.826E-01 |
| 37 | 2.303E-01 | 1.519E-03 | 8.397E+01 | 4.294E-03 | 6.437E-01 | 4.745E-03 | 3.576E-04 | 3.627E-04 | 4.687E-04 | 3.781E-01 |
| 38 | 2.280E-01 | 1.515E-03 | 8.313E+01 | 4.283E-03 | 6.373E-01 | 4.732E-03 | 3.566E-04 | 3.617E-04 | 4.674E-04 | 3.743E-01 |
| 39 | 2.275E-01 | 1.509E-03 | 8.295E+01 | 4.265E-03 | 6.358E-01 | 4.712E-03 | 3.551E-04 | 3.602E-04 | 4.655E-04 | 3.735E-01 |
| 40 | 2.269E-01 | 1.506E-03 | 8.273E+01 | 4.257E-03 | 6.342E-01 | 4.704E-03 | 3.545E-04 | 3.595E-04 | 4.646E-04 | 3.725E-01 |
| 41 | 2.253E-01 | 1.505E-03 | 8.215E+01 | 4.254E-03 | 6.297E-01 | 4.700E-03 | 3.542E-04 | 3.592E-04 | 4.642E-04 | 3.699E-01 |
| 42 | 2.251E-01 | 1.491E-03 | 8.206E+01 | 4.215E-03 | 6.291E-01 | 4.657E-03 | 3.509E-04 | 3.559E-04 | 4.600E-04 | 3.695E-01 |
| 43 | 2.241E-01 | 1.484E-03 | 8.170E+01 | 4.194E-03 | 6.263E-01 | 4.634E-03 | 3.492E-04 | 3.542E-04 | 4.578E-04 | 3.679E-01 |
| 44 | 2.178E-01 | 1.463E-03 | 7.941E+01 | 4.134E-03 | 6.087E-01 | 4.568E-03 | 3.442E-04 | 3.491E-04 | 4.512E-04 | 3.575E-01 |
| 45 | 2.171E-01 | 1.460E-03 | 7.914E+01 | 4.128E-03 | 6.067E-01 | 4.561E-03 | 3.437E-04 | 3.486E-04 | 4.505E-04 | 3.563E-01 |
| 46 | 2.170E-01 | 1.436E-03 | 7.910E+01 | 4.057E-03 | 6.063E-01 | 4.483E-03 | 3.378E-04 | 3.426E-04 | 4.428E-04 | 3.562E-01 |
| 47 | 2.154E-01 | 1.432E-03 | 7.854E+01 | 4.047E-03 | 6.020E-01 | 4.472E-03 | 3.370E-04 | 3.418E-04 | 4.417E-04 | 3.536E-01 |
| 48 | 2.129E-01 | 1.416E-03 | 7.760E+01 | 4.002E-03 | 5.948E-01 | 4.422E-03 | 3.332E-04 | 3.379E-04 | 4.367E-04 | 3.494E-01 |
| 49 | 2.086E-01 | 1.404E-03 | 7.603E+01 | 3.967E-03 | 5.828E-01 | 4.383E-03 | 3.303E-04 | 3.350E-04 | 4.330E-04 | 3.423E-01 |
| 50 | 2.033E-01 | 1.397E-03 | 7.412E+01 | 3.948E-03 | 5.682E-01 | 4.362E-03 | 3.287E-04 | 3.334E-04 | 4.309E-04 | 3.337E-01 |

Scénario :
Surélévation du LET
An 1 (2021)

| Récepteur | Acétone | | Acrylonitrile | Benzène | Bromodichlorométhane | Carbon disulfide | Carbon tetrachloride | Carbonyl sulfide | | Chlorobenzene | Chloroethane (ethyl chloride) | |
|-----------------------------|-----------|-----------|---------------|-----------|----------------------|------------------|----------------------|------------------|-----------|---------------|-------------------------------|-----------|
| | 4 min | Annuel | Annuel | 24 h | Annuel | 4 min | Annuel | 4 min | Annuel | Annuel | 4 min | Annuel |
| Récepteurs sensibles | | | | | | | | | | | | |
| Résidence 1 | 2.490E-01 | 2.841E-04 | 2.343E-04 | 6.949E-03 | 3.578E-04 | 6.840E-03 | 8.537E-07 | 4.475E-03 | 5.105E-06 | 3.800E-05 | 1.559E-01 | 1.778E-04 |
| Résidence 2 | 2.390E-01 | 3.766E-04 | 3.107E-04 | 6.490E-03 | 4.744E-04 | 6.564E-03 | 1.132E-06 | 4.294E-03 | 6.769E-06 | 5.039E-05 | 1.496E-01 | 2.358E-04 |
| Résidence 3 | 1.740E-01 | 1.282E-03 | 1.058E-03 | 1.678E-02 | 1.615E-03 | 4.780E-03 | 3.852E-06 | 3.127E-03 | 2.304E-05 | 1.715E-04 | 1.089E-01 | 8.024E-04 |
| Résidence 4 | 1.391E-01 | 6.492E-04 | 5.356E-04 | 8.514E-03 | 8.177E-04 | 3.820E-03 | 1.951E-06 | 2.499E-03 | 1.167E-05 | 8.686E-05 | 8.705E-02 | 4.064E-04 |
| Résidence 5 | 2.279E-01 | 9.184E-04 | 7.576E-04 | 1.468E-02 | 1.157E-03 | 6.260E-03 | 2.760E-06 | 4.096E-03 | 1.650E-05 | 1.229E-04 | 1.427E-01 | 5.749E-04 |
| Résidence 6 | 4.884E-01 | 1.061E-03 | 8.753E-04 | 1.846E-02 | 1.336E-03 | 1.342E-02 | 3.188E-06 | 8.777E-03 | 1.907E-05 | 1.419E-04 | 3.057E-01 | 6.641E-04 |
| Résidence 7 | 4.033E-01 | 4.523E-04 | 3.731E-04 | 1.831E-02 | 5.696E-04 | 1.108E-02 | 1.359E-06 | 7.248E-03 | 8.128E-06 | 6.051E-05 | 2.525E-01 | 2.831E-04 |
| Résidence 8 | 2.747E-01 | 2.429E-04 | 2.004E-04 | 7.527E-03 | 3.059E-04 | 7.544E-03 | 7.300E-07 | 4.936E-03 | 4.365E-06 | 3.250E-05 | 1.719E-01 | 1.521E-04 |
| Résidence 9 | 2.129E-01 | 1.272E-04 | 1.049E-04 | 4.799E-03 | 1.602E-04 | 5.847E-03 | 3.821E-07 | 3.826E-03 | 2.285E-06 | 1.701E-05 | 1.333E-01 | 7.960E-05 |
| Résidence 10 | 2.714E-01 | 2.116E-04 | 1.745E-04 | 1.179E-02 | 2.665E-04 | 7.454E-03 | 6.358E-07 | 4.877E-03 | 3.802E-06 | 2.831E-05 | 1.699E-01 | 1.324E-04 |
| Résidence 11 | 2.894E-01 | 2.933E-04 | 2.420E-04 | 6.650E-03 | 3.695E-04 | 7.948E-03 | 8.815E-07 | 5.200E-03 | 5.272E-06 | 3.925E-05 | 1.811E-01 | 1.836E-04 |
| Résidence 12 | 4.182E-01 | 6.017E-04 | 4.964E-04 | 1.177E-02 | 5.797E-04 | 1.149E-02 | 1.808E-06 | 7.516E-03 | 1.081E-05 | 8.050E-05 | 2.618E-03 | 3.767E-04 |
| Résidence 13 | 4.494E-01 | 1.025E-03 | 8.456E-04 | 1.508E-02 | 1.291E-03 | 1.235E-02 | 3.080E-06 | 8.077E-03 | 1.842E-05 | 1.371E-04 | 2.813E-01 | 6.416E-04 |
| Résidence 14 | 4.474E-01 | 1.526E-03 | 1.259E-03 | 1.792E-02 | 1.922E-03 | 1.229E-02 | 4.585E-06 | 8.040E-03 | 2.742E-05 | 2.041E-04 | 2.801E-01 | 9.551E-04 |
| Résidence 15 | 3.143E-01 | 9.873E-04 | 8.145E-04 | 1.103E-02 | 1.244E-03 | 8.632E-03 | 2.967E-06 | 5.648E-03 | 1.774E-05 | 1.321E-04 | 1.967E-01 | 6.180E-04 |
| Résidence 16 | 3.434E-01 | 3.256E-04 | 2.686E-04 | 7.287E-03 | 4.102E-04 | 9.432E-03 | 9.786E-07 | 6.171E-03 | 5.852E-06 | 4.357E-05 | 2.150E-01 | 2.038E-04 |
| Résidence 17 | 2.506E-01 | 1.724E-04 | 1.422E-04 | 5.700E-03 | 2.171E-04 | 6.885E-03 | 5.180E-07 | 4.504E-03 | 3.098E-06 | 2.306E-05 | 1.569E-01 | 1.079E-04 |
| École primaire | 9.729E-02 | 7.008E-05 | 5.782E-05 | 2.336E-03 | 8.827E-05 | 2.672E-03 | 2.106E-07 | 1.748E-03 | 1.259E-06 | 9.376E-06 | 6.090E-02 | 4.387E-05 |
| 50 maximums observés | | | | | | | | | | | | |
| 1 | 2.451E+00 | 1.468E-02 | 1.211E-02 | 1.457E-01 | 1.848E-02 | 6.731E-02 | 4.410E-05 | 4.404E-02 | 2.637E-04 | 1.963E-03 | 1.534E+00 | 9.186E-03 |
| 2 | 2.371E+00 | 1.402E-02 | 1.157E-02 | 1.253E-01 | 1.766E-02 | 6.512E-02 | 4.214E-05 | 4.260E-02 | 2.520E-04 | 1.876E-03 | 1.484E+00 | 8.778E-03 |
| 3 | 2.327E+00 | 1.395E-02 | 1.151E-02 | 1.220E-01 | 1.758E-02 | 6.393E-02 | 4.194E-05 | 4.183E-02 | 2.508E-04 | 1.867E-03 | 1.457E+00 | 8.735E-03 |
| 4 | 2.183E+00 | 1.278E-02 | 1.054E-02 | 1.199E-01 | 1.609E-02 | 5.997E-02 | 3.840E-05 | 3.924E-02 | 2.296E-04 | 1.710E-03 | 1.367E+00 | 7.998E-03 |
| 5 | 2.115E+00 | 1.243E-02 | 1.025E-02 | 1.176E-01 | 1.565E-02 | 5.809E-02 | 3.734E-05 | 3.801E-02 | 2.233E-04 | 1.662E-03 | 1.324E+00 | 7.778E-03 |
| 6 | 1.915E+00 | 1.233E-02 | 1.017E-02 | 1.133E-01 | 1.553E-02 | 5.259E-02 | 3.706E-05 | 3.441E-02 | 2.216E-04 | 1.650E-03 | 1.198E+00 | 7.720E-03 |
| 7 | 1.860E+00 | 1.229E-02 | 1.014E-02 | 1.114E-01 | 1.549E-02 | 5.108E-02 | 3.695E-05 | 3.342E-02 | 2.209E-04 | 1.645E-03 | 1.164E+00 | 7.696E-03 |
| 8 | 1.826E+00 | 1.223E-02 | 1.009E-02 | 1.096E-01 | 1.541E-02 | 5.016E-02 | 3.677E-05 | 3.282E-02 | 2.199E-04 | 1.637E-03 | 1.143E+00 | 7.659E-03 |
| 9 | 1.781E+00 | 1.197E-02 | 9.877E-03 | 1.094E-01 | 1.508E-02 | 4.891E-02 | 3.598E-05 | 3.200E-02 | 2.152E-04 | 1.602E-03 | 1.115E+00 | 7.495E-03 |
| 10 | 1.767E+00 | 1.193E-02 | 9.840E-03 | 1.083E-01 | 1.502E-02 | 4.853E-02 | 3.584E-05 | 3.175E-02 | 2.144E-04 | 1.596E-03 | 1.106E+00 | 7.466E-03 |
| 11 | 1.705E+00 | 1.174E-02 | 9.682E-03 | 1.076E-01 | 1.478E-02 | 4.684E-02 | 3.527E-05 | 3.065E-02 | 2.109E-04 | 1.570E-03 | 1.068E+00 | 7.346E-03 |
| 12 | 1.700E+00 | 1.129E-02 | 9.310E-03 | 1.070E-01 | 1.421E-02 | 4.670E-02 | 3.391E-05 | 3.056E-02 | 2.028E-04 | 1.510E-03 | 1.064E+00 | 7.064E-03 |
| 13 | 1.682E+00 | 1.126E-02 | 9.286E-03 | 1.066E-01 | 1.418E-02 | 4.619E-02 | 3.383E-05 | 3.022E-02 | 2.023E-04 | 1.506E-03 | 1.053E+00 | 7.046E-03 |
| 14 | 1.674E+00 | 1.120E-02 | 9.243E-03 | 1.054E-01 | 1.411E-02 | 4.597E-02 | 3.367E-05 | 3.008E-02 | 2.013E-04 | 1.499E-03 | 1.048E+00 | 7.014E-03 |
| 15 | 1.669E+00 | 1.118E-02 | 9.220E-03 | 1.049E-01 | 1.408E-02 | 4.586E-02 | 3.359E-05 | 3.000E-02 | 2.008E-04 | 1.495E-03 | 1.045E+00 | 6.996E-03 |
| 16 | 1.667E+00 | 1.111E-02 | 9.167E-03 | 1.039E-01 | 1.400E-02 | 4.579E-02 | 3.339E-05 | 2.996E-02 | 1.997E-04 | 1.487E-03 | 1.043E+00 | 6.956E-03 |
| 17 | 1.666E+00 | 1.110E-02 | 9.154E-03 | 1.038E-01 | 1.398E-02 | 4.576E-02 | 3.334E-05 | 2.994E-02 | 1.994E-04 | 1.485E-03 | 1.043E+00 | 6.946E-03 |
| 18 | 1.662E+00 | 1.107E-02 | 9.131E-03 | 1.032E-01 | 1.394E-02 | 4.566E-02 | 3.326E-05 | 2.988E-02 | 1.989E-04 | 1.481E-03 | 1.041E+00 | 6.928E-03 |
| 19 | 1.657E+00 | 1.100E-02 | 9.076E-03 | 1.027E-01 | 1.386E-02 | 4.551E-02 | 3.306E-05 | 2.978E-02 | 1.977E-04 | 1.472E-03 | 1.037E+00 | 6.886E-03 |
| 20 | 1.653E+00 | 1.099E-02 | 9.069E-03 | 1.013E-01 | 1.385E-02 | 4.541E-02 | 3.304E-05 | 2.971E-02 | 1.976E-04 | 1.471E-03 | 1.035E+00 | 6.881E-03 |
| 21 | 1.647E+00 | 1.096E-02 | 9.042E-03 | 1.013E-01 | 1.381E-02 | 4.524E-02 | 3.294E-05 | 2.960E-02 | 1.970E-04 | 1.466E-03 | 1.031E+00 | 6.861E-03 |
| 22 | 1.615E+00 | 1.091E-02 | 9.002E-03 | 1.005E-01 | 1.374E-02 | 4.436E-02 | 3.279E-05 | 2.902E-02 | 1.961E-04 | 1.460E-03 | 1.011E+00 | 6.830E-03 |
| 23 | 1.603E+00 | 1.085E-02 | 8.949E-03 | 1.005E-01 | 1.366E-02 | 4.404E-02 | 3.260E-05 | 2.881E-02 | 1.949E-04 | 1.451E-03 | 1.004E+00 | 6.790E-03 |
| 24 | 1.598E+00 | 1.081E-02 | 8.920E-03 | 8.943E-02 | 1.362E-02 | 4.390E-02 | 3.249E-05 | 2.872E-02 | 1.943E-04 | 1.447E-03 | 1.000E+00 | 6.768E-03 |
| 25 | 1.584E+00 | 1.044E-02 | 8.609E-02 | 9.635E-03 | 1.314E-02 | 4.352E-02 | 3.136E-05 | 2.847E-02 | 1.875E-04 | 1.396E-03 | 9.918E-01 | 5.633E-03 |
| 26 | 1.577E+00 | 1.036E-02 | 8.545E-03 | 9.508E-02 | 1.305E-02 | 4.332E-02 | 3.113E-05 | 2.834E-02 | 1.861E-04 | 1.386E-03 | 9.873E-01 | 6.484E-03 |
| 27 | 1.570E+00 | 1.035E-02 | 8.535E-03 | 9.363E-02 | 1.303E-02 | 4.313E-02 | 3.109E-05 | 2.822E-02 | 1.859E-04 | 1.384E-03 | 9.828E-01 | 6.476E-03 |
| 28 | 1.555E+00 | 1.022E-02 | 8.428E-03 | 9.269E-02 | 1.287E-02 | 4.272E-02 | 3.070E-05 | 2.795E-02 | 1.836E-04 | 1.367E-03 | 9.736E-01 | 6.395E-03 |
| 29 | 1.502E+00 | 1.017E-02 | 8.388E-03 | 9.245E-02 | 1.281E-02 | 4.125E-02 | 3.055E-05 | 2.699E-02 | 1.827E-04 | 1.360E-03 | 9.402E-01 | 6.365E-03 |
| 30 | 1.498E+00 | 1.008E-02 | 8.319E-03 | 9.230E-02 | 1.270E-02 | 4.115E-02 | 3.030E-05 | 2.692E-02 | 1.812E-04 | 1.349E-03 | 9.378E-01 | 6.312E-03 |
| 31 | 1.495E+00 | 9.817E-03 | 8.099E-03 | 9.200E-02 | 1.236E-02 | 4.108E-02 | 2.950E-05 | 2.688E-02 | 1.764E-04 | 1.313E-03 | 9.361E-01 | 6.145E-03 |
| 32 | 1.478E+00 | 9.783E-03 | 8.071E-03 | 9.177E-02 | 1.232E-02 | 4.059E-02 | 2.940E-05 | 2.656E-02 | 1.758E-04 | 1.309E-03 | 9.251E-01 | 6.124E-03 |
| 33 | 1.474E+00 | 9.492E-03 | 7.830E-03 | 9.158E-02 | 1.195E-02 | 4.050E-02 | 2.852E-05 | 2.650E-02 | 1.706E-04 | 1.270E-03 | 9.229E-01 | 5.942E-03 |
| 34 | 1.474E+00 | 9.453E-03 | 7.799E-03 | 9.095E-02 | 1.191E-02 | 4.048E-02 | 2.841E-05 | 2.649E-02 | 1.699E-04 | 1.265E-03 | 9.226E-01 | 5.918E-03 |
| 35 | 1.442E+00 | 9.419E-03 | 7.771E-03 | 9.092E-02 | 1.186E-02 | 3.960E-02 | 2.831E-05 | 2.591E-02 | 1.693E-04 | 1.260E-03 | 9.025E-01 | 5.896E-03 |
| 36 | 1.440E+00 | 9.403E-03 | 7.757E-03 | 9.086E-02 | 1.184E-02 | 3.954E-02 | 2.826E-05 | 2.587E-02 | 1.690E-04 | 1.258E-03 | 9.012E-01 | 5.886E-03 |
| 37 | 1.423E+00 | 9.384E-03 | 7.742E-03 | 8.949E-02 | 1.182E-02 | 3.907E-02 | 2.820E-05 | 2.557E-02 | 1.686E-04 | 1.255E-03 | 8.905E-01 | 5.874E-03 |
| 38 | 1.408E+00 | 9.358E-03 | 7.720E-03 | 8.910E-02 | 1.179E-02 | 3.869E-02 | 2.812E-05 | 2.531E-02 | 1.682E-04 | 1.252E-03 | 8.816E-01 | 5.858E-03 |
| 39 | 1.405E+00 | 9.320E-03 | 7.688E-03 | 8.852E-02 | 1.174E-02 | 3.860E-02 | 2.801E-05 | 2.525E-02 | 1.675E-04 | 1.247E-03 | 8.797E-01 | 5.834E-03 |
| 40 | 1.402E+00 | 9.302E-03 | 7.674E-03 | 8.829E-02 | 1.172E-02 | 3.850E-02 | 2.795E-05 | 2.519E-02 | 1.672E-04 | 1. | | |

Scénario :
Surélévation du LET
An 1 (2021)

| Récepteur | Chloroforme | Chlorométhane | P-Dichlorobenzene | Dichlorofluoromethane | Dichloromethane (methylene chloride) | | Ethanol |
|-----------------------------|-------------|---------------|-------------------|-----------------------|--------------------------------------|-----------|-----------|
| | Annuel | Annuel | 4 min | Annuel | 1 h | Annuel | 4 min |
| Récepteurs sensibles | | | | | | | |
| Résidence 1 | 5.890E-06 | 4.263E-05 | 8.452E-02 | 1.881E-04 | 1.745E-02 | 8.475E-04 | 6.481E-03 |
| Résidence 2 | 7.810E-06 | 5.653E-05 | 8.110E-02 | 2.495E-04 | 1.675E-02 | 1.124E-03 | 6.219E-03 |
| Résidence 3 | 2.658E-05 | 1.924E-04 | 5.906E-02 | 8.490E-04 | 1.220E-02 | 3.824E-03 | 4.529E-03 |
| Résidence 4 | 1.346E-05 | 9.743E-05 | 4.720E-02 | 4.300E-04 | 9.747E-03 | 1.937E-03 | 3.619E-03 |
| Résidence 5 | 1.904E-05 | 1.378E-04 | 7.736E-02 | 6.083E-04 | 1.597E-02 | 2.740E-03 | 5.932E-03 |
| Résidence 6 | 2.200E-05 | 1.592E-04 | 1.658E-01 | 7.027E-04 | 3.423E-02 | 3.165E-03 | 1.271E-02 |
| Résidence 7 | 9.378E-06 | 6.787E-05 | 1.369E-01 | 2.996E-04 | 2.827E-02 | 1.349E-03 | 1.050E-02 |
| Résidence 8 | 5.037E-06 | 3.645E-05 | 9.322E-02 | 1.609E-04 | 1.925E-02 | 7.247E-04 | 7.148E-03 |
| Résidence 9 | 2.637E-06 | 1.908E-05 | 7.225E-02 | 8.422E-05 | 1.492E-02 | 3.794E-04 | 5.540E-03 |
| Résidence 10 | 4.387E-06 | 3.175E-05 | 9.211E-02 | 1.401E-04 | 1.902E-02 | 6.312E-04 | 7.063E-03 |
| Résidence 11 | 6.083E-06 | 4.402E-05 | 9.821E-02 | 1.943E-04 | 2.028E-02 | 8.751E-04 | 7.531E-03 |
| Résidence 12 | 1.248E-05 | 9.031E-05 | 1.420E-01 | 3.985E-04 | 2.931E-02 | 1.795E-03 | 1.088E-02 |
| Résidence 13 | 2.125E-05 | 1.538E-04 | 1.525E-01 | 6.789E-04 | 3.150E-02 | 3.058E-03 | 1.170E-02 |
| Résidence 14 | 3.164E-05 | 2.290E-04 | 1.519E-01 | 1.011E-03 | 3.136E-02 | 4.552E-03 | 1.164E-02 |
| Résidence 15 | 2.047E-05 | 1.482E-04 | 1.067E-01 | 6.539E-04 | 2.203E-02 | 2.946E-03 | 8.179E-03 |
| Résidence 16 | 6.752E-06 | 4.887E-05 | 1.165E-01 | 2.157E-04 | 2.407E-02 | 9.715E-04 | 8.937E-03 |
| Résidence 17 | 3.574E-06 | 2.587E-05 | 8.507E-02 | 1.142E-04 | 1.757E-02 | 5.143E-04 | 6.523E-03 |
| École primaire | 1.453E-06 | 1.052E-05 | 3.302E-02 | 4.642E-05 | 6.819E-03 | 2.091E-04 | 2.532E-03 |
| 50 maximums observés | | | | | | | |
| 1 | 3.043E-04 | 2.202E-03 | 8.317E-01 | 9.720E-03 | 1.718E-01 | 4.378E-02 | 6.378E-02 |
| 2 | 2.908E-04 | 2.105E-03 | 8.046E-01 | 9.288E-03 | 1.662E-01 | 4.184E-02 | 6.170E-02 |
| 3 | 2.894E-04 | 2.094E-03 | 7.899E-01 | 9.243E-03 | 1.631E-01 | 4.163E-02 | 6.057E-02 |
| 4 | 2.650E-04 | 1.918E-03 | 7.411E-01 | 8.463E-03 | 1.530E-01 | 3.812E-02 | 5.682E-02 |
| 5 | 2.577E-04 | 1.865E-03 | 7.179E-01 | 8.230E-03 | 1.482E-01 | 3.707E-02 | 5.504E-02 |
| 6 | 2.557E-04 | 1.851E-03 | 6.498E-01 | 8.168E-03 | 1.342E-01 | 3.679E-02 | 4.983E-02 |
| 7 | 2.549E-04 | 1.845E-03 | 6.312E-01 | 8.143E-03 | 1.303E-01 | 3.668E-02 | 4.840E-02 |
| 8 | 2.537E-04 | 1.836E-03 | 6.198E-01 | 8.104E-03 | 1.280E-01 | 3.650E-02 | 4.752E-02 |
| 9 | 2.483E-04 | 1.797E-03 | 6.044E-01 | 7.930E-03 | 1.248E-01 | 3.572E-02 | 4.634E-02 |
| 10 | 2.473E-04 | 1.790E-03 | 5.997E-01 | 7.900E-03 | 1.238E-01 | 3.559E-02 | 4.598E-02 |
| 11 | 2.433E-04 | 1.761E-03 | 5.788E-01 | 7.773E-03 | 1.195E-01 | 3.501E-02 | 4.438E-02 |
| 12 | 2.340E-04 | 1.694E-03 | 5.771E-01 | 7.475E-03 | 1.192E-01 | 3.367E-02 | 4.425E-02 |
| 13 | 2.334E-04 | 1.689E-03 | 5.707E-01 | 7.456E-03 | 1.179E-01 | 3.358E-02 | 4.376E-02 |
| 14 | 2.323E-04 | 1.681E-03 | 5.681E-01 | 7.421E-03 | 1.173E-01 | 3.343E-02 | 4.356E-02 |
| 15 | 2.317E-04 | 1.677E-03 | 5.666E-01 | 7.402E-03 | 1.170E-01 | 3.334E-02 | 4.345E-02 |
| 16 | 2.304E-04 | 1.668E-03 | 5.658E-01 | 7.360E-03 | 1.168E-01 | 3.315E-02 | 4.338E-02 |
| 17 | 2.301E-04 | 1.665E-03 | 5.655E-01 | 7.349E-03 | 1.168E-01 | 3.310E-02 | 4.336E-02 |
| 18 | 2.295E-04 | 1.661E-03 | 5.642E-01 | 7.331E-03 | 1.165E-01 | 3.302E-02 | 4.326E-02 |
| 19 | 2.281E-04 | 1.651E-03 | 5.624E-01 | 7.286E-03 | 1.161E-01 | 3.282E-02 | 4.312E-02 |
| 20 | 2.279E-04 | 1.650E-03 | 5.611E-01 | 7.281E-03 | 1.159E-01 | 3.280E-02 | 4.303E-02 |
| 21 | 2.273E-04 | 1.645E-03 | 5.590E-01 | 7.260E-03 | 1.154E-01 | 3.270E-02 | 4.286E-02 |
| 22 | 2.263E-04 | 1.638E-03 | 5.482E-01 | 7.227E-03 | 1.132E-01 | 3.255E-02 | 4.203E-02 |
| 23 | 2.249E-04 | 1.628E-03 | 5.442E-01 | 7.185E-03 | 1.124E-01 | 3.236E-02 | 4.173E-02 |
| 24 | 2.242E-04 | 1.623E-03 | 5.424E-01 | 7.162E-03 | 1.120E-01 | 3.226E-02 | 4.159E-02 |
| 25 | 2.164E-04 | 1.566E-03 | 5.377E-01 | 6.912E-03 | 1.110E-01 | 3.113E-02 | 4.123E-02 |
| 26 | 2.148E-04 | 1.554E-03 | 5.353E-01 | 6.860E-03 | 1.105E-01 | 3.090E-02 | 4.105E-02 |
| 27 | 2.145E-04 | 1.553E-03 | 5.329E-01 | 6.852E-03 | 1.100E-01 | 3.087E-02 | 4.086E-02 |
| 28 | 2.118E-04 | 1.533E-03 | 5.279E-01 | 6.766E-03 | 1.090E-01 | 3.048E-02 | 4.048E-02 |
| 29 | 2.108E-04 | 1.526E-03 | 5.098E-01 | 6.734E-03 | 1.053E-01 | 3.033E-02 | 3.909E-02 |
| 30 | 2.091E-04 | 1.513E-03 | 5.085E-01 | 6.679E-03 | 1.050E-01 | 3.008E-02 | 3.899E-02 |
| 31 | 2.036E-04 | 1.473E-03 | 5.076E-01 | 6.502E-03 | 1.048E-01 | 2.929E-02 | 3.892E-02 |
| 32 | 2.029E-04 | 1.468E-03 | 5.016E-01 | 6.479E-03 | 1.036E-01 | 2.919E-02 | 3.846E-02 |
| 33 | 1.968E-04 | 1.424E-03 | 5.004E-01 | 6.287E-03 | 1.033E-01 | 2.832E-02 | 3.837E-02 |
| 34 | 1.960E-04 | 1.419E-03 | 5.002E-01 | 6.261E-03 | 1.033E-01 | 2.820E-02 | 3.836E-02 |
| 35 | 1.953E-04 | 1.414E-03 | 4.893E-01 | 6.239E-03 | 1.010E-01 | 2.810E-02 | 3.752E-02 |
| 36 | 1.950E-04 | 1.411E-03 | 4.886E-01 | 6.228E-03 | 1.009E-01 | 2.805E-02 | 3.747E-02 |
| 37 | 1.946E-04 | 1.408E-03 | 4.828E-01 | 6.215E-03 | 9.970E-02 | 2.800E-02 | 3.702E-02 |
| 38 | 1.940E-04 | 1.404E-03 | 4.780E-01 | 6.198E-03 | 9.871E-02 | 2.792E-02 | 3.665E-02 |
| 39 | 1.932E-04 | 1.399E-03 | 4.769E-01 | 6.173E-03 | 9.849E-02 | 2.780E-02 | 3.657E-02 |
| 40 | 1.929E-04 | 1.396E-03 | 4.757E-01 | 6.161E-03 | 9.823E-02 | 2.775E-02 | 3.648E-02 |
| 41 | 1.927E-04 | 1.395E-03 | 4.723E-01 | 6.156E-03 | 9.754E-02 | 2.773E-02 | 3.622E-02 |
| 42 | 1.910E-04 | 1.382E-03 | 4.719E-01 | 6.100E-03 | 9.744E-02 | 2.748E-02 | 3.618E-02 |
| 43 | 1.900E-04 | 1.375E-03 | 4.698E-01 | 6.070E-03 | 9.701E-02 | 2.734E-02 | 3.602E-02 |
| 44 | 1.873E-04 | 1.356E-03 | 4.566E-01 | 5.984E-03 | 9.428E-02 | 2.695E-02 | 3.501E-02 |
| 45 | 1.870E-04 | 1.354E-03 | 4.551E-01 | 5.974E-03 | 9.397E-02 | 2.691E-02 | 3.489E-02 |
| 46 | 1.838E-04 | 1.331E-03 | 4.548E-01 | 5.872E-03 | 9.392E-02 | 2.645E-02 | 3.488E-02 |
| 47 | 1.834E-04 | 1.327E-03 | 4.516E-01 | 5.857E-03 | 9.325E-02 | 2.638E-02 | 3.463E-02 |
| 48 | 1.813E-04 | 1.312E-03 | 4.462E-01 | 5.792E-03 | 9.214E-02 | 2.609E-02 | 3.421E-02 |
| 49 | 1.797E-04 | 1.301E-03 | 4.372E-01 | 5.741E-03 | 9.028E-02 | 2.586E-02 | 3.352E-02 |
| 50 | 1.789E-04 | 1.295E-03 | 4.262E-01 | 5.714E-03 | 8.801E-02 | 2.574E-02 | 3.268E-02 |

Scénario :
 Surélévation du LET
 An 1 (2021)

| Récepteur | Ethylbenzene | | Ethylene dibromide | Hexane | | Mercury (total) | Methyl ethyl ketone | Methyl isobutyl ketone | Pentane | | Perchloroethylene (tetrachloroethene) | t-1,2-dichloroethene |
|-----------------------------|--------------|-----------|--------------------|-----------|-----------|-----------------|---------------------|------------------------|-----------|-----------|---------------------------------------|----------------------|
| | 4 min | Annuel | Annuel | 4 min | Annuel | Annuel | 4 min | 4 min | 4 min | Annuel | Annuel | 4 min |
| Récepteurs sensibles | | | | | | | | | | | | |
| Résidence 1 | 3.156E-01 | 3.600E-04 | 6.317E-07 | 3.463E-01 | 3.951E-04 | 1.707E-08 | 3.127E-01 | 1.146E-01 | 1.968E-01 | 2.245E-04 | 2.349E-04 | 1.684E-01 |
| Résidence 2 | 3.028E-01 | 4.773E-04 | 8.376E-07 | 3.323E-01 | 5.238E-04 | 2.264E-08 | 3.001E-01 | 1.099E-01 | 1.889E-01 | 2.977E-04 | 3.114E-04 | 1.616E-01 |
| Résidence 3 | 2.205E-01 | 1.624E-03 | 2.851E-06 | 2.420E-01 | 1.783E-03 | 7.705E-08 | 2.185E-01 | 8.006E-02 | 3.175E-01 | 1.013E-03 | 1.060E-03 | 1.177E-01 |
| Résidence 4 | 1.762E-01 | 8.227E-04 | 1.444E-06 | 1.934E-01 | 9.029E-04 | 3.902E-08 | 1.746E-01 | 6.398E-02 | 1.099E-01 | 5.131E-04 | 5.368E-04 | 9.404E-02 |
| Résidence 5 | 2.888E-01 | 1.164E-03 | 2.042E-06 | 3.170E-01 | 1.277E-03 | 5.520E-08 | 2.862E-01 | 1.048E-01 | 1.801E-01 | 7.258E-04 | 7.593E-04 | 1.541E-01 |
| Résidence 6 | 6.189E-01 | 1.344E-03 | 2.359E-06 | 6.793E-01 | 1.476E-03 | 6.377E-08 | 6.133E-01 | 2.247E-01 | 3.860E-01 | 8.385E-04 | 8.773E-04 | 3.303E-01 |
| Résidence 7 | 5.111E-01 | 5.731E-04 | 1.006E-06 | 5.609E-01 | 6.290E-04 | 2.718E-08 | 5.065E-01 | 1.855E-01 | 3.188E-01 | 3.574E-04 | 3.739E-04 | 2.727E-01 |
| Résidence 8 | 3.481E-01 | 3.078E-04 | 5.402E-07 | 3.820E-01 | 3.378E-04 | 1.460E-08 | 3.449E-01 | 1.264E-01 | 2.171E-01 | 1.920E-04 | 2.008E-04 | 1.857E-01 |
| Résidence 9 | 2.698E-01 | 1.611E-04 | 2.828E-07 | 2.961E-01 | 1.768E-04 | 7.643E-09 | 2.673E-01 | 9.793E-02 | 1.683E-01 | 1.005E-04 | 1.051E-04 | 1.440E-01 |
| Résidence 10 | 3.439E-01 | 2.681E-04 | 4.705E-07 | 3.774E-01 | 2.942E-04 | 1.272E-08 | 3.408E-01 | 1.248E-01 | 2.145E-01 | 1.672E-04 | 1.749E-04 | 1.835E-01 |
| Résidence 11 | 3.667E-01 | 3.717E-04 | 6.523E-07 | 4.024E-01 | 4.080E-04 | 1.763E-08 | 3.634E-01 | 1.331E-01 | 2.287E-01 | 2.318E-04 | 2.425E-04 | 1.957E-01 |
| Résidence 12 | 5.300E-01 | 7.625E-04 | 1.338E-06 | 5.817E-01 | 8.368E-04 | 3.617E-08 | 5.252E-01 | 1.924E-01 | 3.306E-01 | 4.756E-04 | 4.975E-04 | 2.828E-01 |
| Résidence 13 | 5.695E-01 | 1.299E-03 | 2.279E-06 | 6.251E-01 | 1.425E-03 | 6.161E-08 | 5.644E-01 | 2.068E-01 | 3.552E-01 | 8.101E-04 | 8.475E-04 | 3.039E-01 |
| Résidence 14 | 5.670E-01 | 1.934E-03 | 3.393E-06 | 6.222E-01 | 2.122E-03 | 9.170E-08 | 5.618E-01 | 2.058E-01 | 3.536E-01 | 1.206E-03 | 1.262E-03 | 3.026E-01 |
| Résidence 15 | 3.982E-01 | 1.251E-03 | 2.196E-06 | 4.371E-01 | 1.373E-03 | 5.934E-08 | 3.946E-01 | 1.446E-01 | 2.484E-01 | 7.803E-04 | 8.164E-04 | 2.125E-01 |
| Résidence 16 | 4.351E-01 | 4.127E-04 | 7.242E-07 | 4.776E-01 | 4.529E-04 | 1.957E-08 | 4.312E-01 | 1.580E-01 | 2.714E-01 | 2.574E-04 | 2.693E-04 | 2.322E-01 |
| Résidence 17 | 3.176E-01 | 2.184E-04 | 3.833E-07 | 3.486E-01 | 2.397E-04 | 1.036E-08 | 3.147E-01 | 1.153E-01 | 1.981E-01 | 1.362E-04 | 1.425E-04 | 1.695E-01 |
| École primaire | 1.233E-01 | 8.881E-05 | 1.559E-07 | 1.353E-01 | 9.747E-05 | 4.212E-09 | 1.222E-01 | 4.476E-02 | 7.689E-02 | 5.539E-05 | 5.795E-05 | 6.579E-02 |
| 50 maximums observés | | | | | | | | | | | | |
| 1 | 3.105E+00 | 1.860E-02 | 3.264E-05 | 3.408E+00 | 2.041E-02 | 8.820E-07 | 3.077E+00 | 1.127E+00 | 1.937E+00 | 1.160E-02 | 1.213E-02 | 1.657E+00 |
| 2 | 3.004E+00 | 1.777E-02 | 3.119E-05 | 3.297E+00 | 1.950E-02 | 8.428E-07 | 2.977E+00 | 1.091E+00 | 1.874E+00 | 1.108E-02 | 1.160E-02 | 1.603E+00 |
| 3 | 2.949E+00 | 1.768E-02 | 3.103E-05 | 3.237E+00 | 1.941E-02 | 8.387E-07 | 2.923E+00 | 1.071E+00 | 1.840E+00 | 1.103E-02 | 1.154E-02 | 1.574E+00 |
| 4 | 2.767E+00 | 1.619E-02 | 2.842E-05 | 3.037E+00 | 1.777E-02 | 7.680E-07 | 2.742E+00 | 1.004E+00 | 1.726E+00 | 1.010E-02 | 1.057E-02 | 1.476E+00 |
| 5 | 2.680E+00 | 1.575E-02 | 2.763E-05 | 2.941E+00 | 1.728E-02 | 7.469E-07 | 2.656E+00 | 9.730E-01 | 1.672E+00 | 9.821E-03 | 1.027E-02 | 1.430E+00 |
| 6 | 2.426E+00 | 1.563E-02 | 2.742E-05 | 2.663E+00 | 1.715E-02 | 7.412E-07 | 2.404E+00 | 8.807E-01 | 1.513E+00 | 9.747E-03 | 1.020E-02 | 1.295E+00 |
| 7 | 2.357E+00 | 1.558E-02 | 2.734E-05 | 2.586E+00 | 1.710E-02 | 7.390E-07 | 2.335E+00 | 8.555E-01 | 1.470E+00 | 9.717E-03 | 1.017E-02 | 1.258E+00 |
| 8 | 2.314E+00 | 1.550E-02 | 2.721E-05 | 2.540E+00 | 1.702E-02 | 7.354E-07 | 2.293E+00 | 8.400E-01 | 1.443E+00 | 9.670E-03 | 1.012E-02 | 1.235E+00 |
| 9 | 2.257E+00 | 1.517E-02 | 2.663E-05 | 2.476E+00 | 1.665E-02 | 7.196E-07 | 2.236E+00 | 8.192E-01 | 1.407E+00 | 9.463E-03 | 9.899E-03 | 1.204E+00 |
| 10 | 2.239E+00 | 1.512E-02 | 2.653E-05 | 2.457E+00 | 1.659E-02 | 7.169E-07 | 2.219E+00 | 8.128E-01 | 1.396E+00 | 9.427E-03 | 9.862E-03 | 1.195E+00 |
| 11 | 2.161E+00 | 1.487E-02 | 2.610E-05 | 2.372E+00 | 1.632E-02 | 7.054E-07 | 2.142E+00 | 7.845E-01 | 1.348E+00 | 9.275E-03 | 9.704E-03 | 1.153E+00 |
| 12 | 2.155E+00 | 1.430E-02 | 2.510E-05 | 2.365E+00 | 1.570E-02 | 6.783E-07 | 2.135E+00 | 7.822E-01 | 1.344E+00 | 8.920E-03 | 9.331E-03 | 1.150E+00 |
| 13 | 2.131E+00 | 1.426E-02 | 2.503E-05 | 2.339E+00 | 1.565E-02 | 6.766E-07 | 2.112E+00 | 7.736E-01 | 1.329E+00 | 8.897E-03 | 9.307E-03 | 1.137E+00 |
| 14 | 2.121E+00 | 1.420E-02 | 2.492E-05 | 2.328E+00 | 1.558E-02 | 6.734E-07 | 2.102E+00 | 7.700E-01 | 1.323E+00 | 8.855E-03 | 9.264E-03 | 1.132E+00 |
| 15 | 2.116E+00 | 1.416E-02 | 2.485E-05 | 2.322E+00 | 1.554E-02 | 6.717E-07 | 2.096E+00 | 7.680E-01 | 1.319E+00 | 8.833E-03 | 9.241E-03 | 1.129E+00 |
| 16 | 2.112E+00 | 1.408E-02 | 2.471E-05 | 2.318E+00 | 1.545E-02 | 6.679E-07 | 2.093E+00 | 7.669E-01 | 1.317E+00 | 8.782E-03 | 9.188E-03 | 1.127E+00 |
| 17 | 2.111E+00 | 1.406E-02 | 2.468E-05 | 2.317E+00 | 1.543E-02 | 6.669E-07 | 2.092E+00 | 7.664E-01 | 1.317E+00 | 8.770E-03 | 9.174E-03 | 1.127E+00 |
| 18 | 2.107E+00 | 1.403E-02 | 2.461E-05 | 2.312E+00 | 1.539E-02 | 6.652E-07 | 2.088E+00 | 7.648E-01 | 1.314E+00 | 8.748E-03 | 9.151E-03 | 1.124E+00 |
| 19 | 2.100E+00 | 1.394E-02 | 2.446E-05 | 2.304E+00 | 1.530E-02 | 6.612E-07 | 2.081E+00 | 7.623E-01 | 1.310E+00 | 8.695E-03 | 9.096E-03 | 1.120E+00 |
| 20 | 2.095E+00 | 1.393E-02 | 2.445E-05 | 2.299E+00 | 1.529E-02 | 6.607E-07 | 2.076E+00 | 7.606E-01 | 1.307E+00 | 8.688E-03 | 9.090E-03 | 1.118E+00 |
| 21 | 2.087E+00 | 1.389E-02 | 2.437E-05 | 2.291E+00 | 1.524E-02 | 6.588E-07 | 2.068E+00 | 7.577E-01 | 1.302E+00 | 8.663E-03 | 9.063E-03 | 1.114E+00 |
| 22 | 2.047E+00 | 1.383E-02 | 2.427E-05 | 2.246E+00 | 1.518E-02 | 6.558E-07 | 2.028E+00 | 7.430E-01 | 1.276E+00 | 8.624E-03 | 9.022E-03 | 1.092E+00 |
| 23 | 2.032E+00 | 1.375E-02 | 2.412E-05 | 2.230E+00 | 1.509E-02 | 6.520E-07 | 2.013E+00 | 7.376E-01 | 1.267E+00 | 8.573E-03 | 8.969E-03 | 1.084E+00 |
| 24 | 2.025E+00 | 1.370E-02 | 2.405E-05 | 2.223E+00 | 1.504E-02 | 6.499E-07 | 2.007E+00 | 7.352E-01 | 1.263E+00 | 8.546E-03 | 8.940E-03 | 1.081E+00 |
| 25 | 2.008E+00 | 1.322E-02 | 2.321E-05 | 2.203E+00 | 1.451E-02 | 6.272E-07 | 1.990E+00 | 7.288E-01 | 1.252E+00 | 8.248E-03 | 8.629E-03 | 1.071E+00 |
| 26 | 1.999E+00 | 1.313E-02 | 2.303E-05 | 2.194E+00 | 1.440E-02 | 6.225E-07 | 1.981E+00 | 7.256E-01 | 1.247E+00 | 8.186E-03 | 8.564E-03 | 1.067E+00 |
| 27 | 1.990E+00 | 1.311E-02 | 2.301E-05 | 2.184E+00 | 1.439E-02 | 6.218E-07 | 1.972E+00 | 7.223E-01 | 1.241E+00 | 8.177E-03 | 8.554E-03 | 1.062E+00 |
| 28 | 1.971E+00 | 1.295E-02 | 2.272E-05 | 2.163E+00 | 1.421E-02 | 6.140E-07 | 1.953E+00 | 7.155E-01 | 1.229E+00 | 8.074E-03 | 8.447E-03 | 1.052E+00 |
| 29 | 1.903E+00 | 1.288E-02 | 2.261E-05 | 2.089E+00 | 1.414E-02 | 6.111E-07 | 1.886E+00 | 6.909E-01 | 1.187E+00 | 8.036E-03 | 8.407E-03 | 1.016E+00 |
| 30 | 1.898E+00 | 1.278E-02 | 2.243E-05 | 2.084E+00 | 1.402E-02 | 6.061E-07 | 1.881E+00 | 6.892E-01 | 1.184E+00 | 7.970E-03 | 8.338E-03 | 1.013E+00 |
| 31 | 1.895E+00 | 1.244E-02 | 2.183E-05 | 2.080E+00 | 1.365E-02 | 5.900E-07 | 1.878E+00 | 6.880E-01 | 1.182E+00 | 7.759E-03 | 8.117E-03 | 1.011E+00 |
| 32 | 1.873E+00 | 1.240E-02 | 2.176E-05 | 2.055E+00 | 1.361E-02 | 5.880E-07 | 1.856E+00 | 6.799E-01 | 1.168E+00 | 7.732E-03 | 8.089E-03 | 9.994E-01 |
| 33 | 1.868E+00 | 1.203E-02 | 2.111E-05 | 2.050E+00 | 1.320E-02 | 5.705E-07 | 1.851E+00 | 6.783E-01 | 1.165E+00 | 7.502E-03 | 7.848E-03 | 9.970E-01 |
| 34 | 1.868E+00 | 1.198E-02 | 2.102E-05 | 2.050E+00 | 1.315E-02 | 5.682E-07 | 1.851E+00 | 6.780E-01 | 1.165E+00 | 7.472E-03 | 7.816E-03 | 9.967E-01 |
| 35 | 1.827E+00 | 1.194E-02 | 2.095E-05 | 2.005E+00 | 1.310E-02 | 5.661E-07 | 1.810E+00 | 6.632E-01 | 1.139E+00 | 7.445E-03 | 7.788E-03 | 9.749E-01 |
| 36 | 1.824E+00 | 1.192E-02 | 2.091E-05 | 2.002E+00 | 1.308E-02 | 5.652E-07 | 1.808E+00 | 6.623E-01 | 1.138E+00 | 7.432E-03 | 7.775E-03 | 9.735E-01 |
| 37 | 1.803E+00 | 1.189E-02 | 2.087E-05 | 1.978E+00 | 1.305E-02 | 5.640E-07 | 1.786E+00 | 6.544E-01 | 1.124E+00 | 7.417E-03 | 7.759E-03 | 9.620E-01 |
| 38 | 1.785E+00 | 1.186E-02 | 2.081E-05 | 1.959E+00 | 1.301E-02 | 5.625E-07 | 1.769E+00 | 6.479E-01 | 1.113E+00 | 7.396E-03 | 7.738E-03 | 9.524E-01 |
| 39 | 1.781E+00 | 1.181E-02 | 2.072E-05 | 1.954E+00 | 1.296E-02 | 5.601E-07 | 1.765E+00 | 6.465E-01 | 1.111E+00 | 7.366E-03 | 7.706E-03 | 9.503E-01 |
| 40 | 1.776E+00 | 1.179E-02 | 2.069E-05 | 1.949E+00 | 1.294E-02 | 5.591E-07 | 1.760E+00 | 6.448E-01 | 1.108E+00 | | | |

Scénario :
Surélévation du LET
An 1 (2021)

| Récepteur | Toluène | Trichloroethylene (Trichloroethene) | Vinyl chloride | Xylenes | |
|-----------------------------|-----------|--|----------------|-----------|-----------|
| | 4 min | Annuel | Annuel | 4 min | Annuel |
| Récepteurs sensibles | | | | | |
| Résidence 1 | 1.663E+00 | 7.591E-05 | 6.192E-05 | 5.993E-01 | 6.837E-04 |
| Résidence 2 | 1.595E+00 | 1.006E-04 | 8.211E-05 | 5.751E-01 | 9.065E-04 |
| Résidence 3 | 1.162E+00 | 3.425E-04 | 2.794E-04 | 4.188E-01 | 3.085E-03 |
| Résidence 4 | 9.285E-01 | 1.735E-04 | 1.415E-04 | 3.347E-01 | 1.562E-03 |
| Résidence 5 | 1.522E+00 | 2.454E-04 | 2.002E-04 | 5.485E-01 | 2.210E-03 |
| Résidence 6 | 3.261E+00 | 2.835E-04 | 2.313E-04 | 1.175E+00 | 2.553E-03 |
| Résidence 7 | 2.693E+00 | 1.209E-04 | 9.859E-05 | 9.707E-01 | 1.088E-03 |
| Résidence 8 | 1.834E+00 | 6.491E-05 | 5.295E-05 | 6.610E-01 | 5.846E-04 |
| Résidence 9 | 1.421E+00 | 3.398E-05 | 2.772E-05 | 5.124E-01 | 3.060E-04 |
| Résidence 10 | 1.812E+00 | 5.654E-05 | 4.612E-05 | 6.531E-01 | 5.092E-04 |
| Résidence 11 | 1.932E+00 | 7.839E-05 | 6.395E-05 | 6.964E-01 | 7.060E-04 |
| Résidence 12 | 2.792E+00 | 1.608E-04 | 1.312E-04 | 1.007E+00 | 1.448E-03 |
| Résidence 13 | 3.001E+00 | 2.739E-04 | 2.234E-04 | 1.082E+00 | 2.467E-03 |
| Résidence 14 | 2.987E+00 | 4.077E-04 | 3.326E-04 | 1.077E+00 | 3.672E-03 |
| Résidence 15 | 2.098E+00 | 2.638E-04 | 2.152E-04 | 7.563E-01 | 2.376E-03 |
| Résidence 16 | 2.293E+00 | 8.702E-05 | 7.099E-05 | 8.264E-01 | 7.837E-04 |
| Résidence 17 | 1.673E+00 | 4.606E-05 | 3.758E-05 | 6.032E-01 | 4.149E-04 |
| École primaire | 6.495E-01 | 1.873E-05 | 1.528E-05 | 2.342E-01 | 1.687E-04 |
| 50 maximums observés | | | | | |
| 1 | 1.636E+01 | 3.922E-03 | 3.199E-03 | 5.898E+00 | 3.532E-02 |
| 2 | 1.583E+01 | 3.747E-03 | 3.057E-03 | 5.706E+00 | 3.375E-02 |
| 3 | 1.554E+01 | 3.729E-03 | 3.042E-03 | 5.602E+00 | 3.358E-02 |
| 4 | 1.458E+01 | 3.414E-03 | 2.785E-03 | 5.255E+00 | 3.075E-02 |
| 5 | 1.412E+01 | 3.320E-03 | 2.709E-03 | 5.090E+00 | 2.991E-02 |
| 6 | 1.278E+01 | 3.295E-03 | 2.688E-03 | 4.608E+00 | 2.968E-02 |
| 7 | 1.242E+01 | 3.285E-03 | 2.680E-03 | 4.476E+00 | 2.959E-02 |
| 8 | 1.219E+01 | 3.269E-03 | 2.667E-03 | 4.395E+00 | 2.945E-02 |
| 9 | 1.189E+01 | 3.199E-03 | 2.610E-03 | 4.286E+00 | 2.881E-02 |
| 10 | 1.180E+01 | 3.187E-03 | 2.600E-03 | 4.252E+00 | 2.871E-02 |
| 11 | 1.139E+01 | 3.136E-03 | 2.558E-03 | 4.104E+00 | 2.824E-02 |
| 12 | 1.135E+01 | 3.016E-03 | 2.460E-03 | 4.092E+00 | 2.716E-02 |
| 13 | 1.123E+01 | 3.008E-03 | 2.454E-03 | 4.047E+00 | 2.709E-02 |
| 14 | 1.117E+01 | 2.994E-03 | 2.442E-03 | 4.028E+00 | 2.697E-02 |
| 15 | 1.115E+01 | 2.986E-03 | 2.436E-03 | 4.018E+00 | 2.690E-02 |
| 16 | 1.113E+01 | 2.969E-03 | 2.422E-03 | 4.012E+00 | 2.674E-02 |
| 17 | 1.112E+01 | 2.965E-03 | 2.419E-03 | 4.010E+00 | 2.670E-02 |
| 18 | 1.110E+01 | 2.958E-03 | 2.413E-03 | 4.001E+00 | 2.664E-02 |
| 19 | 1.106E+01 | 2.940E-03 | 2.398E-03 | 3.988E+00 | 2.648E-02 |
| 20 | 1.104E+01 | 2.938E-03 | 2.396E-03 | 3.979E+00 | 2.646E-02 |
| 21 | 1.100E+01 | 2.929E-03 | 2.389E-03 | 3.964E+00 | 2.638E-02 |
| 22 | 1.078E+01 | 2.916E-03 | 2.379E-03 | 3.887E+00 | 2.626E-02 |
| 23 | 1.070E+01 | 2.899E-03 | 2.365E-03 | 3.859E+00 | 2.611E-02 |
| 24 | 1.067E+01 | 2.889E-03 | 2.357E-03 | 3.846E+00 | 2.602E-02 |
| 25 | 1.058E+01 | 2.789E-03 | 2.275E-03 | 3.813E+00 | 2.512E-02 |
| 26 | 1.053E+01 | 2.768E-03 | 2.258E-03 | 3.796E+00 | 2.493E-02 |
| 27 | 1.048E+01 | 2.765E-03 | 2.255E-03 | 3.779E+00 | 2.490E-02 |
| 28 | 1.038E+01 | 2.730E-03 | 2.227E-03 | 3.743E+00 | 2.459E-02 |
| 29 | 1.003E+01 | 2.717E-03 | 2.216E-03 | 3.615E+00 | 2.447E-02 |
| 30 | 1.000E+01 | 2.695E-03 | 2.198E-03 | 3.606E+00 | 2.427E-02 |
| 31 | 9.984E+00 | 2.623E-03 | 2.140E-03 | 3.599E+00 | 2.363E-02 |
| 32 | 9.867E+00 | 2.614E-03 | 2.133E-03 | 3.557E+00 | 2.354E-02 |
| 33 | 9.843E+00 | 2.536E-03 | 2.069E-03 | 3.548E+00 | 2.284E-02 |
| 34 | 9.840E+00 | 2.526E-03 | 2.061E-03 | 3.547E+00 | 2.275E-02 |
| 35 | 9.625E+00 | 2.517E-03 | 2.053E-03 | 3.470E+00 | 2.267E-02 |
| 36 | 9.611E+00 | 2.513E-03 | 2.050E-03 | 3.465E+00 | 2.263E-02 |
| 37 | 9.498E+00 | 2.508E-03 | 2.046E-03 | 3.424E+00 | 2.258E-02 |
| 38 | 9.403E+00 | 2.501E-03 | 2.040E-03 | 3.390E+00 | 2.252E-02 |
| 39 | 9.382E+00 | 2.490E-03 | 2.032E-03 | 3.382E+00 | 2.243E-02 |
| 40 | 9.357E+00 | 2.486E-03 | 2.028E-03 | 3.373E+00 | 2.239E-02 |
| 41 | 9.291E+00 | 2.484E-03 | 2.026E-03 | 3.349E+00 | 2.237E-02 |
| 42 | 9.282E+00 | 2.461E-03 | 2.008E-03 | 3.346E+00 | 2.216E-02 |
| 43 | 9.241E+00 | 2.449E-03 | 1.998E-03 | 3.331E+00 | 2.206E-02 |
| 44 | 8.981E+00 | 2.414E-03 | 1.969E-03 | 3.238E+00 | 2.174E-02 |
| 45 | 8.951E+00 | 2.410E-03 | 1.966E-03 | 3.227E+00 | 2.171E-02 |
| 46 | 8.947E+00 | 2.369E-03 | 1.933E-03 | 3.225E+00 | 2.134E-02 |
| 47 | 8.883E+00 | 2.363E-03 | 1.928E-03 | 3.202E+00 | 2.128E-02 |
| 48 | 8.777E+00 | 2.337E-03 | 1.906E-03 | 3.164E+00 | 2.105E-02 |
| 49 | 8.600E+00 | 2.316E-03 | 1.890E-03 | 3.100E+00 | 2.086E-02 |
| 50 | 8.384E+00 | 2.305E-03 | 1.881E-03 | 3.022E+00 | 2.076E-02 |

Concentrations maximales observées (Récepteurs sensibles et 50 valeurs maximales sur le territoire)

Scénario : Surélévation du LET - An 2 (2022)

Sulfure d'hydrogène (H₂S)

| Sulfure d'hydrogène (H ₂ S) | | | | | | | | | | | | |
|--|-----------|-------------------|------------------------|------------------|-------------|-------------|-------------------|------------------------|------------|-------------|------------------------|-------------------|
| Coordonnées | | | Concentration maximale | Date/Heure | Coordonnées | | | Concentration maximale | Date/Heure | Coordonnées | Concentration maximale | |
| X | Y | 4 min | | | X | Y | 1h | | | X | Y | 1 an |
| m | m | µg/m ³ | | | m | m | µg/m ³ | | | m | m | µg/m ³ |
| Concentrations maximales aux récepteurs sensibles | | | | | | | | | | | | |
| Résidence 1 | 297 963.3 | 5 039 595.9 | 14.854 | 2006-11-26 10 hr | 297 963.3 | 5 039 595.9 | 7.781 | 2006-11-26 10 hr | 297 963.3 | 5 039 595.9 | 0.0085 | |
| Résidence 2 | 297 725.6 | 5 039 663.5 | 14.260 | 2006-02-03 02 hr | 297 725.6 | 5 039 663.5 | 7.470 | 2006-02-03 02 hr | 297 725.6 | 5 039 663.5 | 0.0093 | |
| Résidence 3 | 295 463.7 | 5 040 861.7 | 9.720 | 2004-02-17 07 hr | 295 463.7 | 5 040 861.7 | 5.092 | 2004-02-17 07 hr | 295 463.7 | 5 040 861.7 | 0.0485 | |
| Résidence 4 | 295 189.0 | 5 040 197.6 | 7.929 | 2005-02-03 10 hr | 295 189.0 | 5 040 197.6 | 4.154 | 2005-02-03 10 hr | 295 189.0 | 5 040 197.6 | 0.0238 | |
| Résidence 5 | 295 921.4 | 5 041 778.7 | 10.624 | 2007-02-19 04 hr | 295 921.4 | 5 041 778.7 | 5.565 | 2007-02-19 04 hr | 295 921.4 | 5 041 778.7 | 0.0412 | |
| Résidence 6 | 296 442.0 | 5 042 171.2 | 20.287 | 2005-01-23 03 hr | 296 442.0 | 5 042 171.2 | 10.627 | 2005-01-23 03 hr | 296 442.0 | 5 042 171.2 | 0.0430 | |
| Résidence 7 | 296 733.9 | 5 043 435.1 | 17.702 | 2008-12-26 06 hr | 296 733.9 | 5 043 435.1 | 9.273 | 2008-12-26 06 hr | 296 733.9 | 5 043 435.1 | 0.0184 | |
| Résidence 8 | 297 941.7 | 5 044 440.8 | 15.593 | 2005-03-09 02 hr | 297 941.7 | 5 044 440.8 | 8.169 | 2005-03-09 02 hr | 297 941.7 | 5 044 440.8 | 0.0102 | |
| Résidence 9 | 299 078.9 | 5 038 612.1 | 10.751 | 2007-01-26 05 hr | 299 078.9 | 5 038 612.1 | 5.632 | 2007-01-26 05 hr | 299 078.9 | 5 038 612.1 | 0.0050 | |
| Résidence 10 | 299 619.9 | 5 039 202.9 | 11.188 | 2007-03-22 12 hr | 299 619.9 | 5 039 202.9 | 5.861 | 2007-03-22 12 hr | 299 619.9 | 5 039 202.9 | 0.0078 | |
| Résidence 11 | 300 335.1 | 5 039 604.8 | 10.903 | 2008-12-11 02 hr | 300 335.1 | 5 039 604.8 | 5.711 | 2008-12-11 02 hr | 300 335.1 | 5 039 604.8 | 0.0106 | |
| Résidence 12 | 301 012.5 | 5 040 182.3 | 14.996 | 2006-01-03 12 hr | 301 012.5 | 5 040 182.3 | 7.856 | 2006-01-03 12 hr | 301 012.5 | 5 040 182.3 | 0.0169 | |
| Résidence 13 | 299 928.2 | 5 040 458.4 | 13.857 | 2007-11-27 05 hr | 299 928.2 | 5 040 458.4 | 7.259 | 2007-11-27 05 hr | 299 928.2 | 5 040 458.4 | 0.0262 | |
| Résidence 14 | 300 199.7 | 5 040 642.5 | 19.942 | 2006-10-09 09 hr | 300 199.7 | 5 040 642.5 | 10.447 | 2006-10-09 09 hr | 300 199.7 | 5 040 642.5 | 0.0491 | |
| Résidence 15 | 300 421.4 | 5 043 147.5 | 18.788 | 2004-02-02 08 hr | 300 421.4 | 5 043 147.5 | 9.842 | 2004-02-02 08 hr | 300 421.4 | 5 043 147.5 | 0.0396 | |
| Résidence 16 | 298 614.0 | 5 044 089.6 | 20.251 | 2005-01-25 06 hr | 298 614.0 | 5 044 089.6 | 10.608 | 2005-01-25 06 hr | 298 614.0 | 5 044 089.6 | 0.0143 | |
| Résidence 17 | 297 643.0 | 5 045 149.1 | 13.639 | 2004-01-09 22 hr | 297 643.0 | 5 045 149.1 | 7.145 | 2004-01-09 22 hr | 297 643.0 | 5 045 149.1 | 0.0074 | |
| École primaire | 303 807.8 | 5 038 761.1 | 4.712 | 2007-03-15 23 hr | 303 807.8 | 5 038 761.1 | 2.468 | 2007-03-15 23 hr | 303 807.8 | 5 038 761.1 | 0.0029 | |
| 50 concentrations maximales observées | | | | | | | | | | | | |
| 1 | 298 131.2 | 5 041 493.9 | 120.757 | 2007-02-11 05 hr | 298 131.2 | 5 041 493.9 | 63.258 | 2007-02-11 05 hr | 297 953.0 | 5 041 326.9 | 0.7287 | |
| 2 | 298 166.8 | 5 041 527.3 | 114.971 | 2005-01-29 03 hr | 298 166.8 | 5 041 527.3 | 60.228 | 2005-01-29 03 hr | 297 917.3 | 5 041 293.5 | 0.7005 | |
| 3 | 298 117.1 | 5 041 505.0 | 114.276 | 2007-02-11 05 hr | 298 117.1 | 5 041 505.0 | 59.863 | 2007-02-11 05 hr | 297 988.6 | 5 041 360.3 | 0.6828 | |
| 4 | 298 309.4 | 5 041 660.9 | 106.469 | 2004-01-14 23 hr | 298 309.4 | 5 041 660.9 | 55.774 | 2004-01-14 23 hr | 297 881.7 | 5 041 260.1 | 0.6381 | |
| 5 | 298 238.1 | 5 041 594.1 | 105.765 | 2007-03-01 07 hr | 298 238.1 | 5 041 594.1 | 55.405 | 2007-03-01 07 hr | 297 810.4 | 5 041 193.2 | 0.6274 | |
| 6 | 298 095.6 | 5 041 460.5 | 105.190 | 2008-01-17 07 hr | 298 095.6 | 5 041 460.5 | 55.103 | 2008-01-17 07 hr | 297 774.7 | 5 041 159.8 | 0.6214 | |
| 7 | 298 273.8 | 5 041 627.5 | 104.729 | 2004-01-09 22 hr | 298 273.8 | 5 041 627.5 | 54.862 | 2004-01-09 22 hr | 297 846.0 | 5 041 226.7 | 0.6189 | |
| 8 | 298 202.5 | 5 041 560.7 | 104.705 | 2004-01-26 05 hr | 298 202.5 | 5 041 560.7 | 54.850 | 2004-01-26 05 hr | 298 024.3 | 5 041 393.7 | 0.5972 | |
| 9 | 298 345.1 | 5 041 694.3 | 99.615 | 2007-02-26 03 hr | 298 345.1 | 5 041 694.3 | 52.183 | 2007-02-26 03 hr | 297 739.1 | 5 041 126.4 | 0.5957 | |
| 10 | 298 769.1 | 5 041 549.2 | 99.399 | 2004-01-10 02 hr | 298 769.1 | 5 041 549.2 | 52.070 | 2004-01-10 02 hr | 298 059.9 | 5 041 427.1 | 0.5822 | |
| 11 | 298 717.1 | 5 041 605.0 | 99.074 | 2004-01-26 06 hr | 298 717.1 | 5 041 605.0 | 51.900 | 2004-01-26 06 hr | 298 017.1 | 5 041 405.0 | 0.5604 | |
| 12 | 298 698.8 | 5 041 618.9 | 98.851 | 2004-01-09 23 hr | 298 698.8 | 5 041 618.9 | 51.783 | 2004-01-09 23 hr | 297 703.5 | 5 041 093.0 | 0.5493 | |
| 13 | 298 804.3 | 5 041 514.4 | 96.569 | 2006-03-08 07 hr | 298 804.3 | 5 041 514.4 | 50.587 | 2006-03-08 07 hr | 298 095.6 | 5 041 460.5 | 0.5436 | |
| 14 | 298 217.1 | 5 041 605.0 | 96.552 | 2007-03-14 05 hr | 298 217.1 | 5 041 605.0 | 50.579 | 2007-03-14 05 hr | 298 804.3 | 5 041 514.4 | 0.5394 | |
| 15 | 298 663.6 | 5 041 653.7 | 95.869 | 2006-12-15 02 hr | 298 663.6 | 5 041 653.7 | 50.221 | 2006-12-15 02 hr | 298 817.1 | 5 041 505.0 | 0.5391 | |
| 16 | 298 733.9 | 5 041 584.0 | 95.557 | 2004-02-04 06 hr | 298 733.9 | 5 041 584.0 | 50.058 | 2004-02-04 06 hr | 298 839.5 | 5 041 479.5 | 0.5366 | |
| 17 | 298 628.4 | 5 041 686.6 | 94.731 | 2004-02-16 07 hr | 298 628.4 | 5 041 686.6 | 49.625 | 2004-02-16 07 hr | 298 769.1 | 5 041 549.2 | 0.5197 | |
| 18 | 298 817.1 | 5 041 505.0 | 94.307 | 2004-03-21 05 hr | 298 817.1 | 5 041 505.0 | 49.403 | 2004-03-21 05 hr | 298 733.9 | 5 041 584.0 | 0.5151 | |
| 19 | 298 380.7 | 5 041 727.7 | 93.878 | 2005-01-25 06 hr | 298 380.7 | 5 041 727.7 | 49.178 | 2005-01-25 06 hr | 297 683.8 | 5 041 167.5 | 0.5049 | |
| 20 | 298 839.5 | 5 041 479.5 | 92.998 | 2008-12-26 02 hr | 298 839.5 | 5 041 479.5 | 48.717 | 2008-12-26 02 hr | 298 717.1 | 5 041 605.0 | 0.5005 | |
| 21 | 298 117.1 | 5 041 605.0 | 90.047 | 2004-01-25 23 hr | 298 117.1 | 5 041 605.0 | 47.171 | 2004-01-25 23 hr | 297 850.5 | 5 041 355.0 | 0.4974 | |
| 22 | 298 392.1 | 5 041 771.5 | 89.802 | 2005-01-25 06 hr | 298 392.1 | 5 041 771.5 | 47.043 | 2005-01-25 06 hr | 298 874.7 | 5 041 444.7 | 0.4958 | |
| 23 | 298 817.1 | 5 041 605.0 | 89.576 | 2004-01-10 02 hr | 298 817.1 | 5 041 605.0 | 46.924 | 2004-01-10 02 hr | 297 667.8 | 5 041 099.6 | 0.4872 | |
| 24 | 298 059.9 | 5 041 427.1 | 89.295 | 2005-01-23 03 hr | 298 059.9 | 5 041 427.1 | 46.777 | 2005-01-23 03 hr | 298 698.8 | 5 041 618.9 | 0.4851 | |
| 25 | 298 416.4 | 5 041 761.1 | 88.363 | 2005-01-25 06 hr | 298 416.4 | 5 041 761.1 | 46.289 | 2005-01-25 06 hr | 298 909.9 | 5 041 409.8 | 0.4564 | |
| 26 | 298 874.7 | 5 041 444.7 | 88.156 | 2004-02-12 23 hr | 298 874.7 | 5 041 444.7 | 46.180 | 2004-02-12 23 hr | 298 917.1 | 5 041 405.0 | 0.4497 | |
| 27 | 298 558.0 | 5 041 758.3 | 88.127 | 2008-03-11 23 hr | 298 558.0 | 5 041 758.3 | 46.165 | 2008-03-11 23 hr | 298 131.2 | 5 041 493.9 | 0.4341 | |
| 28 | 298 452.0 | 5 041 794.5 | 86.204 | 2007-12-01 22 hr | 298 452.0 | 5 041 794.5 | 45.158 | 2007-12-01 22 hr | 298 945.0 | 5 041 375.0 | 0.4338 | |
| 29 | 298 522.8 | 5 041 793.1 | 85.059 | 2004-12-17 23 hr | 298 522.8 | 5 041 793.1 | 44.558 | 2004-12-17 23 hr | 298 917.1 | 5 041 505.0 | 0.4283 | |
| 30 | 298 909.9 | 5 041 409.8 | 84.212 | 2005-12-11 04 hr | 298 909.9 | 5 041 409.8 | 44.114 | 2005-12-11 04 hr | 298 817.1 | 5 041 605.0 | 0.4250 | |
| 31 | 298 917.1 | 5 041 405.0 | 83.212 | 2005-12-11 04 hr | 298 917.1 | 5 041 405.0 | 43.591 | 2005-12-11 04 hr | 298 017.1 | 5 041 505.0 | 0.4235 | |
| 32 | 298 487.6 | 5 041 828.0 | 83.129 | 2008-03-06 06 hr | 298 487.6 | 5 041 828.0 | 43.547 | 2008-03-06 06 hr | 297 632.2 | 5 041 026.2 | 0.4196 | |
| 33 | 298 917.1 | 5 041 505.0 | 82.765 | 2004-01-07 04 hr | 298 917.1 | 5 041 505.0 | 43.356 | 2004-01-07 04 hr | 298 663.6 | 5 041 653.7 | 0.4195 | |
| 34 | 298 767.1 | 5 041 771.5 | 80.435 | 2005-12-13 23 hr | 298 767.1 | 5 041 771.5 | 42.136 | 2005-12-13 23 hr | 298 980.2 | 5 041 340.1 | 0.4115 | |
| 35 | 298 593.2 | 5 041 723.4 | 80.167 | 2008-02-10 10 hr | 298 593.2 | 5 041 723.4 | 41.995 | 2008-02-10 10 hr | 298 117.1 | 5 041 505.0 | 0.4066 | |
| 36 | 298 579.6 | 5 041 771.5 | 80.125 | 2008-03-11 23 hr | 298 579.6 | 5 041 771.5 | 41.973 | 2008-03-11 23 hr | 299 015.4 | 5 041 305.3 | 0.3888 | |
| 37 | 298 017.1 | 5 041 505.0 | 79.811 | 2007-02-01 08 hr | 298 017.1 | 5 041 505.0 | 41.809 | 2007-02-01 08 hr | 299 017.1 | 5 041 305.0 | 0.3873 | |
| 38 | 298 204.6 | 5 041 771.5 | 79.676 | 2004-02-24 07 hr | 298 204.6 | 5 041 771.5 | 41.738 | 2004-02-24 07 hr | 298 917.1 | 5 041 605.0 | 0.3775 | |
| 39 | 298 945.0 | 5 041 375.0 | 79.556 | 2007-01-26 06 hr | 298 945.0 | 5 041 375.0 | 41.675 | 2007-01-26 06 hr | 297 517.1 | 5 041 167.5 | 0.3683 | |
| 40 | 298 017.1 | 5 041 605.0 | 78.684 | 2007-02-11 06 hr | 298 017.1 | 5 041 605.0 | 41.219 | 2007-02-11 06 hr | 299 017.1 | 5 041 405.0 | 0.3597 | |
| 41 | 298 917.1 | 5 041 605.0 | 78.602 | 2006-03-08 07 hr | 298 917.1 | 5 041 605.0 | 41.176 | 2006-03-08 07 hr | 299 050.6 | 5 041 | | |

Concentrations maximales observées (Récepteurs sensibles et 50 valeurs maximales sur le territoire)

Scénario : Surélévation du LET - An 2 (2022)

Contaminant unitaire

| Concentration maximale horaire | | | | | | Concentration maximale journalière | | | | | | Concentration maximale annuelle | | |
|--|-----------|-------------|------------------------|------------------|-----------|------------------------------------|---|--------|------------------------|------------|-------------|---------------------------------|---------|------------------------|
| Coordonnées | | | Concentration maximale | Date/Heure | | Coordonnées | | | Concentration maximale | Date/Heure | | Coordonnées | | Concentration maximale |
| X | Y | 1h | | | | X | Y | 24h | | | | X | Y | 1 an |
| m | m | µg/m³ | | | | m | m | µg/m³ | | | | m | m | µg/m³ |
| Concentrations maximales aux récepteurs sensibles | | | | | | | | | | | | | | |
| Résidence 1 | 297 963.3 | 5 039 595.9 | 0.084 | 2006-11-26 10 hr | 297 963.3 | 5 039 595.9 | | 0.0054 | 2006-06-15 24 hr | 297 963.3 | 5 039 595.9 | | 0.00017 | |
| Résidence 2 | 297 725.6 | 5 039 663.5 | 0.081 | 2006-02-03 02 hr | 297 725.6 | 5 039 663.5 | | 0.0045 | 2008-10-13 24 hr | 297 725.6 | 5 039 663.5 | | 0.00022 | |
| Résidence 3 | 295 463.7 | 5 040 861.7 | 0.058 | 2004-02-28 03 hr | 295 463.7 | 5 040 861.7 | | 0.0127 | 2004-02-28 24 hr | 295 463.7 | 5 040 861.7 | | 0.00079 | |
| Résidence 4 | 295 189.0 | 5 040 197.6 | 0.046 | 2005-03-01 07 hr | 295 189.0 | 5 040 197.6 | | 0.0062 | 2006-12-16 24 hr | 295 189.0 | 5 040 197.6 | | 0.00040 | |
| Résidence 5 | 295 921.4 | 5 041 778.7 | 0.075 | 2007-02-19 04 hr | 295 921.4 | 5 041 778.7 | | 0.0113 | 2005-03-22 24 hr | 295 921.4 | 5 041 778.7 | | 0.00057 | |
| Résidence 6 | 296 442.0 | 5 042 171.2 | 0.158 | 2005-01-23 03 hr | 296 442.0 | 5 042 171.2 | | 0.0139 | 2005-12-15 24 hr | 296 442.0 | 5 042 171.2 | | 0.00066 | |
| Résidence 7 | 296 733.9 | 5 043 435.1 | 0.132 | 2008-12-26 06 hr | 296 733.9 | 5 043 435.1 | | 0.0138 | 2006-12-14 24 hr | 296 733.9 | 5 043 435.1 | | 0.00028 | |
| Résidence 8 | 297 941.7 | 5 044 440.8 | 0.092 | 2005-03-09 02 hr | 297 941.7 | 5 044 440.8 | | 0.0057 | 2007-01-05 24 hr | 297 941.7 | 5 044 440.8 | | 0.00015 | |
| Résidence 9 | 299 078.9 | 5 038 612.1 | 0.070 | 2007-01-26 05 hr | 299 078.9 | 5 038 612.1 | | 0.0037 | 2004-03-27 24 hr | 299 078.9 | 5 038 612.1 | | 0.00008 | |
| Résidence 10 | 299 619.9 | 5 039 202.9 | 0.088 | 2007-03-22 12 hr | 299 619.9 | 5 039 202.9 | | 0.0088 | 2006-03-25 24 hr | 299 619.9 | 5 039 202.9 | | 0.00013 | |
| Résidence 11 | 300 335.1 | 5 039 604.8 | 0.093 | 2008-12-11 02 hr | 300 335.1 | 5 039 604.8 | | 0.0049 | 2004-02-02 24 hr | 300 335.1 | 5 039 604.8 | | 0.00018 | |
| Résidence 12 | 301 012.5 | 5 040 182.3 | 0.134 | 2006-01-03 12 hr | 301 012.5 | 5 040 182.3 | | 0.0086 | 2008-10-12 24 hr | 301 012.5 | 5 040 182.3 | | 0.00036 | |
| Résidence 13 | 299 928.2 | 5 040 458.4 | 0.140 | 2006-01-03 12 hr | 299 928.2 | 5 040 458.4 | | 0.0110 | 2006-01-03 24 hr | 299 928.2 | 5 040 458.4 | | 0.00061 | |
| Résidence 14 | 300 199.7 | 5 040 642.5 | 0.145 | 2008-01-26 14 hr | 300 199.7 | 5 040 642.5 | | 0.0130 | 2006-01-03 24 hr | 300 199.7 | 5 040 642.5 | | 0.00092 | |
| Résidence 15 | 300 421.4 | 5 043 147.5 | 0.106 | 2004-02-02 08 hr | 300 421.4 | 5 043 147.5 | | 0.0084 | 2007-02-08 24 hr | 300 421.4 | 5 043 147.5 | | 0.00061 | |
| Résidence 16 | 298 614.0 | 5 044 089.6 | 0.116 | 2005-01-25 06 hr | 298 614.0 | 5 044 089.6 | | 0.0056 | 2004-08-21 24 hr | 298 614.0 | 5 044 089.6 | | 0.00020 | |
| Résidence 17 | 297 643.0 | 5 045 149.1 | 0.084 | 2004-01-09 22 hr | 297 643.0 | 5 045 149.1 | | 0.0044 | 2004-01-15 24 hr | 297 643.0 | 5 045 149.1 | | 0.00011 | |
| École primaire | 303 807.8 | 5 038 761.1 | 0.032 | 2004-11-12 11 hr | 303 807.8 | 5 038 761.1 | | 0.0018 | 2004-11-12 24 hr | 303 807.8 | 5 038 761.1 | | 0.00004 | |
| 50 concentrations maximales observées | | | | | | | | | | | | | | |
| 1 | 298 131.2 | 5 041 493.9 | 0.808 | 2007-02-11 05 hr | 298 166.8 | 5 041 527.3 | | 0.1115 | 2006-12-14 24 hr | 297 953.0 | 5 041 326.9 | | 0.00925 | |
| 2 | 298 166.8 | 5 041 527.3 | 0.781 | 2005-01-29 03 hr | 298 980.2 | 5 041 340.1 | | 0.0977 | 2007-12-09 24 hr | 297 917.3 | 5 041 293.5 | | 0.00884 | |
| 3 | 298 117.1 | 5 041 505.0 | 0.767 | 2007-02-11 05 hr | 298 874.7 | 5 041 444.7 | | 0.0951 | 2006-12-12 24 hr | 297 988.6 | 5 041 360.3 | | 0.00878 | |
| 4 | 298 202.5 | 5 041 560.7 | 0.718 | 2004-01-26 05 hr | 298 945.0 | 5 041 375.0 | | 0.0918 | 2007-12-09 24 hr | 297 881.7 | 5 041 260.1 | | 0.00805 | |
| 5 | 298 095.6 | 5 041 460.5 | 0.698 | 2008-01-17 07 hr | 298 095.6 | 5 041 460.5 | | 0.0917 | 2005-01-28 24 hr | 298 024.3 | 5 041 393.7 | | 0.00780 | |
| 6 | 298 117.1 | 5 041 605.0 | 0.628 | 2004-01-25 23 hr | 298 839.5 | 5 041 479.5 | | 0.0869 | 2006-12-12 24 hr | 297 810.4 | 5 041 193.2 | | 0.00779 | |
| 7 | 298 217.1 | 5 041 605.0 | 0.616 | 2008-03-11 24 hr | 297 953.0 | 5 041 326.9 | | 0.0858 | 2004-10-06 24 hr | 297 846.0 | 5 041 226.7 | | 0.00776 | |
| 8 | 298 238.1 | 5 041 594.1 | 0.613 | 2007-03-01 07 hr | 298 917.1 | 5 041 505.0 | | 0.0853 | 2006-12-12 24 hr | 297 774.7 | 5 041 159.8 | | 0.00773 | |
| 9 | 298 309.4 | 5 041 660.9 | 0.600 | 2004-01-14 23 hr | 297 988.6 | 5 041 360.3 | | 0.0832 | 2004-10-29 24 hr | 298 059.9 | 5 041 427.1 | | 0.00753 | |
| 10 | 298 273.8 | 5 041 627.5 | 0.595 | 2004-01-09 22 hr | 297 774.7 | 5 041 159.8 | | 0.0832 | 2007-01-28 24 hr | 297 739.1 | 5 041 126.4 | | 0.00752 | |
| 11 | 298 345.1 | 5 041 694.3 | 0.562 | 2007-02-26 03 hr | 298 117.1 | 5 041 605.0 | | 0.0821 | 2006-12-14 24 hr | 298 017.1 | 5 041 405.0 | | 0.00736 | |
| 12 | 298 769.1 | 5 041 549.2 | 0.560 | 2004-01-10 02 hr | 297 917.3 | 5 041 293.5 | | 0.0817 | 2004-02-18 24 hr | 297 703.5 | 5 041 093.0 | | 0.00709 | |
| 13 | 298 717.1 | 5 041 605.0 | 0.559 | 2004-01-26 06 hr | 299 015.4 | 5 041 305.3 | | 0.0816 | 2007-12-09 24 hr | 298 839.5 | 5 041 479.5 | | 0.00706 | |
| 14 | 298 698.8 | 5 041 618.9 | 0.557 | 2004-01-09 23 hr | 299 017.1 | 5 041 305.0 | | 0.0812 | 2007-12-09 24 hr | 298 095.6 | 5 041 460.5 | | 0.00698 | |
| 15 | 297 988.6 | 5 041 360.3 | 0.557 | 2005-01-31 03 hr | 298 132.1 | 5 041 493.9 | | 0.0811 | 2007-02-11 24 hr | 298 817.1 | 5 041 505.0 | | 0.00696 | |
| 16 | 298 024.3 | 5 041 393.7 | 0.556 | 2007-02-11 06 hr | 297 810.4 | 5 041 193.2 | | 0.0801 | 2007-01-28 24 hr | 298 804.3 | 5 041 514.4 | | 0.00692 | |
| 17 | 297 953.0 | 5 041 326.9 | 0.549 | 2005-12-16 05 hr | 297 703.5 | 5 041 093.0 | | 0.0797 | 2004-01-11 24 hr | 298 874.7 | 5 041 444.7 | | 0.00686 | |
| 18 | 298 017.1 | 5 041 605.0 | 0.549 | 2007-02-11 06 hr | 298 017.1 | 5 041 505.0 | | 0.0793 | 2005-01-28 24 hr | 299 015.4 | 5 041 305.3 | | 0.00684 | |
| 19 | 297 917.3 | 5 041 293.5 | 0.546 | 2005-01-23 03 hr | 299 017.1 | 5 041 405.0 | | 0.0784 | 2007-12-09 24 hr | 299 017.1 | 5 041 305.0 | | 0.00682 | |
| 20 | 298 017.1 | 5 041 405.0 | 0.546 | 2007-02-11 05 hr | 297 739.1 | 5 041 126.4 | | 0.0772 | 2007-01-28 24 hr | 298 980.2 | 5 041 340.1 | | 0.00681 | |
| 21 | 298 804.3 | 5 041 514.4 | 0.544 | 2006-03-08 07 hr | 298 117.1 | 5 041 505.0 | | 0.0771 | 2007-02-11 24 hr | 298 945.0 | 5 041 375.0 | | 0.00676 | |
| 22 | 298 663.6 | 5 041 653.7 | 0.541 | 2006-12-15 02 hr | 299 121.0 | 5 041 200.8 | | 0.0768 | 2007-12-09 24 hr | 298 909.9 | 5 041 409.8 | | 0.00672 | |
| 23 | 298 733.9 | 5 041 584.0 | 0.539 | 2004-02-04 06 hr | 298 059.9 | 5 041 427.1 | | 0.0762 | 2005-01-28 24 hr | 298 917.1 | 5 041 405.0 | | 0.00670 | |
| 24 | 298 059.9 | 5 041 427.1 | 0.538 | 2007-03-10 06 hr | 298 917.1 | 5 041 405.0 | | 0.0730 | 2007-12-09 24 hr | 299 056.0 | 5 041 270.4 | | 0.00663 | |
| 25 | 298 628.4 | 5 041 686.6 | 0.534 | 2004-02-16 07 hr | 299 085.8 | 5 041 235.6 | | 0.0723 | 2007-12-09 24 hr | 298 769.1 | 5 041 549.2 | | 0.00658 | |
| 26 | 298 817.1 | 5 041 505.0 | 0.532 | 2004-03-21 05 hr | 299 183.8 | 5 041 230.0 | | 0.0722 | 2007-12-09 24 hr | 297 667.8 | 5 041 059.6 | | 0.00649 | |
| 27 | 298 380.7 | 5 041 727.7 | 0.529 | 2005-01-25 06 hr | 299 156.1 | 5 041 165.9 | | 0.0721 | 2007-12-09 24 hr | 297 850.5 | 5 041 355.0 | | 0.00642 | |
| 28 | 298 839.5 | 5 041 479.5 | 0.524 | 2008-12-26 02 hr | 299 183.8 | 5 041 417.5 | | 0.0717 | 2007-12-09 24 hr | 298 733.9 | 5 041 584.0 | | 0.00642 | |
| 29 | 298 392.1 | 5 041 771.5 | 0.506 | 2005-01-25 06 hr | 299 050.6 | 5 041 270.4 | | 0.0709 | 2007-12-09 24 hr | 297 683.8 | 5 041 167.5 | | 0.00636 | |
| 30 | 298 817.1 | 5 041 605.0 | 0.505 | 2004-01-10 02 hr | 298 804.3 | 5 041 514.4 | | 0.0709 | 2008-02-21 24 hr | 299 085.8 | 5 041 235.6 | | 0.00627 | |
| 31 | 298 416.4 | 5 041 761.1 | 0.498 | 2005-01-25 06 hr | 298 733.9 | 5 041 584.0 | | 0.0709 | 2006-10-17 24 hr | 298 717.1 | 5 041 605.0 | | 0.00620 | |
| 32 | 298 874.7 | 5 041 444.7 | 0.497 | 2004-02-12 23 hr | 298 202.5 | 5 041 560.7 | | 0.0707 | 2004-03-29 24 hr | 298 698.8 | 5 041 618.9 | | 0.00600 | |
| 33 | 298 558.0 | 5 041 753.8 | 0.497 | 2008-03-11 23 hr | 297 667.8 | 5 041 059.6 | | 0.0703 | 2004-01-11 24 hr | 299 121.0 | 5 041 200.8 | | 0.00591 | |
| 34 | 298 017.1 | 5 041 505.0 | 0.496 | 2004-12-16 24 hr | 297 683.8 | 5 041 167.5 | | 0.0702 | 2007-01-28 24 hr | 298 917.1 | 5 041 505.0 | | 0.00590 | |
| 35 | 298 452.0 | 5 041 794.5 | 0.486 | 2007-12-01 22 hr | 298 698.8 | 5 041 618.9 | | 0.0698 | 2005-10-22 24 hr | 297 632.2 | 5 041 026.2 | | 0.00580 | |
| 36 | 298 522.8 | 5 041 793.1 | 0.480 | 2004-12-17 23 hr | 298 024.3 | 5 041 393.7 | | 0.0696 | 2004-10-29 24 hr | 299 017.1 | 5 041 405.0 | | 0.00579 | |
| 37 | 298 909.9 | 5 041 409.8 | 0.475 | 2005-12-11 04 hr | 297 850.5 | 5 041 355.0 | | 0.0694 | 2004-02-18 24 hr | 298 131.2 | 5 041 493.9 | | 0.00566 | |
| 38 | 297 850.5 | 5 041 355.0 | 0.471 | 200 | | | | | | | | | | |

Concentrations maximales observées (Récepteurs sensibles et 50 valeurs maximales sur le territoire)

Scénario : Surélévation du LET - An 2 (2022)

Odeurs

| Concentrations maximales horaires | | | | | | | | |
|--|-----------|-------------|---------------|--------|-------------|-------------|-------------|---------|
| Coordonnées | | | 99.5e centile | | Coordonnées | | 98e centile | |
| | X | Y | 4 min | 1h | X | Y | 4 min | 1h |
| | m | m | µg/m³ | µg/m³ | m | m | µg/m³ | µg/m³ |
| Concentrations maximales aux récepteurs sensibles | | | | | | | | |
| Résidence 1 | 297 963.3 | 5 039 595.9 | 1.542 | 0.808 | 297 963.3 | 5 039 595.9 | 0.238 | 0.1245 |
| Résidence 2 | 297 725.6 | 5 039 663.5 | 2.376 | 1.245 | 297 725.6 | 5 039 663.5 | 0.432 | 0.2262 |
| Résidence 3 | 295 463.7 | 5 040 861.7 | 3.405 | 1.784 | 295 463.7 | 5 040 861.7 | 0.663 | 0.3473 |
| Résidence 4 | 295 189.0 | 5 040 197.6 | 2.203 | 1.154 | 295 189.0 | 5 040 197.6 | 0.360 | 0.1887 |
| Résidence 5 | 295 921.4 | 5 041 778.7 | 1.500 | 0.786 | 295 921.4 | 5 041 778.7 | 0.187 | 0.0977 |
| Résidence 6 | 296 442.0 | 5 042 171.2 | 3.364 | 1.762 | 296 442.0 | 5 042 171.2 | 0.163 | 0.0855 |
| Résidence 7 | 296 733.9 | 5 043 435.1 | 0.643 | 0.337 | 296 733.9 | 5 043 435.1 | 0.015 | 0.0081 |
| Résidence 8 | 297 941.7 | 5 044 440.8 | 0.308 | 0.161 | 297 941.7 | 5 044 440.8 | 0.001 | 0.0004 |
| Résidence 9 | 299 078.9 | 5 038 612.1 | 0.171 | 0.089 | 299 078.9 | 5 038 612.1 | 0.000 | 0.0001 |
| Résidence 10 | 299 619.9 | 5 039 202.9 | 0.536 | 0.281 | 299 619.9 | 5 039 202.9 | 0.054 | 0.0285 |
| Résidence 11 | 300 335.1 | 5 039 604.8 | 0.692 | 0.362 | 300 335.1 | 5 039 604.8 | 0.133 | 0.0694 |
| Résidence 12 | 301 012.5 | 5 040 182.3 | 2.084 | 1.092 | 301 012.5 | 5 040 182.3 | 0.298 | 0.1561 |
| Résidence 13 | 299 928.2 | 5 040 458.4 | 8.085 | 4.235 | 299 928.2 | 5 040 458.4 | 1.256 | 0.6582 |
| Résidence 14 | 300 199.7 | 5 040 642.5 | 7.259 | 3.802 | 300 199.7 | 5 040 642.5 | 1.225 | 0.6419 |
| Résidence 15 | 300 421.4 | 5 043 147.5 | 2.194 | 1.149 | 300 421.4 | 5 043 147.5 | 0.295 | 0.1546 |
| Résidence 16 | 298 614.0 | 5 044 089.6 | 0.545 | 0.285 | 298 614.0 | 5 044 089.6 | 0.017 | 0.0087 |
| Résidence 17 | 297 643.0 | 5 045 149.1 | 0.189 | 0.099 | 297 643.0 | 5 045 149.1 | 0.000 | 0.0001 |
| École primaire | 303 807.8 | 5 038 761.1 | 0.133 | 0.070 | 303 807.8 | 5 038 761.1 | 0.023 | 0.0118 |
| 50 concentrations maximales observées | | | | | | | | |
| 1 | 299 077.9 | 5 040 711.4 | 53.492 | 28.022 | 299 077.9 | 5 040 711.4 | 29.434 | 15.4190 |
| 2 | 299 087.4 | 5 040 736.6 | 52.922 | 27.723 | 299 087.4 | 5 040 736.6 | 29.021 | 15.2024 |
| 3 | 299 096.9 | 5 040 761.8 | 51.446 | 26.950 | 299 066.2 | 5 040 683.9 | 27.723 | 14.5228 |
| 4 | 299 066.2 | 5 040 683.9 | 51.159 | 26.799 | 299 096.9 | 5 040 761.8 | 27.542 | 14.4278 |
| 5 | 299 110.1 | 5 040 803.7 | 48.756 | 25.541 | 299 110.1 | 5 040 803.7 | 25.049 | 13.1219 |
| 6 | 299 054.5 | 5 040 656.4 | 47.326 | 24.792 | 299 054.5 | 5 040 656.4 | 24.606 | 12.8898 |
| 7 | 299 117.3 | 5 040 829.3 | 46.100 | 24.149 | 299 117.3 | 5 040 829.3 | 23.179 | 12.1424 |
| 8 | 299 124.5 | 5 040 854.9 | 43.708 | 22.896 | 299 124.5 | 5 040 854.9 | 21.540 | 11.2836 |
| 9 | 299 130.5 | 5 040 880.7 | 42.215 | 22.114 | 299 130.5 | 5 040 880.7 | 19.926 | 10.4381 |
| 10 | 299 034.3 | 5 040 616.1 | 40.968 | 21.461 | 299 034.3 | 5 040 616.1 | 19.640 | 10.2885 |
| 11 | 299 136.6 | 5 040 906.5 | 39.948 | 20.927 | 299 136.6 | 5 040 906.5 | 17.800 | 9.3244 |
| 12 | 299 141.5 | 5 040 935.3 | 37.334 | 19.557 | 299 141.5 | 5 040 935.3 | 16.615 | 8.7038 |
| 13 | 299 183.8 | 5 040 855.0 | 36.800 | 19.278 | 299 183.8 | 5 040 855.0 | 16.354 | 8.5669 |
| 14 | 299 022.4 | 5 040 593.7 | 35.895 | 18.804 | 299 022.4 | 5 040 593.7 | 16.286 | 8.5314 |
| 15 | 299 146.4 | 5 040 964.2 | 35.217 | 18.448 | 299 146.4 | 5 040 964.2 | 15.159 | 7.9412 |
| 16 | 299 150.1 | 5 040 987.5 | 34.114 | 17.871 | 299 150.1 | 5 040 987.5 | 13.926 | 7.2952 |
| 17 | 299 152.7 | 5 041 012.7 | 32.858 | 17.212 | 299 010.5 | 5 040 571.2 | 13.728 | 7.1912 |
| 18 | 299 183.8 | 5 040 667.5 | 31.706 | 16.609 | 299 183.8 | 5 040 667.5 | 13.432 | 7.0365 |
| 19 | 299 155.4 | 5 041 037.8 | 30.635 | 16.048 | 299 152.7 | 5 041 012.7 | 12.880 | 6.7470 |
| 20 | 299 157.2 | 5 041 075.8 | 29.178 | 15.285 | 298 986.0 | 5 040 531.5 | 11.119 | 5.8247 |
| 21 | 299 183.8 | 5 041 042.5 | 29.105 | 15.247 | 299 155.4 | 5 041 037.8 | 11.104 | 5.8167 |
| 22 | 299 010.5 | 5 040 571.2 | 29.051 | 15.218 | 299 183.8 | 5 041 042.5 | 10.534 | 5.5182 |
| 23 | 299 157.6 | 5 041 109.9 | 27.582 | 14.449 | 297 979.7 | 5 040 618.9 | 10.367 | 5.4307 |
| 24 | 299 156.8 | 5 041 137.9 | 25.173 | 13.187 | 298 014.5 | 5 040 584.9 | 10.343 | 5.4179 |
| 25 | 299 350.5 | 5 040 855.0 | 24.940 | 13.065 | 298 049.4 | 5 040 550.9 | 10.177 | 5.3315 |
| 26 | 299 156.1 | 5 041 165.9 | 23.603 | 12.364 | 297 944.9 | 5 040 652.9 | 9.949 | 5.2120 |
| 27 | 298 986.0 | 5 040 531.5 | 22.450 | 11.760 | 298 084.2 | 5 040 516.9 | 9.800 | 5.1336 |
| 28 | 299 350.5 | 5 041 042.5 | 21.548 | 11.288 | 298 119.0 | 5 040 482.9 | 9.668 | 5.0644 |
| 29 | 299 121.0 | 5 041 200.8 | 21.498 | 11.262 | 297 910.0 | 5 040 686.9 | 9.549 | 5.0023 |
| 30 | 298 971.5 | 5 040 508.2 | 21.441 | 11.232 | 298 971.5 | 5 040 508.2 | 9.483 | 4.9679 |
| 31 | 299 350.5 | 5 040 667.5 | 21.005 | 11.003 | 297 875.2 | 5 040 720.9 | 9.039 | 4.7350 |
| 32 | 298 960.8 | 5 040 492.5 | 20.717 | 10.853 | 299 157.2 | 5 041 075.8 | 8.886 | 4.6551 |
| 33 | 298 223.5 | 5 040 381.0 | 20.247 | 10.607 | 298 960.8 | 5 040 492.5 | 8.781 | 4.5998 |
| 34 | 298 940.8 | 5 040 464.5 | 19.824 | 10.385 | 297 850.5 | 5 040 605.0 | 8.495 | 4.4504 |
| 35 | 299 085.8 | 5 041 235.6 | 19.600 | 10.268 | 298 153.9 | 5 040 448.9 | 8.232 | 4.3123 |
| 36 | 299 183.8 | 5 041 230.0 | 19.462 | 10.195 | 297 840.4 | 5 040 754.9 | 8.112 | 4.2493 |
| 37 | 298 258.4 | 5 040 347.0 | 19.347 | 10.135 | 299 157.6 | 5 041 109.9 | 7.562 | 3.9612 |
| 38 | 298 188.7 | 5 040 415.0 | 19.311 | 10.116 | 298 940.8 | 5 040 464.5 | 7.316 | 3.8324 |
| 39 | 298 920.9 | 5 040 436.6 | 18.861 | 9.880 | 299 350.5 | 5 040 855.0 | 7.265 | 3.8056 |
| 40 | 298 293.2 | 5 040 313.0 | 18.491 | 9.686 | 299 350.5 | 5 040 667.5 | 7.053 | 3.6947 |
| 41 | 298 153.9 | 5 040 448.9 | 18.379 | 9.628 | 298 188.7 | 5 040 415.0 | 6.832 | 3.5788 |
| 42 | 298 328.0 | 5 040 279.0 | 17.877 | 9.365 | 297 805.5 | 5 040 788.9 | 6.751 | 3.5365 |
| 43 | 299 517.1 | 5 040 855.0 | 17.687 | 9.266 | 298 079.6 | 5 040 438.5 | 6.716 | 3.5182 |
| 44 | 298 119.0 | 5 040 482.9 | 17.686 | 9.265 | 299 350.5 | 5 041 042.5 | 6.291 | 3.2955 |
| 45 | 298 084.2 | 5 040 516.9 | 17.196 | 9.008 | 297 683.8 | 5 040 605.0 | 6.190 | 3.2425 |
| 46 | 298 049.4 | 5 040 550.9 | 16.802 | 8.802 | 299 156.8 | 5 041 137.9 | 6.166 | 3.2300 |
| 47 | 299 050.6 | 5 041 270.4 | 16.501 | 8.644 | 298 223.5 | 5 040 381.0 | 5.985 | 3.1353 |
| 48 | 299 350.5 | 5 041 230.0 | 16.453 | 8.619 | 298 920.9 | 5 040 436.6 | 5.870 | 3.0751 |
| 49 | 298 079.6 | 5 040 438.5 | 16.159 | 8.465 | 297 770.7 | 5 040 822.9 | 5.618 | 2.9431 |
| 50 | 298 014.5 | 5 040 584.9 | 15.943 | 8.352 | 297 683.8 | 5 040 792.5 | 5.560 | 2.9127 |

Scénario :
Surélévation du LET
An 2 (2022)

| Récepteur | Odeurs 99.5 centile | Odeurs 98e centile | SRT totaux | Hydrogen sulfide | | Dimethyl sulfide | | Ethyl mercaptan | |
|-----------------------------|------------------------|-----------------------|------------|------------------|-----------|------------------|-----------|-----------------|-----------|
| | 1 h | 1 h | Annuel | 4 min | Annuel | 4 min | Annuel | 4 min | Annuel |
| Récepteurs sensibles | | | | | | | | | |
| Résidence 1 | 8.079E-01 | 1.245E-01 | 8.840E-03 | 1.485E+01 | 8.539E-03 | 2.302E-01 | 2.460E-04 | 8.058E-03 | 8.609E-06 |
| Résidence 2 | 1.245E+00 | 2.262E-01 | 9.672E-03 | 1.426E+01 | 9.278E-03 | 2.209E-01 | 3.221E-04 | 7.733E-03 | 1.127E-05 |
| Résidence 3 | 1.784E+00 | 3.473E-01 | 4.993E-02 | 9.720E+00 | 4.854E-02 | 1.587E-01 | 1.131E-03 | 5.554E-03 | 3.957E-05 |
| Résidence 4 | 1.154E+00 | 1.887E-01 | 2.446E-02 | 7.929E+00 | 2.376E-02 | 1.272E-01 | 5.707E-04 | 4.454E-03 | 1.998E-05 |
| Résidence 5 | 7.859E-01 | 9.773E-02 | 4.218E-02 | 1.062E+01 | 4.117E-02 | 2.051E-01 | 8.226E-04 | 7.178E-03 | 2.879E-05 |
| Résidence 6 | 1.762E+00 | 8.552E-02 | 4.420E-02 | 2.029E+01 | 4.304E-02 | 4.347E-01 | 9.417E-04 | 1.522E-02 | 3.296E-05 |
| Résidence 7 | 3.370E-01 | 8.093E-03 | 1.894E-02 | 1.770E+01 | 1.844E-02 | 3.608E-01 | 4.017E-04 | 1.263E-02 | 1.406E-05 |
| Résidence 8 | 1.612E-01 | 4.184E-04 | 1.049E-02 | 1.559E+01 | 1.023E-02 | 2.524E-01 | 2.163E-04 | 8.835E-03 | 7.569E-06 |
| Résidence 9 | 8.935E-02 | 6.942E-05 | 5.109E-03 | 1.075E+01 | 4.972E-03 | 1.929E-01 | 1.124E-04 | 6.753E-03 | 3.934E-06 |
| Résidence 10 | 2.808E-01 | 2.853E-02 | 7.977E-03 | 1.119E+01 | 7.750E-03 | 2.413E-01 | 1.860E-04 | 8.445E-03 | 6.509E-06 |
| Résidence 11 | 3.623E-01 | 6.941E-02 | 1.093E-02 | 1.090E+01 | 1.061E-02 | 2.554E-01 | 2.577E-04 | 8.940E-03 | 9.019E-06 |
| Résidence 12 | 1.092E+00 | 1.561E-01 | 1.758E-02 | 1.5000E+01 | 1.695E-02 | 3.677E-01 | 5.193E-04 | 1.287E-02 | 1.818E-05 |
| Résidence 13 | 4.235E+00 | 6.582E-01 | 2.726E-02 | 1.386E+01 | 2.619E-02 | 3.853E-01 | 8.791E-04 | 1.349E-02 | 3.077E-05 |
| Résidence 14 | 3.802E+00 | 6.419E-01 | 5.074E-02 | 1.994E+01 | 4.912E-02 | 3.984E-01 | 1.329E-03 | 1.395E-02 | 4.652E-05 |
| Résidence 15 | 1.149E+00 | 1.546E-01 | 4.067E-02 | 1.879E+01 | 3.960E-02 | 2.906E-01 | 8.753E-04 | 1.017E-02 | 3.064E-05 |
| Résidence 16 | 2.855E-01 | 8.743E-03 | 1.465E-02 | 2.025E+01 | 1.430E-02 | 3.170E-01 | 2.911E-04 | 1.110E-02 | 1.019E-05 |
| Résidence 17 | 9.911E-02 | 5.100E-05 | 7.575E-03 | 1.364E+01 | 7.387E-03 | 2.292E-01 | 1.537E-04 | 8.022E-03 | 5.380E-06 |
| École primaire | 6.980E-02 | 1.184E-02 | 2.930E-03 | 4.712E+00 | 2.854E-03 | 8.732E-02 | 6.217E-05 | 3.056E-03 | 2.176E-06 |
| 50 maximums observés | | | | | | | | | |
| 1 | 2.802E+01 | 1.542E+01 | 7.449E-01 | 1.208E+02 | 7.287E-01 | 2.217E+00 | 1.329E-02 | 7.761E-02 | 4.651E-04 |
| 2 | 2.772E+01 | 1.520E+01 | 7.161E-01 | 1.150E+02 | 7.005E-01 | 2.142E+00 | 1.270E-02 | 7.496E-02 | 4.447E-04 |
| 3 | 2.695E+01 | 1.452E+01 | 6.982E-01 | 1.143E+02 | 6.828E-01 | 2.105E+00 | 1.262E-02 | 7.368E-02 | 4.416E-04 |
| 4 | 2.680E+01 | 1.443E+01 | 6.522E-01 | 1.065E+02 | 6.381E-01 | 1.970E+00 | 1.158E-02 | 6.895E-02 | 4.052E-04 |
| 5 | 2.554E+01 | 1.312E+01 | 6.411E-01 | 1.058E+02 | 6.274E-01 | 1.916E+00 | 1.121E-02 | 6.705E-02 | 3.925E-04 |
| 6 | 2.479E+01 | 1.289E+01 | 6.351E-01 | 1.052E+02 | 6.214E-01 | 1.724E+00 | 1.119E-02 | 6.035E-02 | 3.918E-04 |
| 7 | 2.415E+01 | 1.214E+01 | 6.326E-01 | 1.047E+02 | 6.189E-01 | 1.691E+00 | 1.115E-02 | 5.919E-02 | 3.902E-04 |
| 8 | 2.290E+01 | 1.128E+01 | 6.108E-01 | 1.047E+02 | 5.972E-01 | 1.682E+00 | 1.110E-02 | 5.886E-02 | 3.886E-04 |
| 9 | 2.211E+01 | 1.044E+01 | 6.089E-01 | 9.961E-01 | 5.957E-01 | 1.647E+00 | 1.082E-02 | 5.764E-02 | 3.786E-04 |
| 10 | 2.146E+01 | 1.029E+01 | 5.954E-01 | 9.940E-01 | 5.822E-01 | 1.632E+00 | 1.081E-02 | 5.712E-02 | 3.782E-04 |
| 11 | 2.093E+01 | 9.324E+00 | 5.734E-01 | 9.907E-01 | 5.604E-01 | 1.541E+00 | 1.058E-02 | 5.393E-02 | 3.704E-04 |
| 12 | 1.956E+01 | 8.704E+00 | 5.618E-01 | 9.885E-01 | 5.493E-01 | 1.537E+00 | 1.020E-02 | 5.381E-02 | 3.569E-04 |
| 13 | 1.928E+01 | 8.567E+00 | 5.560E-01 | 9.657E-01 | 5.436E-01 | 1.532E+00 | 1.015E-02 | 5.364E-02 | 3.552E-04 |
| 14 | 1.880E+01 | 8.531E+00 | 5.516E-01 | 9.655E-01 | 5.394E-01 | 1.529E+00 | 1.003E-02 | 5.352E-02 | 3.512E-04 |
| 15 | 1.845E+01 | 7.941E+00 | 5.513E-01 | 9.587E-01 | 5.391E-01 | 1.528E+00 | 1.000E-02 | 5.350E-02 | 3.500E-04 |
| 16 | 1.787E+01 | 7.295E+00 | 5.487E-01 | 9.556E-01 | 5.366E-01 | 1.524E+00 | 9.940E-03 | 5.334E-02 | 3.479E-04 |
| 17 | 1.721E+01 | 7.191E+00 | 5.318E-01 | 9.473E-01 | 5.197E-01 | 1.507E+00 | 9.864E-03 | 5.276E-02 | 3.452E-04 |
| 18 | 1.661E+01 | 7.036E+00 | 5.271E-01 | 9.431E-01 | 5.151E-01 | 1.507E+00 | 9.824E-03 | 5.276E-02 | 3.438E-04 |
| 19 | 1.605E+01 | 6.747E+00 | 5.169E-01 | 9.388E-01 | 5.049E-01 | 1.497E+00 | 9.798E-03 | 5.239E-02 | 3.429E-04 |
| 20 | 1.528E+01 | 5.825E+00 | 5.124E-01 | 9.300E-01 | 5.005E-01 | 1.497E+00 | 9.792E-03 | 5.238E-02 | 3.427E-04 |
| 21 | 1.525E+01 | 5.817E+00 | 5.092E-01 | 9.005E-01 | 4.974E-01 | 1.494E+00 | 9.712E-03 | 5.228E-02 | 3.399E-04 |
| 22 | 1.522E+01 | 5.518E+00 | 5.076E-01 | 8.980E-01 | 4.958E-01 | 1.483E+00 | 9.664E-03 | 5.190E-02 | 3.382E-04 |
| 23 | 1.445E+01 | 5.431E+00 | 4.990E-01 | 8.958E-01 | 4.872E-01 | 1.478E+00 | 9.623E-03 | 5.173E-02 | 3.368E-04 |
| 24 | 1.319E+01 | 5.418E+00 | 4.968E-01 | 8.929E-01 | 4.851E-01 | 1.477E+00 | 9.529E-03 | 5.170E-02 | 3.335E-04 |
| 25 | 1.306E+01 | 5.331E+00 | 4.679E-01 | 8.836E-01 | 4.564E-01 | 1.465E+00 | 9.451E-03 | 5.129E-02 | 3.308E-04 |
| 26 | 1.236E+01 | 5.212E+00 | 4.611E-01 | 8.816E-01 | 4.497E-01 | 1.459E+00 | 9.325E-03 | 5.106E-02 | 3.264E-04 |
| 27 | 1.176E+01 | 5.134E+00 | 4.453E-01 | 8.813E-01 | 4.341E-01 | 1.452E+00 | 9.230E-03 | 5.082E-02 | 3.231E-04 |
| 28 | 1.129E+01 | 5.064E+00 | 4.450E-01 | 8.620E-01 | 4.338E-01 | 1.438E+00 | 9.225E-03 | 5.035E-02 | 3.229E-04 |
| 29 | 1.126E+01 | 5.002E+00 | 4.395E-01 | 8.506E-01 | 4.283E-01 | 1.389E+00 | 9.137E-03 | 4.862E-02 | 3.198E-04 |
| 30 | 1.123E+01 | 4.968E+00 | 4.360E-01 | 8.421E-01 | 4.250E-01 | 1.386E+00 | 9.010E-03 | 4.850E-02 | 3.154E-04 |
| 31 | 1.100E+01 | 4.735E+00 | 4.344E-01 | 8.321E-01 | 4.235E-01 | 1.367E+00 | 8.913E-03 | 4.784E-02 | 3.120E-04 |
| 32 | 1.085E+01 | 4.655E+00 | 4.301E-01 | 8.313E-01 | 4.196E-01 | 1.364E+00 | 8.620E-03 | 4.773E-02 | 3.017E-04 |
| 33 | 1.061E+01 | 4.600E+00 | 4.299E-01 | 8.277E-01 | 4.195E-01 | 1.363E+00 | 8.497E-03 | 4.771E-02 | 2.974E-04 |
| 34 | 1.038E+01 | 4.450E+00 | 4.219E-01 | 8.044E-01 | 4.115E-01 | 1.361E+00 | 8.480E-03 | 4.763E-02 | 2.968E-04 |
| 35 | 1.027E+01 | 4.312E+00 | 4.168E-01 | 8.017E-01 | 4.066E-01 | 1.333E+00 | 8.341E-03 | 4.667E-02 | 2.919E-04 |
| 36 | 1.020E+01 | 4.249E+00 | 3.990E-01 | 8.012E-01 | 3.888E-01 | 1.316E+00 | 8.321E-03 | 4.605E-02 | 2.913E-04 |
| 37 | 1.013E+01 | 3.961E+00 | 3.972E-01 | 7.981E-01 | 3.873E-01 | 1.303E+00 | 8.140E-03 | 4.559E-02 | 2.849E-04 |
| 38 | 1.012E+01 | 3.832E+00 | 3.874E-01 | 7.968E-01 | 3.775E-01 | 1.293E+00 | 8.130E-03 | 4.525E-02 | 2.846E-04 |
| 39 | 9.880E+00 | 3.806E+00 | 3.782E-01 | 7.956E-01 | 3.683E-01 | 1.287E+00 | 8.125E-03 | 4.505E-02 | 2.844E-04 |
| 40 | 9.686E+00 | 3.695E+00 | 3.695E-01 | 7.868E-01 | 3.597E-01 | 1.286E+00 | 8.076E-03 | 4.500E-02 | 2.827E-04 |
| 41 | 9.628E+00 | 3.579E+00 | 3.688E-01 | 7.860E-01 | 3.590E-01 | 1.286E+00 | 8.068E-03 | 4.500E-02 | 2.824E-04 |
| 42 | 9.365E+00 | 3.536E+00 | 3.660E-01 | 7.656E-01 | 3.562E-01 | 1.280E+00 | 7.996E-03 | 4.481E-02 | 2.799E-04 |
| 43 | 9.266E+00 | 3.518E+00 | 3.546E-01 | 7.635E-01 | 3.448E-01 | 1.260E+00 | 7.992E-03 | 4.409E-02 | 2.797E-04 |
| 44 | 9.265E+00 | 3.296E+00 | 3.536E-01 | 7.609E-01 | 3.439E-01 | 1.244E+00 | 7.989E-03 | 4.355E-02 | 2.796E-04 |
| 45 | 9.008E+00 | 3.243E+00 | 3.494E-01 | 7.539E-01 | 3.398E-01 | 1.240E+00 | 7.858E-03 | 4.340E-02 | 2.750E-04 |
| 46 | 8.802E+00 | 3.230E+00 | 3.395E-01 | 7.497E-01 | 3.299E-01 | 1.239E+00 | 7.838E-03 | 4.338E-02 | 2.743E-04 |
| 47 | 8.644E+00 | 3.135E+00 | 3.370E-01 | 7.377E-01 | 3.275E-01 | 1.231E+00 | 7.725E-03 | 4.307E-02 | 2.704E-04 |
| 48 | 8.619E+00 | 3.075E+00 | 3.305E-01 | 7.267E-01 | 3.211E-01 | 1.216E+00 | 7.666E-03 | 4.255E-02 | 2.683E-04 |
| 49 | 8.465E+00 | 2.943E+00 | 3.297E-01 | 7.243E-01 | 3.205E-01 | 1.141E+00 | 7.550E-03 | 3.994E-02 | 2.643E-04 |
| 50 | 8.352E+00 | 2.913E+00 | 3.203E-01 | 7.187E-01 | 3.110E-01 | 1.138E+00 | 7.539E-03 | 3.983E-02 | 2.639E-04 |

Scénario :
Surélévation du LET
An 2 (2022)

| Récepteur | Methyl mercaptan | | 1,1,1-Trichloroethane (methyl chloroform) | 1,1,2,2-Tetrachloroethane | 1,1-Dichloroethane (ethylidene dichloride) | | 1,1-Dichloroethène (vinylidène chloride) | 1-2 Dichloroethane (ethylene dichloride) | 1,2-Dichloropropane (propylene dichloride) | 2-Propanol |
|-----------------------------|------------------|-----------|---|---------------------------|--|-----------|--|--|--|------------|
| | 4 min | Annuel | 1 h | Annuel | 1 h | Annuel | Annuel | Annuel | Annuel | |
| Récepteurs sensibles | | | | | | | | | | |
| Résidence 1 | 4.316E-02 | 4.611E-05 | 1.573E+01 | 1.303E-04 | 1.206E-01 | 1.440E-04 | 1.085E-05 | 1.101E-05 | 1.422E-05 | 7.084E-02 |
| Résidence 2 | 4.142E-02 | 6.038E-05 | 1.510E+01 | 1.706E-04 | 1.157E-01 | 1.886E-04 | 1.421E-05 | 1.441E-05 | 1.862E-05 | 6.798E-02 |
| Résidence 3 | 2.975E-02 | 2.119E-04 | 1.084E+01 | 5.990E-04 | 8.312E-02 | 6.618E-04 | 4.987E-05 | 5.058E-05 | 6.537E-05 | 4.883E-02 |
| Résidence 4 | 2.385E-02 | 1.070E-04 | 8.695E+00 | 3.024E-04 | 6.665E-02 | 3.341E-04 | 2.518E-05 | 2.554E-05 | 3.300E-05 | 3.915E-02 |
| Résidence 5 | 3.844E-02 | 1.542E-04 | 1.401E+01 | 4.358E-04 | 1.074E-01 | 4.816E-04 | 3.629E-05 | 3.680E-05 | 4.757E-05 | 6.310E-02 |
| Résidence 6 | 8.150E-02 | 1.765E-04 | 2.971E+01 | 4.989E-04 | 2.277E-01 | 5.513E-04 | 4.155E-05 | 4.213E-05 | 5.445E-05 | 1.338E-01 |
| Résidence 7 | 6.763E-02 | 7.529E-05 | 2.465E+01 | 2.128E-04 | 1.890E-01 | 2.351E-04 | 1.772E-05 | 1.797E-05 | 2.323E-05 | 1.110E-01 |
| Résidence 8 | 4.732E-02 | 4.054E-05 | 1.725E+01 | 1.146E-04 | 1.322E-01 | 1.266E-04 | 9.541E-06 | 9.676E-06 | 1.251E-05 | 7.767E-02 |
| Résidence 9 | 3.617E-02 | 2.107E-05 | 1.319E+01 | 5.955E-05 | 1.011E-01 | 6.580E-05 | 4.959E-06 | 5.029E-06 | 6.499E-06 | 5.937E-02 |
| Résidence 10 | 4.523E-02 | 3.486E-05 | 1.649E+01 | 9.853E-05 | 1.264E-01 | 1.089E-04 | 8.204E-06 | 8.321E-06 | 1.075E-05 | 7.424E-02 |
| Résidence 11 | 4.788E-02 | 4.831E-05 | 1.746E+01 | 1.365E-04 | 1.338E-01 | 1.509E-04 | 1.137E-05 | 1.153E-05 | 1.490E-05 | 7.860E-02 |
| Résidence 12 | 6.894E-02 | 9.735E-05 | 2.513E+01 | 2.751E-04 | 1.926E-01 | 3.040E-04 | 2.291E-05 | 2.324E-05 | 3.003E-05 | 1.132E-01 |
| Résidence 13 | 7.223E-02 | 1.648E-04 | 2.633E+01 | 4.658E-04 | 2.018E-01 | 5.146E-04 | 3.878E-05 | 3.933E-05 | 5.083E-05 | 1.186E-01 |
| Résidence 14 | 7.469E-02 | 2.491E-04 | 2.723E+01 | 7.042E-04 | 2.087E-01 | 7.780E-04 | 5.863E-05 | 5.947E-05 | 7.685E-05 | 1.226E-01 |
| Résidence 15 | 5.448E-02 | 1.641E-04 | 1.986E+01 | 4.638E-04 | 1.522E-01 | 5.124E-04 | 3.862E-05 | 3.917E-05 | 5.062E-05 | 8.943E-02 |
| Résidence 16 | 5.943E-02 | 5.456E-05 | 2.166E+01 | 1.542E-04 | 1.661E-01 | 1.704E-04 | 1.284E-05 | 1.302E-05 | 1.683E-05 | 9.755E-02 |
| Résidence 17 | 4.296E-02 | 2.881E-05 | 1.566E+01 | 8.143E-05 | 1.201E-01 | 8.998E-05 | 6.781E-06 | 6.877E-06 | 8.888E-06 | 7.052E-02 |
| École primaire | 1.637E-02 | 1.166E-05 | 5.967E+00 | 3.294E-05 | 4.574E-02 | 3.640E-05 | 2.743E-06 | 2.782E-06 | 3.595E-06 | 2.687E-02 |
| 50 maximums observés | | | | | | | | | | |
| 1 | 4.157E-01 | 2.491E-03 | 1.515E+02 | 7.040E-03 | 1.162E+00 | 7.778E-03 | 5.862E-04 | 5.945E-04 | 7.683E-04 | 6.823E-01 |
| 2 | 4.015E-01 | 2.382E-03 | 1.463E+02 | 6.731E-03 | 1.122E+00 | 7.438E-03 | 5.605E-04 | 5.684E-04 | 7.346E-04 | 6.590E-01 |
| 3 | 3.946E-01 | 2.365E-03 | 1.439E+02 | 6.684E-03 | 1.103E+00 | 7.385E-03 | 5.565E-04 | 5.644E-04 | 7.295E-04 | 6.478E-01 |
| 4 | 3.693E-01 | 2.170E-03 | 1.346E+02 | 6.133E-03 | 1.032E+00 | 6.777E-03 | 5.107E-04 | 5.179E-04 | 6.694E-04 | 6.062E-01 |
| 5 | 3.591E-01 | 2.102E-03 | 1.309E+02 | 5.941E-03 | 1.003E+00 | 6.564E-03 | 4.947E-04 | 5.017E-04 | 6.484E-04 | 5.894E-01 |
| 6 | 3.232E-01 | 2.098E-03 | 1.178E+02 | 5.931E-03 | 9.032E-01 | 6.553E-03 | 4.938E-04 | 5.008E-04 | 6.473E-04 | 5.305E-01 |
| 7 | 3.170E-01 | 2.090E-03 | 1.156E+02 | 5.906E-03 | 8.858E-01 | 6.526E-03 | 4.918E-04 | 4.988E-04 | 6.446E-04 | 5.203E-01 |
| 8 | 3.152E-01 | 2.081E-03 | 1.149E+02 | 5.883E-03 | 8.809E-01 | 6.500E-03 | 4.898E-04 | 4.968E-04 | 6.420E-04 | 5.174E-01 |
| 9 | 3.087E-01 | 2.028E-03 | 1.125E+02 | 5.731E-03 | 8.627E-01 | 6.333E-03 | 4.772E-04 | 4.840E-04 | 6.255E-04 | 5.067E-01 |
| 10 | 3.059E-01 | 2.026E-03 | 1.115E+02 | 5.725E-03 | 8.549E-01 | 6.326E-03 | 4.767E-04 | 4.835E-04 | 6.248E-04 | 5.022E-01 |
| 11 | 2.888E-01 | 1.984E-03 | 1.053E+02 | 5.607E-03 | 8.072E-01 | 6.196E-03 | 4.669E-04 | 4.735E-04 | 6.120E-04 | 4.741E-01 |
| 12 | 2.882E-01 | 1.911E-03 | 1.051E+02 | 5.402E-03 | 8.054E-01 | 5.969E-03 | 4.498E-04 | 4.562E-04 | 5.896E-04 | 4.731E-01 |
| 13 | 2.873E-01 | 1.902E-03 | 1.047E+02 | 5.377E-03 | 8.028E-01 | 5.941E-03 | 4.477E-04 | 4.541E-04 | 5.868E-04 | 4.715E-01 |
| 14 | 2.866E-01 | 1.881E-03 | 1.045E+02 | 5.315E-03 | 8.010E-01 | 5.873E-03 | 4.426E-04 | 4.489E-04 | 5.801E-04 | 4.705E-01 |
| 15 | 2.865E-01 | 1.875E-03 | 1.045E+02 | 5.298E-03 | 8.007E-01 | 5.854E-03 | 4.412E-04 | 4.474E-04 | 5.783E-04 | 4.703E-01 |
| 16 | 2.857E-01 | 1.863E-03 | 1.042E+02 | 5.267E-03 | 7.984E-01 | 5.819E-03 | 4.385E-04 | 4.448E-04 | 5.748E-04 | 4.690E-01 |
| 17 | 2.826E-01 | 1.849E-03 | 1.030E+02 | 5.226E-03 | 7.896E-01 | 5.774E-03 | 4.351E-04 | 4.413E-04 | 5.704E-04 | 4.638E-01 |
| 18 | 2.825E-01 | 1.842E-03 | 1.030E+02 | 5.205E-03 | 7.896E-01 | 5.751E-03 | 4.334E-04 | 4.396E-04 | 5.681E-04 | 4.638E-01 |
| 19 | 2.806E-01 | 1.837E-03 | 1.023E+02 | 5.191E-03 | 7.841E-01 | 5.736E-03 | 4.323E-04 | 4.384E-04 | 5.666E-04 | 4.606E-01 |
| 20 | 2.806E-01 | 1.836E-03 | 1.023E+02 | 5.188E-03 | 7.840E-01 | 5.733E-03 | 4.320E-04 | 4.381E-04 | 5.662E-04 | 4.605E-01 |
| 21 | 2.800E-01 | 1.821E-03 | 1.021E+02 | 5.146E-03 | 7.825E-01 | 5.686E-03 | 4.285E-04 | 4.346E-04 | 5.616E-04 | 4.596E-01 |
| 22 | 2.780E-01 | 1.812E-03 | 1.013E+02 | 5.120E-03 | 7.768E-01 | 5.657E-03 | 4.263E-04 | 4.324E-04 | 5.588E-04 | 4.563E-01 |
| 23 | 2.771E-01 | 1.804E-03 | 1.010E+02 | 5.098E-03 | 7.743E-01 | 5.633E-03 | 4.245E-04 | 4.306E-04 | 5.564E-04 | 4.548E-01 |
| 24 | 2.769E-01 | 1.786E-03 | 1.009E+02 | 5.049E-03 | 7.738E-01 | 5.579E-03 | 4.204E-04 | 4.264E-04 | 5.510E-04 | 4.545E-01 |
| 25 | 2.747E-01 | 1.772E-03 | 1.001E+02 | 5.008E-03 | 7.676E-01 | 5.533E-03 | 4.170E-04 | 4.229E-04 | 5.465E-04 | 4.509E-01 |
| 26 | 2.735E-01 | 1.748E-03 | 9.968E+01 | 4.941E-03 | 7.641E-01 | 5.459E-03 | 4.114E-04 | 4.172E-04 | 5.392E-04 | 4.489E-01 |
| 27 | 2.722E-01 | 1.730E-03 | 9.923E+01 | 4.890E-03 | 7.607E-01 | 5.404E-03 | 4.072E-04 | 4.130E-04 | 5.337E-04 | 4.468E-01 |
| 28 | 2.697E-01 | 1.729E-03 | 9.830E+01 | 4.888E-03 | 7.535E-01 | 5.400E-03 | 4.070E-04 | 4.127E-04 | 5.334E-04 | 4.426E-01 |
| 29 | 2.604E-01 | 1.713E-03 | 9.492E+01 | 4.841E-03 | 7.276E-01 | 5.349E-03 | 4.031E-04 | 4.088E-04 | 5.284E-04 | 4.274E-01 |
| 30 | 2.597E-01 | 1.689E-03 | 9.468E+01 | 4.774E-03 | 7.258E-01 | 5.275E-03 | 3.975E-04 | 4.032E-04 | 5.210E-04 | 4.263E-01 |
| 31 | 2.562E-01 | 1.671E-03 | 9.340E+01 | 4.722E-03 | 7.160E-01 | 5.218E-03 | 3.932E-04 | 3.988E-04 | 5.154E-04 | 4.206E-01 |
| 32 | 2.556E-01 | 1.616E-03 | 9.318E+01 | 4.567E-03 | 7.143E-01 | 5.046E-03 | 3.803E-04 | 3.857E-04 | 4.984E-04 | 4.196E-01 |
| 33 | 2.555E-01 | 1.593E-03 | 9.315E+01 | 4.502E-03 | 7.141E-01 | 4.974E-03 | 3.749E-04 | 3.802E-04 | 4.914E-04 | 4.194E-01 |
| 34 | 2.551E-01 | 1.590E-03 | 9.299E+01 | 4.493E-03 | 7.128E-01 | 4.964E-03 | 3.741E-04 | 3.794E-04 | 4.904E-04 | 4.187E-01 |
| 35 | 2.500E-01 | 1.564E-03 | 9.112E+01 | 4.419E-03 | 6.985E-01 | 4.883E-03 | 3.680E-04 | 3.732E-04 | 4.823E-04 | 4.103E-01 |
| 36 | 2.466E-01 | 1.560E-03 | 8.991E+01 | 4.409E-03 | 6.892E-01 | 4.872E-03 | 3.671E-04 | 3.723E-04 | 4.812E-04 | 4.048E-01 |
| 37 | 2.442E-01 | 1.526E-03 | 8.901E+01 | 4.313E-03 | 6.823E-01 | 4.765E-03 | 3.591E-04 | 3.642E-04 | 4.707E-04 | 4.008E-01 |
| 38 | 2.424E-01 | 1.524E-03 | 8.835E+01 | 4.307E-03 | 6.772E-01 | 4.759E-03 | 3.587E-04 | 3.637E-04 | 4.701E-04 | 3.978E-01 |
| 39 | 2.413E-01 | 1.523E-03 | 8.796E+01 | 4.305E-03 | 6.742E-01 | 4.757E-03 | 3.585E-04 | 3.635E-04 | 4.698E-04 | 3.960E-01 |
| 40 | 2.410E-01 | 1.514E-03 | 8.787E+01 | 4.279E-03 | 6.736E-01 | 4.728E-03 | 3.563E-04 | 3.614E-04 | 4.670E-04 | 3.956E-01 |
| 41 | 2.410E-01 | 1.512E-03 | 8.785E+01 | 4.274E-03 | 6.735E-01 | 4.723E-03 | 3.559E-04 | 3.610E-04 | 4.665E-04 | 3.956E-01 |
| 42 | 2.400E-01 | 1.499E-03 | 8.748E+01 | 4.236E-03 | 6.706E-01 | 4.681E-03 | 3.527E-04 | 3.577E-04 | 4.623E-04 | 3.939E-01 |
| 43 | 2.361E-01 | 1.498E-03 | 8.608E+01 | 4.234E-03 | 6.599E-01 | 4.679E-03 | 3.526E-04 | 3.576E-04 | 4.621E-04 | 3.876E-01 |
| 44 | 2.332E-01 | 1.498E-03 | 8.502E+01 | 4.233E-03 | 6.517E-01 | 4.677E-03 | 3.524E-04 | 3.574E-04 | 4.620E-04 | 3.828E-01 |
| 45 | 2.324E-01 | 1.473E-03 | 8.474E+01 | 4.163E-03 | 6.496E-01 | 4.600E-03 | 3.467E-04 | 3.516E-04 | 4.544E-04 | 3.815E-01 |
| 46 | 2.323E-01 | 1.469E-03 | 8.469E+01 | 4.153E-03 | 6.492E-01 | 4.588E-03 | 3.458E-04 | 3.507E-04 | 4.532E-04 | 3.814E-01 |
| 47 | 2.307E-01 | 1.448E-03 | 8.409E+01 | 4.093E-03 | 6.446E-01 | 4.522E-03 | 3.408E-04 | 3.456E-04 | 4.467E-04 | 3.786E-01 |
| 48 | 2.279E-01 | 1.437E-03 | 8.308E+01 | 4.061E-03 | 6.369E-01 | 4.488E-03 | 3.382E-04 | 3.430E-04 | 4.433E-04 | 3.741E-01 |
| 49 | 2.139E-01 | 1.415E-03 | 7.798E+01 | 4.000E-03 | 5.978E-01 | 4.420E-03 | 3.331E-04 | 3.378E-04 | 4.366E-04 | 3.511E-01 |
| 50 | 2.133E-01 | 1.413E-03 | 7.777E+01 | 3.994E-03 | 5.962E-01 | 4.413E-03 | 3.326E-04 | 3.373E-04 | 4.359E-04 | 3.502E-01 |

Scénario :
 Surélévation du LET
 An 2 (2022)

| Récepteur | Acétone | | Acrylonitrile | Benzène | Bromodichlorométhane | Carbon disulfide | Carbon tetrachloride | Carbonyl sulfide | | Chlorobenzene | Chloroethane (ethyl chloride) | |
|-----------------------------|-----------|-----------|---------------|-----------|----------------------|------------------|----------------------|------------------|-----------|---------------|-------------------------------|-----------|
| | 4 min | Annuel | Annuel | 24 h | Annuel | 4 min | Annuel | 4 min | Annuel | Annuel | 4 min | Annuel |
| Récepteurs sensibles | | | | | | | | | | | | |
| Résidence 1 | 2.665E-01 | 2.848E-04 | 2.349E-04 | 7.435E-03 | 3.587E-04 | 7.321E-03 | 8.558E-07 | 4.790E-03 | 5.118E-06 | 3.810E-05 | 1.669E-01 | 1.783E-04 |
| Résidence 2 | 2.558E-01 | 3.729E-04 | 3.076E-04 | 6.230E-03 | 4.697E-04 | 7.026E-03 | 1.121E-06 | 4.597E-03 | 6.701E-06 | 4.989E-05 | 1.601E-01 | 2.334E-04 |
| Résidence 3 | 1.837E-01 | 1.309E-03 | 1.080E-03 | 1.747E-02 | 1.649E-03 | 5.046E-03 | 3.933E-06 | 3.301E-03 | 2.352E-05 | 1.751E-04 | 1.150E-01 | 8.193E-04 |
| Résidence 4 | 1.473E-01 | 6.608E-04 | 5.451E-04 | 8.476E-03 | 8.323E-04 | 4.046E-03 | 1.986E-06 | 2.647E-03 | 1.187E-05 | 8.841E-05 | 9.221E-02 | 4.136E-04 |
| Résidence 5 | 2.374E-01 | 9.523E-04 | 7.857E-04 | 1.547E-02 | 1.200E-03 | 6.521E-03 | 2.862E-06 | 4.267E-03 | 1.711E-05 | 1.274E-04 | 1.486E-01 | 5.961E-04 |
| Résidence 6 | 5.033E-01 | 1.090E-03 | 8.994E-04 | 1.904E-02 | 1.373E-03 | 1.382E-02 | 3.276E-06 | 9.045E-03 | 1.959E-05 | 1.459E-04 | 3.151E-01 | 6.825E-04 |
| Résidence 7 | 4.177E-01 | 4.650E-04 | 3.836E-04 | 1.896E-02 | 5.857E-04 | 1.147E-02 | 1.397E-06 | 7.506E-03 | 8.357E-06 | 6.221E-05 | 2.615E-01 | 2.911E-04 |
| Résidence 8 | 2.922E-01 | 2.504E-04 | 2.066E-04 | 7.880E-03 | 3.154E-04 | 8.027E-03 | 7.524E-07 | 5.252E-03 | 4.500E-06 | 3.350E-05 | 1.829E-01 | 1.567E-04 |
| Résidence 9 | 2.234E-01 | 1.301E-04 | 1.074E-04 | 5.035E-03 | 1.639E-04 | 6.136E-03 | 3.911E-07 | 4.014E-03 | 2.339E-06 | 1.741E-05 | 1.398E-01 | 8.146E-05 |
| Résidence 10 | 2.793E-01 | 2.153E-04 | 1.776E-04 | 1.204E-02 | 2.712E-04 | 7.673E-03 | 6.470E-07 | 5.020E-03 | 3.869E-06 | 2.881E-05 | 1.749E-01 | 1.348E-04 |
| Résidence 11 | 2.957E-01 | 2.983E-04 | 2.461E-04 | 6.779E-03 | 3.758E-04 | 8.123E-03 | 8.966E-07 | 5.314E-03 | 5.361E-06 | 3.991E-05 | 1.851E-01 | 1.868E-04 |
| Résidence 12 | 4.258E-01 | 6.012E-04 | 4.960E-04 | 1.181E-02 | 7.573E-04 | 1.169E-02 | 1.807E-06 | 7.651E-03 | 1.080E-05 | 8.044E-05 | 2.665E-01 | 3.764E-04 |
| Résidence 13 | 4.461E-01 | 1.018E-03 | 8.396E-04 | 1.507E-02 | 1.282E-03 | 1.225E-02 | 3.059E-06 | 8.016E-03 | 1.829E-05 | 1.362E-04 | 2.792E-01 | 6.371E-04 |
| Résidence 14 | 4.613E-01 | 1.539E-03 | 1.269E-03 | 1.779E-02 | 1.938E-03 | 1.267E-02 | 4.624E-06 | 8.290E-03 | 2.765E-05 | 2.059E-04 | 2.888E-01 | 9.632E-04 |
| Résidence 15 | 3.365E-01 | 1.013E-03 | 8.361E-04 | 1.159E-02 | 1.276E-03 | 9.242E-03 | 3.046E-06 | 6.047E-03 | 1.821E-05 | 1.356E-04 | 2.106E-01 | 6.344E-04 |
| Résidence 16 | 3.670E-01 | 3.370E-04 | 2.780E-04 | 7.750E-03 | 4.244E-04 | 1.008E-02 | 1.013E-06 | 6.596E-03 | 6.056E-06 | 4.509E-05 | 2.298E-01 | 2.109E-04 |
| Résidence 17 | 2.653E-01 | 1.779E-04 | 1.468E-04 | 6.035E-03 | 2.241E-04 | 7.288E-03 | 5.348E-07 | 4.768E-03 | 3.198E-06 | 2.381E-05 | 1.661E-01 | 1.114E-04 |
| École primaire | 1.011E-01 | 7.198E-05 | 5.938E-05 | 2.427E-03 | 9.066E-05 | 2.777E-03 | 2.163E-07 | 1.817E-03 | 1.294E-06 | 9.630E-06 | 6.328E-02 | 4.506E-05 |
| 50 maximums observés | | | | | | | | | | | | |
| 1 | 2.567E+00 | 1.538E-02 | 1.269E-02 | 1.531E-01 | 1.938E-02 | 7.051E-02 | 4.623E-05 | 4.613E-02 | 2.764E-04 | 2.058E-03 | 1.607E+00 | 9.629E-03 |
| 2 | 2.479E+00 | 1.471E-02 | 1.213E-02 | 1.341E-01 | 1.853E-02 | 6.810E-02 | 4.420E-05 | 4.456E-02 | 2.643E-04 | 1.968E-03 | 1.552E+00 | 9.207E-03 |
| 3 | 2.437E+00 | 1.461E-02 | 1.205E-02 | 1.306E-01 | 1.840E-02 | 6.694E-02 | 4.389E-05 | 4.380E-02 | 2.625E-04 | 1.954E-03 | 1.526E+00 | 9.143E-03 |
| 4 | 2.281E+00 | 1.340E-02 | 1.106E-02 | 1.259E-01 | 1.688E-02 | 6.265E-02 | 4.027E-05 | 4.099E-02 | 2.408E-04 | 1.793E-03 | 1.428E+00 | 8.389E-03 |
| 5 | 2.218E+00 | 1.298E-02 | 1.071E-02 | 1.259E-01 | 1.635E-02 | 6.092E-02 | 3.901E-05 | 3.986E-02 | 2.333E-04 | 1.737E-03 | 1.388E+00 | 8.127E-03 |
| 6 | 1.996E+00 | 1.296E-02 | 1.069E-02 | 1.193E-01 | 1.632E-02 | 5.483E-02 | 3.895E-05 | 3.587E-02 | 2.329E-04 | 1.734E-03 | 1.250E+00 | 8.112E-03 |
| 7 | 1.958E+00 | 1.291E-02 | 1.065E-02 | 1.178E-01 | 1.626E-02 | 5.377E-02 | 3.878E-05 | 3.518E-02 | 2.319E-04 | 1.727E-03 | 1.225E+00 | 8.079E-03 |
| 8 | 1.947E+00 | 1.285E-02 | 1.061E-02 | 1.171E-01 | 1.619E-02 | 5.348E-02 | 3.863E-05 | 3.499E-02 | 2.310E-04 | 1.720E-03 | 1.219E+00 | 8.047E-03 |
| 9 | 1.907E+00 | 1.252E-02 | 1.033E-02 | 1.142E-01 | 1.577E-02 | 5.237E-02 | 3.764E-05 | 3.426E-02 | 2.251E-04 | 1.676E-03 | 1.193E+00 | 7.839E-03 |
| 10 | 1.889E+00 | 1.251E-02 | 1.032E-02 | 1.142E-01 | 1.576E-02 | 5.190E-02 | 3.759E-05 | 3.395E-02 | 2.248E-04 | 1.674E-03 | 1.183E+00 | 7.831E-03 |
| 11 | 1.784E+00 | 1.225E-02 | 1.011E-02 | 1.127E-01 | 1.543E-02 | 4.900E-02 | 3.682E-05 | 3.206E-02 | 2.202E-04 | 1.639E-03 | 1.117E+00 | 7.670E-03 |
| 12 | 1.780E+00 | 1.180E-02 | 9.738E-03 | 1.121E-01 | 1.487E-02 | 4.889E-02 | 3.547E-05 | 3.199E-02 | 2.121E-04 | 1.579E-03 | 1.114E+00 | 7.389E-03 |
| 13 | 1.774E+00 | 1.175E-02 | 9.693E-03 | 1.120E-01 | 1.480E-02 | 4.873E-02 | 3.531E-05 | 3.188E-02 | 2.111E-04 | 1.572E-03 | 1.111E+00 | 7.355E-03 |
| 14 | 1.770E+00 | 1.162E-02 | 9.582E-03 | 1.114E-01 | 1.463E-02 | 4.862E-02 | 3.491E-05 | 3.181E-02 | 2.087E-04 | 1.554E-03 | 1.108E+00 | 7.271E-03 |
| 15 | 1.770E+00 | 1.158E-02 | 9.552E-03 | 1.113E-01 | 1.458E-02 | 4.861E-02 | 3.479E-05 | 3.180E-02 | 2.081E-04 | 1.549E-03 | 1.108E+00 | 7.248E-03 |
| 16 | 1.764E+00 | 1.151E-02 | 9.494E-03 | 1.100E-01 | 1.450E-02 | 4.847E-02 | 3.458E-05 | 3.171E-02 | 2.068E-04 | 1.540E-03 | 1.105E+00 | 7.204E-03 |
| 17 | 1.745E+00 | 1.142E-02 | 9.421E-03 | 1.094E-01 | 1.438E-02 | 4.793E-02 | 3.432E-05 | 3.136E-02 | 2.052E-04 | 1.528E-03 | 1.092E+00 | 7.148E-03 |
| 18 | 1.745E+00 | 1.137E-02 | 9.383E-03 | 1.089E-01 | 1.433E-02 | 4.793E-02 | 3.418E-05 | 3.136E-02 | 2.044E-04 | 1.522E-03 | 1.092E+00 | 7.120E-03 |
| 19 | 1.733E+00 | 1.134E-02 | 9.358E-03 | 1.076E-01 | 1.429E-02 | 4.760E-02 | 3.409E-05 | 3.114E-02 | 2.039E-04 | 1.518E-03 | 1.085E+00 | 7.101E-03 |
| 20 | 1.733E+00 | 1.134E-02 | 9.353E-03 | 1.059E-01 | 1.428E-02 | 4.759E-02 | 3.407E-05 | 3.114E-02 | 2.037E-04 | 1.517E-03 | 1.085E+00 | 7.097E-03 |
| 21 | 1.729E+00 | 1.124E-02 | 9.276E-03 | 1.058E-01 | 1.416E-02 | 4.750E-02 | 3.379E-05 | 3.108E-02 | 2.021E-04 | 1.504E-03 | 1.083E+00 | 7.039E-03 |
| 22 | 1.717E+00 | 1.119E-02 | 9.230E-03 | 1.054E-01 | 1.409E-02 | 4.716E-02 | 3.362E-05 | 3.085E-02 | 2.011E-04 | 1.497E-03 | 1.075E+00 | 7.004E-03 |
| 23 | 1.711E+00 | 1.114E-02 | 9.191E-03 | 1.046E-01 | 1.403E-02 | 4.700E-02 | 3.348E-05 | 3.075E-02 | 2.002E-04 | 1.491E-03 | 1.071E+00 | 6.974E-03 |
| 24 | 1.710E+00 | 1.103E-02 | 9.102E-03 | 1.002E-01 | 1.390E-02 | 4.698E-02 | 3.316E-05 | 3.073E-02 | 1.983E-04 | 1.476E-03 | 1.071E+00 | 6.906E-03 |
| 25 | 1.696E+00 | 1.094E-02 | 9.027E-03 | 9.929E-03 | 1.378E-02 | 4.660E-02 | 3.288E-05 | 3.049E-02 | 1.966E-04 | 1.464E-03 | 1.062E+00 | 6.850E-03 |
| 26 | 1.689E+00 | 1.080E-02 | 8.907E-03 | 9.914E-03 | 1.360E-02 | 4.639E-02 | 3.245E-05 | 3.035E-02 | 1.940E-04 | 1.444E-03 | 1.057E+00 | 6.758E-03 |
| 27 | 1.681E+00 | 1.069E-02 | 8.816E-03 | 9.899E-03 | 1.346E-02 | 4.618E-02 | 3.211E-05 | 3.021E-02 | 1.920E-04 | 1.430E-03 | 1.052E+00 | 6.689E-03 |
| 28 | 1.665E+00 | 1.068E-02 | 8.811E-03 | 9.838E-03 | 1.345E-02 | 4.574E-02 | 3.210E-05 | 2.993E-02 | 1.919E-04 | 1.429E-03 | 1.042E+00 | 6.686E-03 |
| 29 | 1.608E+00 | 1.058E-02 | 8.727E-03 | 9.738E-03 | 1.332E-02 | 4.417E-02 | 3.179E-05 | 2.890E-02 | 1.901E-04 | 1.415E-03 | 1.007E+00 | 6.622E-03 |
| 30 | 1.604E+00 | 1.043E-02 | 8.606E-03 | 9.737E-03 | 1.314E-02 | 4.406E-02 | 3.135E-05 | 2.883E-02 | 1.875E-04 | 1.396E-03 | 1.004E+00 | 6.530E-03 |
| 31 | 1.582E+00 | 1.032E-02 | 8.513E-03 | 9.733E-03 | 1.300E-02 | 4.346E-02 | 3.101E-05 | 2.844E-02 | 1.854E-04 | 1.381E-03 | 9.906E-01 | 6.459E-03 |
| 32 | 1.579E+00 | 9.980E-03 | 8.233E-03 | 9.707E-03 | 1.257E-02 | 4.336E-02 | 2.999E-05 | 2.837E-02 | 1.793E-04 | 1.335E-03 | 9.882E-01 | 6.247E-03 |
| 33 | 1.578E+00 | 9.838E-03 | 8.116E-03 | 9.649E-03 | 1.239E-02 | 4.335E-02 | 2.956E-05 | 2.836E-02 | 1.768E-04 | 1.316E-03 | 9.879E-01 | 6.158E-03 |
| 34 | 1.575E+00 | 9.818E-03 | 8.100E-03 | 9.642E-03 | 1.237E-02 | 4.327E-02 | 2.950E-05 | 2.831E-02 | 1.764E-04 | 1.314E-03 | 9.861E-01 | 6.146E-03 |
| 35 | 1.544E+00 | 9.657E-03 | 7.966E-03 | 9.581E-03 | 1.216E-02 | 4.240E-02 | 2.902E-05 | 2.774E-02 | 1.735E-04 | 1.292E-03 | 9.663E-01 | 6.045E-03 |
| 36 | 1.523E+00 | 9.634E-03 | 7.948E-03 | 9.555E-03 | 1.213E-02 | 4.184E-02 | 2.895E-05 | 2.737E-02 | 1.731E-04 | 1.289E-03 | 9.535E-01 | 6.031E-03 |
| 37 | 1.508E+00 | 9.424E-03 | 7.775E-03 | 9.530E-03 | 1.187E-02 | 4.142E-02 | 2.832E-05 | 2.710E-02 | 1.694E-04 | 1.261E-03 | 9.440E-01 | 5.899E-03 |
| 38 | 1.497E+00 | 9.412E-03 | 7.765E-03 | 9.453E-03 | 1.185E-02 | 4.111E-02 | 2.829E-05 | 2.690E-02 | 1.691E-04 | 1.259E-03 | 9.369E-01 | 5.892E-03 |
| 39 | 1.490E+00 | 9.407E-03 | 7.760E-03 | 9.393E-03 | 1.185E-02 | 4.093E-02 | 2.827E-05 | 2.678E-02 | 1.690E-04 | 1.259E-03 | 9.328E-01 | 5.888E-03 |
| 40 | 1.489E+00 | 9.350E-03 | 7.714E-03 | 9.274E-03 | 1.178E-02 | 4.089E-02 | 2.810E-05 | 2.675E-02 | 1.680E-04 | 1.251E-03</td | | |

Scénario :
Surélévation du LET
An 2 (2022)

| Récepteur | Chloroforme | Chlorométhane | P-Dichlorobenzene | Dichlorofluoromethane | Dichloromethane (methylene chloride) | | Ethanol |
|-----------------------------|-------------|---------------|-------------------|-----------------------|--------------------------------------|-----------|-----------|
| | Annuel | Annuel | 4 min | Annuel | 1 h | Annuel | 4 min |
| Récepteurs sensibles | | | | | | | |
| Résidence 1 | 5.905E-06 | 4.274E-05 | 9.047E-02 | 1.886E-04 | 1.868E-02 | 8.496E-04 | 6.937E-03 |
| Résidence 2 | 7.732E-06 | 5.596E-05 | 8.682E-02 | 2.470E-04 | 1.793E-02 | 1.112E-03 | 6.657E-03 |
| Résidence 3 | 2.714E-05 | 1.964E-04 | 6.235E-02 | 8.669E-04 | 1.288E-02 | 3.905E-03 | 4.781E-03 |
| Résidence 4 | 1.370E-05 | 9.917E-05 | 5.000E-02 | 4.377E-04 | 1.032E-02 | 1.971E-03 | 3.834E-03 |
| Résidence 5 | 1.975E-05 | 1.429E-04 | 8.058E-02 | 6.308E-04 | 1.664E-02 | 2.841E-03 | 6.179E-03 |
| Résidence 6 | 2.261E-05 | 1.636E-04 | 1.708E-01 | 7.221E-04 | 3.528E-02 | 3.253E-03 | 1.310E-02 |
| Résidence 7 | 9.642E-06 | 6.979E-05 | 1.418E-01 | 3.080E-04 | 2.927E-02 | 1.387E-03 | 1.087E-02 |
| Résidence 8 | 5.192E-06 | 3.758E-05 | 9.918E-02 | 1.658E-04 | 2.048E-02 | 7.470E-04 | 7.605E-03 |
| Résidence 9 | 2.698E-06 | 1.953E-05 | 7.582E-02 | 8.619E-05 | 1.566E-02 | 3.882E-04 | 5.813E-03 |
| Résidence 10 | 4.465E-06 | 3.231E-05 | 9.481E-02 | 1.426E-04 | 1.958E-02 | 6.424E-04 | 7.270E-03 |
| Résidence 11 | 6.186E-06 | 4.477E-05 | 1.004E-01 | 1.976E-04 | 2.073E-02 | 8.901E-04 | 7.696E-03 |
| Résidence 12 | 1.247E-05 | 9.023E-05 | 1.445E-01 | 3.982E-04 | 2.984E-02 | 1.794E-03 | 1.108E-02 |
| Résidence 13 | 2.110E-05 | 1.527E-04 | 1.514E-01 | 6.741E-04 | 3.126E-02 | 3.036E-03 | 1.161E-02 |
| Résidence 14 | 3.191E-05 | 2.309E-04 | 1.566E-01 | 1.019E-03 | 3.233E-02 | 4.591E-03 | 1.201E-02 |
| Résidence 15 | 2.101E-05 | 1.521E-04 | 1.142E-01 | 6.712E-04 | 2.358E-02 | 3.023E-03 | 8.757E-03 |
| Résidence 16 | 6.988E-06 | 5.057E-05 | 1.246E-01 | 2.232E-04 | 2.572E-02 | 1.005E-03 | 9.552E-03 |
| Résidence 17 | 3.690E-06 | 2.671E-05 | 9.006E-02 | 1.179E-04 | 1.860E-02 | 5.309E-04 | 6.905E-03 |
| École primaire | 1.493E-06 | 1.080E-05 | 3.431E-02 | 4.768E-05 | 7.085E-03 | 2.147E-04 | 2.631E-03 |
| 50 maximums observés | | | | | | | |
| 1 | 3.190E-04 | 2.309E-03 | 8.713E-01 | 1.019E-02 | 1.799E-01 | 4.589E-02 | 6.681E-02 |
| 2 | 3.050E-04 | 2.207E-03 | 8.415E-01 | 9.742E-03 | 1.738E-01 | 4.388E-02 | 6.453E-02 |
| 3 | 3.029E-04 | 2.192E-03 | 8.272E-01 | 9.674E-03 | 1.708E-01 | 4.357E-02 | 6.343E-02 |
| 4 | 2.779E-04 | 2.011E-03 | 7.741E-01 | 8.876E-03 | 1.599E-01 | 3.998E-02 | 5.936E-02 |
| 5 | 2.692E-04 | 1.948E-03 | 7.527E-01 | 8.599E-03 | 1.554E-01 | 3.873E-02 | 5.772E-02 |
| 6 | 2.687E-04 | 1.945E-03 | 6.775E-01 | 8.584E-03 | 1.399E-01 | 3.866E-02 | 5.195E-02 |
| 7 | 2.676E-04 | 1.937E-03 | 6.645E-01 | 8.548E-03 | 1.372E-01 | 3.850E-02 | 5.095E-02 |
| 8 | 2.666E-04 | 1.929E-03 | 6.608E-01 | 8.514E-03 | 1.365E-01 | 3.835E-02 | 5.067E-02 |
| 9 | 2.597E-04 | 1.880E-03 | 6.471E-01 | 8.295E-03 | 1.336E-01 | 3.736E-02 | 4.962E-02 |
| 10 | 2.594E-04 | 1.877E-03 | 6.413E-01 | 8.286E-03 | 1.324E-01 | 3.732E-02 | 4.917E-02 |
| 11 | 2.541E-04 | 1.839E-03 | 6.055E-01 | 8.115E-03 | 1.250E-01 | 3.656E-02 | 4.642E-02 |
| 12 | 2.448E-04 | 1.772E-03 | 6.041E-01 | 7.819E-03 | 1.248E-01 | 3.522E-02 | 4.632E-02 |
| 13 | 2.436E-04 | 1.763E-03 | 6.022E-01 | 7.782E-03 | 1.243E-01 | 3.505E-02 | 4.617E-02 |
| 14 | 2.409E-04 | 1.743E-03 | 6.008E-01 | 7.693E-03 | 1.241E-01 | 3.465E-02 | 4.607E-02 |
| 15 | 2.401E-04 | 1.738E-03 | 6.006E-01 | 7.669E-03 | 1.240E-01 | 3.454E-02 | 4.605E-02 |
| 16 | 2.386E-04 | 1.727E-03 | 5.989E-01 | 7.623E-03 | 1.237E-01 | 3.433E-02 | 4.592E-02 |
| 17 | 2.368E-04 | 1.714E-03 | 5.923E-01 | 7.564E-03 | 1.223E-01 | 3.407E-02 | 4.542E-02 |
| 18 | 2.358E-04 | 1.707E-03 | 5.923E-01 | 7.533E-03 | 1.223E-01 | 3.393E-02 | 4.541E-02 |
| 19 | 2.352E-04 | 1.702E-03 | 5.882E-01 | 7.513E-03 | 1.215E-01 | 3.384E-02 | 4.510E-02 |
| 20 | 2.351E-04 | 1.701E-03 | 5.881E-01 | 7.509E-03 | 1.214E-01 | 3.382E-02 | 4.509E-02 |
| 21 | 2.332E-04 | 1.688E-03 | 5.869E-01 | 7.448E-03 | 1.212E-01 | 3.355E-02 | 4.501E-02 |
| 22 | 2.320E-04 | 1.679E-03 | 5.827E-01 | 7.410E-03 | 1.203E-01 | 3.338E-02 | 4.468E-02 |
| 23 | 2.310E-04 | 1.672E-03 | 5.808E-01 | 7.379E-03 | 1.199E-01 | 3.324E-02 | 4.453E-02 |
| 24 | 2.288E-04 | 1.656E-03 | 5.805E-01 | 7.307E-03 | 1.199E-01 | 3.292E-02 | 4.451E-02 |
| 25 | 2.269E-04 | 1.642E-03 | 5.758E-01 | 7.248E-03 | 1.189E-01 | 3.265E-02 | 4.415E-02 |
| 26 | 2.239E-04 | 1.620E-03 | 5.732E-01 | 7.151E-03 | 1.184E-01 | 3.221E-02 | 4.395E-02 |
| 27 | 2.216E-04 | 1.604E-03 | 5.706E-01 | 7.078E-03 | 1.178E-01 | 3.188E-02 | 4.375E-02 |
| 28 | 2.215E-04 | 1.603E-03 | 5.652E-01 | 7.074E-03 | 1.167E-01 | 3.186E-02 | 4.334E-02 |
| 29 | 2.194E-04 | 1.588E-03 | 5.458E-01 | 7.007E-03 | 1.127E-01 | 3.156E-02 | 4.185E-02 |
| 30 | 2.163E-04 | 1.566E-03 | 5.444E-01 | 6.909E-03 | 1.124E-01 | 3.112E-02 | 4.175E-02 |
| 31 | 2.140E-04 | 1.549E-03 | 5.371E-01 | 6.834E-03 | 1.109E-01 | 3.078E-02 | 4.118E-02 |
| 32 | 2.069E-04 | 1.498E-03 | 5.358E-01 | 6.610E-03 | 1.106E-01 | 2.977E-02 | 4.108E-02 |
| 33 | 2.040E-04 | 1.476E-03 | 5.356E-01 | 6.516E-03 | 1.106E-01 | 2.935E-02 | 4.107E-02 |
| 34 | 2.036E-04 | 1.473E-03 | 5.347E-01 | 6.503E-03 | 1.104E-01 | 2.929E-02 | 4.100E-02 |
| 35 | 2.002E-04 | 1.449E-03 | 5.239E-01 | 6.396E-03 | 1.082E-01 | 2.881E-02 | 4.017E-02 |
| 36 | 1.998E-04 | 1.446E-03 | 5.170E-01 | 6.381E-03 | 1.068E-01 | 2.874E-02 | 3.964E-02 |
| 37 | 1.954E-04 | 1.414E-03 | 5.118E-01 | 6.242E-03 | 1.057E-01 | 2.812E-02 | 3.925E-02 |
| 38 | 1.952E-04 | 1.413E-03 | 5.080E-01 | 6.234E-03 | 1.049E-01 | 2.808E-02 | 3.895E-02 |
| 39 | 1.951E-04 | 1.412E-03 | 5.058E-01 | 6.230E-03 | 1.044E-01 | 2.806E-02 | 3.878E-02 |
| 40 | 1.939E-04 | 1.403E-03 | 5.053E-01 | 6.193E-03 | 1.043E-01 | 2.790E-02 | 3.874E-02 |
| 41 | 1.937E-04 | 1.402E-03 | 5.052E-01 | 6.186E-03 | 1.043E-01 | 2.787E-02 | 3.874E-02 |
| 42 | 1.919E-04 | 1.389E-03 | 5.030E-01 | 6.131E-03 | 1.039E-01 | 2.762E-02 | 3.857E-02 |
| 43 | 1.919E-04 | 1.389E-03 | 4.950E-01 | 6.128E-03 | 1.022E-01 | 2.760E-02 | 3.795E-02 |
| 44 | 1.918E-04 | 1.388E-03 | 4.889E-01 | 6.126E-03 | 1.010E-01 | 2.759E-02 | 3.749E-02 |
| 45 | 1.886E-04 | 1.365E-03 | 4.872E-01 | 6.026E-03 | 1.006E-01 | 2.714E-02 | 3.736E-02 |
| 46 | 1.882E-04 | 1.362E-03 | 4.870E-01 | 6.010E-03 | 1.006E-01 | 2.707E-02 | 3.734E-02 |
| 47 | 1.854E-04 | 1.342E-03 | 4.835E-01 | 5.923E-03 | 9.985E-02 | 2.668E-02 | 3.708E-02 |
| 48 | 1.840E-04 | 1.332E-03 | 4.777E-01 | 5.878E-03 | 9.865E-02 | 2.648E-02 | 3.663E-02 |
| 49 | 1.812E-04 | 1.312E-03 | 4.484E-01 | 5.789E-03 | 9.259E-02 | 2.608E-02 | 3.438E-02 |
| 50 | 1.810E-04 | 1.310E-03 | 4.472E-01 | 5.781E-03 | 9.234E-02 | 2.604E-02 | 3.429E-02 |

Scénario :
 Surélévation du LET
 An 2 (2022)

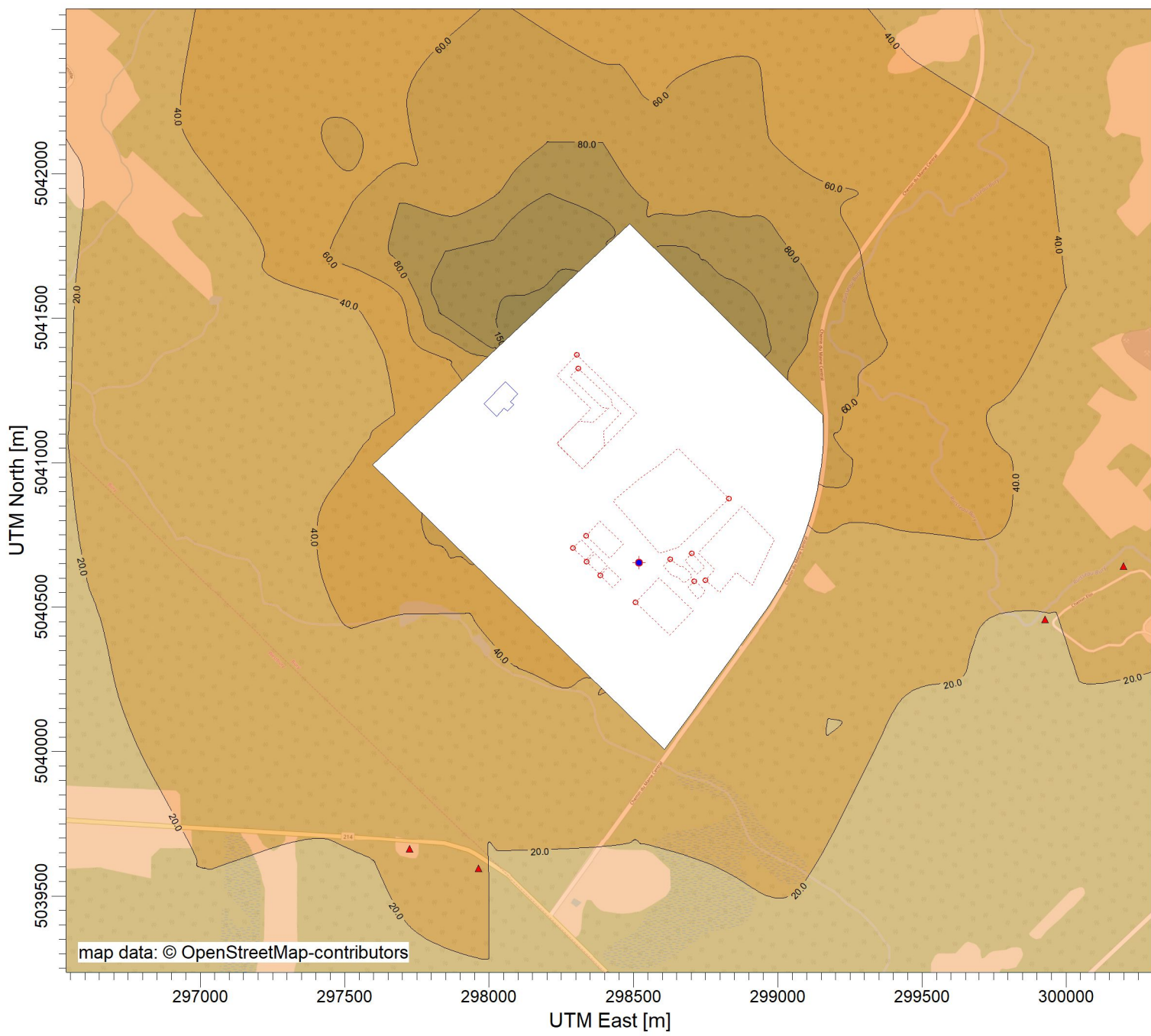
| Récepteur | Ethylbenzene | | Ethylene dibromide | Hexane | | Mercury (total) | Methyl ethyl ketone | Methyl isobutyl ketone | Pentane | | Perchloroethylene (tetrachloroethene) | t-1,2-dichloroethene |
|-----------------------------|--------------|-----------|--------------------|-----------|-----------|-----------------|---------------------|------------------------|-----------|-----------|---------------------------------------|----------------------|
| | 4 min | Annuel | Annuel | 4 min | Annuel | Annuel | 4 min | 4 min | 4 min | Annuel | Annuel | 4 min |
| Récepteurs sensibles | | | | | | | | | | | | |
| Résidence 1 | 3.378E-01 | 3.609E-04 | 6.333E-07 | 3.707E-01 | 3.960E-04 | 1.712E-08 | 3.347E-01 | 1.226E-01 | 2.107E-01 | 2.251E-04 | 2.355E-04 | 1.802E-01 |
| Résidence 2 | 3.241E-01 | 4.725E-04 | 8.292E-07 | 3.557E-01 | 5.186E-04 | 2.241E-08 | 3.212E-01 | 1.177E-01 | 2.022E-01 | 2.947E-04 | 3.083E-04 | 1.730E-01 |
| Résidence 3 | 2.328E-01 | 1.659E-03 | 2.911E-06 | 2.555E-01 | 1.820E-03 | 7.867E-08 | 2.307E-01 | 8.451E-02 | 1.452E-01 | 1.034E-03 | 1.082E-03 | 1.242E-01 |
| Résidence 4 | 1.867E-01 | 8.374E-04 | 1.469E-06 | 2.049E-01 | 9.190E-04 | 3.972E-08 | 1.850E-01 | 6.777E-02 | 1.164E-01 | 5.223E-04 | 5.464E-04 | 9.962E-02 |
| Résidence 5 | 3.009E-01 | 1.207E-03 | 2.118E-06 | 3.302E-01 | 1.324E-03 | 5.724E-08 | 2.981E-01 | 1.092E-01 | 1.876E-01 | 7.527E-04 | 7.874E-04 | 1.605E-01 |
| Résidence 6 | 6.378E-01 | 1.382E-03 | 2.425E-06 | 7.000E-01 | 1.516E-03 | 6.553E-08 | 6.320E-01 | 2.315E-01 | 3.978E-01 | 8.617E-04 | 9.015E-04 | 3.404E-01 |
| Résidence 7 | 5.293E-01 | 5.893E-04 | 1.034E-06 | 5.809E-01 | 6.467E-04 | 2.795E-08 | 5.245E-01 | 1.921E-01 | 3.301E-01 | 3.675E-04 | 3.845E-04 | 2.824E-01 |
| Résidence 8 | 3.703E-01 | 3.173E-04 | 5.568E-07 | 4.064E-01 | 3.482E-04 | 1.505E-08 | 3.670E-01 | 1.344E-01 | 2.310E-01 | 1.979E-04 | 2.070E-04 | 1.976E-01 |
| Résidence 9 | 2.831E-01 | 1.649E-04 | 2.894E-07 | 3.107E-01 | 1.810E-04 | 7.821E-09 | 2.805E-01 | 1.028E-01 | 1.765E-01 | 1.028E-04 | 1.076E-04 | 1.511E-01 |
| Résidence 10 | 3.540E-01 | 2.728E-04 | 4.788E-07 | 3.885E-01 | 2.994E-04 | 1.294E-08 | 3.508E-01 | 1.285E-01 | 2.208E-01 | 1.702E-04 | 1.780E-04 | 1.889E-01 |
| Résidence 11 | 3.747E-01 | 3.781E-04 | 6.635E-07 | 4.113E-01 | 4.149E-04 | 1.793E-08 | 3.714E-01 | 1.360E-01 | 2.337E-01 | 2.358E-04 | 2.467E-04 | 2.000E-01 |
| Résidence 12 | 5.395E-01 | 7.619E-04 | 1.337E-06 | 5.921E-01 | 8.362E-04 | 3.614E-08 | 5.346E-01 | 1.959E-01 | 3.365E-01 | 4.752E-04 | 4.971E-04 | 2.879E-01 |
| Résidence 13 | 5.653E-01 | 1.290E-03 | 2.263E-06 | 6.204E-01 | 1.415E-03 | 6.117E-08 | 5.602E-01 | 2.052E-01 | 3.526E-01 | 8.044E-04 | 8.415E-04 | 3.016E-01 |
| Résidence 14 | 5.846E-01 | 1.950E-03 | 3.422E-06 | 6.416E-01 | 2.140E-03 | 9.248E-08 | 5.793E-01 | 2.122E-01 | 3.646E-01 | 1.216E-03 | 1.272E-03 | 3.119E-01 |
| Résidence 15 | 4.264E-01 | 1.284E-03 | 2.254E-06 | 4.680E-01 | 1.409E-03 | 6.091E-08 | 4.225E-01 | 1.548E-01 | 2.659E-01 | 8.010E-04 | 8.379E-04 | 2.275E-01 |
| Résidence 16 | 4.651E-01 | 4.270E-04 | 7.494E-07 | 5.104E-01 | 4.687E-04 | 2.025E-08 | 4.609E-01 | 1.688E-01 | 2.901E-01 | 2.663E-04 | 2.786E-04 | 2.482E-01 |
| Résidence 17 | 3.362E-01 | 2.255E-04 | 3.957E-07 | 3.690E-01 | 2.475E-04 | 1.070E-08 | 3.332E-01 | 1.221E-01 | 2.097E-01 | 1.406E-04 | 1.471E-04 | 1.794E-01 |
| École primaire | 1.281E-01 | 9.122E-05 | 1.601E-07 | 1.406E-01 | 1.001E-04 | 4.326E-09 | 1.269E-01 | 4.650E-02 | 7.990E-02 | 5.689E-05 | 5.952E-05 | 6.836E-02 |
| 50 maximums observés | | | | | | | | | | | | |
| 1 | 3.253E+00 | 1.949E-02 | 3.421E-05 | 3.570E+00 | 2.139E-02 | 9.246E-07 | 3.224E+00 | 1.181E+00 | 2.029E+00 | 1.216E-02 | 1.272E-02 | 1.736E+00 |
| 2 | 3.142E+00 | 1.864E-02 | 3.271E-05 | 3.448E+00 | 2.046E-02 | 8.841E-07 | 3.113E+00 | 1.141E+00 | 1.960E+00 | 1.163E-02 | 1.216E-02 | 1.677E+00 |
| 3 | 3.089E+00 | 1.851E-02 | 3.248E-05 | 3.390E+00 | 2.031E-02 | 8.778E-07 | 3.061E+00 | 1.121E+00 | 1.926E+00 | 1.154E-02 | 1.208E-02 | 1.648E+00 |
| 4 | 2.890E+00 | 1.698E-02 | 2.980E-05 | 3.172E+00 | 1.864E-02 | 8.055E-07 | 2.864E+00 | 1.049E+00 | 1.803E+00 | 1.059E-02 | 1.108E-02 | 1.542E+00 |
| 5 | 2.810E+00 | 1.645E-02 | 2.887E-05 | 3.084E+00 | 1.805E-02 | 7.803E-07 | 2.785E+00 | 1.020E+00 | 1.753E+00 | 1.026E-02 | 1.073E-02 | 1.500E+00 |
| 6 | 2.530E+00 | 1.642E-02 | 2.882E-05 | 2.776E+00 | 1.802E-02 | 7.789E-07 | 2.507E+00 | 9.183E-01 | 1.578E+00 | 1.024E-02 | 1.072E-02 | 1.350E+00 |
| 7 | 2.481E+00 | 1.635E-02 | 2.870E-05 | 2.723E+00 | 1.795E-02 | 7.757E-07 | 2.458E+00 | 9.006E-01 | 1.547E+00 | 1.020E-02 | 1.067E-02 | 1.324E+00 |
| 8 | 2.467E+00 | 1.629E-02 | 2.859E-05 | 2.708E+00 | 1.788E-02 | 7.726E-07 | 2.445E+00 | 8.956E-01 | 1.539E+00 | 1.016E-02 | 1.063E-02 | 1.317E+00 |
| 9 | 2.416E+00 | 1.587E-02 | 2.785E-05 | 2.652E+00 | 1.742E-02 | 7.527E-07 | 2.394E+00 | 8.771E-01 | 1.507E+00 | 9.898E-03 | 1.035E-02 | 1.289E+00 |
| 10 | 2.394E+00 | 1.585E-02 | 2.782E-05 | 2.628E+00 | 1.740E-02 | 7.519E-07 | 2.373E+00 | 8.692E-01 | 1.493E+00 | 9.887E-03 | 1.034E-02 | 1.278E+00 |
| 11 | 2.261E+00 | 1.553E-02 | 2.725E-05 | 2.481E+00 | 1.704E-02 | 7.364E-07 | 2.240E+00 | 8.206E-01 | 1.410E+00 | 9.684E-03 | 1.013E-02 | 1.206E+00 |
| 12 | 2.256E+00 | 1.496E-02 | 2.625E-05 | 2.476E+00 | 1.642E-02 | 7.095E-07 | 2.235E+00 | 8.189E-01 | 1.407E+00 | 9.330E-03 | 9.760E-03 | 1.204E+00 |
| 13 | 2.248E+00 | 1.489E-02 | 2.613E-05 | 2.467E+00 | 1.634E-02 | 7.062E-07 | 2.228E+00 | 8.162E-01 | 1.402E+00 | 9.286E-03 | 9.715E-03 | 1.200E+00 |
| 14 | 2.243E+00 | 1.472E-02 | 2.583E-05 | 2.462E+00 | 1.615E-02 | 6.981E-07 | 2.223E+00 | 8.143E-01 | 1.399E+00 | 9.180E-03 | 9.604E-03 | 1.197E+00 |
| 15 | 2.242E+00 | 1.467E-02 | 2.575E-05 | 2.461E+00 | 1.610E-02 | 6.959E-07 | 2.222E+00 | 8.141E-01 | 1.399E+00 | 9.151E-03 | 9.573E-03 | 1.197E+00 |
| 16 | 2.236E+00 | 1.458E-02 | 2.559E-05 | 2.454E+00 | 1.601E-02 | 6.917E-07 | 2.216E+00 | 8.117E-01 | 1.395E+00 | 9.096E-03 | 9.516E-03 | 1.193E+00 |
| 17 | 2.211E+00 | 1.447E-02 | 2.539E-05 | 2.427E+00 | 1.588E-02 | 6.864E-07 | 2.191E+00 | 8.028E-01 | 1.379E+00 | 9.026E-03 | 9.442E-03 | 1.180E+00 |
| 18 | 2.211E+00 | 1.441E-02 | 2.529E-05 | 2.427E+00 | 1.582E-02 | 6.836E-07 | 2.191E+00 | 8.028E-01 | 1.379E+00 | 8.989E-03 | 9.404E-03 | 1.180E+00 |
| 19 | 2.196E+00 | 1.438E-02 | 2.523E-05 | 2.410E+00 | 1.578E-02 | 6.818E-07 | 2.176E+00 | 7.972E-01 | 1.370E+00 | 8.966E-03 | 9.380E-03 | 1.172E+00 |
| 20 | 2.196E+00 | 1.437E-02 | 2.521E-05 | 2.410E+00 | 1.577E-02 | 6.814E-07 | 2.176E+00 | 7.971E-01 | 1.369E+00 | 8.960E-03 | 9.374E-03 | 1.172E+00 |
| 21 | 2.191E+00 | 1.425E-02 | 2.501E-05 | 2.405E+00 | 1.564E-02 | 6.758E-07 | 2.172E+00 | 7.955E-01 | 1.367E+00 | 8.887E-03 | 9.297E-03 | 1.169E+00 |
| 22 | 2.176E+00 | 1.418E-02 | 2.488E-05 | 2.388E+00 | 1.556E-02 | 6.724E-07 | 2.156E+00 | 7.898E-01 | 1.357E+00 | 8.843E-03 | 9.251E-03 | 1.161E+00 |
| 23 | 2.168E+00 | 1.412E-02 | 2.478E-05 | 2.380E+00 | 1.549E-02 | 6.696E-07 | 2.149E+00 | 7.872E-01 | 1.352E+00 | 8.805E-03 | 9.212E-03 | 1.157E+00 |
| 24 | 2.167E+00 | 1.398E-02 | 2.453E-05 | 2.378E+00 | 1.534E-02 | 6.631E-07 | 2.148E+00 | 7.868E-01 | 1.352E+00 | 8.720E-03 | 9.122E-03 | 1.156E+00 |
| 25 | 2.150E+00 | 1.387E-02 | 2.433E-05 | 2.359E+00 | 1.522E-02 | 6.577E-07 | 2.130E+00 | 7.804E-01 | 1.341E+00 | 8.648E-03 | 9.048E-03 | 1.147E+00 |
| 26 | 2.140E+00 | 1.368E-02 | 2.401E-05 | 2.349E+00 | 1.502E-02 | 6.489E-07 | 2.121E+00 | 7.769E-01 | 1.335E+00 | 8.533E-03 | 8.927E-03 | 1.142E+00 |
| 27 | 2.130E+00 | 1.354E-02 | 2.376E-05 | 2.338E+00 | 1.486E-02 | 6.423E-07 | 2.111E+00 | 7.734E-01 | 1.329E+00 | 8.446E-03 | 8.836E-03 | 1.137E+00 |
| 28 | 2.110E+00 | 1.353E-02 | 2.375E-05 | 2.316E+00 | 1.485E-02 | 6.419E-07 | 2.091E+00 | 7.661E-01 | 1.316E+00 | 8.441E-03 | 8.831E-03 | 1.126E+00 |
| 29 | 2.038E+00 | 1.341E-02 | 2.353E-05 | 2.236E+00 | 1.471E-02 | 6.358E-07 | 2.019E+00 | 7.398E-01 | 1.271E+00 | 8.361E-03 | 8.747E-03 | 1.087E+00 |
| 30 | 2.033E+00 | 1.322E-02 | 2.320E-05 | 2.231E+00 | 1.451E-02 | 6.270E-07 | 2.014E+00 | 7.379E-01 | 1.268E+00 | 8.245E-03 | 8.626E-03 | 1.085E+00 |
| 31 | 2.005E+00 | 1.308E-02 | 2.295E-05 | 2.201E+00 | 1.435E-02 | 6.202E-07 | 1.987E+00 | 7.280E-01 | 1.251E+00 | 8.155E-03 | 8.532E-03 | 1.070E+00 |
| 32 | 2.001E+00 | 1.265E-02 | 2.219E-05 | 2.196E+00 | 1.388E-02 | 5.998E-07 | 1.982E+00 | 7.262E-01 | 1.248E+00 | 7.888E-03 | 8.252E-03 | 1.068E+00 |
| 33 | 2.000E+00 | 1.247E-02 | 2.188E-05 | 2.195E-02 | 1.368E-02 | 5.913E-07 | 1.982E+00 | 7.260E-01 | 1.247E+00 | 7.775E-03 | 8.134E-03 | 1.067E+00 |
| 34 | 1.996E+00 | 1.244E-02 | 2.183E-05 | 2.191E+00 | 1.365E-02 | 5.901E-07 | 1.978E+00 | 7.247E-01 | 1.245E+00 | 7.760E-03 | 8.118E-03 | 1.065E+00 |
| 35 | 1.956E+00 | 1.224E-02 | 2.147E-05 | 2.147E+00 | 1.343E-02 | 5.804E-07 | 1.938E+00 | 7.102E-01 | 1.220E+00 | 7.632E-03 | 7.984E-03 | 1.044E+00 |
| 36 | 1.930E+00 | 1.221E-02 | 2.142E-05 | 2.118E+00 | 1.340E-02 | 5.790E-07 | 1.913E+00 | 7.007E-01 | 1.204E+00 | 7.614E-03 | 7.966E-03 | 1.030E+00 |
| 37 | 1.911E+00 | 1.194E-02 | 2.096E-05 | 2.097E+00 | 1.311E-02 | 5.664E-07 | 1.894E+00 | 6.937E-01 | 1.192E+00 | 7.449E-03 | 7.792E-03 | 1.020E+00 |
| 38 | 1.897E+00 | 1.193E-02 | 2.093E-05 | 2.082E+00 | 1.309E-02 | 5.657E-07 | 1.880E+00 | 6.886E-01 | 1.183E+00 | 7.439E-03 | 7.782E-03 | 1.012E+00 |
| 39 | 1.888E+00 | 1.192E-02 | 2.092E-05 | 2.072E+00 | 1.308E-02 | 5.654E-07 | 1.871E+00 | 6.855E-01 | 1.178E+00 | 7.435E-03 | 7.778E-03 | 1.008E+00 |
| 40 | 1.886E+00 | 1.185E-02 | 2.079E-05 | 2.070E+00 | 1.300E-02 | 5.620E-07 | 1.869E+00 | 6.848E-01 | 1.177E+00 | | | |

Scénario :
Surélévation du LET
An 2 (2022)

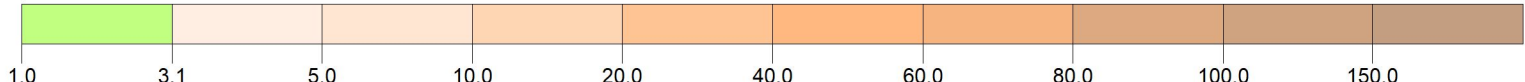
| Récepteur | Toluène | Trichloroethylene (Trichloroethene) | Vinyl chloride | Xylenes | |
|-----------------------------|-----------|--|----------------|-----------|-----------|
| | 4 min | Annuel | Annuel | 4 min | Annuel |
| Récepteurs sensibles | | | | | |
| Résidence 1 | 1.780E+00 | 7.610E-05 | 6.208E-05 | 6.415E-01 | 6.854E-04 |
| Résidence 2 | 1.708E+00 | 9.964E-05 | 8.129E-05 | 6.156E-01 | 8.974E-04 |
| Résidence 3 | 1.226E+00 | 3.497E-04 | 2.853E-04 | 4.421E-01 | 3.150E-03 |
| Résidence 4 | 9.835E-01 | 1.766E-04 | 1.440E-04 | 3.545E-01 | 1.590E-03 |
| Résidence 5 | 1.585E+00 | 2.545E-04 | 2.076E-04 | 5.714E-01 | 2.292E-03 |
| Résidence 6 | 3.360E+00 | 2.913E-04 | 2.377E-04 | 1.211E+00 | 2.624E-03 |
| Résidence 7 | 2.789E+00 | 1.243E-04 | 1.014E-04 | 1.005E+00 | 1.119E-03 |
| Résidence 8 | 1.951E+00 | 6.691E-05 | 5.458E-05 | 7.033E-01 | 6.026E-04 |
| Résidence 9 | 1.491E+00 | 3.477E-05 | 2.837E-05 | 5.376E-01 | 3.132E-04 |
| Résidence 10 | 1.865E+00 | 5.753E-05 | 4.694E-05 | 6.723E-01 | 5.182E-04 |
| Résidence 11 | 1.974E+00 | 7.972E-05 | 6.504E-05 | 7.117E-01 | 7.180E-04 |
| Résidence 12 | 2.843E+00 | 1.607E-04 | 1.311E-04 | 1.025E+00 | 1.447E-03 |
| Résidence 13 | 2.978E+00 | 2.720E-04 | 2.219E-04 | 1.074E+00 | 2.449E-03 |
| Résidence 14 | 3.080E+00 | 4.112E-04 | 3.354E-04 | 1.110E+00 | 3.703E-03 |
| Résidence 15 | 2.246E+00 | 2.708E-04 | 2.209E-04 | 8.098E-01 | 2.439E-03 |
| Résidence 16 | 2.450E+00 | 9.005E-05 | 7.346E-05 | 8.833E-01 | 8.110E-04 |
| Résidence 17 | 1.771E+00 | 4.755E-05 | 3.879E-05 | 6.386E-01 | 4.283E-04 |
| École primaire | 6.749E-01 | 1.923E-05 | 1.569E-05 | 2.433E-01 | 1.732E-04 |
| 50 maximums observés | | | | | |
| 1 | 1.714E+01 | 4.111E-03 | 3.353E-03 | 6.178E+00 | 3.702E-02 |
| 2 | 1.655E+01 | 3.930E-03 | 3.206E-03 | 5.967E+00 | 3.540E-02 |
| 3 | 1.627E+01 | 3.903E-03 | 3.184E-03 | 5.866E+00 | 3.515E-02 |
| 4 | 1.523E+01 | 3.581E-03 | 2.921E-03 | 5.489E+00 | 3.225E-02 |
| 5 | 1.481E+01 | 3.469E-03 | 2.830E-03 | 5.338E+00 | 3.124E-02 |
| 6 | 1.333E+01 | 3.463E-03 | 2.825E-03 | 4.804E+00 | 3.119E-02 |
| 7 | 1.307E+01 | 3.449E-03 | 2.813E-03 | 4.712E+00 | 3.106E-02 |
| 8 | 1.300E+01 | 3.435E-03 | 2.802E-03 | 4.686E+00 | 3.094E-02 |
| 9 | 1.273E+01 | 3.347E-03 | 2.730E-03 | 4.589E+00 | 3.014E-02 |
| 10 | 1.261E+01 | 3.343E-03 | 2.727E-03 | 4.547E+00 | 3.011E-02 |
| 11 | 1.191E+01 | 3.274E-03 | 2.671E-03 | 4.293E+00 | 2.949E-02 |
| 12 | 1.188E+01 | 3.154E-03 | 2.573E-03 | 4.284E+00 | 2.841E-02 |
| 13 | 1.185E+01 | 3.140E-03 | 2.561E-03 | 4.270E+00 | 2.828E-02 |
| 14 | 1.182E+01 | 3.104E-03 | 2.532E-03 | 4.260E+00 | 2.795E-02 |
| 15 | 1.181E+01 | 3.094E-03 | 2.524E-03 | 4.259E+00 | 2.787E-02 |
| 16 | 1.178E+01 | 3.075E-03 | 2.509E-03 | 4.247E+00 | 2.770E-02 |
| 17 | 1.165E+01 | 3.052E-03 | 2.489E-03 | 4.200E+00 | 2.748E-02 |
| 18 | 1.165E+01 | 3.039E-03 | 2.479E-03 | 4.200E+00 | 2.737E-02 |
| 19 | 1.157E+01 | 3.031E-03 | 2.473E-03 | 4.171E+00 | 2.730E-02 |
| 20 | 1.157E+01 | 3.029E-03 | 2.471E-03 | 4.170E+00 | 2.729E-02 |
| 21 | 1.155E+01 | 3.005E-03 | 2.451E-03 | 4.162E+00 | 2.706E-02 |
| 22 | 1.146E+01 | 2.990E-03 | 2.439E-03 | 4.132E+00 | 2.693E-02 |
| 23 | 1.142E+01 | 2.977E-03 | 2.429E-03 | 4.118E+00 | 2.681E-02 |
| 24 | 1.142E+01 | 2.948E-03 | 2.405E-03 | 4.116E+00 | 2.655E-02 |
| 25 | 1.133E+01 | 2.924E-03 | 2.385E-03 | 4.083E+00 | 2.634E-02 |
| 26 | 1.128E+01 | 2.885E-03 | 2.354E-03 | 4.065E+00 | 2.598E-02 |
| 27 | 1.122E+01 | 2.856E-03 | 2.330E-03 | 4.046E+00 | 2.572E-02 |
| 28 | 1.112E+01 | 2.854E-03 | 2.328E-03 | 4.008E+00 | 2.570E-02 |
| 29 | 1.074E+01 | 2.827E-03 | 2.306E-03 | 3.870E+00 | 2.546E-02 |
| 30 | 1.071E+01 | 2.788E-03 | 2.274E-03 | 3.861E+00 | 2.511E-02 |
| 31 | 1.056E+01 | 2.757E-03 | 2.249E-03 | 3.808E+00 | 2.483E-02 |
| 32 | 1.054E+01 | 2.667E-03 | 2.176E-03 | 3.799E+00 | 2.402E-02 |
| 33 | 1.054E+01 | 2.629E-03 | 2.145E-03 | 3.798E+00 | 2.368E-02 |
| 34 | 1.052E+01 | 2.624E-03 | 2.140E-03 | 3.791E+00 | 2.363E-02 |
| 35 | 1.031E+01 | 2.580E-03 | 2.105E-03 | 3.715E+00 | 2.324E-02 |
| 36 | 1.017E+01 | 2.574E-03 | 2.100E-03 | 3.666E+00 | 2.319E-02 |
| 37 | 1.007E+01 | 2.518E-03 | 2.054E-03 | 3.629E+00 | 2.268E-02 |
| 38 | 9.993E+00 | 2.515E-03 | 2.052E-03 | 3.602E+00 | 2.265E-02 |
| 39 | 9.949E+00 | 2.514E-03 | 2.051E-03 | 3.586E+00 | 2.264E-02 |
| 40 | 9.939E+00 | 2.499E-03 | 2.038E-03 | 3.583E+00 | 2.250E-02 |
| 41 | 9.937E+00 | 2.496E-03 | 2.036E-03 | 3.582E+00 | 2.248E-02 |
| 42 | 9.895E+00 | 2.474E-03 | 2.018E-03 | 3.567E+00 | 2.228E-02 |
| 43 | 9.736E+00 | 2.473E-03 | 2.017E-03 | 3.510E+00 | 2.227E-02 |
| 44 | 9.617E+00 | 2.472E-03 | 2.016E-03 | 3.467E+00 | 2.226E-02 |
| 45 | 9.584E+00 | 2.431E-03 | 1.983E-03 | 3.455E+00 | 2.190E-02 |
| 46 | 9.579E+00 | 2.425E-03 | 1.978E-03 | 3.453E+00 | 2.184E-02 |
| 47 | 9.511E+00 | 2.390E-03 | 1.950E-03 | 3.429E+00 | 2.152E-02 |
| 48 | 9.397E+00 | 2.372E-03 | 1.935E-03 | 3.388E+00 | 2.136E-02 |
| 49 | 8.820E+00 | 2.336E-03 | 1.905E-03 | 3.180E+00 | 2.104E-02 |
| 50 | 8.797E+00 | 2.332E-03 | 1.903E-03 | 3.171E+00 | 2.101E-02 |

ANNEXE F RÉSULTATS – CARTES D'ISOLIGNES DE CONCENTRATION

PROJECT TITLE:

Surélévation du LET de Valoris**Étude de dispersion atmosphérique des contaminants**

PLOT FILE OF HIGH 1ST HIGH 1-HR VALUES FOR SOURCE GROUP: ALL

Max: 186.3 [ug/m³] at (298131.19, 5041493.89)ug/m³

COMMENTS:

Scénario : LET existant (2020)

Contaminant : Sulfure d'hydrogène (H2S)

Maximum des concentrations moyennes sur 1h

Valeur limite = 3.14 µg/m³
(Équivalent à 6 µg/m³ sur 4 minutes)

SOURCES:

13

COMPANY NAME:

Tetra Tech QI inc.

RECEPTORS:

1687

MODELER:

Guillaume Nachin

OUTPUT TYPE:

Concentration

SCALE:

1:20 000



MAX:

186.3 ug/m³

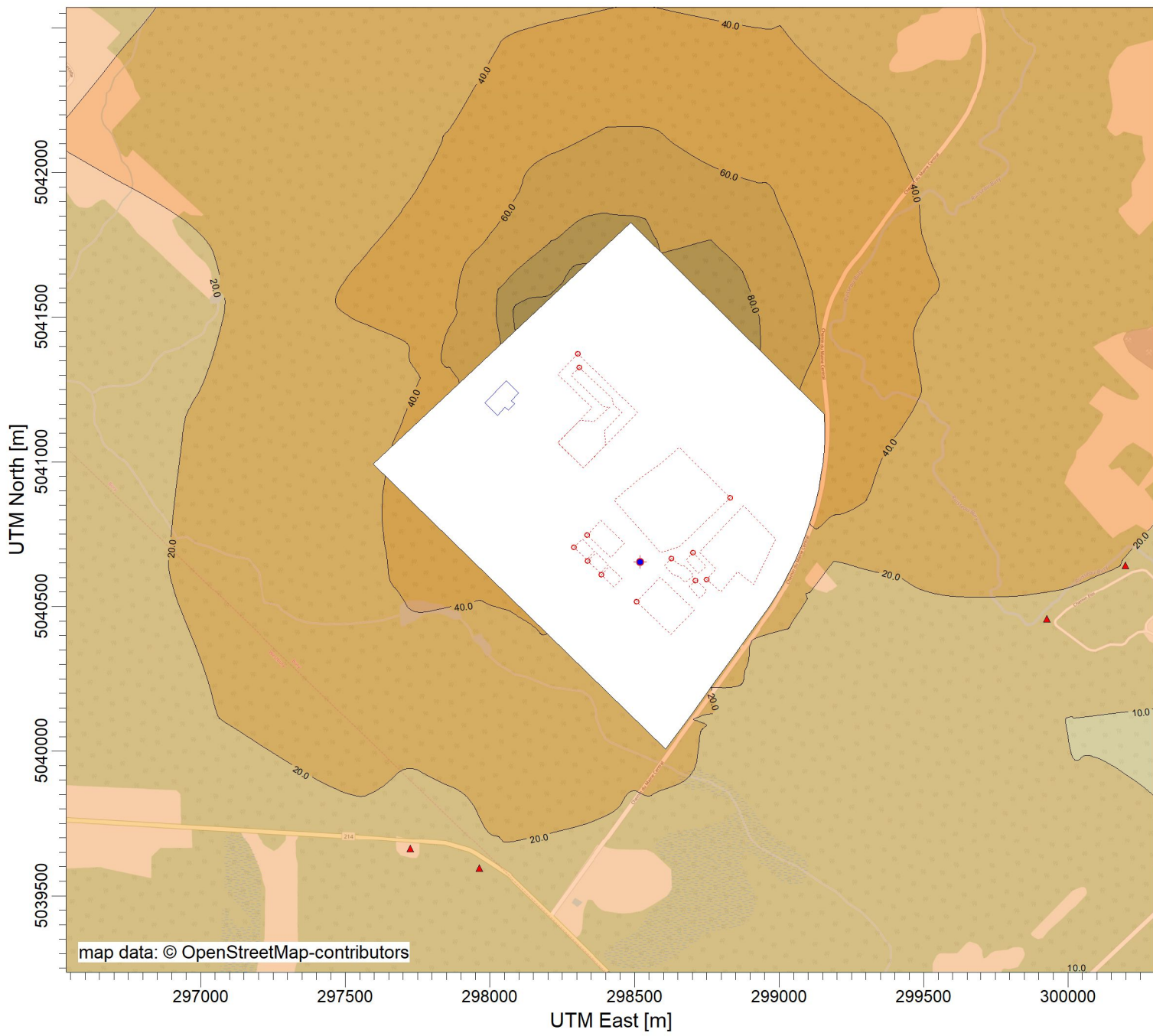
DATE:

2021-01-28

PROJECT NO.:

34574TT

PROJECT TITLE:

Surélévation du LET de Valoris**Étude de dispersion atmosphérique des contaminants**

PLOT FILE OF HIGH 1ST HIGH 1-HR VALUES FOR SOURCE GROUP: ALL

Max: 118.9 [ug/m³] at (298131.19, 5041493.89)ug/m³

COMMENTS:

Scénario : Surélévation du LET - An 1 (2021)

Contaminant : Sulfure d'hydrogène (H2S)

Maximum des concentrations moyennes sur 1h

Valeur limite = 3.14 µg/m³
(Équivalent à 6 µg/m³ sur 4 minutes)

SOURCES:

13

COMPANY NAME:

Tetra Tech QI inc.

RECEPTORS:

1687

MODELER:

Guillaume Nachin

OUTPUT TYPE:

Concentration

SCALE:

1:20 000

MAX:

118.9 ug/m³

DATE:

2021-01-28

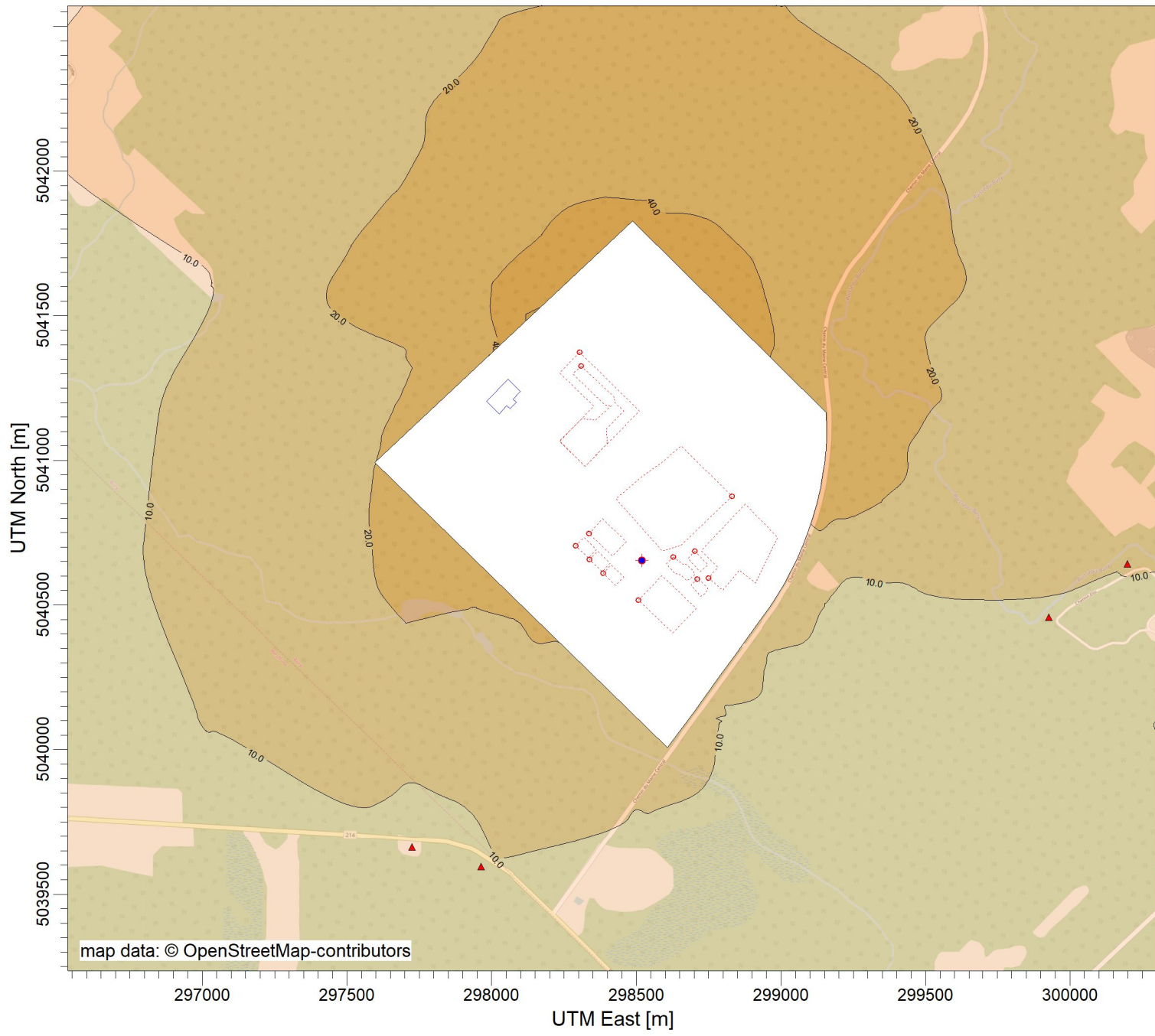
PROJECT NO.:

34574TT

PROJECT TITLE:

Surélévation du LET de Valoris

Étude de dispersion atmosphérique des contaminants



PLOT FILE OF HIGH 1ST HIGH 1-HR VALUES FOR SOURCE GROUP: ALL

Max: 63.3 [ug/m³] at (298131.19, 5041493.89)

ug/m³



COMMENTS:

Scénario : Surélévation du LET - An 2 (2022)

Contaminant : Sulfure d'hydrogène (H2S)

Maximum des concentrations moyennes sur 1h

Valeur limite = 3.14 µg/m³
(Équivalent à 6 µg/m³ sur 4 minutes)

SOURCES:

13

COMPANY NAME:

Tetra Tech QI inc.

RECEPTORS:

1687

MODELER:

Guillaume Nachin

OUTPUT TYPE:

Concentration

SCALE:

1:20 000



MAX:

63.3 ug/m³

DATE:

2021-01-28

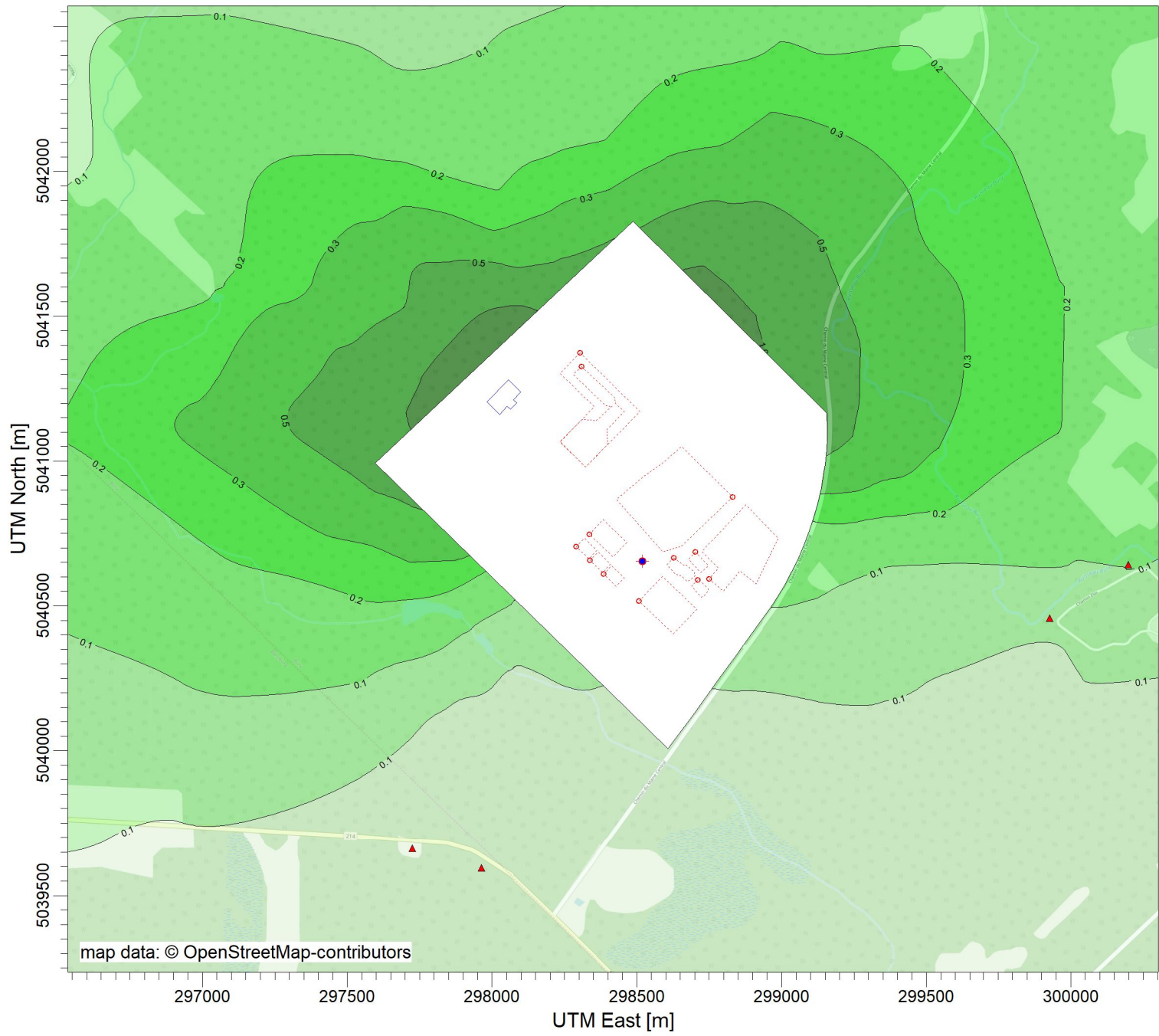


PROJECT NO.:

34574TT

Surélévation du LET de Valoris

Étude de dispersion atmosphérique des contaminants



PLOT FILE OF HIGH 1ST HIGH 1-HR VALUES FOR SOURCE GROUP: ALL

ug/m³

Max: 1.6 [ug/m³] at (297952.97, 5041326.87)



COMMENTS:

Scénario : LET existant (2020)

Contaminant : Sulfure d'hydrogène (H₂S)

Maximum des concentrations moyennes sur 1 an

Valeur limite = 2 µg/m³

SOURCES:

13

RECEPTORS

1687

COMPANY NAME:

Tetra Tech QI inc.

MODELER:



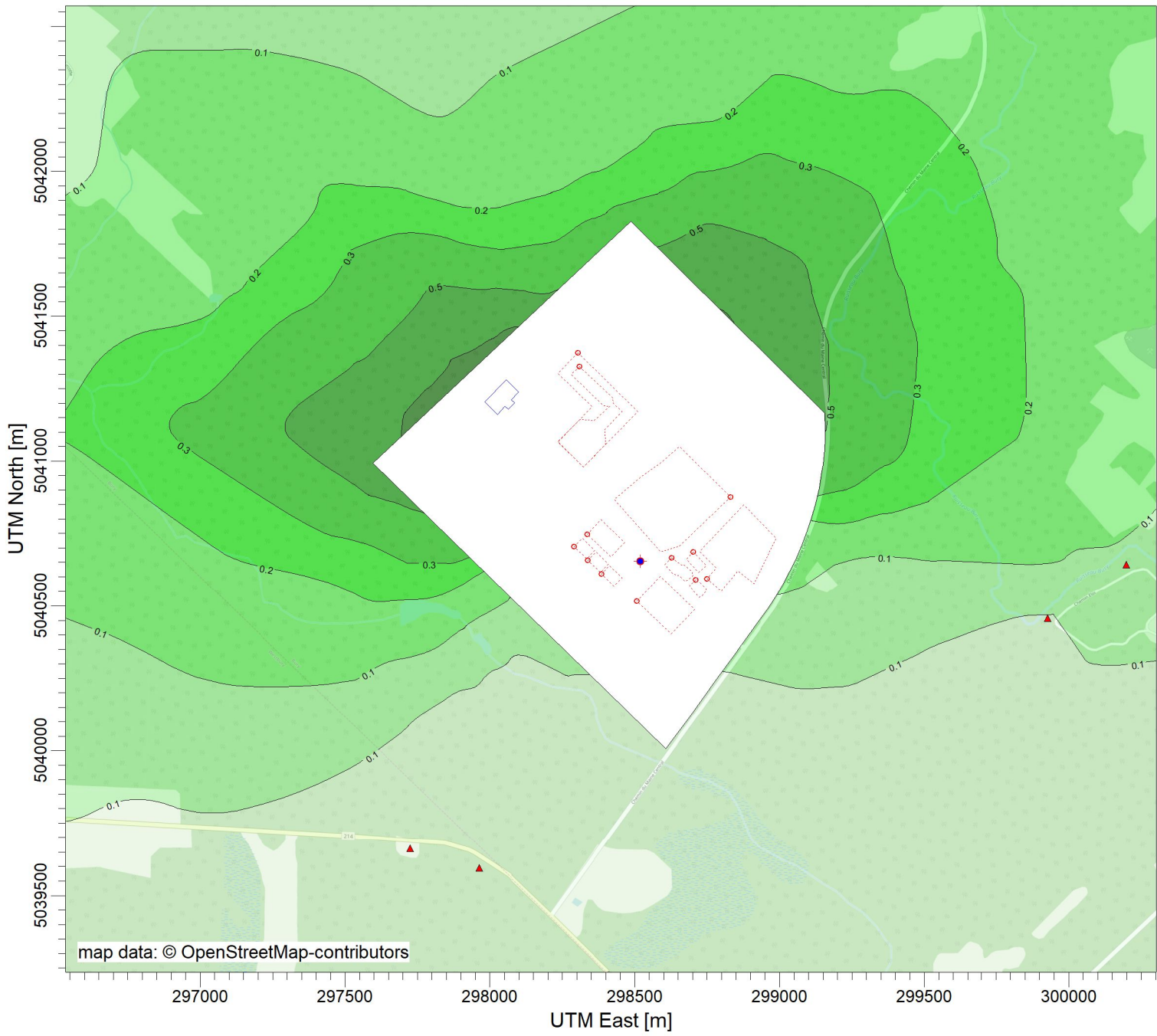
TETRA TECH

34574TT

PROJECT TITLE:

Surélévation du LET de Valoris

Étude de dispersion atmosphérique des contaminants



PLOT FILE OF HIGH 1ST HIGH 1-HR VALUES FOR SOURCE GROUP: ALL

ug/m³

Max: 1.4 [ug/m³] at (297952.97, 5041326.87)



COMMENTS:

Scénario : Surélévation du LET - An 1 (2021)

Contaminant : Sulfure d'hydrogène (H2S)

Maximum des concentrations moyennes sur 1 an

Valeur limite = 2 $\mu\text{g}/\text{m}^3$

SOURCES:

13

COMPANY NAME:

Tetra Tech QI inc.

RECEPTORS:

1687

MODELER:

Guillaume Nachin

OUTPUT TYPE:

Concentration

SCALE:

1:20 000



MAX:

1.4 ug/m³

DATE:

2021-01-28

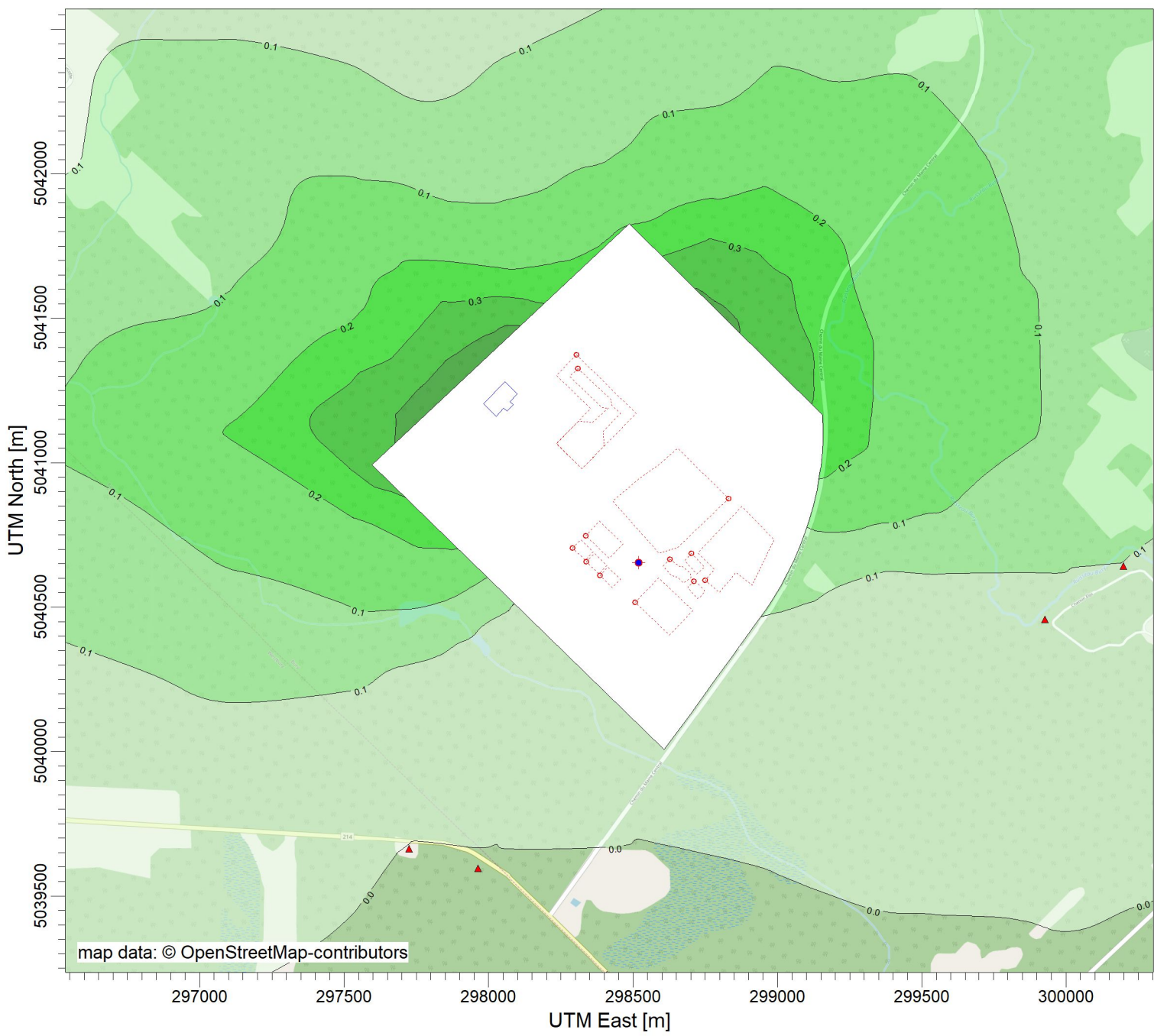


TETRA TECH

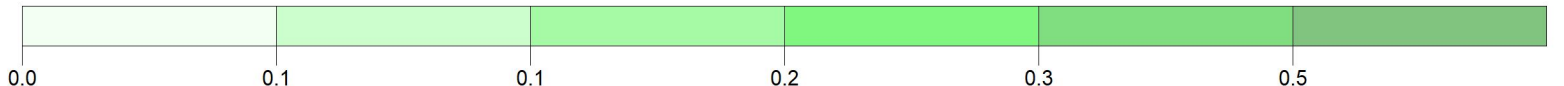
PROJECT NO.:

34574TT

PROJECT TITLE:

Surélévation du LET de Valoris**Étude de dispersion atmosphérique des contaminants**

PLOT FILE OF HIGH 1ST HIGH 1-HR VALUES FOR SOURCE GROUP: ALL

ug/m³Max: 0.7 [ug/m³] at (297952.97, 5041326.87)

COMMENTS:

Scénario : Surélévation du LET - An 2 (2022)

Contaminant : Sulfure d'hydrogène (H2S)

Maximum des concentrations moyennes sur 1 an

Valeur limite = 2 µg/m³

SOURCES:

13

COMPANY NAME:

Tetra Tech QI inc.

RECEPTORS:

1687

MODELER:

Guillaume Nachin

OUTPUT TYPE:

Concentration

SCALE:

1:20 000



MAX:

0.7 ug/m³

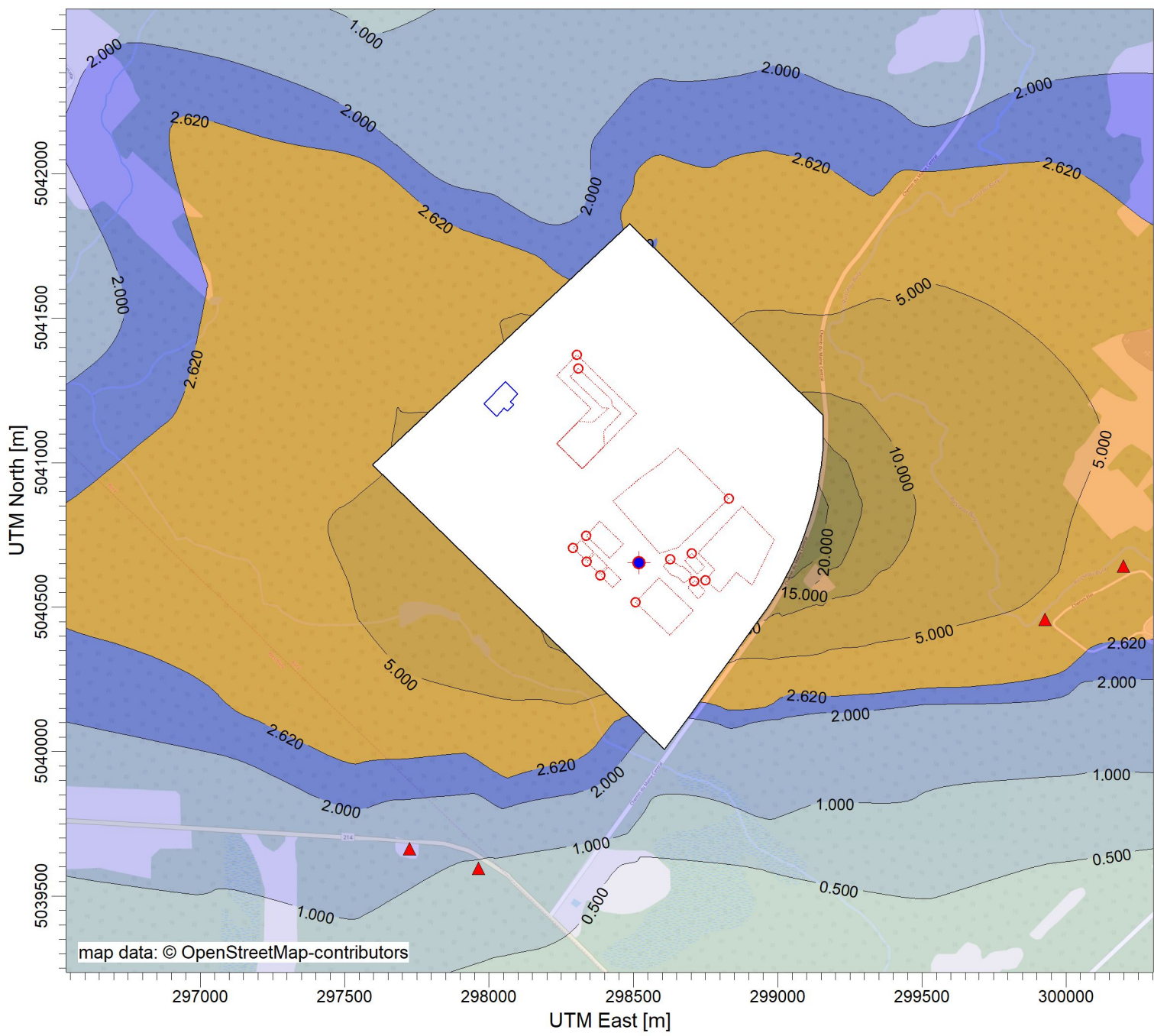
DATE:

2021-01-28**TETRA TECH**

PROJECT NO.:

34574TT

PROJECT TITLE:

Surélévation du LET de Valoris**Étude de dispersion atmosphérique des contaminants**

PLOT FILE OF 99.50TH PERCENTILE 1-HR VALUES FOR SOURCE GROUP: ALL

ug/m³Max: 28.0 [ug/m³] at (299077.91, 5040711.44)

COMMENTS:

Scénario : LET existant (2020)

Contaminant : ODEURS

99.5e centile des concentrations horaires

Valeur limite = 2.62 u.o./m³ (Équivalent à 5 u.o./m³ sur 4 minutes)

SOURCES:

13

COMPANY NAME:

Tetra Tech QI inc.

RECEPTORS:

1687

MODELER:

Guillaume Nachin

OUTPUT TYPE:

Concentration

SCALE:

1:20 000



MAX:

28.0 ug/m³

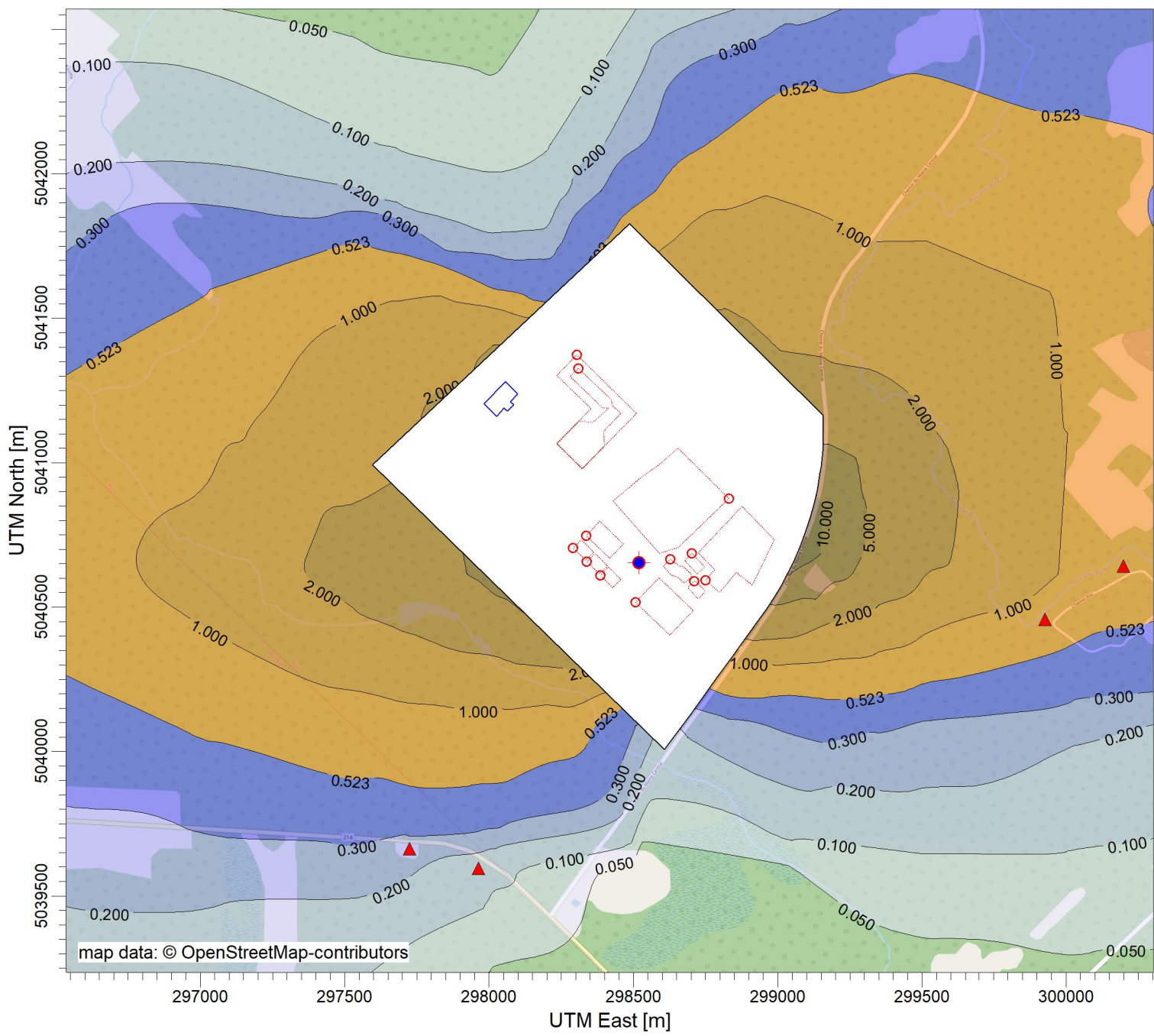
DATE:

2020-12-15

PROJECT NO.:

34574TT

PROJECT TITLE:

Surélévation du LET de Valoris**Étude de dispersion atmosphérique des contaminants**

PLOT FILE OF 98.00TH PERCENTILE 1-HR VALUES FOR SOURCE GROUP: ALL

ug/m³Max: 15.5 [ug/m³] at (299077.91, 5040711.44)

COMMENTS:

Scénario : LET existant (2020)

Contaminant : ODEURS

98e centile des concentrations horaires

Valeur limite = 0.523 u.o./m³ (Équivalent à 1 u.o./m³ sur 4 minutes)

SOURCES:

13

COMPANY NAME:

Tetra Tech QI inc.

RECEPTORS:

1687

MODELER:

Guillaume Nachin

OUTPUT TYPE:

Concentration

SCALE:

1:20 000



MAX:

15.5 ug/m³

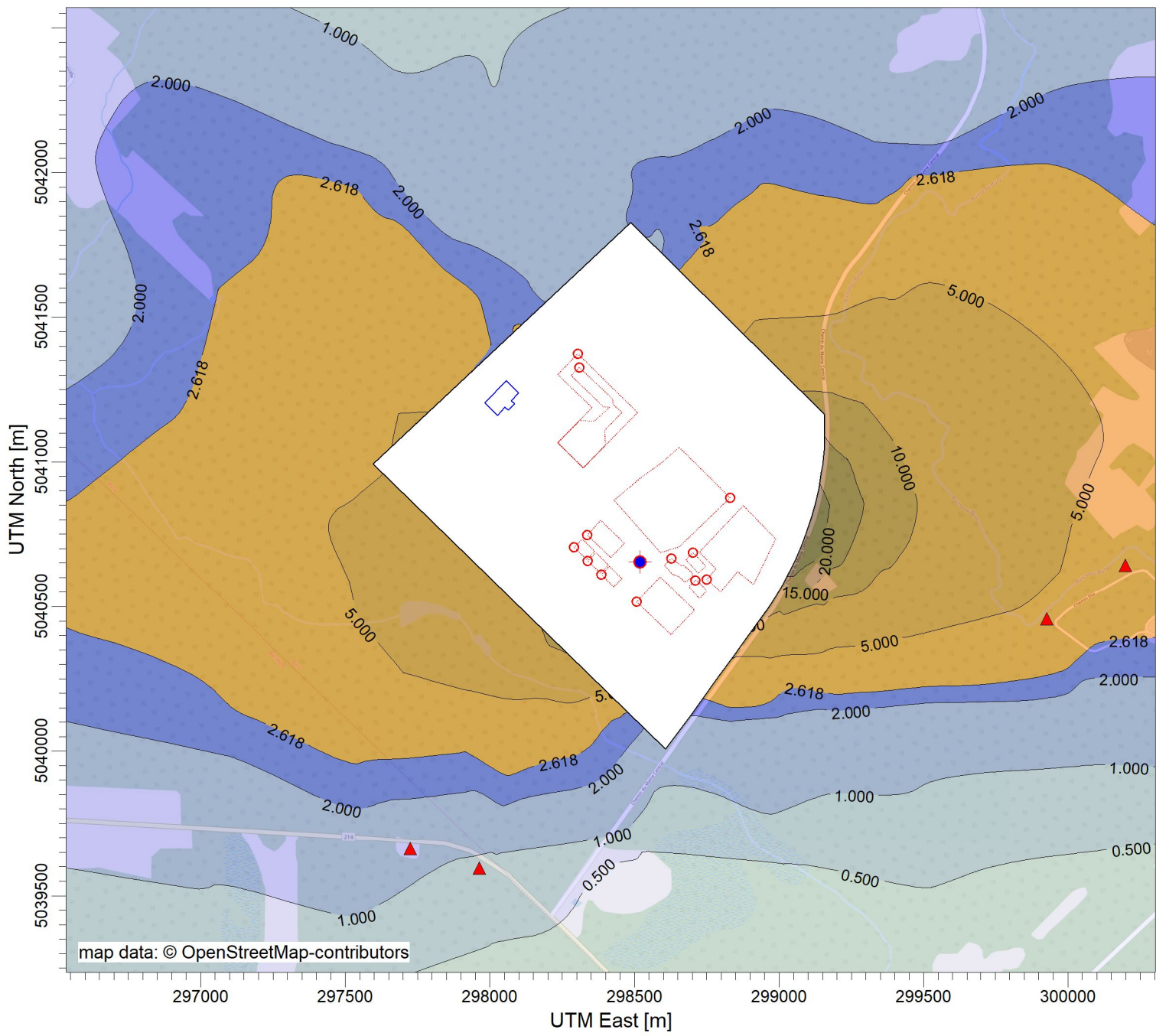
DATE:

2020-12-15**TETRA TECH**

PROJECT NO.:

34574TT

PROJECT TITLE:

Surélévation du LET de Valoris**Étude de dispersion atmosphérique des contaminants**

PLOT FILE OF 99.50TH PERCENTILE 1-HR VALUES FOR SOURCE GROUP: ALL

Max: 28.0 [ug/m³] at (299077.91, 5040711.44)ug/m³

COMMENTS:

Scénario : Surélévation du LET (2021 et 2022)

Contaminant : ODEURS

99.5e centile des concentrations horaires

Valeur limite = 2.62 u.o./m³ (Équivalent à 5 u.o./m³ sur 4 minutes)

SOURCES:

13

COMPANY NAME:

Tetra Tech QI inc.

RECEPTORS:

1687

MODELER:

Guillaume Nachin

OUTPUT TYPE:

Concentration

SCALE:

1:20 000



MAX:

28.0 ug/m³

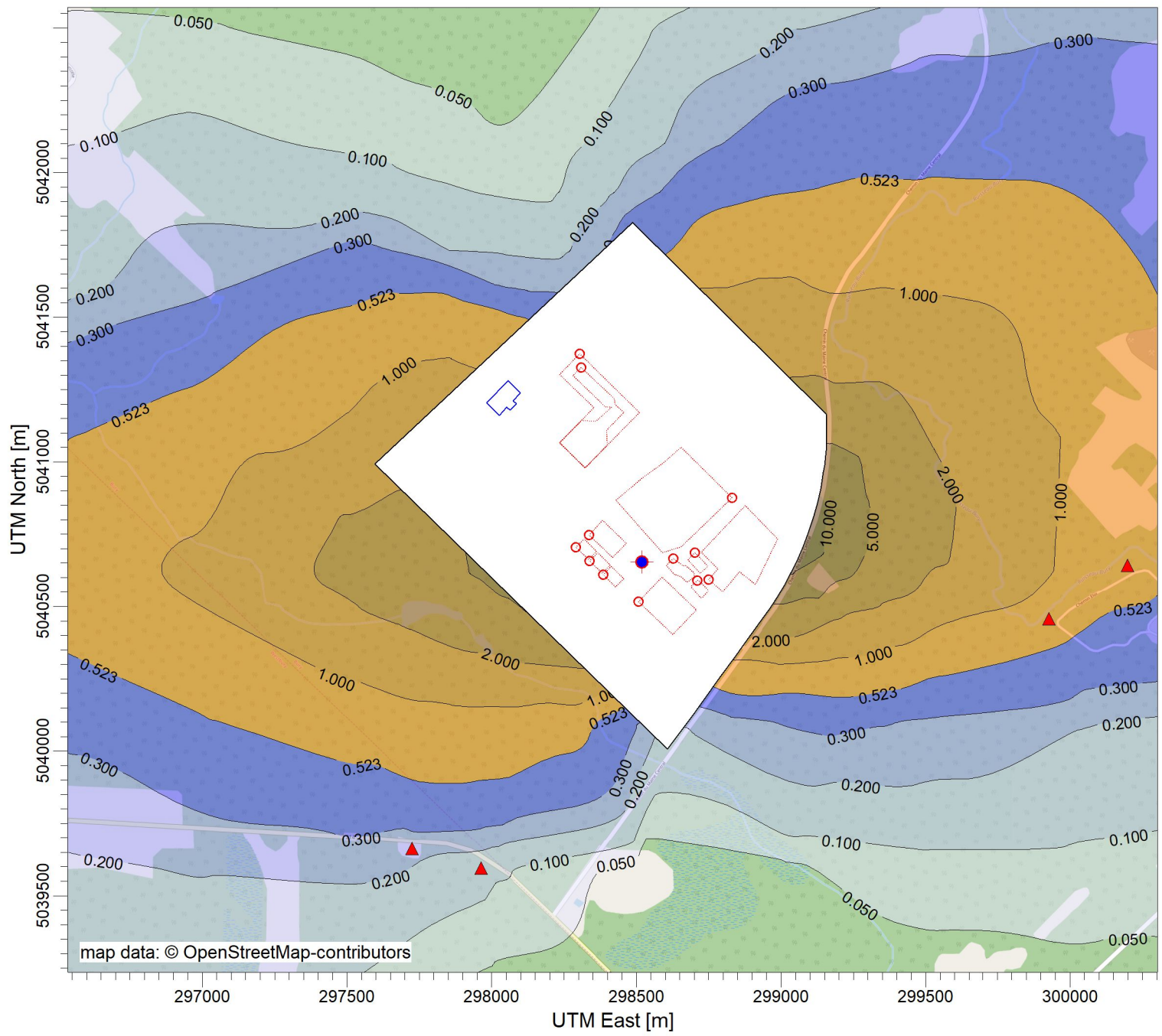
DATE:

2020-12-15

PROJECT NO.:

34574TT

PROJECT TITLE:

Surélévation du LET de Valoris**Étude de dispersion atmosphérique des contaminants**

PLOT FILE OF 98.00TH PERCENTILE 1-HR VALUES FOR SOURCE GROUP: ALL

ug/m³Max: 15.4 [ug/m³] at (299077.91, 5040711.44)

COMMENTS:

Scénario : Surélévation du LET (2021 et 2022)

Contaminant : ODEURS

98e centile des concentrations horaires

Valeur limite = 0.523 u.o./m³ (Équivalent à 1 u.o./m³ sur 4 minutes)

SOURCES:

13

COMPANY NAME:

Tetra Tech QI inc.

RECEPTORS:

1687

MODELER:

Guillaume Nachin

OUTPUT TYPE:

Concentration

SCALE:

1:20 000



MAX:

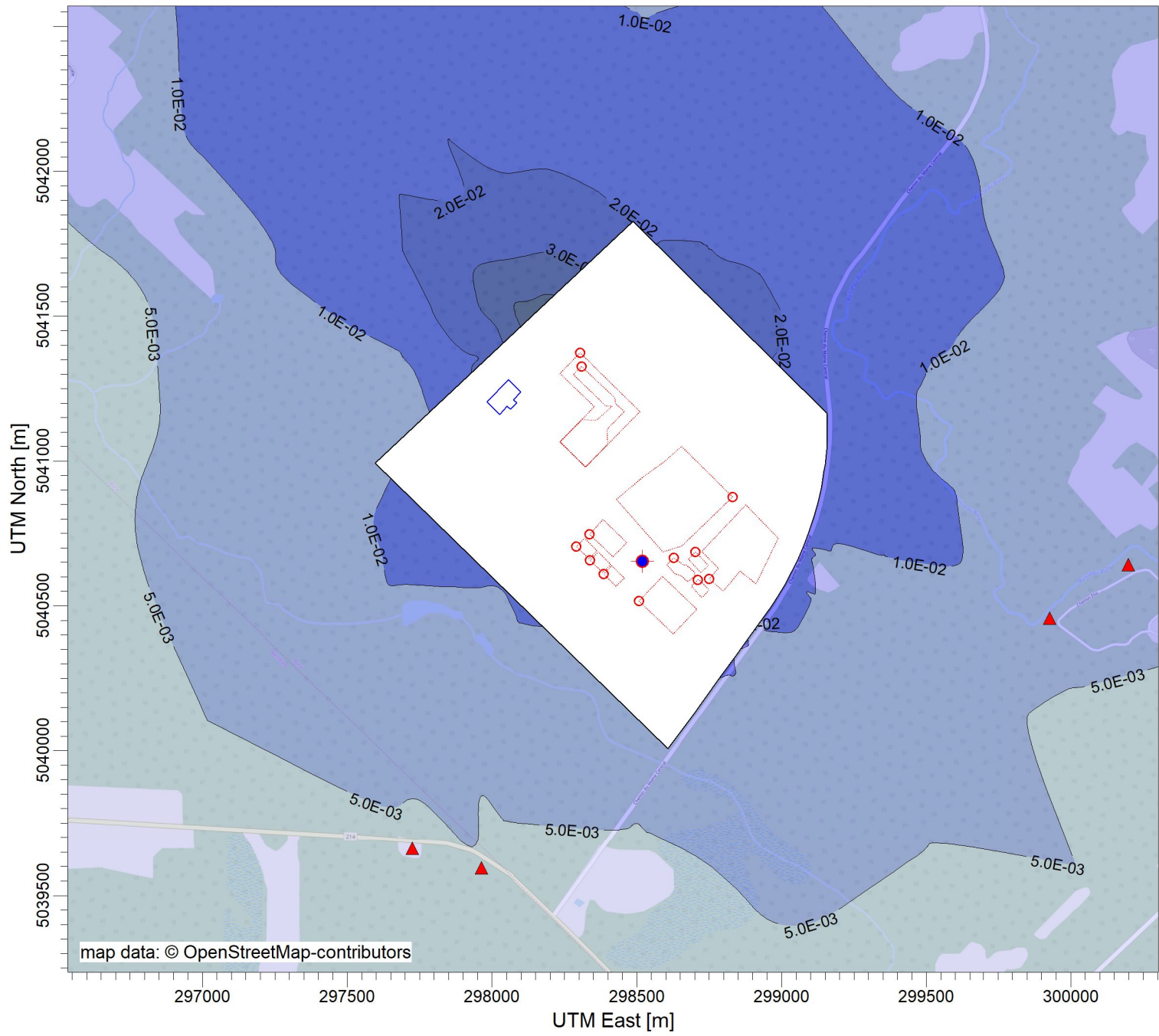
15.4 ug/m³

DATE:

2020-12-15**TETRA TECH**

PROJECT NO.:

34574TT

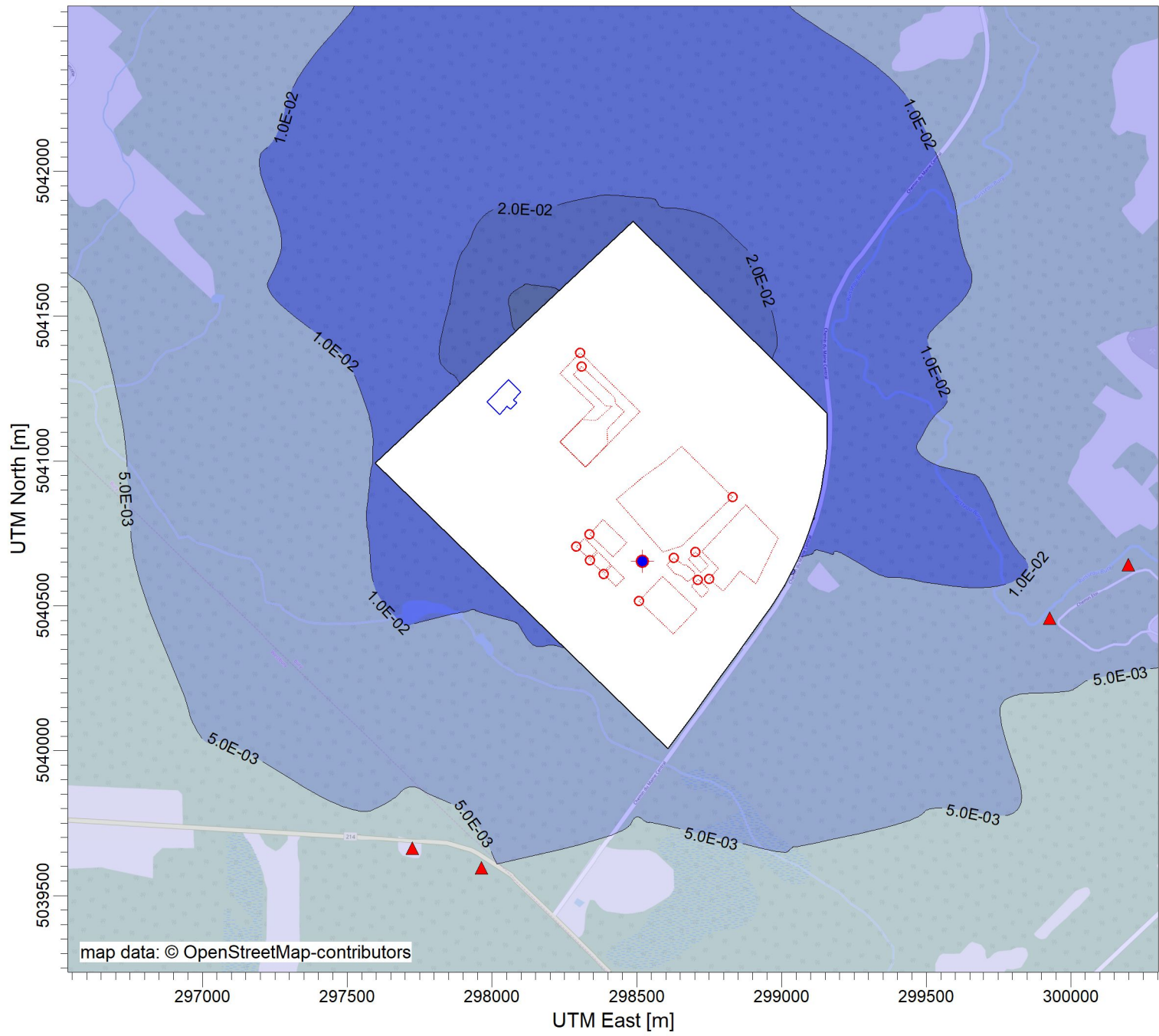


PLOT FILE OF HIGH 1ST HIGH 1-HR VALUES FOR SOURCE GROUP: ALL

Max: 4.6E-02 [$\mu\text{g}/\text{m}^3$] at (298131.19, 5041493.89) $\mu\text{g}/\text{m}^3$

| | | | | | | |
|---|---------|----------------------------------|---------|---------------------------|------------|--|
| 1.0E-03 | 2.0E-03 | 5.0E-03 | 1.0E-02 | 2.0E-02 | 3.0E-02 | 4.0E-02 |
| COMMENTS: | | SOURCES: | | COMPANY NAME: | | |
| Scénario : LET existant (2020) | | 13 | | Tetra Tech QI inc. | | |
| Contaminant : Éthylmercaptan | | RECEPTORS: | | MODELER: | | |
| Maximum des concentrations moyennes sur 1h | | 1687 | | Guillaume Nachin | | |
| Valeur limite = 0.19 $\mu\text{g}/\text{m}^3$ (Équivalent à 0.1 $\mu\text{g}/\text{m}^3$ sur 4 minutes) | | OUTPUT TYPE: | | SCALE: | 1:20 000 |  TETRA TECH |
| | | Concentration | | MAX: | 0 0.5 km | |
| | | 4.6E-02 $\mu\text{g}/\text{m}^3$ | | DATE: | 2020-12-15 | PROJECT NO.: |
| 34574TT | | | | | | |

PROJECT TITLE:

Surélévation du LET de Valoris**Étude de dispersion atmosphérique des contaminants**

PLOT FILE OF HIGH 1ST HIGH 1-HR VALUES FOR SOURCE GROUP: ALL

Max: 3.9E-02 [$\mu\text{g}/\text{m}^3$] at (298131.19, 5041493.89) $\mu\text{g}/\text{m}^3$ 

COMMENTS:

Scénario : Surélévation du LET - An 1 (2021)

Contaminant : Éthylmercaptopan

Maximum des concentrations moyennes sur 1h

Valeur limite = 0.19 $\mu\text{g}/\text{m}^3$ (Équivalent à 0.1 $\mu\text{g}/\text{m}^3$ sur 4 minutes)

SOURCES:

13

COMPANY NAME:

Tetra Tech QI inc.

RECEPTORS:

1687

MODELER:

Guillaume Nachin

OUTPUT TYPE:

Concentration

SCALE:

1:20 000



MAX:

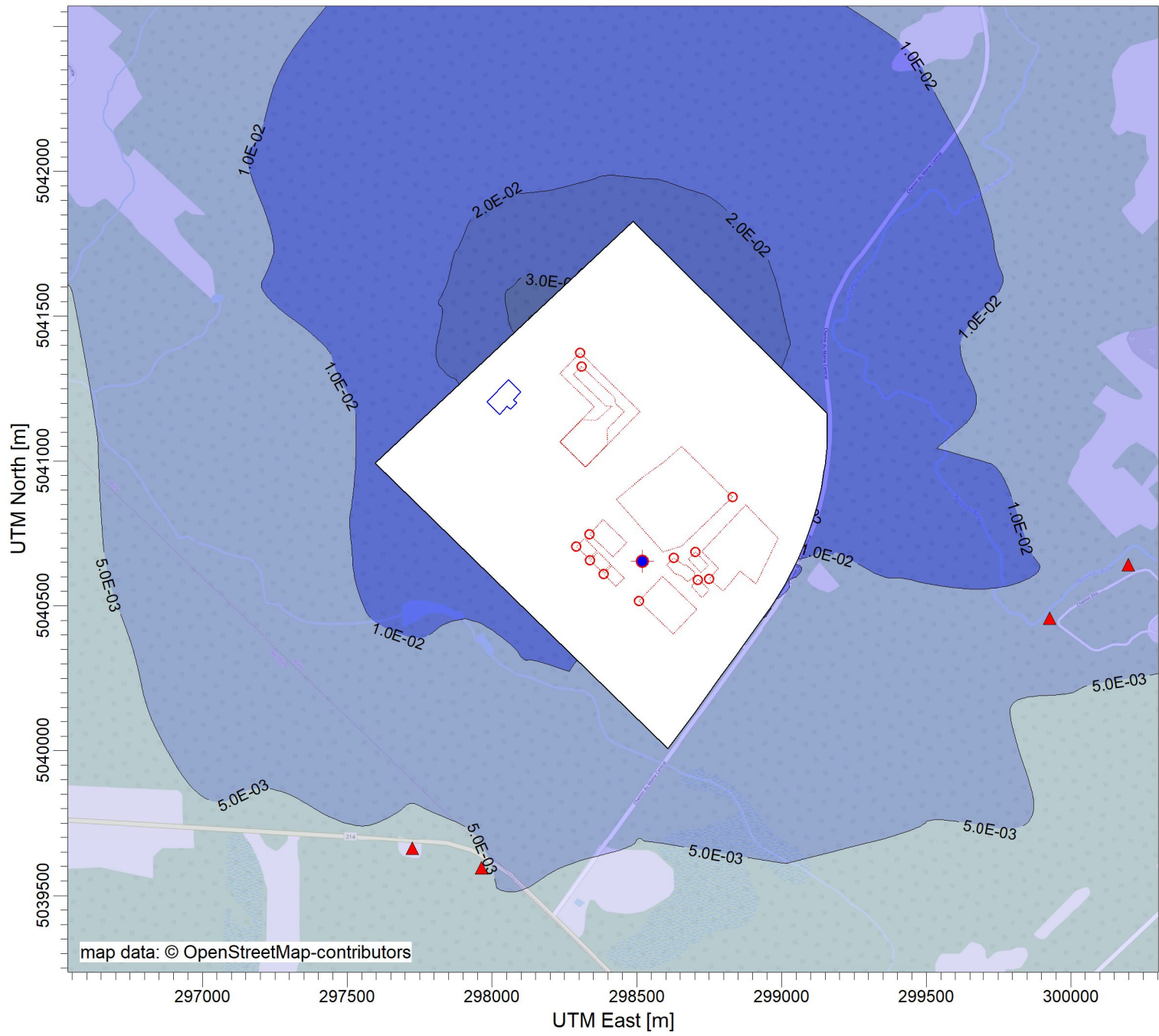
3.9E-02 $\mu\text{g}/\text{m}^3$

DATE:

2020-12-15**TETRA TECH**

PROJECT NO.:

34574TT



PLOT FILE OF HIGH 1ST HIGH 1-HR VALUES FOR SOURCE GROUP: ALL

Max: 4.1E-02 [$\mu\text{g}/\text{m}^3$] at (298131.19, 5041493.89) $\mu\text{g}/\text{m}^3$ 

COMMENTS:

Scénario : Surélévation du LET - An 2 (2022)

Contaminant : Éthylmercaptopan

Maximum des concentrations moyennes sur 1h

Valeur limite = 0.19 $\mu\text{g}/\text{m}^3$ (Équivalent à 0.1 $\mu\text{g}/\text{m}^3$ sur 4 minutes)

SOURCES:

13

COMPANY NAME:

Tetra Tech QI inc.

RECEPTORS:

1687

MODELER:

Guillaume Nachin

OUTPUT TYPE:

Concentration

SCALE:

1:20 000



MAX:

4.1E-02 $\mu\text{g}/\text{m}^3$

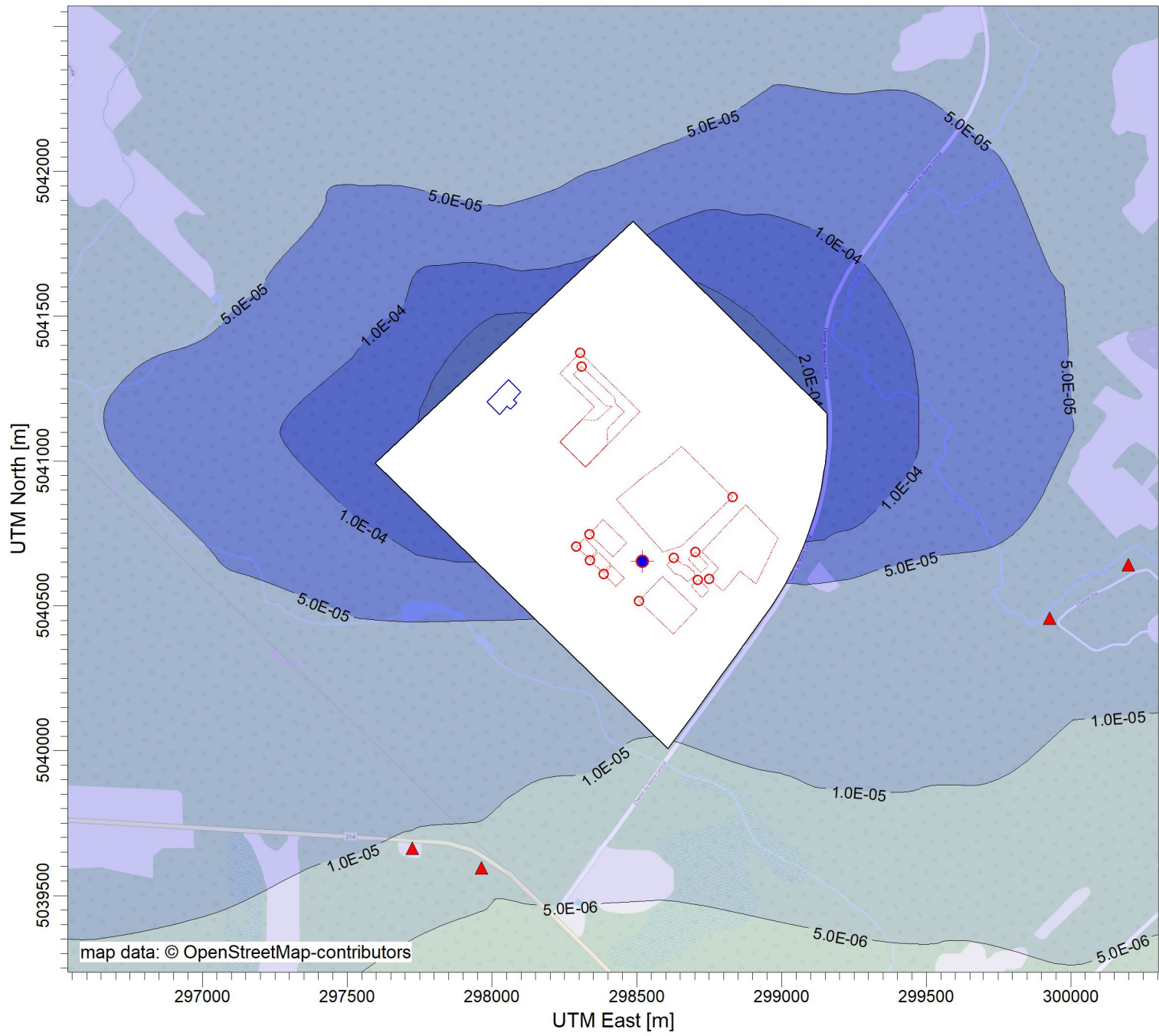
DATE:

2020-12-15

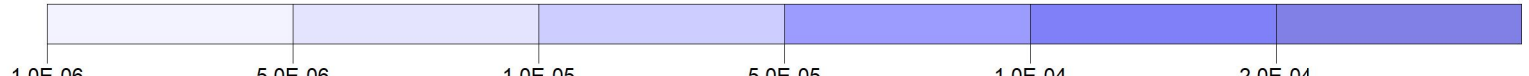


PROJECT NO.:

34574TT



PLOT FILE OF ANNUAL VALUES FOR SOURCE GROUP: ALL

Max: 2.9E-04 [$\mu\text{g}/\text{m}^3$] at (297952.97, 5041326.87) $\mu\text{g}/\text{m}^3$ 

COMMENTS:

Scénario : LET existant (2020)

Contaminant : Chloroforme

Maximum des concentrations moyennes sur 1 an

Valeur limite = 0.04 $\mu\text{g}/\text{m}^3$
(0.24 [Norme/Critère] - 0.2 [C.I.])

SOURCES:

13

COMPANY NAME:

Tetra Tech QI inc.

RECEPTORS:

1687

MODELER:

Guillaume Nachin

OUTPUT TYPE:

Concentration

SCALE:

1:20 000



MAX:

2.9E-04 $\mu\text{g}/\text{m}^3$

DATE:

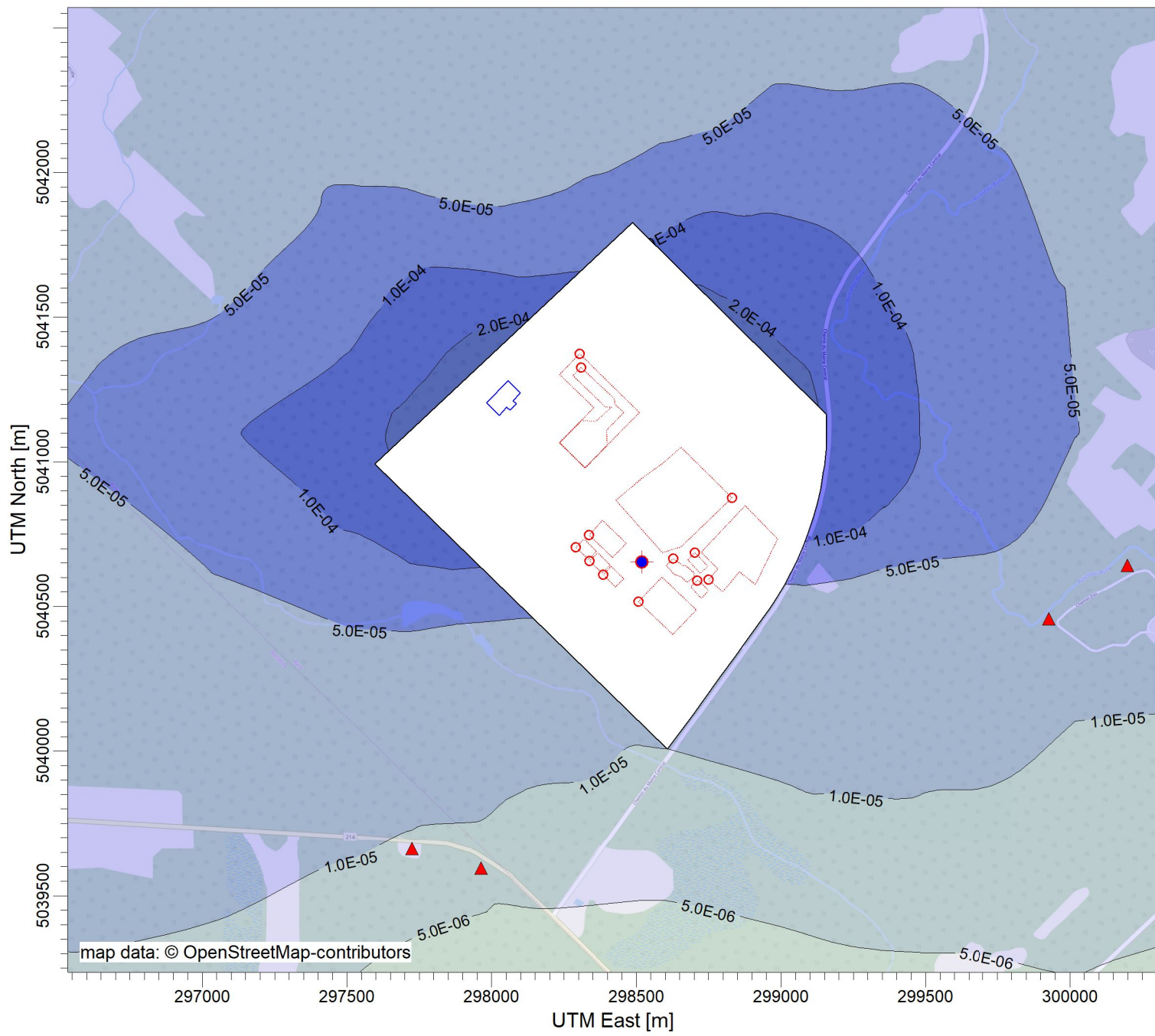
2020-12-15



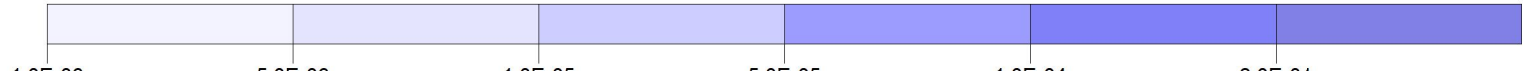
TETRA TECH

PROJECT NO.:

34574TT



PLOT FILE OF ANNUAL VALUES FOR SOURCE GROUP: ALL

Max: 3.0E-04 [$\mu\text{g}/\text{m}^3$] at (297952.97, 5041326.87) $\mu\text{g}/\text{m}^3$ 

COMMENTS:

Scénario : Surélévation du LET - An 1 (2021)

Contaminant : Chloroforme

Maximum des concentrations moyennes sur 1 an

Valeur limite = 0.04 $\mu\text{g}/\text{m}^3$
(0.24 [Norme/Critère] - 0.2 [C.I.])

SOURCES:

13

COMPANY NAME:

Tetra Tech QI inc.

RECEPTORS:

1687

MODELER:

Guillaume Nachin

OUTPUT TYPE:

Concentration

SCALE:

1:20 000



MAX:

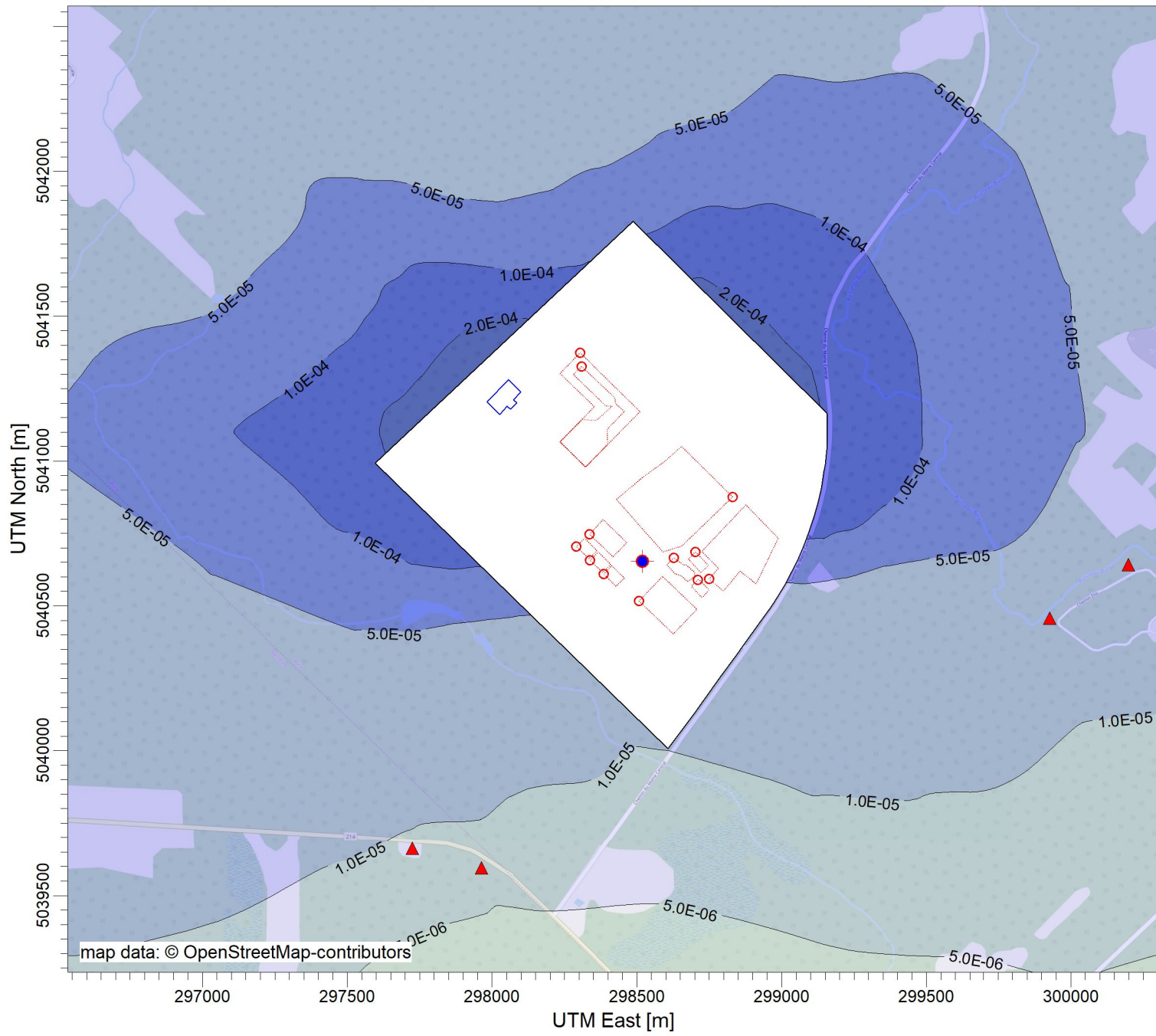
3.0E-04 $\mu\text{g}/\text{m}^3$

DATE:

2020-12-15

PROJECT NO.:

34574TT



PLOT FILE OF ANNUAL VALUES FOR SOURCE GROUP: ALL

Max: 3.2E-04 [$\mu\text{g}/\text{m}^3$] at (297952.97, 5041326.87) $\mu\text{g}/\text{m}^3$ 

COMMENTS:

Scénario : Surélévation du LET - An 2 (2022)

Contaminant : Chloroforme

Maximum des concentrations moyennes sur 1 an

Valeur limite = 0.04 $\mu\text{g}/\text{m}^3$
(0.24 [Norme/Critère] - 0.2 [C.I.])

SOURCES:

13

COMPANY NAME:

Tetra Tech QI inc.

RECEPTORS:

1687

MODELER:

Guillaume Nachin

OUTPUT TYPE:

Concentration

SCALE:

1:20 000



MAX:

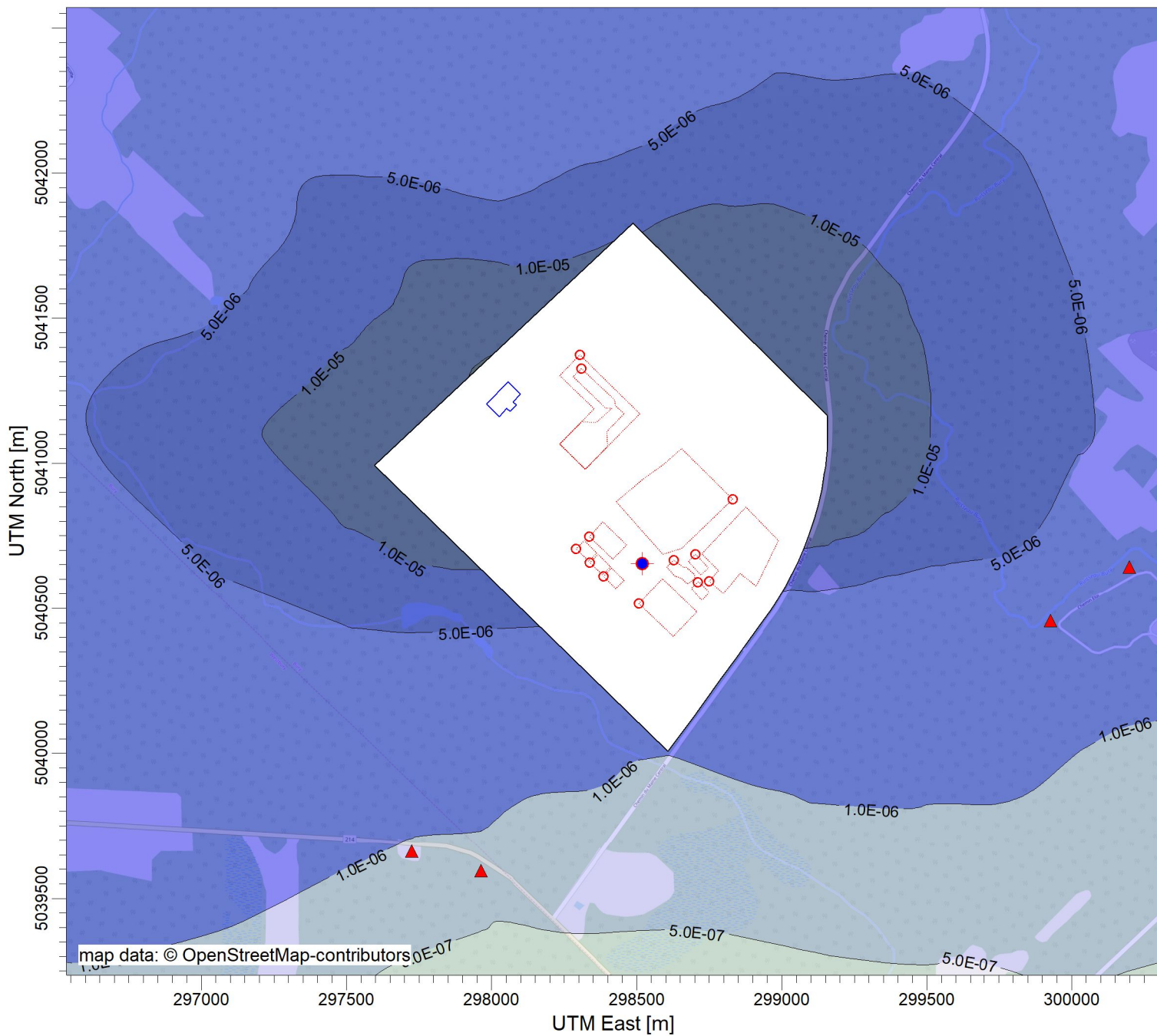
3.2E-04 $\mu\text{g}/\text{m}^3$

DATE:

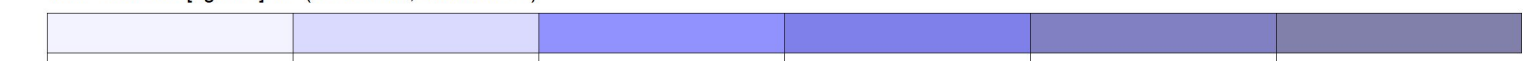
2020-12-15**TETRA TECH**

PROJECT NO.:

34574TT



PLOT FILE OF ANNUAL VALUES FOR SOURCE GROUP: ALL

Max: 3.2E-05 [$\mu\text{g}/\text{m}^3$] at (297952.97, 5041326.87) $\mu\text{g}/\text{m}^3$ 

COMMENTS:

Scénario : LET existant (2020)

Contaminant : Ethylène dibromide

Maximum des concentrations moyennes sur 1 an

Valeur limite = 0.002 $\mu\text{g}/\text{m}^3$
(0.022 [Norme/Critère] - 0.002 [C.I.])

SOURCES:

13

COMPANY NAME:

Tetra Tech QI inc.

RECEPTORS:

1687

MODELER:

Guillaume Nachin

OUTPUT TYPE:

Concentration

SCALE:

1:20 000



MAX:

3.2E-05 $\mu\text{g}/\text{m}^3$

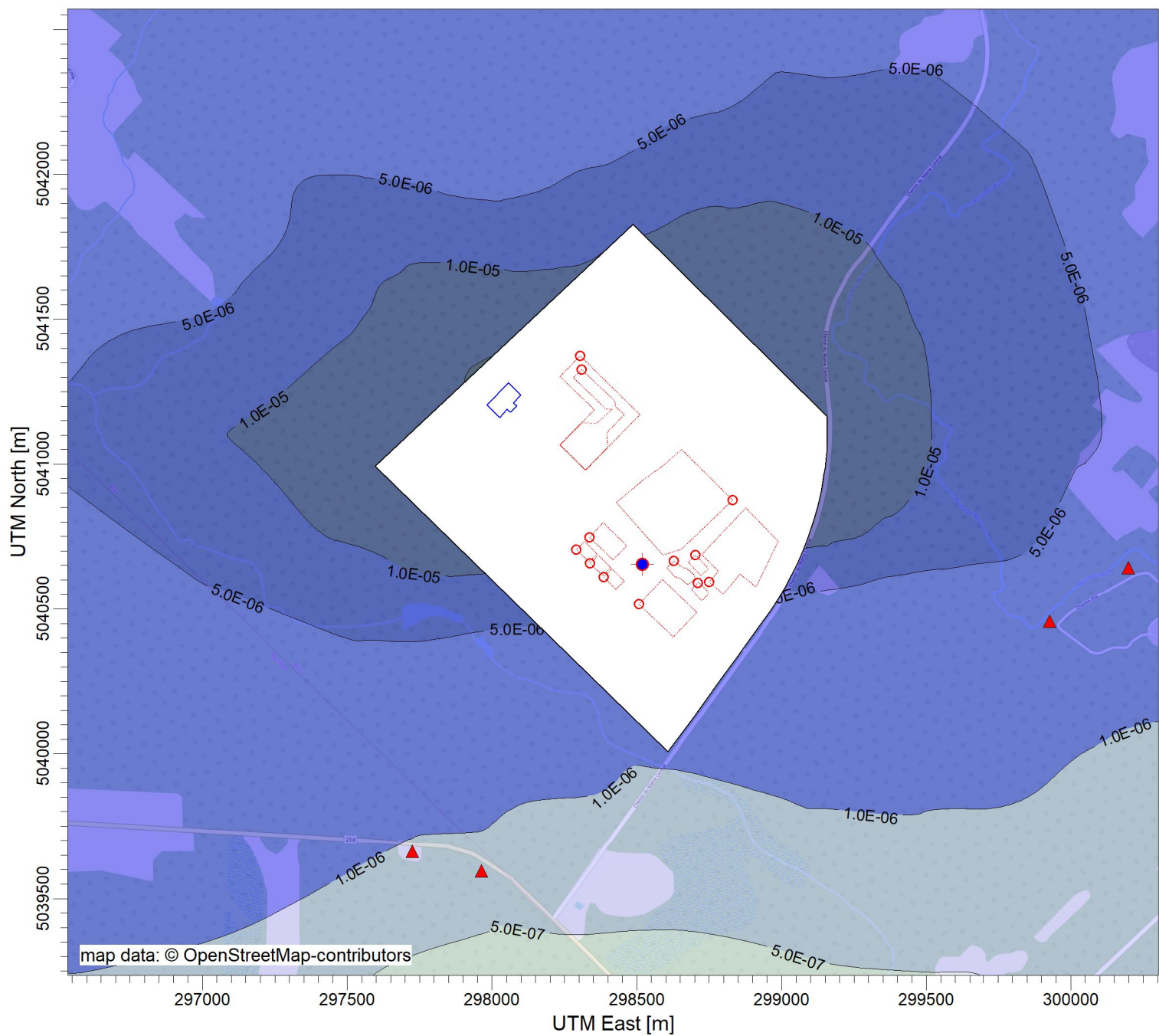
DATE:

2020-12-15

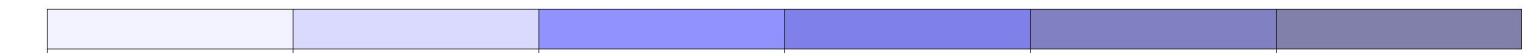


PROJECT NO.:

34574TT



PLOT FILE OF ANNUAL VALUES FOR SOURCE GROUP: ALL

Max: 3.3E-05 [$\mu\text{g}/\text{m}^3$] at (297952.97, 5041326.87) $\mu\text{g}/\text{m}^3$ 

COMMENTS:

Scénario : Surélévation du LET - An 1 (2021)

Contaminant : Ethylène dibromide

Maximum des concentrations moyennes sur 1 an

Valeur limite = 0.002 $\mu\text{g}/\text{m}^3$
(0.022 [Norme/Critère] - 0.002 [C.I.])

SOURCES:

13

COMPANY NAME:

Tetra Tech QI inc.

RECEPTORS:

1687

MODELER:

Guillaume Nachin

OUTPUT TYPE:

Concentration

SCALE:

1:20 000



MAX:

3.3E-05 $\mu\text{g}/\text{m}^3$

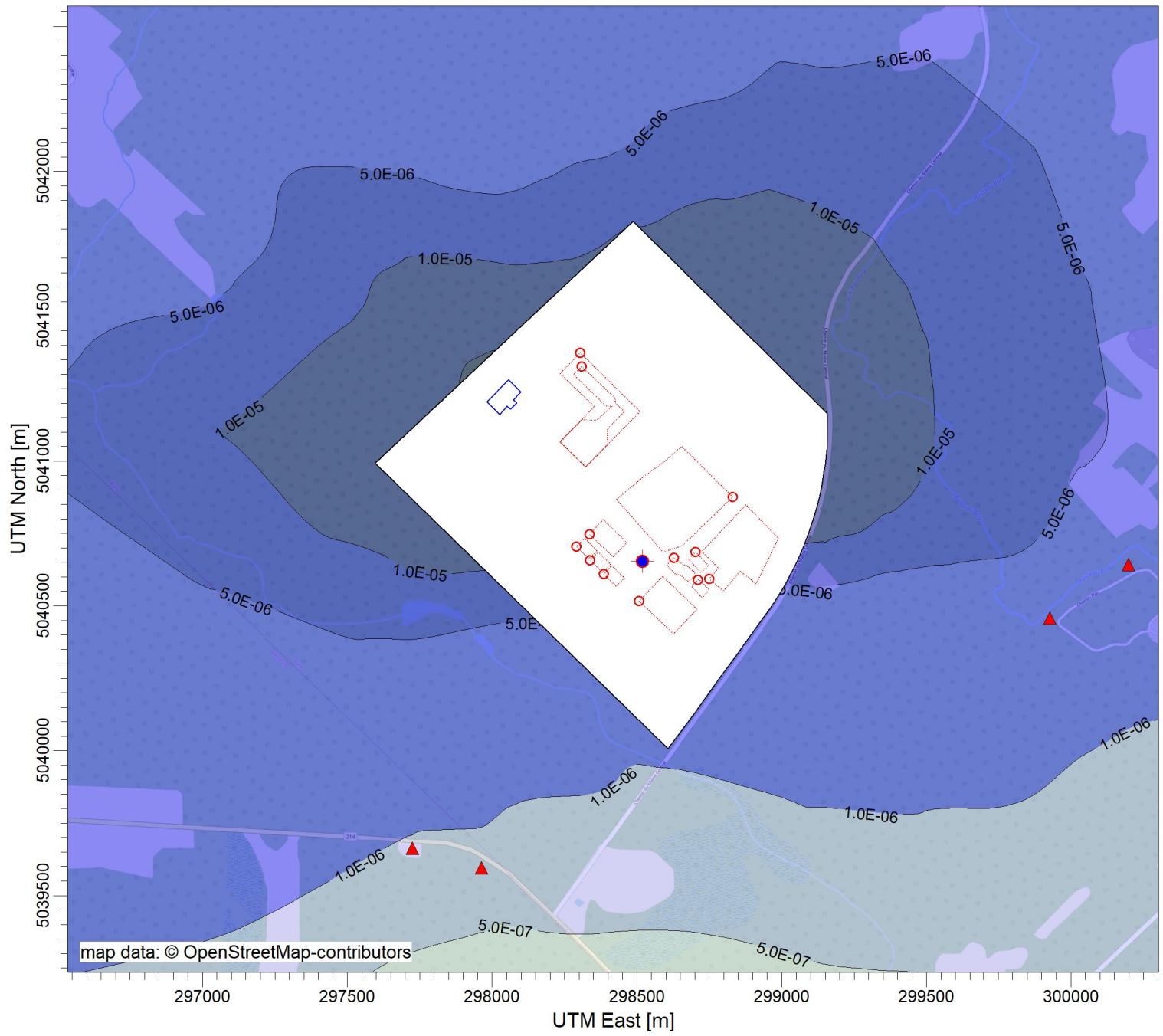
DATE:

2020-12-15

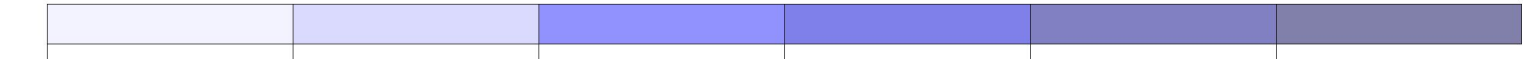


PROJECT NO.:

34574TT



PLOT FILE OF ANNUAL VALUES FOR SOURCE GROUP: ALL

Max: 3.4E-05 [$\mu\text{g}/\text{m}^3$] at (297952.97, 5041326.87) $\mu\text{g}/\text{m}^3$ 

COMMENTS:

Scénario : Surélévation du LET - An 2 (2022)

Contaminant : Ethylène dibromide

Maximum des concentrations moyennes sur 1 an

Valeur limite = 0.002 $\mu\text{g}/\text{m}^3$
(0.022 [Norme/Critère] - 0.002 [C.I.])

SOURCES:

13

COMPANY NAME:

Tetra Tech QI inc.

RECEPTORS:

1687

MODELER:

Guillaume Nachin

OUTPUT TYPE:

Concentration

SCALE:

1:20 000



MAX:

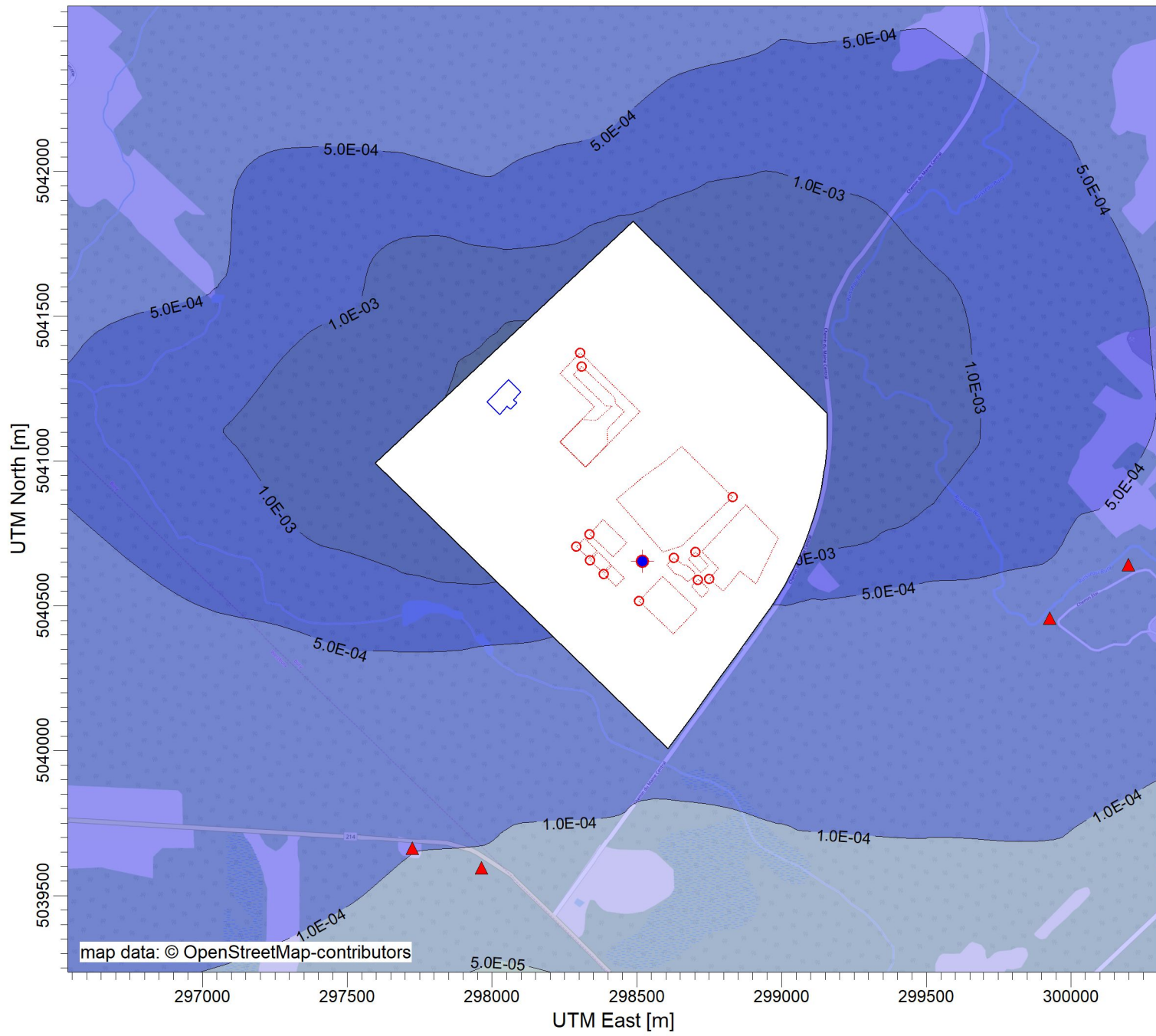
3.4E-05 $\mu\text{g}/\text{m}^3$

DATE:

2020-12-15**TETRA TECH**

PROJECT NO.:

34574TT



PLOT FILE OF ANNUAL VALUES FOR SOURCE GROUP: ALL

Max: 3.8E-03 [$\mu\text{g}/\text{m}^3$] at (297952.97, 5041326.87) $\mu\text{g}/\text{m}^3$ 

COMMENTS:

Scénario : LET existant (2020)

Contaminant : Trichloroéthène

Maximum des concentrations moyennes sur 1 an

Valeur limite = 0.1 $\mu\text{g}/\text{m}^3$
(0.4 [Norme/Critère] - 0.3 [C.I.])

SOURCES:

13

COMPANY NAME:

Tetra Tech QI inc.

RECEPTORS:

1687

MODELER:

Guillaume Nachin

OUTPUT TYPE:

Concentration

SCALE:

1:20 000



MAX:

3.8E-03 $\mu\text{g}/\text{m}^3$

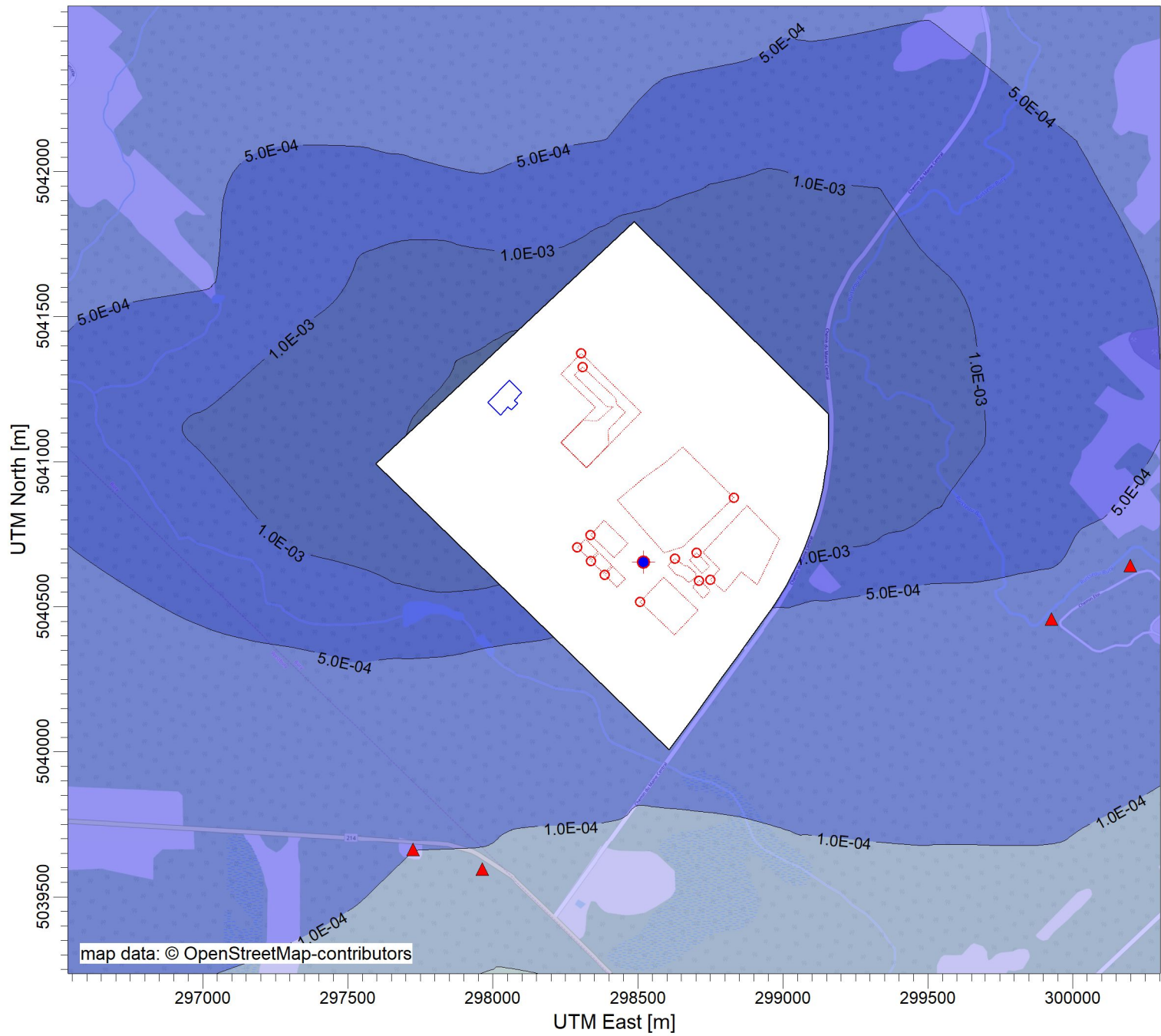
DATE:

2020-12-15**TETRA TECH**

PROJECT NO.:

34574TT

PROJECT TITLE:

Surélévation du LET de Valoris**Étude de dispersion atmosphérique des contaminants**

PLOT FILE OF ANNUAL VALUES FOR SOURCE GROUP: ALL

Max: 3.9E-03 [$\mu\text{g}/\text{m}^3$] at (297952.97, 5041326.87) $\mu\text{g}/\text{m}^3$ 

COMMENTS:

Scénario : Surélévation du LET - An 1 (2021)

Contaminant : Trichloroéthène

Maximum des concentrations moyennes sur 1 an

Valeur limite = 0.1 $\mu\text{g}/\text{m}^3$
(0.4 [Norme/Critère] - 0.3 [C.I.])

SOURCES:

13

COMPANY NAME:

Tetra Tech QI inc.

RECEPTORS:

1687

MODELER:

Guillaume Nachin

OUTPUT TYPE:

Concentration

SCALE:

1:20 000



MAX:

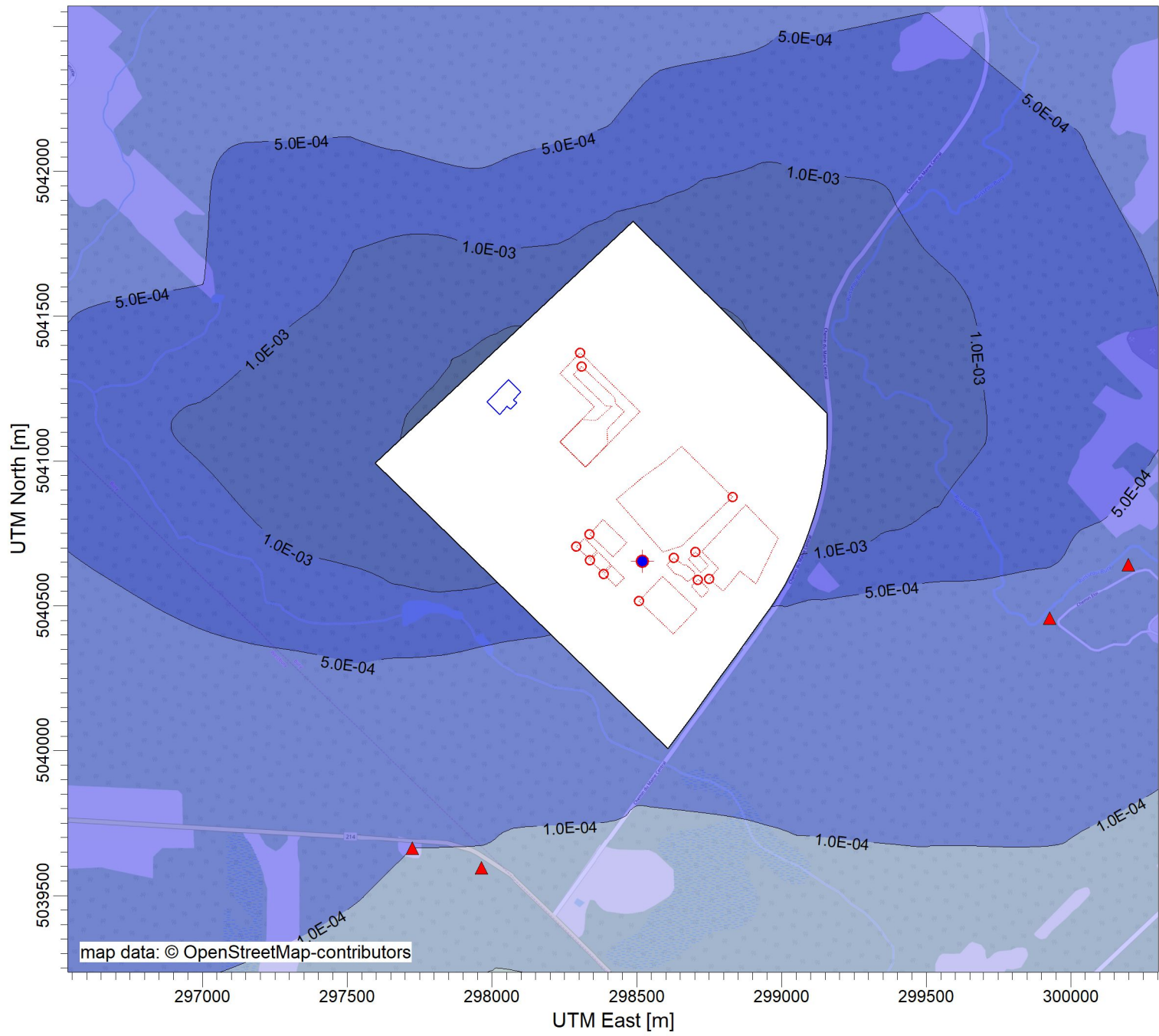
3.9E-03 $\mu\text{g}/\text{m}^3$

DATE:

2020-12-15**TETRA TECH**

PROJECT NO.:

34574TT



PLOT FILE OF ANNUAL VALUES FOR SOURCE GROUP: ALL

Max: 4.1E-03 [$\mu\text{g}/\text{m}^3$] at (297952.97, 5041326.87) $\mu\text{g}/\text{m}^3$ 

COMMENTS:

Scénario : Surélévation du LET - An 2 (2022)

Contaminant : Trichloroéthène

Maximum des concentrations moyennes sur 1 an

Valeur limite = 0.1 $\mu\text{g}/\text{m}^3$
(0.4 [Norme/Critère] - 0.3 [C.I.])

SOURCES:

13

COMPANY NAME:

Tetra Tech QI inc.

RECEPTORS:

1687

MODELER:

Guillaume Nachin

OUTPUT TYPE:

Concentration

SCALE:

1:20 000



MAX:

4.1E-03 $\mu\text{g}/\text{m}^3$

DATE:

2020-12-15**TETRA TECH**

PROJECT NO.:

34574TT